Tesis
PCC 2008
K6

UNIVERSIDAD CATÓLICA "ANDRÉS BELLO".
DIRECCIÓN DE POSTGRADO.
ESPECIALIZACIÓN EN PSICOLOGÍA CLÍNICA COMUNITARIA.

RELACIONES INTERPERSONALES COMPARADAS ENTRE EL MÉTODO DE PSICODIAGNÓSTICO DE RORSCHACH Y EL TEST DE LOS CUENTOS DE HADAS (FTT) EN NIÑOS.

Realizado por:
Lic. Marlene KONIETZNY

Tutora:
Lic. María Alejandra CORREDOR.

Caracas, Septiembre de 2008.

A Dios, por guiar mi camino.

A mi estrellita, quién desde su llegada ha iluminado nuestro camino.

A mi querido Adolfo, por su incondicional apoyo.

AGRADECIMIENTOS.

A María Alejandra Corredor, por acompañarme y apoyarme en el transcurso de la elaboración, por las llamadas, por los correos electrónicos, por los libros y artículos, por estar siempre ahí.

A la Dra. Carina Coulacoglou y su equipo de investigadores, por el inmenso apoyo y colaboración prestada desde Grecia.

A Elena Krasteva, por su gran apoyo y por ser mi puente de comunicación con Grecia

A todos los niños del Colegio "La Concepción" que participaron.

A Jenny Dos Santos, por toda la paciencia y el tiempo que dedicó a responder mis dudas sobre el Test de los Cuentos de Hadas.

A mi Hija Daniela, por darme espacios de su tiempo que me permitieron avanzar cada día poco a poco.

A mi esposo Adolfo Alonzo, por estar continuamente alentándome a seguir adelante.

A mi familia por estar siempre apoyándome, y ayudándome para poder culminar esta investigación.

A Alicia Leisse por acompañarme en el transcurso del logro de esta meta.

A mis amigas, que siempre estaban ahí pendientes preguntando ¿cómo va la tesis?.

A todas las personas que directa o indirectamente prestaron colaboración para la elaboración de la presente investigación.

ÍNDICE GENERAL.

Dedicatoria ii

Agradecimientos iii

Índice de Anexos vi

Índice de Tablas y Gráficos vii

Resumen. 1

I. Introducción. 2

II. Marco teórico. 4

1. Relaciones interpersonales en la niñez. 4

2. Evaluación de las relaciones interpersonales a través de los Métodos Proyectivos. 15

2.1 Método de Psicodiagnóstico de Rorschach. 17

El Método Roschach en la población infantil 18

Escalas de contenido del Método Roschach. 25

2.2 Test de los Cuentos de Hadas (FTT). 27

III. Método. 37

Problema. 37

Hipótesis. 37

Variables. 39

Tipo y diseño de investigación. 47

Población y muestra. 47

Instrumentos. 48

Procedimiento 55

Consideraciones éticas. 56

IV. Análisis de resultados. 57

1. Descripción de la muestra. 57

2. Confiabilidad entre Observadores. 58

3. Estadísticos Descriptivos. 59

4. Análisis de las Correlaciones entre las Variables. 76

5. Análisis cualitativo tipo de contenido de las respuestas pares que tienen como determinantes M y/o FM. 81

V. Discusión de resultados. 99

VI. Conclusiones. 111

VII. Recomendaciones. 113

VIII. Referencias Bibliográficas. 114

IX. Anexos. 121

ÍNDICE DE ANEXOS.

ANEXO A: GRÁFICOS DE FRECUENCIA DE LAS VARIABLES ESTRUCTURALES DEL SISTEMA COMPREHENSIVO DE EXNER

ANEXO B: GRÁFICOS DE FRECUENCIA DE LAS VARIABLES DEL TEST DE LOS CUENTOS DE HADAS (FTT).

ANEXO C: ESTADÍSTICOS DESCRIPTIVOS DE LAS VARIABLES ESTRUCTURALES DEL SISTEMA COMPREHENSIVO DE EXNER

ANEXO D: ESTADÍSTICOS DESCRIPTIVOS DE LAS VARIABLES DEL TEST DE LOS CUENTOS DE HADAS (FTT).

ANEXO E: MATRIZ DE CORRELACIONES.

ÍNDICE DE TABLAS Y GRÁFICOS.

TABLAS

Tabla 1. Distribución de la muestra por edades. 57
Tabla 2. Porcentaje de acuerdo entre observadores para el Método de Rorschach. 58
Tabla 3. Porcentaje de acuerdo entre observadores para el Test de los Cuentos de Hadas (FTT). 59
Tabla 4. Variables distribuidas normalmente. 60
Tabla 5. Estadísticos descriptivos de la variable R. 60
Tabla 6. Estadísticos descriptivos de la variable W. 61
Tabla 7. Estadísticos descriptivos de la variable D. 61
Tabla 8. Estadísticos descriptivos de la variable Dd. 61
Tabla 9. Estadísticos descriptivos de la variable S. 62
Tabla 10. Estadísticos descriptivos de la variable COP. 62
Tabla 11. Estadísticos descriptivos de la variable AG. 62
Tabla 12. Estadísticos descriptivos de la variable GHR. 63
Tabla 13. Estadísticos descriptivos de la variable PHR. 63
Tabla 14. Estadísticos descriptivos de la variable PER. 63
Tabla 15. Estadísticos descriptivos de la variable MOR. 64
Tabla 16. Estadísticos descriptivos de la variable Movimiento activo (a). 64
Tabla 17. Estadísticos descriptivos de la variable Movimiento pasivo (p). 64
Tabla 18. Estadísticos descriptivos de la variable Fd. 65
Tabla 19. Estadísticos descriptivos de la variable Sum T. 65
Tabla 20. Estadísticos descriptivos de la variable H. 65
Tabla 21. Estadísticos descriptivos de la variable Hd. 66
Tabla 22. Estadísticos descriptivos de la variable (H). 66
Tabla 23. Estadísticos descriptivos de la variable (Hd). 66
Tabla 24. Estadísticos descriptivos de la variable Índice de aislamiento. 67
Tabla 25. Estadísticos descriptivos de la variable CDI. 67
Tabla 26. Estadísticos descriptivos de la variable AgC. 67
Tabla 27. Estadísticos descriptivos de la variable AgPast. 68
Tabla 28. Estadísticos descriptivos de la variable AgPot. 68
Tabla 29. Estadísticos descriptivos de la variable Ag1O. 68
Tabla 30. Estadísticos descriptivos de la variable Ag2O. 69

Tabla 31. Estadísticos descriptivos de la variable Ag1A. 69
Tabla 32. Estadísticos descriptivos de la variable Ag2A. 69
Tabla 33. Estadísticos descriptivos de la variable Ag1R. 70
Tabla 34. Estadísticos descriptivos de la variable Ag2R. 70
Tabla 35. Estadísticos descriptivos de la variable Ag2V. 70
Tabla 36. Estadísticos descriptivos de la variable AGdef. 71
Tabla 37. Estadísticos descriptivos de la variable AgA. 71
Tabla 38. Estadísticos descriptivos de la variable AGcel. 71
Tabla 39. Estadísticos descriptivos de la variable AGven. 72
Tabla 40. Estadísticos descriptivos de la variable AGor. 72
Tabla 41. Estadísticos descriptivos de la variable AGdom. 73
Tabla 42. Estadísticos descriptivos de la variable Tag. 73
Tabla 43. Estadísticos descriptivos de la variable DEP. 73
Tabla 44. Estadísticos descriptivos de la variable DAy. 74
Tabla 45. Estadísticos descriptivos de la variable Nafil. 74
Tabla 46. Estadísticos descriptivos de la variable Nafec. 74
Tabla 47. Estadísticos descriptivos de la variable Nor. 75
Tabla 48. Estadísticos descriptivos de la variable Napro. 75
Tabla 49. Correlaciones significativas entre el Test de Cuentos de Hadas y el Método de Psicodiagnóstico de Rorschach. 78

GRÁFICOS.

Gráfico 1. Variable R.
Gráfico 2. Variable W.
Gráfico 3. Variable D.
Gráfico 4. Variable Dd.
Gráfico 5. Variable S.
Gráfico 6. Variable COP.
Gráfico 7. Variable AG.
Gráfico 8. Variable GHR.
Gráfico 9. Variable PHR.
Gráfico 10. Variable PER.
Gráfico 11. Variable MOR.
Gráfico 12. Variable Movimiento activo (a).

Gráfico 13. Variable Movimiento pasivo (p).
Gráfico 14. Variable Fd.
Gráfico 15. Variable Sum T.
Gráfico 16. Variable H.
Gráfico 17. Variable Hd.
Gráfico 18. Variable (H).
Gráfico 19. Variable (Hd).
Gráfico 20. Variable Índice de aislamiento.
Gráfico 21. Variable CDI.
Gráfico 22. Variable AgC.
Gráfico 23. Variable AgPast.
Gráfico 24. Variable AgPot.
Gráfico 25. Variable Ag1O.
Gráfico 26. Variable Ag2O.
Gráfico 27. Variable Ag1A.
Gráfico 28. Variable Ag2A.
Gráfico 29. Variable Ag1R.
Gráfico 30. Variable Ag2R.
Gráfico 31. Variable Ag2V.
Gráfico 32. Variable AGdef.
Gráfico 33. Variable AgA.
Gráfico 34. Variable AGcel.
Gráfico 35. Variable AGven.
Gráfico 36. Variable AGor.
Gráfico 37. Variable AGdom.
Gráfico 38. Variable Tag.
Gráfico 39. Variable DEP.
Gráfico 40. Variable DAy.
Gráfico 41. Variable Nafil.
Gráfico 42. Variable Nafec.
Gráfico 43. Variable Nor.
Gráfico 44. Variable Napro.

RESUMEN.

El objetivo de la presente investigación tuvo como propósito estudiar las relaciones interpersonales de niños, comparando sus respuestas al Test de los Cuentos de Hadas (FTT) y al Método de Psicodiagnóstico de Rorschach, para el que se utilizó el Sistema Comprehensivo de Exner y las escalas de contenido de Holt y de Gacono y Meloy. La muestra se caracterizó por estar compuesta por 30 niños con edades comprendidas entre 5 y 10 años, seleccionados por muestreo intencional.

Para llevar a cabo tal objetivo se plantearon relaciones entre las variables de ambas pruebas que resultan indicadoras de las vinculaciones establecidas por los niños. De esta manera, se observó que de las relaciones planteadas solamente fue confirmada la correlación entre escala Oral Agresiva (AgO) (Roschach), en sus dos niveles, y la escala de Agresión Oral (AGOr) del Test de Cuentos de Hadas.

Sin embargo, es importante señalar otros hallazgos no esperados como las relaciones entre la variable Relación con la Madre (RELMA) (FTT) que se encontró relacionada con variables de agresión (AG, AgPast y Ag2R) y necesidad de afecto (TF) en el Roschach. Así como, el factor Concepto de Sí mismo (FTT) con respuestas con una pobre representación humana (PHR).

En cuanto a las variables que miden agresión se observó que: 1) agresión por celos (AGcel) se relaciona con ser haber sido víctimas de agresión socializada (Ag2V), buena representación humana (GHR), respuestas humanas H y respuestas de textura (T), 2) agresión defensiva (AGdef) se encontró relacionada con movimientos pasivos (p), 3) agresión por venganza (AGven) muestra relaciones con contenidos mórbidos (MOR), agresiones potenciales (AgPot) y víctima de agresiones socialmente aceptadas (Ag2V) 4) agresión instrumental (Factor 2) para la cual se evidencia una relación inversa con respuestas de conductas cooperativas (COP) y resultados de agresiones socialmente aceptadas (Ag2R) y 5) La agresión hostil y el aislamiento social, se encontró relacionado con la agresión potencial (AgPot).

I. INTRODUCCIÓN.

La presente investigación tiene como fin estudiar las relaciones interpersonales de niños, comparando sus respuestas al Test de los Cuentos de Hadas (FTT) y al Método de Psicodiagnóstico de Rorschach, en niños con edades comprendidas entre 5 y 10 años.

Las relaciones interpersonales resultan de crucial importancia en la niñez, dado que desempeñan un importante papel en el desarrollo psíquico, pues es a través del sistema de interacciones que se trasmite al ser humano toda su cultura y sistema de valores (Monjas, 1995).

Además, representan la manera que el niño asimila el medio e influye sobre él, interactuando activa y dinámicamente con el mismo, manifestándose este, como un factor de gran importancia para el desarrollo de la personalidad. También pueden proporcionar una visión de la manera como establece vínculos con figuras significativas (Sendín, 2000).

Estas vinculaciones ocurren desde estadios tempranos del desarrollo, siendo en estos momentos de la vida primordial la figura materna. Diversos autores han estudiado estas relaciones y su influencia en las relaciones futuras de los niños (Bowlby, 1993a, Gayó, 1999; Lafuente, 2000; Klein, 1989).

Entre ellos están los relacionados con la teoría del Apego, en las que se han evidenciado que el estilo de apego que establece un individuo está determinado por sus experiencias en relaciones cercanas en etapas tempranas que pueden estar influidas por variables relacionadas con el ambiente familiar (Bowlby, 1998; Lafuente, 2000).

Mientras que, desde la teoría de Relaciones Objetales de Melanie Klein, se han encontrado hallazgos importantes que indican que las experiencias tempranas pueden brindarle al niño patrones de interacción que resultan cruciales para el establecimiento posterior de otras relaciones con otras figuras significativas (Segal, 1979).

Siendo imprescindible para la Psicología poder evaluar estas relaciones interperonales, ya que al tomarla en cuenta como variable de estudio otorga una visión global del niño en su

contexto, siendo importante incluir todos los ambientes en los que se desenvuelve normalmente (Sendín, 2000).

De esta manera, este estudio resulta relevante porque proporciona una visión de las relaciones interpersonales usando para ello métodos proyectivos que le resultan más llamativos a los niños, resultando idóneos para la evaluación infantil.

Además, en Venezuela actualmente hay muy pocas investigaciones realizadas con ambas pruebas, en el caso del Test de Cuentos de Hadas esto se debe a lo novedoso de la prueba, mientras que con el Método de Rorschach son los estudios en poblaciones infantiles

Dicha investigación se encuentra enmarcada dentro del área de la Psicología Clínica Infantil, puesto que pretende estudiar las relaciones interpersonales de niños, comparando sus respuestas al Test de los Cuentos de Hadas (FTT) y al Método de Psicodiagnóstico de Rorschach, en niños con edades comprendidas entre 5 y 10 años, permitiendo el conocimiento de la manera cómo pueden repercutir las interacciones en la estructura y dinámica de la personalidad en desarrollo de los niños.

II. MARCO TEÓRICO.

CAPÍTULO 1. RELACIONES INTERPERSONALES EN LA NIÑEZ.

Las interacciones entre iguales son cruciales en la socialización del niño, contribuyendo a la adquisición de toda una serie de competencias sociales y comunicativas.

Así, las habilidades sociales constituyen un conjunto de comportamientos relacionales, es decir retroalimentados, recíprocos e influenciados por las características del medio, que se pueden definir como la capacidad de un individuo para lograr consecuencias agradables y evitar las desagradables en la esfera interpersonal, sin producir perjuicios a los demás (Sendín, 2000)

La conducta social se puede determinar tomando en cuenta algunos de los siguientes referentes: a) la habilidad o la inhabilidad del individuo para llevar a cabo una serie de acciones en su ambiente (Kauffman, 1978 c.p. Martorell, 1997); b) o bien se hace referencia tanto a las habilidades básicas como a los aspectos conductuales relacionados con conductas interpersonales (Martorell, 1997); c) o se habla de la competencia social tanto desde un punto de vista individual como grupal.

Los seres humanos poseen los mecanismos necesarios para relacionarse con otras personas; sin embargo, la calidad de esas relaciones vendrá determinada en gran medida por las habilidades sociales (Monjas, 1999).

De esta manera, las destrezas sociales no son, como el mismo concepto indica, capacidades innatas con las que una persona viene al mundo. Aunque un cierto componente biológico pudiera favorecer u obstaculizar las relaciones iniciales con los progenitores y otras personas significativas, es probable que en la mayoría de las personas el desarrollo de las habilidades sociales dependa principalmente de la maduración y de las experiencias de aprendizaje (Monjas, 1999; 2005).

En el proceso de socialización que ocurre en la familia, la escuela y la comunidad, los niños van aprendiendo las habilidades y conductas que les permiten interactuar efectiva y satisfactoriamente.

Estas habilidades se adquieren mediante una combinación del proceso de desarrollo y de aprendizaje. A lo largo de la vida se va aprendiendo a ser de un modo determinado, de forma que las respuestas que emite el sujeto en una situación interpersonal dependen de lo aprendido en sus interacciones anteriores con el medio social.

En la familia comienza la socialización y el niño encuentra sus primeros y más importantes objetos de relación y apego. Durante los dos primeros años, las figuras de apego tienen una gran importancia para la conducta de relación interpersonal por distintos motivos.

Las teorías de Apego desarrollan la forma y el motivo por el cual se establecen las primeras relaciones con personas significativas, que van a traer consecuencias en la forma futura de establecimiento de vínculos sociales (Gayó, 1999).

De esta manera, explican y describen desde una perspectiva evolutiva cómo y por qué los niños se convierten en personas emocionalmente apegadas a sus primeros cuidadores, y emocionalmente angustiados cuando son separados de ellos (Bowlby, 1993a).

En la década de los años 30 y 40 se realizaron estudios en torno a la influencia negativa del cuidado de los niños en instituciones y los frecuentes cambios en la figura materna sobre el desarrollo de la personalidad (Feeny y Kirkpatrick, 1996).

Posteriormente, John Bowlby (1993a) se interesó en este tema y basó su esquema teórico en una serie de trabajos con niños, adultos y familias que padecían perturbaciones en sus relaciones interpersonales.

Entre los estudios que contribuyeron a enriquecer su postura se encuentran aquellos que se relacionaban con la privación en niños realizados por Mary Ainsworth en 1962 y los de Harry Harlow en 1971, de ello se llegó a la conclusión de la importancia que tiene para el individuo el vínculo que establece con sus figuras cuidadoras durante los primeros estadios de su vida (Bowlby, 1998).

Bowlby (1993a) entiende por apego, cualquier forma de conducta que tiene como resultado el logro o la conservación de la proximidad con otro individuo claramente identificado al que se considera mejor capacitado para enfrentarse al mundo. Es decir, el individuo está totalmente dispuesto a buscar la proximidad y el contacto con una figura concreta, en determinadas situaciones, sobre todo cuando está asustado, cansado o enfermo.

Así pues, el apego es una predisposición a buscar compañía o proximidad de alguien. Al principio estos vínculos se establecen entre el niño y la madre, pero mediante una progresión de pasos en el desarrollo del infante, este es capaz de separarse gradualmente de su madre, y establecer una existencia psíquica separada y relativamente autónoma (Gordillo, 2000).

De esta manera, se evidencia que las formas de apego se desarrollan en forma temprana y poseen alta probabilidad de mantenerse durante toda la vida (Griffin y Bartholomew, 1994).

Es importante diferenciar Apego y Dependencia (Bowlby, 1993b), pues durante las primeras semanas de vida el bebé depende de los cuidados de la madre, pero todavía no está apegado a ella. Sin embargo, un niño que posee dos o tres años de edad y se encuentra al cuidado de extraños momentáneamente, puede dar claros signos de que está apegado de un modo muy fuerte a la madre, aunque en este momento no dependa de ella.

De esta manera, la dependencia indica el grado en que un individuo está subordinado a otro para asegurar su supervivencia y, por consiguiente, tienen una connotación funcional, es absoluta al momento del nacimiento y disminuye más o menos gradualmente hasta la adultez. En cambio, el apego hace referencia a una forma de conducta y es puramente descriptivo, todavía no se ha formado al nacer y sólo se pone en evidencia de manera muy clara después de los seis meses (Bowlby, 1993b).

Para Bowlby (1993b), la conducta de apego se desarrolla siguiente tres fases, aunque en realidad no existen límites entre una y otra:

1. Orientación y señales de discriminación limitada de la figura; la habilidad del bebé, desde el nacimiento hasta por lo menos ocho semanas de edad, para distinguir a las personas se limita a estímulos olfativos y auditivos.

2. Orientación y señales dirigidas hacia una o más figuras discriminadas; la conducta del bebé sigue siendo amistosa, pero es más clara la relación con la figura materna en comparación con los demás.

3. Mantenimiento de la proximidad con una figura discriminada, por medio de la locomoción y señales; el bebé no sólo discrimina cada vez más en el modo de tratar a cada persona, sino que su repertorio de reacciones se amplía hasta

incluir el seguimiento de la madre cuando ésta se marcha. Empieza a incluir a determinadas personas como figuras de apego subsidiarias y descarta a otras.

En el curso del desarrollo sano, la conducta de apego lleva al establecimiento de vínculos afectivos, al principio entre el niño y sus padres, más tarde entre adultos. Las formas de comportamiento y los vínculos derivados de ellas están presentes y activos durante toda la vida (Bowlby, 1993b).

La persona que el bebé elige como figura de apego central y el número de figuras diferentes con las cuales también estable un vínculo de apego, pero menos intenso (figuras subsidiarias), depende en gran medida de sus características personales, la identidad de quien le brinda sus cuidados y de la composición del hogar en que vive (Bowlby, 1998).

En parte, es por ello que se dice que el estilo de apego de una persona se va formando sobre la base de cómo responde en relación a su figura de apego, cuando está angustiada por una situación de separación o donde se vea atentada su proximidad misma (Bowlby, 1993a, 1998; Lafuente, 2000).

Al respecto, Ainsworth (1978 c.p. Lafuente, 2000) definió diferentes los patrones de apego y las condiciones familiares que los promueven, existiendo así:

1. Estilo de apego seguro: son aquellas personas capaces de usar a sus cuidadores como una base de seguridad cuando están angustiados. Tienen cuidadores que son sensibles a sus necesidades, por ello tienen confianza que sus figuras de apego estarán disponibles, que responderán, y que les ayudarán en la adversidad.

   Las personas seguras tienden a ser más cálidas, estables y con relaciones íntimas satisfactorias, y en el dominio intrapersonal tienden a ser más positivas, integradas y con perspectivas coherentes de sí mismos (Mikulincer, 1998a).

   Bowlby (1998) expone que los niños clasificados con un apego seguro hacia la madre, son activos en los juegos y buscan el contacto, incluso cuando se han angustiado después de una separación breve quedan consolados y enseguida vuelven a sus juegos.

2. Estilo de apego evitativo: son aquellas personas que exhiben un aparente desinterés y desapego a la presencia de sus cuidadores durante períodos de angustia. Estos niños tienen poca confianza en que serán ayudados y esperan ser desplazados porque las experiencias pasadas así lo dicen.

   Poseen una inseguridad hacia los demás y prefieren mantenerse distanciados de los otros. Además, poseen miedo a la intimidad y muestran tener dificultades para depender de las personas (Mikulincer, 1998b).

3. Estilo de apego ansioso-ambivalente: son aquellas personas que responden a la separación con angustia intensa y mezclan comportamientos de apego con expresiones de protesta, enojo y resistencia (Mikulincer, 1998b).

   Al respecto, Bowlby (1998) expresa que buscan la proximidad y el contacto con la madre, y a la vez, se oponen a esa necesidad de contacto e interacción con la misma. Debido a la inconsistencia en las habilidades emocionales de sus cuidadores, estos niños no tienen expectativa de confianza respecto al acceso y respuesta de sus cuidadores. Estas personas están definidas por tener un fuerte deseo de intimidad, junto con una inseguridad respecto a los otros (Mikulincer, 19988b).

Según Bolwby (1993a) los niños y adolescentes que confían en una base segura, se encuentran más preparados para responder a los problemas que se le presentan en la vida y son más estables emocionalmente.

Por el contrario, una inadecuada relación con la figura de apego que no proporciona al niño la suficiente seguridad e independencia, dificulta y reduce su interacción con los otros niños, lo cual le impide adquirir destrezas sociales por lo que fracasa en los pocos intentos que tiene de acercarse a los iguales; este fracaso tiende a disminuir aún más su sentido de competencia social y por tanto aumenta la probabilidad de aislarse y ser rechazado por los otros.

Este aislamiento implica que el niño se relaciona menos con los iguales y, por lo tanto, tiene menos oportunidades para observar, practicar y ser reforzado por la adquisición de habilidades nuevas y más complejas.

Otra teoría que intenta explicar las relaciones interpersonales en edades tempranas es la teoría de las relaciones objetales, que plantea la existencia de dos posiciones (esquizo-paranoide y depresiva) que constituyen polos entre los cuales oscila la vida psíquica, se definen a través de la posición del niño en relación al objeto: características del objeto, características de la ansiedad, métodos defensivos en relación la ansiedad que le produce la pérdida del objeto (Segal, 1979).

Klein (1940) sostiene que el Yo existe desde el comienzo de la vida, y es capaz de sentir ansiedad que viene dada por lo que no puede ser soportado, es decir, la manifestación en la vida psíquica de la pulsión de muerte. Por lo tanto, debe ser derivada hacia afuera del aparato psíquico, parcialmente como tal, y parcialmente convertida en agresión (c.p. Segal, 1979).

El Yo tiene que defenderse de la pulsión de muerte, y con este fin utiliza diversos mecanismos de defensa primitivos, a ellos recurre el Yo para defenderse en los momentos de mayor ansiedad, que son aquellos en los que se ve sometido a experiencias de privación o frustración de los objetos satisfactorios.

Los principales mecanismos defensivos postulados por Klein (1940) son la introyección, la proyección y la escisión. La introyección es el proceso por el cual un objeto que es vivido como satisfactorio se incorpora fantásticamente al aparato psíquico, según un modelo parecido al de la incorporación de alimentos. De esta forma el Yo cree que el "objeto bueno" es parte de sí y no sufre tanto la privación (c.p Segal, 1979).

Por su parte la proyección consiste, para Klein, en arrojar fantásticamente fuera de la personalidad los objetos o los sentimientos penosos relacionados con experiencias de frustración intensa que se vivencian como displacenteras.

Por último, la escisión consiste en separar los objetos del mundo de tal manera que algunos poseen todo lo bueno (el objeto ideal), y otros en cambio todo lo malo (el objeto persecutorio). En el proceso de escindir el mundo, el Yo también se escinde, conformando un Yo-bueno, en relación con el objeto ideal, y un Yo-malo, que es negado y proyectado en el objeto persecutorio.

Klein (1940) define el funcionamiento psíquico que se establece durante esta fase como posición esquizoparanoide, la cual abarcaría los primeros seis meses de vida, aunque nunca desaparecería del todo. En estos meses las relaciones objetales están marcadas por los

procesos de escisión y la ansiedad predominante es la paranoide, que resulta del temor a los objetos persecutorios (c.p Segal, 1979).

Plantea que desde un principio el bebé se relaciona con objetos, en la fantasía y en la realidad, que en esta etapa son parciales, es decir, no son personas totales sino "partes" que satisfacen una u otra necesidad.

La necesidad de gratificación induce entonces al bebé, en estos primeros momentos, a fantasear un objeto bueno que encuentra su correlato real en las buenas experiencias del maternaje (el pecho bueno, de él intenta introyectar como si fuera propio) lo cual fortalece la sensación de seguridad del Yo.

En cambio, las experiencias de privación lo aterrorizan pues se siente absolutamente indefenso y a merced de la pulsión de muerte, que no puede ser tolerada como tal en el aparato psíquico por lo que se proyecta sobre un objeto.

De esta manera, el miedo frente a aquella pulsión se transforma en miedo a un perseguidor (el pecho malo), que encuentra su correlato real en las experiencias eventuales de privación del cuidado materno.

El bebé vivencia el mismo objeto-pecho como si fueran dos, distintos y parciales (escisión). Por un lado, se relaciona con un pecho ideal que lo gratifica, y al que desea introyectar para fortalecer su Yo, y por otro, existe para él un pecho persecutorio, en el que proyecta sus propios sentimientos agresivos generados por la experiencia de la frustración, lo que a su vez le produce temor y ansiedad paranoide (persecutoria).

La posición esquizo-paranoide se caracteriza por el hecho de que el bebé no reconoce personas, sino que se relaciona con objetos parciales, y por el predominio de la ansiedad paranoide y de procesos de escisión (Segal, 1979).

Toda esta evolución conducirá a que, hacia el sexto mes de vida, se produzca el cambio capaz de marcar el pasaje hacía una nueva posición en la que el bebé puede reconocer a la madre como objeto total, así como a su propia relación con ella en cuanto Yo total.

Este reconocimiento implica la percepción de que el mismo objeto es a la vez la fuente de lo bueno (la gratificación) y de lo malo (la frustración o la privación). El Yo se transforma en

un Yo total, que incluye sus aspectos buenos y malos, sus pulsiones libidinales y agresivas. Esto conduce al establecimiento de una nueva posición en el aparato psíquico: la posición depresiva.

El reconocimiento de la madre como objeto total marca el comienzo de la posición depresiva, caracterizada por la relación con objetos totales, y por el predominio de integración, ambivalencia, ansiedad depresiva y culpa (Segal, 1979). Este implica aceptar que ella es un individuo con una vida propia, y que tiene relaciones con otras personas que no son el bebé. Implica también percibirse a sí mismo como individuo único, separado de la madre. Esta es la fuente de sensaciones de desamparo y celos, tanto como del temor a perder el amor de la madre.

El bebé siente entonces ambivalentemente respecto de ésta, pues ahora la percibe como la fuente, no sólo de sus gratificaciones, sino también de sus frustraciones. Por ello la ansiedad propia de esta posición (ansiedad depresiva) resulta del temor a que los propios impulsos destructivos, antes dirigidos a un fantástico "objeto malo" distinto de la madre, dañen ahora al objeto del cual se depende totalmente.

Cuando se ve expuesto a situaciones de privación el bebé siente impulsos agresivos hacia la misma madre a quien ahora reconoce como la fuente de la gratificación, de esta manera, el bebé siente fantásticamente que dichos impulsos son capaces de dañarla, pero como ella es fuente de amor, se produce ansiedad depresiva y culpa, dos típicos sentimientos de este período.

Sus propios impulsos amorosos y reparatorios se convierten en las fuentes ulteriores de la sublimación, la creatividad, y la capacidad de establecer un amor objetal, con un mínimo de catexia agresiva.

Los conflictos principales para el asentamiento de la posición depresiva ocupan la vida psíquica del bebé en el segundo semestre de vida. Pero una vez afianzada la posición depresiva, ésta tampoco desaparece, sino que queda como otra base de la constitución del aparato psíquico, los mecanismos propios de ambas posiciones subyacen en muchos comportamientos normales ante conflictos que no pueden ser resueltos según una pauta depresiva de relaciones objetales (Segal, 1979).

Tomando como partida la teoría de las relaciones objetales, Blatt y sus colaboradores (Blatt y Behrends, 1987; Blatt y Blass, 1990; Blatt y Shichman, 1983 c.p Priel, 2004) propone un modelo de desarrollo de las representaciones objetales que integra objetos relacionales y el desarrollo cognitivo.

De esta manera, asume que el desarrollo de las representaciones objetales en los niños ocurre en etapas que se relacionan con niveles de maduración de acuerdo con las cinco etapas epigenéticas: sensoriomotora, perceptual concreta, icónica externa, icónica interna y conceptual. Así como de dimensiones cualitativas: benevolencia, afectividad, expresividad, juicio y castigo.

Priel, Myodovnick y Rivlin-Beniaminy (1995) reportaron que los niños en edad escolar tienden a presentar una representación de objeto de sus padres con características más benevolentes mientras mayor sea la etapa de desarrollo cognitivo, y esto a su vez se traduce en mejor ajuste a situaciones de separación y cambios que aquellos que poseen una representación de padres castigadores, éstos tiende a ser padres pertenecientes a familias conflictivas.

Estudios que plantean la idea de que las relaciones entre iguales en la infancia contribuyen significativamente al desarrollo del correcto funcionamiento interpersonal y proporcionan oportunidades únicas para el aprendizaje de habilidades específicas que no pueden lograrse de otra manera ni en otros momentos (Monjas, 1995; Michelson, Sugai, Wood y Kazdin, 1987; Goldstein, Sprafkin, Gershaw, y Klein, 1965).

Por otra parte, también señalan las consecuencias negativas que la inhabilidad interpersonal tiene para el individuo tanto a corto plazo en la infancia como a medio y largo plazo en la adolescencia y en la vida adulta (Michelson y cols, 1987).

La incompetencia social se relaciona con un variado conjunto de desajustes y dificultades como son baja aceptación, rechazo y aislamiento, problemas emocionales y escolares, desajustes psicológicos y psicopatología infantil, delincuencia juvenil y diversos problemas de salud mental en la vida adulta (Goldstein y cols, 1989).

De están manera, las relaciones interpersonales constituyen un aspecto básico de la vida, funcionando tanto como un medio para alcanzar determinados objetivos como un fin en sí mismo.

Las habilidades sociales en las relaciones e interacciones entre iguales cumplen las siguientes funciones (Monjas, 1995):

- Conocimiento de sí mismo y de los demás. Los niños llegan a conocer su propia competencia al relacionarse con los demás y compararse con ellos, contribuyendo a la formación del autoconcepto. También van conociendo a los demás y a conocer su mundo social. Por lo tanto, las relaciones interpersonales proporcionan un contexto que es crucial tanto para la individualización como para la socialización.

- Desarrollo de determinados aspectos del conocimiento social, de conductas, habilidades y estrategias que se han de poner en práctica para relacionarse con los demás: reciprocidad, empatía y adopción de roles y perspectivas, intercambio en el control de la relación, colaboración y cooperación, estrategias sociales de negociación y de acuerdo.

- Autocontrol y autorregulación de la propia conducta en función de la retroalimentación que se recibe de los otros. Los iguales actúan como agentes de control reforzando o castigando determinadas conductas.

- Apoyo emocional y fuente de disfrute. En la relación con los iguales se encuentra afecto, intimidad, alianza, ayuda, apoyo, compañía, aumento del valor, sentido de inclusión, sentimientos de pertenencia, aceptación, solicitud.

- Otros aspectos importantes en las relaciones con sus pares son el aprendizaje del rol sexual y el desarrollo moral y aprendizaje de valores.

Así, las relaciones interpersonales incluyen un grupo de variables que influyen entre sí, que incluyen aspectos culturales, aspecto físico, autoconcepto, motivación para la interacción social, respuestas sociales y el ambiente (Walker, Irvin, Noell y Singer, 1992).

La presencia de dificultades en una o varias de estas variables puede producir potenciales problemas en la relación interpersonal, que se pueden traducir en los niños en retraimiento social, conductas agresivas o disruptivas, retraso en la adquisición del lenguaje o dificultades en el aprendizaje escolar (Walker y cols, 1992)

Es por ello que resulta crucial hacer una evaluación de las relaciones interpersonales en la niñez, pues al tomarla en cuenta otorga una visión global del niño en su contexto, pero al hacerlo se debe incluir todos los ambientes en los que se desenvuelve (familia, escuela) (Walker y cols, 1992)

Pueden ser evaluadas con la ayuda de diversos instrumentos de medida, algunos de ellos creados de manera específica para tal fin, estos incluyen escalas, cuestionarios o inventarios que pueden dividirse según evalúen una o varias áreas de las habilidades sociales (Sendín, 2000; Martorell, 1997).

Así, entre los instrumentos unidimensionales están: a) Escala de asertividad de Rathus (RAS), b) Cuestionario de asertividad de Grambrill y Richie, c) Escala de temor a la crítica negativa de Watson y Friend.

Y, los mutidimensionales: a) Escala de madurez social de Vineland, b) Inventario de reacción social de Richardson y Tasto, c) Inventario de habilidades de Woody. Estos instrumentos permiten tener un panorama de la forma en que establece y mantiene las relaciones sociales los niños (Sendín, 2000).

También, puede evaluarse mediante técnicas creadas con otros objetivos pero que aportan información relevante para el estudio de la comunicación y la conducta interactiva como ocurre con las entrevistas, los autorregistros, la observación sistemática, las pruebas proyectivas y el Método de Rorschach (Sendín, 2000).

CAPÍTULO 2. EVALUACIÓN DE LAS RELACIONES INTERPERSONALES A TRAVÉS DE LOS MÉTODOS PROYECTIVOS.

La evaluación psicológica es empleada en todos los campos de la psicología, con el propósito de explicar el comportamiento humano (Ávila, 1997). Específicamente, en la psicología clínica se emplean para conocer el funcionamiento y la dinámica particular de cada individuo.

Entre las estrategias de evaluación más empleadas en este ámbito están las técnicas proyectivas, que están fundamentadas en el concepto de Sigmund Freud (1900) de la proyección, definida como un mecanismo psicológico mediante el cual un individuo proyecta sus sentimientos internos hacia el mundo exterior y después imagina que el mundo exterior expresa dichos sentimientos hacia él (Bellak y Abrams, 2000).

Las técnicas proyectivas sirven para valorar aspectos personales y sociales, de adaptación, de relación, conflictos internos del sujeto evaluado que los realiza, esta valoración se basa en la forma en que el individuo interpreta la realidad, por lo que brinda información sobre la estructura y dinámica de la personalidad.

Según Bell (1992), las técnicas proyectivas se caracterizan por la presentación de un estímulo que no manifiesta la verdadera intención del examinador al requerir una respuesta del sujeto.

Existen varios intentos de clasificación de las técnicas proyectivas. Uno de ellos, es el propuesto por Ballesteros (1992 cp. Casullo, Cayssials, Liporace, De Diuk, Arce, y Álvarez, 1994), quien plantea cuatro categorías en función del tipo de tarea requerida: constructivas, temáticas, expresivas y asociativas.

Siendo las primeras, pruebas que consisten en solicitar al individuo que estructure un espacio y organice en él los elementos que se le presentan como material, en esta categoría se incluye la hora de juego diagnóstica (Sendín, 2000).

Mientras que, en las pruebas temáticas se utiliza material estimular visual, generalmente con escenas ambiguas de contenido humano, aunque existen versiones para niños, con figuras animales. La tarea consiste en que el sujeto debe producir un relato sobre ellas, es decir, debe estructurar la escena y narrar una historia. Se incluyen el Test de Apercepción Temática (TAT), las versiones infantiles CAT-A, CAT-S, CAT, H, el Test de Pata Negra, Test de Relaciones Objetales (TRO) y el Test de Cuentos de Hadas (FTT) (Sendín, 2000).

Las pruebas expresivas no poseen un material estimular propiamente dicho, es decir no hay objetos a percibir, sino que, a partir de unas mínimas instrucciones verbales el sujeto debe desarrollar una escena dramatizada (psicodrama y juego de roles) o realizar un dibujo (pruebas gráficas).

Por último, las asociativas, en las que se presentan los estímulos de forma verbal, mediante palabras, frases o cuentos y el sujeto debe responder con asociaciones libres, es decir, con la palabra o frase que primero se le ocurra o completando la frase o cuento que se le ofrecen incompletos, aquí se incluyen el Test de Madeleine Thomas, las Fábulas de Düss (Sendín, 2000).

Para Anastasi (1998), las pruebas proyectivas resultan valiosas, por varios aspectos, entre los que cabe destacar, que la mayoría de ellas representan un modo eficaz de aproximarse en los primeros contactos con el sujeto al ser una tarea entretenida, en la que no hay respuestas correctas ni incorrectas, desvían la atención del paciente sobre sí mismo, resultan aplicables a personas que presentan dificultades de lenguaje o defectos en el habla y son menos susceptibles al falseamiento dado lo encubierto del instrumento.

2.1 MÉTODO PSICODIAGNÓSTICO DE RORSCHACH.

Entre las pruebas proyectivas encontramos un test psicológico publicado en 1921 por el Doctor Hermann Rorschach como un informe de los resultados de su investigación sobre percepción, percatándose al final del estudio que las manchas de tinta utilizadas como figuras-estímulo también permitían identificar estilos de personalidad (Exner, 2000).

Weiner (1993) plantea que el Rorschach en su naturaleza es una prueba que puede verse como una situación de solución de problemas ante la cual el individuo responde usando su estilo habitual de personalidad y donde se involucran procesos de atención, percepción, memoria, toma de decisiones y análisis lógico (c.p. Ephraim, 1996).

Otra manera de ver al Rorschach es considerándolo como una prueba perceptual en la que la función perceptiva y aperceptiva resulta más relevante que el análisis del contenido de las respuestas (Aronow, Reznikoff y Moreland, 1995).

Exner (1995), por su parte señala en cuanto a la naturaleza del test "es incuestionable la presencia del proceso de proyección, pero sería equívoco etiquetarlo en forma simplista como un test proyectivo. Es mucho más que eso... Los estímulos del test ponen en funcionamiento un conjunto complejo de funciones psicológicas" (p.24).

Además, plantea que la información derivada de la prueba proporciona información sobre los hábitos, estilos, estados y variables de la personalidad, lo que permite a través de las respuestas conocer cómo es la persona evaluada.

Klopfer y Davidson (1991) destacan que las manchas de tinta no están socialmente estandarizadas y al no tener normas especiales de acción o lenguaje, favorecen la revelación del mundo privado del individuo al proyectarse. Para ellos, los sujetos organizan, seleccionan y proyectan sus percepciones, en función de sus patrones habituales de respuesta, induciéndose de esta forma a mostrarse.

De esta manera, puede concebirse al Rorschach tanto como una prueba perceptiva que implica una tarea perceptivo-cognitiva que evalúa los patrones con los que el sujeto estructura la situación, obteniendo así datos sobre su estilo de personalidad; como un estímulo a la asociación y a la fantasía que permite hacer inferencias respecto a la personalidad del sujeto a partir del contenido de sus respuestas (González, Occupati y Riquelme, 1991).

A partir de la publicación del Psicodiagnóstico de Rorschach se desarrollan diversos sistemas para su administración, corrección e interpretación, siendo los más conocidos el de Klopfer quién en los años 30 comenzó a desarrollar las codificaciones para designar las localizaciones de las áreas de las manchas y las puntuaciones para las respuestas de sombreado (Exner, 1995).

Posteriormente, en 1950 desarrollan sus sistemas Piotrowski que enfatizaba en los aspectos psicométricos y Rappaport influenciado por postulados psicoanalíticos (Acklin, 1996).

Tomando como base estos sistemas y para superar sus debilidades, Exner en la década del 60 desarrolló el Sistema Comprehensivo, en el cual va seleccionando lo mejor de cada uno de ellos, colocando mayor énfasis a la tarea perceptivo-cognitiva pero sin dejar de lado los elementos proyectivos (Ephraim, 1996).

Acklin, McDowell y Orndoff (1992) señalan como ventajas del Sistema Comprehensivo el aumento de la confiabilidad y la validación sistemática al darle mucha importancia a la estandarización, proporcionándole al test características psicométricas robustas.

De la misma manera, Ephraim (1996) establece que un aporte de este sistema fue presentar datos normativos de sujetos no pacientes, lo que permite al psicólogo clínico orientarse respecto al carácter frecuente o inusual de un determinado hallazgo en un protocolo.

El Método Rorschach en la población infantil.

De igual forma que los adultos, cuando los niños se enfrentan a las láminas con su estilo perceptivo muestran la manera en que se desenvuelven en la vida cotidiana, sus pensamientos, sentimientos, actitudes, su aceptación de la realidad, la autoimagen y la forma habitual e idiosincrática de enfrentarse a las situaciones que deben encarar (Corredor, 2004).

Rabin y Haworth (1966) plantearon que este método cumple dos funciones cuando se utiliza con niños, en primer lugar, proporciona un cuadro de la personalidad y una aproximación a posibles diagnósticos clínicos; y en segundo lugar, arroja información sobre el curso del desarrollo de la personalidad, permitiendo conocer si el niño ha alcanzado el grado de control,

la capacidad de integración y organización, así como la comprensión emocional (c.p Corredor, 2004).

Existen cuatro modelos que explican los patrones de respuesta en el Rorschach en la población infantil, el primero de ellos es el Perseverativo de Klopfer y Marguilies (1941), que plantea tres estadios (c.p. Leichtman, 1996):

a) Ocurre alrededor de los dos años, en él hay tendencias de los niños a realizar repeticiones y en su ejecución en el Rorschach se caracteriza por una completa perseveración en la cual ignoran las diferencias de las láminas y simplemente repiten sus primeras respuestas a lo largo de la prueba.

b) Característico de los niños de dos y medio y tres años, continúan utilizando las mismas respuestas a la mayoría de las láminas pero tienden en ocasiones a rechazar algunas y a dar respuestas nuevas.

c) Se presenta entre los tres y medio y cinco años, va desapareciendo la tendencia a la perseveración y el niño presta suficiente atención a la mayoría de las láminas, lo que le permite dar distintas respuestas.

Otra aproximación a los patrones de respuesta es la de Ames, Learner, Metraux y Walkers (1972) que plantea la existencia de variaciones en la forma en que los niños manejan el Rorschach en períodos de seis meses, y que para cada estadio existen conductas esperadas, pero sin embargo señalan que cada niño posee ritmos evolutivos distintos que hay que consideran que dependen de su entorno y la adaptación que hacen a él.

El tercero es el modelo de los Principios del Desarrollo Perceptual postulada por Meili-Dworetzki (1956) que propone tres estadios: a) percepción sincrética, caracterizado por una percepción general y confusa del todo, b) las respuestas reflejan una percepción diferencial y analítica de las partes y c) se evidencian percepciones más complejas dado que el niño ahora posee la capacidad para realizar la recomposición sintética del todo atendiendo a las partes (c.p Leichtman, 1996).

Por último, se presenta el Modelo de Formación de Conceptos planteado por Klopfer, Spiegelman y Fox (1956) basándose en los cambios evolutivos ocurridos en los niños que se evidencian en los aspectos cognitivos, enmarcando estos patrones en tres estadios (c.p.

Leichtman, 1996): a) el primer estadio, característico de los niños entre dos y cuatro años es el llamado "perseveración de la varita mágica" en el cual el niño luchando por hacer frente a una tarea compleja repite un concepto inicial en todas las láminas siguientes o las rechaza; b) el segundo, típico de los niños de cuatro años, está caracterizado por una formación de conceptos confabulatorios, donde diferentes respuestas son dadas a la mayoría de las láminas pero todas ellas basadas en la generalización de un detalle, sin percatarse si la forma característica del concepto como un todo se aproxima a la forma de la mancha de alguna manera concebible. Y c) el tercer estadio, propio de los niños de cuatro a cinco años, consiste en responder a dos o más áreas de la lámina sin organizar sus respuestas como un todo coherente (Leichtman, 1996).

Posteriormente, Leichtman (1996) propone el Modelo de Formación de Símbolos que plantea tres etapas y dos períodos transicionales en los patrones de respuestas de los niños ante la prueba.

a) Roschach perseverativo, característicos de los niños alrededor de los dos y medio años, en esta etapa la tarea es difícil dado que las láminas se les parecen muy poco a los objetos conocidos, dando respuestas que tienden a ser arbitrarias y difusas por lo que frecuentemente repiten las vebalizaciones originales. Además en el proceso de encuesta los niños se tienden a confundir y terminan por dar más respuestas.

   Dentro de este estadio ocurre el fenómeno protocolo perseverativo modificado, que puede considerarse como un signo de transición a la siguiente etapa, y consiste en que aún cuando la repetición permanece en la mayoría de las láminas, aparecen respuestas nuevas en algunas de ellas. Además, puede darse un patrón adicional en el cual, el niño emita las mismas respuestas a cada lámina pero tratando de buscar características que justifiquen el uso del concepto.

b) Roschach confabulatorio, típico en niños alrededor de la edad preescolar, en esta etapa el medio perceptivo se hace más diferenciado, por lo que cada lámina es tratada como un estímulo individual y logra dar nuevas respuestas que parecieran ser producto de un proceso confabulatorio, en el cual el niño responde a un solo aspecto de la lámina, a un detalle o a un color. En estas edades es común que utilicen muchos elementos de la fantasía, de manera que las respuestas pueden llegar a ser tratadas como historias. Además, los niños pueden tomar la tarea como

un juego lo que podría dificultar el proceso de administración, dependiendo mucho del humor y disposición del niño.

En esta etapa ocurre el fenómeno de transición a la siguiente y son combinaciones confabulatorias, en donde se incluyen más de un detalle. También, es más sencillo identificar la localización y los determinantes de los perceptos, hay un aumento en el número de respuestas globales, utilizando combinaciones confabulatorias por lo menos en la mitad de las respuestas, es decir usando más detalles para su respuesta sin poder integrarlos todavía adecuadamente.

c) Roschach, se relaciona con la edad escolar, consiste en responder a dos o más áreas de la lámina sin organizar sus respuestas como un todo coherente, aquí los niños son capaces de comprender las reglas y se preocupan por seguirlas, captan con exactitud la tarea que se les solicita. Además, muestran la capacidad de integrar detalles cada vez más realistas. Se considera que a partir de este período producen respuestas equivalentes a las de personas de mayor edad.

Diversas investigaciones plantean que los niños muestran menos estabilidad en sus patrones de respuesta, sin embargo, algunos de ellos tienden a consolidarse en períodos tempranos del desarrollo (Exner y Weiner, 1995).

En niños, las normas reflejan los estilos de funcionamiento psicológico que se esperan en cada etapa del desarrollo, por lo que es posible evaluar en qué medida se están desarrollando normalmente, o por otra parte saber en qué funciones intelectuales o afectivas presentan dificultades.

Exner y Sendín (1998) reportan hallazgos encontrados a partir de la aplicación e interpretación del Rorschach que resultan distintivos y típicos en los niños. Así señalan que suele tener Lambda mayor que los adultos, esto por la actitud defensiva que presentan; las respuestas W se evidencian mayores que las M, reflejando así una sobreestimación de sus capacidades y la tendencia a plantearse objetivos ilusorios; Además la Zd es menor a menos tres (-3), lo que indica un procesamiento descuidado y precipitado de los datos.

Además, se encuentra aumentado el Índice de Egocentrismo en relación al de los adultos, porque tienden a estar mucho más centrados en sí mismos, presentan más de una

respuesta de textura, dadas las necesidades afectivas y de cercanía típicas en la niñez, así como D Ajustada menor que cero, lo que indica que aún no cuentan con los recursos necesarios para manejar situaciones complejas por estar en desarrollo.

También observan que los determinantes complejos mayor es mayor al 20%, esto por usar menos análisis y síntesis en sus respuestas; así como un predominio de respuestas CF+C sobre las respuestas FC, que refiere a sus tendencia a modular menos el afecto y a ser expresado en una forma más espontánea que los adultos, sin embargo a medida que aumenta la edad van aumentando las respuestas FC dando como resultado una modulación adecuada y mayor estabilidad afectiva, pero en niños esto resultaría en una mala adaptación emocional por encontrarse el afecto restringido. Además no se observa una disminución de índice de Proporción Afectiva (Afr) ni respuestas de vista (Weiner, 1998).

Exner (1982) señala que es común encontrar un número menor de 17 respuestas en protocolos de niños de 5 a 13 años, y si el número excede las 25 es considerado inusual.

Mientras que Ames y cols (1972) evidencian un aumento del número de respuestas dadas (media de 18.58), así como de las respuestas de movimiento humano y de forma pura. Además señalan que a partir de los nueve años se espera mayor uso del sombreado, especialmente el de textura, así como respuestas con contenido de sangre (Bl).

Del Roncal (1949) señala que los niños pequeños tienden a dar mayor número de respuestas W que D, este hallazgo es encontrado también por Beizmann (1968) y Exner (1982), también plantean la disminución progresiva con la edad de las globalizaciones de calidad inferior a favor a las más elevadas.

Corredor (2004) realiza una síntesis de los principales hallazgos encontrados en Rorschach durante la niñez, entre ellos: un número de respuestas variable, no se esperan valores altos de Lambda, los recursos accesibles suelen estar aumentados por las respuestas de color.

Además, evidencian menor control de los afectos (CF+C>FC); después de los tres años no suelen observarse respuestas de nombrar colores, resulta inusual no tener respuestas de textura. También, antes de los ocho a diez años suele aparecer una o dos respuestas mórbidas;

las respuestas de contenido animal suelen ser comunes y las de contenido humano van aumentando progresivamente a medida que el niño evoluciona cronológicamente. Los contenidos de botánica y paisaje también son frecuentes antes de los ocho años.

Se han realizado diversos estudios con el Rorschach en niños, entre ellas está el de Holaday y Whittenberg (1994) que reporta en una gran proporción de su muestra de estudio la existencia de los índices de Inhabilidad Social, Depresión y Esquizofrenia.

Exner y Weiner (1995) en un estudio realizado con niños de diez años encontraron que tendían a dar por lo menos una respuesta de movimiento pasivo y una con contenido mórbido.

Mientras que, Adrados (1987 c.p. Ephraim, 1996) reportó diferencias entre los niños brasileros y los franceses, encontrando que los primeros tienden a dar menos respuestas de movimiento humano que el de movimiento animal.

Silva y Campos (2000) encontraron en niños portugueses diferencias significativas con respecto a los resultados de Exner y Weiner (1995) al evidenciar una mayor proporción de respuestas de forma pura, Lambda elevado, menor número de respuestas de textura y una mayor presencia de determinantes de sombreado.

Un estudio interesante es el de Vives (2004) quien señala correspondencia de las variables del Rorschach con la teoría de Melanie Klein planteando que en la posición esquizo-paranoide se puede ver en relaciones parciales de objeto y ausencia de relaciones interpersonales adecuadas (Mo y H=0, mayor énfasis en respuestas Hd), fragilidad del Yo y poca tolerancia a la frustración (incremento de los valores del lado derecho de la eb, mayores aspiraciones que recursos W:M, bajo índice de egocentrismo), no diferenciación entre el mundo interno y la realidad externa (X+%<60, X-%>29, FQx>FQxu) y sentimientos destructivos (S acompañadas con An o AG).

La Posición depresiva puede evidenciarse en protocolos donde la constitución del objeto total y capacidad de relacionarse (Mo en H y COP), interés en las otras personas (incremento en H, ausencia de (H) y (Hd) y disminución de Hd como contenido principal de M), mayor grado de coherencia interna, fortaleza del Yo y tolerancia a la frustración (tendencia al equilibrio en las variables del EA y es, aspiraciones más realistas), afecto modulado.

Ferrari (2003) plantea que a partir del análisis de las respuestas cuyos determinantes son el movimiento humano y la textura, su presencia o ausencia o cualidad se puede observar

la forma como el sujeto se vincula con el mundo y los objetos externos, de estudiar los recursos que posee para relacionarse afectivamente con los demás.

Así, en reporta que evaluando una muestra de niños con problemas de aprendizaje encontró que los niños presentan alto porcentaje de texturas intelectualizadas, la casi ausencia de texturas cálidas y presencia de texturas frías, lo que da cuenta del predominio de componentes agresivos en la relación objetal, la falta de relaciones primarias gratificantes y ante el temor que despierta el vínculo, la inhibición afectiva.

En Venezuela, Hernández y cols (1995) en un estudio realizado con 30 niños del Área Metropolitana de Caracas de ocho años de edad encontraron que tienden a simplificar los estímulos percibidos, poseen un procesamiento de la información simple, son ambitendentes, presentan un déficit de en las actividades de análisis y síntesis. Además, en estos niños hay un exceso de represión, no llegan a percibir su parte instintiva.

En el plano afectivo, no evidenciaron ninguna constricción, más bien encontraron un manejo adecuado, y manifestaciones predominantemente espontánea (CF+C>FC) lo que constituye una característica propia de la edad. Además, encontraron que los niños caraqueños tienen menos respuestas cooperativas y agresivas que los norteamericanos.

Un hallazgo importante fue que el 57% de los protocolos resulto positivo para el Índice de Inhabilidad Social (CDI), lo cual corresponde a lo estudiado por Ephraim (1996) en una muestra de adultos de la ciudad de Caracas.

Otra investigación en Rorschach infantil fue realizada por Abreu y González (2001), en la ciudad de Caracas con una muestra de niños de 9 años evidenciando un número de respuestas igual al norteamericano, así como una disminución del determinante textura, llegando a tener una total ausencia de este determinante por lo cual los niños no suelen registrar sus necesidades afectivas.

Además, encontraron que los niños carecen de respuestas que indican necesidad de cercanía y contacto emocional, lo cual es inusual, para la población infantil. También evidenciaron que tienen problemas para enfrentarse a las demandas comunes a su entorno social, lo cual se ve reflejado en el Índice de Inhabilidad Social positivo del 32% de la muestra.

Al igual que el estudio de Hernández y cols (1995) los niños caraqueños tienden a ser menos cooperadores y menos agresivos en comparación a los norteamericanos, siendo este aspecto característico del venezolano.

Escalas de Contenido del Método Rorschach.

A fin de evaluar algunas variables de una manera más aguda, diferentes autores han desarrollado escalas de contenido, siendo particularmente importantes para la comprensión de las variables, pues éstas enriquecen y profundizan los hallazgos del Sumario Estructural.

En este sentido Gacono y Meloy (1994) plantean una que evalúa el contenido agresivo de las respuestas, proponiendo como categorías Agresión pasada (AgPast), Agresión potencial (AgPot) y Contenido agresivo (AgC), en sus estudios con jóvenes con problemas de conducta encontraron que producen menos códigos especiales de cooperación y de agresión, en su lugar producen códigos de agresión encubierta como contenido agresivo, agresión pasada y agresión potencial en mayor frecuencia que los adolescentes sin diagnóstico de trastornos psicológicos.

Holt (2005) plantea una escala de contenido que evalúa las manifestaciones del proceso primario, en ella cada una de las categorías está dividida en dos niveles dependiendo si los impulsos son descargados de manera primitiva o socializada directa o indirecta, controlada o descontrolada.

Siendo el primer nivel primitivo, descontrolado y directo las manifestaciones, y el segundo con características contrarias, por lo que es llamado secundario. En esta escala se evalúa las repuestas agresivas clasificándolas como: Oral agresiva (Ag1O y Ag2O), Víctimas de agresión (Ag1V y Ag2V), Resultados de la agresión (Ag1R y Ag2R) y Ataque agresivo (Ag1A y Ag2A).

Baity y Hilsenroth (1999) realizaron un estudio donde agruparon los códigos de Holt: Agresión del Proceso Primario (A1) y Agresión de Proceso Secundario (A2), los códigos de Gacono y Meloy (1994): agresión pasada (AgPast) y contenido agresivo (AgC) y los códigos de Exner (2001): MOR y AG, y proponen dos factores: El factor I que representa la agresión que indica un nivel más primitivo e intenso de manifestaciones agresivas y se encuentra compuesto por los códigos MOR, AgPast y A1. El segundo factor hallado fue el denominado factor II y representaría un nivel de agresión socialmente más tolerable, y que se encuentra compuesto

por los códigos AG, AgC y A2. Evidenciando que los individuos que presentan manifestaciones agresivas suelen responder con mayor frecuencia a los códigos el factor I.

Estrada y Sousa (2002) evaluaron las diferencias entre una muestra de adolescentes con y sin trastorno de conducta a través del Método de Roschach evidenciando que existen diferencias significativas entre ambos grupos respecto a la modulación de las expresiones afectivas y el reconocimiento de las necesidades de afecto. Además, no encontraron que los factores agresivos propuestos por Baity y Hilsenroth (1998) no tenían posibilidad discriminativa, pues no parecen poder establecer un límite entre las expresiones agresivas de carácter primario o primitivo y las secundarias o socialmente aceptadas.

Blatt y Ritzler (1974) estudiaron las vinculaciones de una muestra de sujetos, así como sus dificultades, utilizando para ellos los códigos especiales planteados por Rappaport (Desviación verbalizada DV, Contaminación CONTAM, Combinaciones Fabuladas FABCOM), evidenciando que las personas que tenían problemas en el mantenimiento de vínculos con objetos diferentes reflejan mayores códigos CONTAM, pero cuando la dificultad viene dada por una relación interpersonal inadecuada en la que no se tienen claros los límites aumentan las respuestas con FABCOM. Lo que demuestra que las relaciones vinculares se pueden reflejar en estos códigos (c.p. Lerner, 2004).

Estas escalas permiten profundizar en el análisis dado que no sólo toma en cuenta la presencia de respuestas de movimientos agresivos o cooperativos, sino que permiten obtener la cualidad de las relaciones establecidas.

2.2. TEST DE LOS CUENTOS DE HADAS (FTT).

En el campo de la evaluación infantil dos test proyectivos han resaltado y dominado durante más de 40 años: el Roschach y CAT. Aunque ambos se han utilizado con niños menores de 10 años, el CAT es el que se ha empleado con mayor confianza por haber sido diseñado especialmente para niños.

Ante este panorama, Karina Coulacoglou desarrolla como tesis doctoral en Inglaterra el Test de los Cuentos de Hadas (FTT) en 1998, partiendo de la hipótesis proyectiva y en el carácter simbólico de los cuentos de hadas, ambos señalados por Freud (1900).

Este test se diferencia de otras pruebas temáticas en que con respecto a los dibujos estímulo, al niño no se le presenta un dibujo, sino tres; y no se le pide que cuente un relato, sino que conteste algunas preguntas, la historia ya existe y sólo se le pide al niño que recuerde partes de ella, que resultan importantes para él desde el punto de vista proyectivo (Coulacoglou, 2002).

Además, a diferencia de otros tests, los personajes que se presentan son conocidos y populares entre los niños porque forman parte de su realidad diaria. La estrecha relación entre los cuentos de hadas y los procesos inconscientes ha sido subrayada por muchos autores, principalmente de corriente psicoanalítica (Freud, 1913; Fromm, 1972; Von Franz, 1982; Bettelheim, 1999; Kaes, Perrot, Guerin, Mery y Reumaux, 1989).

Cashdan (2000) plantea que los cuentos de hadas son escuchados por los niños desde edades tempranas y tienen como finalidad entretener, pero además, proporcionan los medios para canalizar y resolver conflictos psicológicos. Esto porque ofrecen una aventura que refleja de alguna manera los acontecimientos que tienen lugar en el mundo interior del niño y ocurren durante su crecimiento.

Sostiene que para que un cuento atraiga la atención de un niño, debe ser divertido y debe causarle curiosidad. Para enriquecerlo la historia debería estimular su imaginación, ayudarle a desarrollar su inteligencia, esclarecer sus emociones, y ayudarlo a reconocer sus dificultades sugiriéndole las soluciones a los problemas que lo inquietan, fomentando su confianza en sí mismo y en su futuro.

Los cuentos aportan importantes mensajes tanto a nivel consciente como inconsciente. Al hacer referencia a los problemas humanos universales, estas historias hablan a un yo en formación y estimulan su desarrollo, mientras que al mismo tiempo lo liberan de sus pulsiones inconscientes.

Bettelheim (1999) señala desde el Psicoanálisis con énfasis freudiano, que los cuentos de hadas mantienen un sentido oculto que gira alrededor de asuntos como la envidia del pene, la angustia por la castración y los inconscientes deseos incestuosos, para él los conflictos psicosexuales ocultos son la fuerza conductora de muchos de los cuentos de hadas que van desde Caperucita Roja a La hija del molinero.

Por otra parte, desde la perspectiva de la Psicología del Yo los cuentos de hadas permiten enfocar los aspectos de la personalidad que amenazan con socavar la relación íntima del niño con los demás, especialmente con sus padres y sus pares. Suponen que gran parte de lo que sucede en un cuento de hadas refleja las batallas que los niños libran dentro de sí mismos contra las fuerzas que no le permiten establecer y mantener relaciones válidas (Cashdan, 2000).

En muchos de ellos se abordan problemáticas relativas a la maduración sexual, las relaciones edípicas entre padres e hijos (como Blancanieves), los impulsos fratricidas (como en Cenicienta). Se trata siempre de profundos conflictos internos que se originan en los impulsos primarios y emociones violentas a las que el niño está sujeto y al ser incapaz de expresar con palabras esos sentimientos, puede sugerirlos indirectamente: miedo a la oscuridad, a algún animal, angustia respecto del propio cuerpo.

El cuento de hadas toma estas inquietudes y externaliza estos procesos internos, representándolos por medio de personajes que, en la mayoría de los casos, carecen de nombre. En estas historias no se hace referencia a ningún personaje en especial sino de tipos sociales, hablan de todos, de los miedos y las fortalezas.

La forma en que se presentan las situaciones conflictivas, responden plenamente a la mentalidad infantil. Prácticamente en todos los cuentos el bien y el mal toman cuerpo y vida en determinados personajes y sus acciones, del mismo en que están también omnipresentes en la vida real y cuyas tendencias se manifiestan en cada persona (Cashdan, 2000).

Otra característica del pensamiento infantil a la que se adaptan muy bien estas historias es el animismo. En la mente del niño no es clara la división entre los seres animados e inanimados y, por otra parte, cualquier cosa que tenga vida, la tiene igual que los seres humanos.

El Test de los cuentos de hadas (FTT) busca evaluar estos conflictos en la edad infantil usando como base a personajes conocidos en estas historias, la técnica de las ilustraciones que los presentan difiere mucho de uno a otro grupo de láminas, esto se debe a que buscó que los materiales gráficos (acuarela, lápiz, tinta) destacaran ciertos elementos que pudieran facilitar la proyección.

Asimismo, esta variedad de técnicas puede hacer la aplicación del test menos pesada y más estimulante para el niño (Coulacoglou, 2002).

Además, el FTT evalúa un amplio abanico de variables de la personalidad. Permitiendo de esta manera tener un panorama del desarrollo del niño, elementos interpersonales y aspectos propios de su personalidad.

Esta prueba consta de 21 láminas, los dibujos presentan personajes y escenas de un cuento popular derivados de las historias de Caperucita Roja y Blancanieves y los 7 enanos, siendo relatos conocidos por los niños que reflejan temas como afecto, envidia, agresión y violencia, oralidad, sexualidad, narcicismo relaciones materno-filiales y paterno-filiales, sentimientos edípicos, rechazo, muerte, resurrección o reencarnación; lo cual tiene un basamento en las diversas interpretaciones teóricas realizadas a los cuentos de hadas (Fromm, 1972; Bettelheim, 1999; Coulacoglou, 2002).

Las variables que estudia el Test de los Cuentos de Hadas son clasificadas grupos: A) Funciones del Yo, Necesidades, Deseos, Impulsos, Relaciones Objetales y Emociones. En cada protocolo el número de parámetros de la personalidad expresados está comprendido entre 8 y 18. Las dimensiones más frecuentes incluyen: Adaptación al contenido del cuento (siempre), Miedo a la Agresión, Necesidades Orales, Ansiedad, Ambivalencia, Agresión por Celos, por Venganza, como Dominancia, Agresión A, Depresión y Moralidad.

Es así como dentro de Funciones del Yo se encuentran como variables: 1) Adaptación al Contenido del Cuento (ACC) que se refiere a la habilidad del niño para mantener sus

respuestas en el contexto del cuento, en la versión conocida. Ocurre en todas las láminas como respuesta a "¿Qué piensa o siente cada uno?" y "¿Qué pasa en cada escena?".

2) Ambivalencia (Amb) puede manifestarse de formas diferentes como duda, indecisión, incertidumbre, conflicto emocional y respuestas alternativas. Aparece frecuentemente en respuestas a preguntas sobre las láminas de Caperucita, el Lobo, el Enano, la Bruja y el Gigante.

3) Moralidad (Mo) las respuestas que se valoran en Moralidad manifiestan temas como el castigo, la culpa, la autocensura, dilemas entre lo que está bien y lo que está mal. Puede aparecer en las respuestas a cualquiera de las láminas.

4) Sentido de Propiedad (SPr) se refiere a la necesidad del niño de controlar su territorio, pero también otras cosas como el alimento, las pertenencias personales de valor material o emocional. El afán de poseer está implícito cuando se refiere a personas y aparece por lo común en las respuestas a las preguntas relacionadas con los dibujos del enano y del Gigante.

5) Sentido de Privacidad (SPriv) indica la necesidad del niño de tener de aspectos privados y en ocasiones hasta cierto aislamiento. Generalmente se expresa como la necesidad de estar solo, lejos de gente y de ruidos. Aparece más frecuentemente en las respuestas que se refieren al Gigante.

6) Auto-estima (Ae) se refleja en las respuestas relacionadas con la apariencia (el vestido, la belleza), y también en los asuntos que tienen que ver con el éxito o el fracaso y la aprobación o desaprobación de los demás. La autoestima se revela en las respuestas a las láminas de Caperucita, Enano, Bruja y Gigante.

7) Respuestas Estrafalarias (Est) esta variable incluye respuestas originales, peculiares que reflejan el nivel de imaginación y fantasía del niño pero que pueden indicar también profundos conflictos personales o psicopatologías.

Según resultados de investigaciones recientes (Michalopoulou, N., "Explorando la personalidad infantil", s/f c.p. Coulacoglou, 2002), se desarrollaron cinco criterios básicos para

determinar la presencia y el grado de patología en una respuesta estrafalaria en términos de proceso y producto:

- La adecuación del control del Yo y la regresión a un proceso de pensamiento primario
- El grado de distorsión de la realidad
- El primitivismo y la fuerza de los afectos expresados
- El nivel de coherencia lógica de la respuesta.
- La capacidad del niño para mantener distancia de la realidad del cuento y su percepción.

Basadas sobre estos criterios las respuestas estrafalarias pueden ser clasificadas como Psicóticas, Neuróticas y Creativas (Coulacoglou, 2002).

Una respuesta estrafalaria evaluada como Creativa es la que se mantiene fiel a la realidad actual y posible del cuento, mientras que al mismo tiempo introduce una narrativa original.

Se evalúa como Neurótica cuando se caracteriza por los propios conflictos proyectados del niño que no distorsionan la realidad del dibujo, sin embargo, dan la impresión que hay un toque personal que contiene las preocupaciones y los temas principales del niño.

Se considera Psicótica cuando contiene una y más de las siguientes características: distorsión clara del contenido del cuento, material primitivo, trastornos del pensamiento (discurso confuso, asociaciones flojas, lenguaje idiosincrásico) y/o falta de límites con la carta (sobre-involucración).

8) Repeticiones (Rep) se considera repetida cuando es exactamente la misma que otra anterior. Pueden aparecer al contestar a la pregunta: "¿Qué piensa cada uno?"

Las variables agrupadas en el segundo grupo: B) Necesidades (Coulacoglou, 2002) son: 1) Necesidad de Protección (NPro) se define como necesidad de buscar seguridad o ayuda en otros que se consideran más fuertes y poderosos. Puede manifestarse a través del protagonista de la lámina o de otro personaje imaginario considerado más débil. En las láminas de las Brujas

y los Gigantes, el otro personaje es normalmente la víctima. Aparece, sobre todo, en las respuestas a las láminas de Enanos, Brujas y Gigantes.

2) Necesidad de Afiliación (NAfil) refleja la necesidad de mostrarse amigable y conseguir amigos, de formar parte de un entorno social o de agradar a alguien. Se manifiesta la mayor parte de las veces en las preguntas referidas a las láminas del Enano y el Gigante.

3) Necesidad de Aprobación (NApro) Generalmente se manifiesta en las respuestas a las preguntas que se refieren a los Gigantes y las Escenas de la Caperucita Roja y hace referencia a la necesidad de que otros aprueben lo que realiza.

4) Necesidad de Afecto (NAfec) se manifiesta en las respuestas como necesidad de ofrecer y recibir amor y afecto; aparece de frecuentemente al contestar a las preguntas de las láminas de los Enanos y las escenas de Caperucita Roja.

5) Necesidades Orales (NOr) reflejan necesidades reales o simbólicas (emocionales) de comer o beber. Expresiones del tipo comer a alguien, devorar a una persona o un animal simbolizan la incorporación de un objeto que es la forma más arcaica de introyección. Suelen darse al responder a las preguntas a las láminas de Enanos, Lobos y Gigantes.

El tercer grupo de variables son los C) Deseos e incluyen: 1) Deseo de Superioridad (DSu) aparece como una voluntad de ser diferente, único. Se refleja frecuentemente en las respuestas a las láminas del Enano, la Bruja y el Gigante.

2) Deseo de Cosas Materiales (DCM) se muestra en el querer adquirir cosas materiales, como dinero, juguetes, vestidos, joyas. Suele aparecer en las respuestas a las láminas de Enanos, Brujas y Gigantes.

3) Deseo de Ayudar (DAy) refiere a querer ayudar a otras personas, en especial a las más débiles, se parece al altruismo, puede utilizarse como formación reactiva a la agresión. La mayor parte de las veces aparece en las respuestas a las láminas del Gigante.

Otras variables se agrupan en: D) Impulsos (Coulacoglou, 2002) y contienen 1) Agresión Oral (AOr) las expresiones características incluyen verbos tales como morder, masticar,

despedazar, decir groserías, maldecir, escupir a otros, etc. Suelen aparecer con más frecuencia en las láminas de Lobos y Gigantes.

2) Agresión Tipo A (AgrA) refleja reacciones no justificadas por causas externas sino atribuibles a motivos internos o razones personales, tiende a ser más primitiva. Se manifiesta frecuentemente en las respuestas a las preguntas referidas a las láminas de la Bruja y el Gigante.

3) Agresión por Venganza (AgrVen) ocurre como reacción a un daño que se ha producido en el pasado, suele aparece en las preguntas que se refieren a las láminas de la Bruja y el Gigante.

4) Agresión por Celos (AgrCel) se manifiesta como necesidad de causar daño a los sujetos que, en algún aspecto, parecen mejores que el agresor. Se revela, sobre todo, en las respuestas a las láminas de la Bruja.

5) Agresión Defensiva (AgrDef) refiere a la necesidad de protegerse o proteger a otros frente al peligro cuando tal protección es de naturaleza agresiva. El peligro es inmediato y ha de resolverse aquí y ahora. Suele aparecer en las respuestas a las preguntas del Enano y el Gigante.

6) Agresión como Dominancia (AgrDom) se manifiesta como necesidad de dominar o de mostrarse a sí mismo pero expresado a través de medios agresivos. Suele aparecer en las respuestas a las láminas de la Bruja y el Gigante.

7) Agresión Instrumental (AgrInstr) se evidencia como deseo de hacer daño o matar a alguien para comer o para tener dinero. Suele aparecer la mayoría de las veces en las respuestas que se refieren al Gigante.

8) Preocupación Sexual (PSex) son respuestas que reflejan interés o preocupación por temas sexuales, bien en formas disfrazadas socialmente, como el matrimonio o el enamoramiento, bien de manera más directa como atracción o actuación sexual. Esta variable aparece más frecuentemente en las respuestas a las preguntas referidas a las láminas de

Caperucita Roja, Enanos, Brujas y Gigantes, así como en las escenas de Blancanieves y los siete enanos.

Otra distribución de variables es: E) Relaciones Objetales, en ellas están contenidas: 1) Relación con la Madre (Rel-m) consiste en respuestas que reflejan la calidad con que se percibe la relación con la madre. La relación se considera negativa cuando la madre es muy estricta, castiga al niño con frecuencia, amenaza o rechaza; es positiva, cuando ayuda, aprueba y muestra afecto. Suele aparecer en las láminas de Brujas, en las escenas de Caperucita Roja y de Blancanieves y los Enanos.

2) Relaciones con el Padre (Rel-p) se refiere a respuestas en las que se evidencia la calidad con que el niño percibe al padre y su relación con él. Suele estar presente en escasas ocasiones en FTT y casi siempre en el segundo dibujo de las escenas de Blancanieves y los enanos u, ocasionalmente, en las láminas de los Gigantes.

Por último, encontramos a las variables que conforman el grupo F) Emociones: en las que están; 1) Depresión (Dep) se expresan comúnmente como sentimientos de infelicidad, rechazo y soledad. Suelen aparecer en las respuestas a las láminas del Enano y en las escenas de Caperucita Roja.

2) Ansiedad (Ans) se expresa en forma de pensamientos referidos a peligros inminentes o sucesos amenazantes. Puede también manifestarse como afán por tener éxito o conseguir una meta, por el futuro en general o por la preocupación sobre las propias capacidades o por la opinión de los demás.

En las respuestas de los niños se han observado diferentes tipos de ansiedad; los más frecuentes son: daño/ muerte, enfermedad, inseguridad, desaprobación, castigo, preocupación por los otros, pérdida, privación, abandono y auto-imagen.

3) Temor a la Agresión (TAg) refleja el temor a un posible ataque, amenaza o peligro inmediato y presente. Suele aparecer en las láminas de Caperucita, el Lobo, el Enano, la Bruja y el Gigante.

Entre los estudios realizados tomando como base esta prueba, está el realizado por Colacoglou (2007) en donde empleando una muestra de niños con dificultades de aprendizaje, retraso mental, niños con una estructura de personalidad psicótica y un grupo control, evidenció que los primeros obtuvieron puntuaciones más altas en Deseo de Superioridad, Agresión como dominancia, Agresión tipo A, Necesidades orales, Depresión, Respuestas estrafalarias, Repeticiones y Preocupación sexual; fueron más bajos en Autoestima y Relación con la madre. Mientras que, el grupo control reflejó mayor Temor a la agresión.

Los niños con leve retraso mental mostraron mayor Agresión oral, Temor a la agresión, Necesidades orales, Ansiedad, Depresión, Necesidades de afecto, Necesidades de protección, Preocupación sexual, Respuestas estrafalarias y Repeticiones, mostrando también puntuaciones bajas en Relación con la madre. Por su parte, el grupo control fue más alto en Ambivalencia, Agresión por celos, Agresión por venganza y Necesidades de afiliación.

La estructura de personalidad psicótica se combinó con el retraso mental en la mayoría de los casos, uno de los aspectos que se destaca es el número de respuestas estrafalarias.

En Venezuela, tenemos sólo muy pocas investigaciones utilizando esta prueba, la única disponible es un estudio realizado por Dos Santos y Závala (2007) realizada comparando niños que padecen de hemofilia con un grupo control encontrando que los niños con diagnóstico de hemofilia obtuvieron un número de mayor en las variables Agresión tipo A, Ansiedad de Daño, Agresión Oral y Ansiedad de Muerte.

Además, los niños del grupo control presentan mayor Ambivalencia Total en sus respuestas que los niños con diagnóstico de hemofilia. Lo mismo ocurre con las variables Preocupación Sexual, Adaptación al Contenido del Cuento, Relación con el Padre, Necesidad de Afiliación y Necesidad de Aprobación.

Actualmente, se encuentra en curso una tipificación del Test de Cuentos de Hadas en conjunto con la autora en Grecia, lo que es un estudio realmente importante para poder tener datos normativos de nuestro país y también podrá divulgar el uso del test para próximas investigaciones.

Ambos métodos podrían ser instrumentos muy valiosos a la hora de comprender la estructura y dinámica de la personalidad de los niños, por eso el interés de esta investigación,

que tiene como objetivo es estudiar las relaciones existentes en el Test de los Cuentos de Hadas (FTT) y el Método de Roschach en las relaciones interpersonales en niños de 5 a 10 años.

III. MÉTODO

PROBLEMA DE INVESTIGACIÓN.

¿Existen relaciones estadísticamente significativas en las respuestas dadas en el Test de los Cuentos de Hadas y las del Método Rorschach en cuanto a las Relaciones Interpersonales; en niños con edades comprendidas entre los 5 y 10 años?.

HIPÓTESIS

Hipótesis General.

Existen relaciones estadísticamente significativas en las respuestas dadas en el Test de los Cuentos de Hadas y las del Método Rorschach en cuanto a las Relaciones Interpersonales; en niños con edades comprendidas entre los 5 y 10 años.

Hipótesis específicas.

Existe relación entre el *Índice de Inhabilidad Social (CDI > 3)* en el Método Rorschach y la escala *Depresión* del Test de Cuentos de Hadas (FTT).

Existe relación entre *Respuestas p > a + 1* en el Método de Rorschach y las escalas *Necesidad de aprobación* y *Necesidad de protección* en el Test de Cuentos de Hadas (FTT).

Existe relación entre *Respuestas con contenido de comida (Fd > 1)* y *Respuestas con determinante de Textura ≥ 1* en el Método de Rorschach y la escala *Necesidad de Afecto.*

Existe relación entre la ausencia de *Respuestas con determinante de Textura (T= 0)* en el Método de Rorschach y la ausencia de Respuestas en la escala *Necesidad de Afecto.*

Existe relación entre Aislamiento > 0.25 en el Método de Rorschach y el factor Necesidad de Afiliación en el Test de los Cuentos de Hadas (FTT).

Existe relación entre Respuestas de *Agresión Potencial (Ag Pot > 1)* en la escala de contenido agresivo de Gacono y Meloy (1994) y la escala *Temor a la agresión en el Test de los Cuentos de Hadas (FTT).*

Existe relación entre *Respuestas con contenido de comida (Fd > 1)* y *Respuestas con determinante de Textura T ≥ 1* en el Método de Rorschach y el factor *Necesidad de Afiliación* en el Test de los Cuentos de Hadas (FTT).

Existe relación entre *Respuestas con Movimiento Agresivo (AG >2)* en el Método de Roschach y *Respuestas de Contenido Agresivo (AgC)* en la escala de contenido agresivo de Gacono y Meloy (1994) y el factor de *Agresión hostil y Aislamiento Social.*

Existe relación entre *Respuestas de contenido Mórbido (MOR)* disminuidas en el Método de Rorschach y el factor *Concepto de sí mismo* en el Test de los Cuentos de Hadas (FTT).

Existe relación entre *Respuestas con Movimiento Agresivo (AG >2)* en el Método de Rorschach y el factor *Posesividad* en el Test de los Cuentos de Hadas (FTT).

Existe relación entre Respuestas que contienen *Movimiento Agresivo (AG) y Movimiento Cooperativo (COP)* en el Método de Roschach y la escala *Deseo de Ayudar* en el Test de los Cuentos de Hadas (FTT).

Existe relación entre Respuestas que contienen *Movimiento Agresivo (AG) y Movimiento Cooperativo (COP)* en el Método de Roschach y la escala *Agresión defensiva* en el Test de los Cuentos de Hadas (FTT).

Existe relación entre Respuestas de *Oral Agresivo (Ag1O y Ag2O)* en la escala Manifestaciones del proceso primario de Holt (2005) y la escala de *Agresión Oral* en el Test de los Cuentos de Hadas (FTT).

Existe relación entre Respuestas de *Oral Agresivo (Ag1O)* en la escala Manifestaciones del proceso primario de Holt (2005) y la escala de *Agresión tipo A* en el Test de los Cuentos de Hadas (FTT).

Existe relación entre Respuestas de *Agresión pasada (Ag Past)* en la escala de Contenido Agresivo de Gacono y Meloy (1994) y la escala de *Agresión por venganza* en el Test de los Cuentos de Hadas (FTT).

Existe relación entre Respuestas de *Ataque Agresivo (Ag1A)* en la escala Manifestaciones del proceso primario de Holt (2005) y la escala de *Agresión por celos* en el Test de los Cuentos de Hadas (FTT).

DEFINICIÓN DE VARIABLES.

Variables de estudio.

Patrones de respuesta de una muestra de niños edades entre los 5 y 10 años en las variables del FTT, siendo éstas:

- **Agresión tipo A.**

  Definición Conceptual:

  Esta forma de agresión incluye reacciones no justificadas por causas externas sino atribuibles a motivos internos o razones personales (Coulacoglou, 2002).

  Definición Operacional:

  Se refiere respuestas en las cuales el niño es incapaz, o simplemente no quiere, dominar los elementos agresivos, tratando de justificarlo. Se manifiesta frecuentemente en las láminas de la bruja y el gigante, se le asigna el código AgrA

- **Agresión defensiva.**

  Definición Conceptual:

  Es la necesidad de protegerse o proteger a otros frente al peligro cuando tal protección es de naturaleza agresiva (Coulacoglou, 2002).

  Definición Operacional:

  Se refiere a respuestas en las cuales el niño tiene la necesidad de protegerse o proteger a otros frente al peligro y la misma es de naturaleza agresiva. Suele aparecer en las respuestas a las preguntas del enano y el gigante, se le asigna el código AgrDef.

- **Agresión por celos.**

  Definición Conceptual:

  Ocurre cuando el sujeto se compara a sí mismo con los otros. Según Fosshage (1998) los celos se refieren al descontento de que otro posea lo que a uno le gustaría

para sí mismo. La intensidad de los celos se determina por la propia situación y el especial significado de lo que el otro posee (Coulacoglou, 2002).

Definición Operacional:

Se manifiesta como necesidad de causar daño a los sujetos que el niño percibe mejores que el agresor. Se revela, sobre todo, en las respuestas a las láminas de la bruja, se le asigna el código AgrCel.

- **Agresión por venganza.**

Definición Conceptual:

Es un tipo de agresión que ocurre después de que se produce el daño y posee mucha intensidad (Coulacoglou, 2002).

Definición Operacional:

Se revela en respuestas en las cuales el niño percibe la necesidad de protegerse o proteger a otros de un peligro que ha ocurrido en un tiempo pasado. Aparecen en las láminas de la bruja y el gigante, se le asigna el código AgrVen.

- **Agresión Oral.**

Definición Conceptual:

Se refiere al "sadismo oral" que implica el deseo de destruir el objeto. "El deseo libidinoso de chupar va acompañado al mismo tiempo de un afán destructivo de absorber, vaciar y agotar a través del mamar" (Klein, 1965).

Definición Operacional:

Se observa en respuestas que incluyen en verbos tales como morder, masticar, despedazar, decir palabrotas o groserías, maldecir, escupir a otros y rechinar los dientes. Suele aparecer con más frecuencia en las láminas de lobos y gigantes, se le asigna el código AOr.

- **Temor a la agresión.**

Definición Conceptual:

Constituye una emoción primaria evocada por un peligro inminente o una amenaza (Coulacoglou, 2002).

Definición Operacional:

Se revela en un temor a un posible ataque, amenaza o peligro inmediato y frecuente. Se puede registrar en las láminas de Caperucita, el lobo, el enano, la bruja, el gigante. La pregunta "¿Cuál de las tres brujas te da más miedo? ¿Por qué?" fue pensada especialmente para estimular este tipo de respuestas, se le asigna el código TAg.

- **Deseo de ayudar.**

Definición Conceptual:

Es el deseo de ofrecer ayuda o asistencia a otros que están en apuros (Coulacoglou, 2002).

Definición Operacional:

Se evidencia en actitudes y acciones de ayuda a los demás. La mayor parte de las veces se muestra en las respuestas a las láminas del Gigante, se le asigna el código DAy.

- **Necesidad de protección.**

Definición Conceptual:

Se define como necesidad de buscar seguridad o ayuda en otros que se consideran más fuertes y poderosos (Coulacoglou, 2002).

Definición Operacional:

Puede manifestarse a través del protagonista de la lámina o de otro personaje imaginario considerado más débil. En las láminas de las Brujas y los Gigantes, el otro personaje es normalmente la víctima. Aparece, sobre todo, en las respuestas a las láminas de Enanos, Brujas y Gigantes.

- **Depresión.**

Definición Conceptual:

Se refiere al continuo que va desde los síntomas hasta el trastorno en el que se ven influidos los afectos y las interacciones cognitivo-afectivas. Su fenomenología implica emociones como tristeza, ira, disgusto, desprecio, miedo, culpa y timidez (Coulacoglou, 2002)

Definición Operacional:

Las respuestas que reflejan depresión en el FTT se expresan comúnmente como sentimientos de infelicidad, rechazo y soledad. Suelen aparecer en las respuestas a las láminas del Enano y en las escenas de Caperucita Roja.

Patrones de respuesta de una muestra de niños edades entre los 5 y 10 años a través de las variables del Sistema Comprehensivo de Exner, siendo éstas:

- **Relaciones interpersonales.**

Definición Conceptual:

Conjunto de necesidades, actitudes, prejuicios y estilos de respuestas que determinan o influyen en el establecimiento de los vínculos del sujeto con los otros (Exner y Sendín, 1998).

Definición Operacional:

Número de respuestas de Cooperación (COP), de Agresión (AG) y de comida (Fd), la puntuación obtenida en el índice de aislamiento (aislamiento/R) y las proporciones de interés interpersonal ([H: (H)+Hd+(Hd)]), contenidos parahumanos y para-animales [(H)+(Hd): (A)+(Ad)], así como la proporción H+A: Hd+Ad y las respuestas con códigos especiales PHR y GHR.

- **Movimiento agresivo.**

Definición Conceptual:

Tendencia a mantener actitudes hostiles hacia los demás y llevarlas a la acción (Exner y Sendín, 1998).

Definición Operacional:

Cualquier respuesta de movimiento (M, FM o m) en la que la acción sea claramente agresiva, como luchar, romper, discutir, y esté ocurriendo en el momento.

- **Movimiento cooperativo.**

Definición Conceptual:

Tendencia a establecer vínculos positivos en los que predominan los aspectos amables y acogedores hacia los demás (Exner y Sendín, 1998).

Definición Operacional:

Cualquier respuesta de movimiento (M, Fm o m) que implique dos ó más objetos cuya interacción sea claramente positiva o cooperativa.

- **Textura.**

Definición Conceptual:

Representa la necesidad de contacto afectivo interpersonal (Vives, 2005).

Definición Operacional:

Cualquier respuesta en la que se utilice las características del sombreado de la mancha como una impresión táctil. Puede implicar el uso de palabras como blando, duro, suave, áspero, rugoso, peludo, frío, caliente, entre otras.

- **Índice de inhabilidad social (CDI).**

Definición Conceptual:

Representa una medida de las dificultades del paciente para interactuar con la complejidad de la vida cotidiana (Vives, 2005).

Definición Operacional:

Presencia de 3 o más de los siguientes indicadores: a) EA>6 ó AdjD<0, b) COP<2 ó AG<2, c) Sum C < 2,5 ó Afr<0,46, d) p>a+1 ó H pura <2, e) Sum T>1 ó Aislamiento/R >0,24 ó Fd>0

Patrones de respuesta de una muestra de niños edades entre los 5 y 10 años a través de la Escala de Contenido Agresivo de Gacono y Meloy (1994), siendo éstas:

- **Agresión de Contenido (AgC).**

Definición Conceptual:

Tendencia a percibir objetos que son vivenciados por el individuo como nocivos, ya que generan daños (Gacono y Meloy, 1994)

Definición Operacional:

Cualquier respuesta con contenidos percibidos como depredadores, peligrosos, malévolos, perjudiciales o nocivos.

- **Agresión Pasada (AgPast).**

Definición Conceptual:

Percepción de acciones agresivas que ocurrieron en el pasado (Gacono y Meloy, 1994).

Definición Operacional:

Cualquier respuesta en la que la acción agresiva ha ocurrido o el objeto señalado ha sido el blanco de la agresión.

- **Agresión Potencial (AgPot).**

Definición Conceptual:

Percepción que en un futuro inmediato ocurra un acto agresivo que es inminente (Gacono y Meloy, 1994).

Definición Operacional:

Cualquier respuesta en la que la acción agresiva se está preparando para ocurrir.

Patrones de respuesta de una muestra de niños edades entre los 5 y 10 años a través de la subescala de contenido agresivo de la Escala de Manifestaciones del proceso primario de Holt (2005), siendo éstas:

- **Oral Agresivo (AgO).**

Definición Conceptual:

Se refiere a los comportamientos que combinan elementos orales y agresivos que incluyen morder, escupir, insultar y agresiones orales más sutiles como el sarcasmo (Vives, 2005)

Definición Operacional:

Cualquier respuesta que incluya acciones como morder, canibalismo, agresiones verbales o elementos como animales parasitarios, dientes, mandíbulas bocas agresivas de animales, o animales temidos por su mordida o picadura. Se dividen en dos niveles: 1 y 2, donde la primera se refiere al proceso primario y la segunda a un proceso secundario que es más socializado.

- **Ataque Agresivo (AgA).**

Definición Conceptual:

Se refiere a situaciones en las ocurren ataques a personas, animales u objetos que tienen carácter violento.

Definición Operacional:

Cualquier respuesta que incluya fantasías sádicas vívidas, aniquilación de personas o animales, torturas, explosiones, fuego, peleas, figuras atemorizantes, armas, garras. Se dividen en dos niveles: 1 y 2, donde la primera se refiere al proceso primario y la segunda a un proceso secundario que es más socializado.

- **Víctimas de la Agresión (AgV).**

Definición Conceptual:

Hace referencia a personas u objetos que fueron perjudicadas por acciones violentas y/o agresivas.

Definición Operacional:

Cualquier respuesta que incluya victimización extrema, indefensión extrema, Suicidio, personas o animales adoloridos o heridos, personas o animales atemorizados o figuras u objetos en un balance precario. Se dividen en dos niveles: 1 y 2, donde la

primera se refiere al proceso primario y la segunda a un proceso secundario que es más socializado.

- **Resultados de la Agresión (AgR).**

  Definición Conceptual:

  Se refiere a hechos o consecuencias derivadas de eventos o acciones agresivas.

  Definición Operacional:

  Cualquier respuesta que incluya deterioro, putrefacción, elementos mutilados, catástrofes, personas o animales heridos o deformes, partes faltantes, sangre, y consecuencias de tormentas o fuego. Se dividen en dos niveles: 1 y 2, donde la primera se refiere al proceso primario y la segunda a un proceso secundario que es más socializado.

Variables a controlar.

- **Edad.**

  Definición Conceptual:

  Cantidad de años transcurridos desde el nacimiento de una persona hasta un período determinado del ciclo vital.

  Definición Operacional:

  Dato otorgado por el niño evaluado comprendido entre 5 y 10 años.

- **Género sexual.**

  Definición Conceptual:

  Factores genéticos presentes en la concepción que tiene su resultado en las diferencias fisiológicas y anatómicas que determinan el ser hombre o mujer (Baron y Byrne, 1998)

  Definición Operacional:

  Dato reportado por el niño evaluado siendo varón o hembra.

TIPO Y DISEÑO DE INVESTIGACIÓN

El presente estudio se define como descriptivo y exploratorio en un diseño de investigación no experimental, transversal y expostfacto.

Es de tipo descriptivo porque se intentó conocer y describir las relaciones interpersonales de un grupo de niños de 5 a 10 años de edad, utilizando como técnica de evaluación el test de Rorschach y el test de los cuentos de hadas (FTT). También, es exploratoria ya que se investigó un tema en el cual existen pocas investigaciones anteriores (Kerlinger, 1998).

Se enmarca dentro de los estudios no experimentales y expostfacto pues "es una indagación empírica y sistemática en la cual el científico no tiene un control directo sobre las variables independientes porque sus manifestaciones ya han ocurrido o porque son inherentemente no manipulables" (Kerlinger, 1998).

Y, de acuerdo al criterio de temporalidad es transversal dado que la recolección de la información se realizará sólo en un momento de tiempo dado (Hernández y Sampieri, 1998).

POBLACIÓN Y MUESTRA.

La población estuvo conformada por estudiantes de educación primaria de la ciudad de Caracas, hembras y varones, con edades comprendidas entre 5 y 10 años.

La muestra estuvo conformada por 30 estudiantes de educación básica del Colegio "La Concepción" de Montalbán, ubicado al Oeste de la ciudad de Caracas, aproximadamente 15 hembras y 15 varones, de edades comprendidas entre 5 y 10 años.

El tipo de muestreo que se utilizó, en términos de Kerlinger (1998) es el muestreo intencional, el cual se caracteriza por el uso de juicios y esfuerzos deliberados para obtener muestras representativas, incluyendo áreas o grupos supuestamente típicos de la muestra.

INSTRUMENTOS.

Se utilizaron los siguientes instrumentos:

Método de Psicodiagnóstico de Rorschach.

El Test de Rorschach fue creado por Hermann Rorschach publicado en 1921. Tiene como características ser una prueba perceptiva, así como proyectiva (Trull y Phares, 2003).

Se compone de una serie de 10 láminas con imágenes de manchas de tinta simétricas impresas sobre un fondo blanco. De las diez láminas, 5 son acromáticas con tonos y sombreados grises (L. I, L. IV, L. V, L. VI, L. VIII); de las otras, dos combinan el negro y el gris con el rojo (L. II, L III) y las tres restantes son policromáticas (L. VII, L. IX, L. X)

Ellas resultan ser un estímulo inestructurado para el individuo y el único modo de organizarlo resulta del empleo de los recursos que esa persona usa habitualmente (Trull y Phares, 2003).

La forma de administración, registro y corrección utilizada sigue las instrucciones del Sistema Comprehensivo de Exner (2001).

La aplicación consiste en dos fases: la asociación libre, momento en que la persona relata espontáneamente sobre lo que ve en las láminas y, la fase del encuesta, momento en que el sujeto comparte con el evaluador las respuestas dadas en la fase inicial.

Las dimensiones y variables del Sistema Comprehensivo de Exner (2001) orientan la interpretación del Sumario estructural del Test de Rorschach en la presente investigación, siendo estas:

- Localización: Respuesta global (W), Respuesta de detalle usual (D), Respuesta de detalles inusuales (Dd), Respuestas con espacio en blanco (S).
- Calidad Evolutiva: Síntesis (+), Ordinaria (o), Vaga (v), Vaga síntesis (v/+).
- Calidad Formal: Superior (+), Ordinaria (o), Única (u), Negativa (-).
- Determinantes: Movimiento animal (FM), Movimiento Humano (M), Movimiento inanimado (m), Color Acromático (FC', C'F, C'), Color cromático (FC, CF, C, Cn),

Textura (FT, TF, T), Sombreado difuso (FY, YF, Y), Vista (FV, VF, V), Reflejos (Fr, rF), Dimensión (FD), Forma pura (F).

- Contenidos.
- Actividad Organizativa: (ZA, ZW, ZD, ZS)
- Códigos Especiales: Verbalización desviada (DV), Respuestas desviadas (DR), Combinaciones incongruentes (INCOM), Combinaciones fabulatorias (FABCOM), Contaminaciones (CONTAM), Lógica inadecuada (ALOG), Perserveración (PSV), Respuestas de designación humana (GHR, PHR), Respuestas de movimiento cooperativo (COP), Respuestas de movimiento Agresivo (AG), Respuestas personalizadas (PER), Proyección del color (CP).
- Respuestas Populares.
- Control y tolerancia al estrés: (Índice Lambda, Tipo vivencial, Experiencia accesible, Tipo vivencial rígido, Experiencia base, Estimulación sufrida, Índice de control y tolerancia al estrés ajustado).
- Afectos: (Índice de forma-color, Proporción afectiva, Número de respuestas al espacio en blanco, Número de respuestas al color cromático puro, Proporción de complejidad, Número de respuestas de proyección al color, Proporción de la constricción).
- Relaciones interpersonales: (Número de respuestas de movimiento cooperativo; Número de respuestas de movimiento agresivo, Número de contenidos de comida, Índice de aislamiento, Proporción de interés interpersonal, Proporción de contenidos para-humanos y para-animales, Proporción H+A: Hd+Ad).
- Tríada Cognitiva: **Ideación** (Índice activo-pasivo, Índice de movimiento humano, Índice de intelectualización, Movimiento humano con calidad formal negativa, Sumatoria de códigos especiales, Sumatoria de códigos especiales de nivel 2, Sumatoria ponderada de códigos especiales, Respuestas de movimiento humano sin calidad formal), **Mediación** (Respuestas populares, Ajuste convencional, Forma pura convencional, Forma distorsionada, Distorsión del espacio en blanco, Forma única) **Procesamiento de la información** (Respuestas con actividad organizativa, Eficiencia del procesamiento, Índice de economía, Proporción de aspiraciones, Calidad evolutiva superior elaborada, Calidad evolutiva vaga).
- Autopercepción: (Índice de egocentrismo, Sumatoria de contenidos de anatomía y radiografía, Sumatoria de respuestas de reflejos, Respuestas de forma dimensión y contenido mórbido).

- Constelaciones: El Sumario Estructural incluye 6 constelaciones o índices que permiten aproximarse a las áreas de funcionamiento deficiente del sujeto, estas son:

    - Índice de Esquizofrenia (SCZI).
    - Índice de Depresión (DEPI).
    - Índice de Inhabilidad Social (CDI).
    - Constelación de Suicidio (S-CON).
    - Índice de Hipervigilancia (HVI).
    - Índice de Estilo Obsesivo (OBS).

Escala de Contenido Agresivo de Gacono y Meloy (1994).

Gacono y Meloy (1994), realizan una escala de contenido para las respuestas de agresión basándose en las respuestas a las láminas del Rorschach que permite poder tener una mejor comprensión de este fenómeno. Para ello introducen tres categorías: Contenido Agresivo (AgC), Agresión potencial (AgPot), Agresión pasada (AgPast).

Escala de Manifestaciones del proceso primario de Holt (2005).

Holt (2005) describe una importante escala de contenidos para un estudio más profundo de las respuestas en los protocolos del Método de Rorschach, evaluando las manifestaciones del proceso primario.

Para la presente investigación solamente se utilizará la subescala agresiva, en la que se hace referencia a la presencia de niveles de contenidos agresivos que se ocurren en un continuo desde los más primitivos a los más socializados, siendo las primeras correspondientes al nivel 1 y las segundas al nivel 2. Clasificándose en respuestas oral agresivas, de víctimas de agresión, resultados de la agresión y de ataque agresivo.

Test de los cuentos de hadas (FTT).

Es una prueba proyectiva diseñada para niños entre 5 y 12 años construida como parte de una tesis doctoral en la Universidad de Exeter en Inglaterra a cargo de Carina Coulacoglou.

Consta de 21 láminas de dibujos de personajes de los cuentos de hadas que se presentan en series de 3 siguiendo como orden de presentación el siguiente:

1. **Caperucita Roja:** en la lámina I representa una niña que parece feliz y despreocupada, mientras que en la lámina II es una niña con una extraña sonrisa que puede interpretarse como desconcierto, astucia o ambigüedad, y en la lámina III refleja una niña con una ligera expresión de tristeza que puede interpretarse como ansiedad, temor, sentimiento de culpa, tristeza o preocupación. Esta serie se presenta a color, llevan vestidos similares y están de pie en un campo con hierbas y flores (Coulacoglou, 2002).

2. **El Lobo:** en la primera lámina se puede observar a un lobo muy flaco, al que se le marcan los huesos a través de la piel, con el hambre reflejada en todo su cuerpo, en la segunda el lobo está sentado tranquilamente sin que aparezca ninguna expresión en su cara, no presenta signos de hambre ni de maldad; mientras que en la tercera lámina se ve un lobo más grande y con aspecto feroz, tiene la boca abierta y muestra los dientes y la lengua como si estuviese pronto para el ataque. Las tres figuras se presentan en blanco y negro con un fondo rocoso similar (Coulacoglou, 2002).

3. **El Enano:** en la lámina I se representa a un enano viejo de pie con una expresión de inocencia y sorpresa en su rostro, por otra parte, la lámina II muestra a un enano joven de aspecto humano, de pie y con un rostro inexpresivo, y en la lámina III se observa una figura humana de un enano viejo y sin expresión en el rostro. Todos tienen un aspecto similar en cuanto a tamaño, postura y ropas; el fondo, un gran hongo destinado a destacar el tamaño reducido del enano, se presentan en colores (Coulacoglou, 2002).

4. **La Bruja:** la lámina I presenta un hada joven y bella, vestida con un atuendo brillante, con una varita mágica en su mano. Su expresión muestra poder y determinación, mientras que la de la lámina II representa una bruja madrastra de mediana edad. Su ropa, como su expresión es anodina y resulta anticuada. Aunque es inexpresiva, el gesto de su boca le da

un aspecto austero, cruel y despiadado. Su mano alzada, como si fuese a golpear, acentúa la impresión negativa, y en la lámina III se presenta la bruja tradicional vieja y fea. Su cara arrugada y desagradable, su cabello desarreglado y sus ropas gastadas hacen que resulte amenazadora a primera vista, impresión que se acentúa por el gesto de la mano que amenaza con un palo. Las tres se presentan en blanco y negro, sin fondo (Coulacoglou, 2002).

5. **El Gigante:** en la primera lámina se observa un gigante de aspecto humano que parece fuerte y lleva botas y ropas sencillas. Su rostro es inexpresivo. Su mano está levantada como si fuese a golpear o en un gesto de saludo. Su aspecto permite situarlo en cualquier época o cultura. En la lámina II se presenta un gigante humano de aspecto ridículo. Tiene una expresión inocente que le hace parecer tonto o estúpido. Su ropa parece la de un payaso y está gastada; los cordones de las botas están sueltos. Su cabello recuerda a un monje, y la tercera lámina es un gigante de aspecto primitivo y puede decirse que representa el gigante típico de los cuentos de hadas. Sus ropas parecen viejas y gastadas, su rostro es inexpresivo pero su barba y su cabello desaliñado, unidos al garrote que porta hacen que parezca amenazador a primera vista. Las tres figuras se presentan en blanco y negro con una cerca y un pequeño árbol al fondo que realzan su tamaño (Coulacoglou, 2002).

6. **Escenas de Caperucita Roja:** en la lámina I la madre está sentada en un taburete, levanta una mano con el dedo índice extendido y se expresión es severa. Caperucita Roja está de pie con la cabeza inclinada. Por otra parte, en la lámina II Caperucita Roja está sola, acurrucada en el suelo. Y en la tercera está la madre y Caperucita Roja que están sentadas en el suelo, de la mano y sonriendo y con aspecto feliz. Los dibujos de estas láminas se presentan en blanco y negro (Coulacoglou, 2002).

7. **Escenas de Blancanieves y los Siete Enanitos:** en la primera lámina aparece el príncipe y Blancanieves están juntos de pie, él la toma de la mano. Sus ropas sugieren una fiesta, en la lámina II está el padre de Blancanieves sentado en un sillón y ella en el suelo cerca de él, ambos con un rostro inexpresivo. Y por último, Blancanieves aparece de pie rodeada por los enanitos, como si estuviesen bailando o festejando algo. Los dibujos de estas láminas se presentan en blanco y negro (Coulacoglou, 2002).

El test evalúa 29 variables, entre las referidas a las funciones del Yo están: a) Adaptación al Contenido del Cuento, b) Ambivalencia (que se manifiesta por indecisión, incertidumbre, duda ,

alternativas o conflicto), c) Moralidad, d) Sentido de Propiedad, e) Sentido de Privacidad, f) Autoestima, g) Respuestas Estrafalarias, h) Repeticiones.

Algunas están referidas a las necesidades, siendo estas: a) Necesidad de Protección, b) Necesidad de Afiliación, c) Necesidad de Aprobación, d) Necesidad de Afecto, e) Necesidades Orales.

Otras variables son los deseos, que engloban: a) Deseo de Superioridad, b) Deseo de Cosas Materiales, c) Deseo de Ayudar. Entre los impulsos se enmarcan: a) Agresión Oral, b) Agresión tipo A, c) Agresión Defensiva, d) Agresión por Venganza, e) Agresión por Celos), f) Agresión Defensiva, g) Agresión por Dominancia, h) Agresión Instrumental, i) Preocupación Sexual.

También están las variables de relaciones objetales en las que está la Relación con la madre y la relación con el padre. Y las emociones que contienen: a) Depresión, b) Ansiedad y c) Temor a la agresión.

Todas las variables se puntúan en una escala del 1 al 3 según su intensidad, donde 1 es la puntuación más baja y 3 la más alta. Además, ciertas variables- como Relación con la Madre, Relación con el Padre y Autoestima se puntúan como positivas o negativas en función del tipo de respuesta.

La validez de constructo de esta prueba fue evaluada de dos manera, por validez interna, a través de la aplicación del análisis factorial, con el cual resultó en 11 factores de primer orden que explican el 61.625% de la varianza total, siendo éstos: 1) Asertividad, 2) Agresión instrumental, 3) Control de impulsos, 4) Concepto de sí mismo, 5) Ansiedad, 6) Necesidad de afiliación, 7) Conciencia moral, 8) Impulsividad sexual, 9) Agresión hostil y aislamiento social, y 10) Miedo. Además, 6 factores de segundo orden que son: 1) Impulsividad, 2) Aprecio social, 3) Dominancia y culpa, 4) Miedo, 5) Posesividad y ansiedad y 6) Agresión instrumental (Coulacoglou, 2007).

Siendo, las variables que corresponden a cada uno de los factores las siguientes (Coulacoglou, 2007):

Factor 1: Deseo de Superioridad (DSup), Agresión como dominancia (AGdom), y Necesidad de Aprobación (Napro).

Factor 2: Agresión instrumental (AGinstr), Necesidades Orales (NOr) y Deseo de cosas materiales (DCM).

Factor 3: Necesidad de aprobación (Napro), Ajuste al Contenido del Cuento convencional (ACC), Repeticiones (REP) y Agresión por Venganza (AGven).

Factor 4: Autoestima (Ae), Depresión (DEP) y Relación con la madre (RELMA).

Factor 5: Necesidad de Protección (Nprot) y Ansiedad (ANS).

Factor 6: Relación con la madre (RELMA), ambivalencia (AMBtot) y necesidad de afiliación (Nafil).

Factor 7: Deseo de Ayudar (Day) y Moralidad (MOR).

Factor 8: Sentido de Propiedad (SPro), Agresión Oral (AGor), Agresión por venganza (AGven) y necesidad de afecto (Nafec).

Factor 9: Preocupación Sexual (PRESEX) y Respuestas Estrafalarias (ESTR).

Factor 10 Sentido de privacidad (Spri) y Agresión tipo A.

Factor 11: Temor a la agresión (Tag), Agresión por Celos (AGcel) y Agresión Defensiva (AGdef).

Mientras, la otra forma de evaluar la validez de constructo fue por validez externa por medio de las comparaciones con medidas más objetivas de dimensiones de la personalidad como la lista de chequeo del comportamiento infantil para padres (CBCL), con la cual dio mayores relaciones con los factores de segundo orden, en especial con impulsividad que correlaciona con las conductas de romper reglas, las conductas agresivas y los problemas de externalización (Coulacoglou, 2007).

Por otra parte, la prueba posee una alta confiabilidad test-retest, (con coeficientes entre .40 y .70) esta fue medida entre cada una de sus escalas siendo significativa para: ambivalencia, deseo de cosas materiales, deseo de superioridad, autoestima, sentido de propiedad, sentido de privacidad, agresión como dominancia, agresión oral, agresión tipo A, agresión por venganza, agresión por celos, temor a la agresión, necesidades orales, necesidad de afecto, necesidad de afiliación, deseo de ayudar, necesidad de protección, ansiedad total, depresión y adaptación al contenido del cuento (Coulacoglou, 2007)

PROCEDIMIENTO.

En primer lugar se procedió a la escogencia de las pruebas psicológicas a ser estudiados centrando el interés en el comportamiento del Test de los Cuentos de Hadas (FTT), por ser una prueba que cuenta con pocos estudios en el país, y en el Método de Psicodiagnóstico de Rorschach por su alta validez y confiabilidad.

A continuación, se realizó el muestreo de los sujetos participantes tomando en consideración el sexo y la edad. Y se solicitó la autorización para participar en el estudio a sus padres y representantes.

Posteriormente, se recurrió a la recolección de datos de la muestra mediante la aplicación del Método Psicodiagnóstico de Rorschach y el Test de los cuentos de Hadas (FTT) a cada uno de los sujetos en dos ocasiones de evaluación distintas.

Después de recogidos los datos se procedió a la corrección de cada protocolo de ambas pruebas, y al análisis por jueces del 20% de la muestra, tanto del Test de Cuentos de Hadas (FTT) que fue enviado a la autora de la prueba a Grecia, como del Método de Psicodiagnóstico de Rorschach, para este último se usaron las categorías del Sistema Comprehensivo de Exner utilizando para ello el programa RO-A Central 5.0®.

Luego, se elaboraron 2 bases de datos, una para cada prueba, usando para ello el programa Microsoft® Excel® 2007, se procedió al análisis estadístico de los mismos empleando estadísticos de tendencia central (Md, Mo), dispersión (S), forma de la distribución (Asimetría y

Curtosis), estadísticos no paramétricos rho de Spearman utilizando para ello el programa estadístico SPSS 15®.

CONSIDERACIONES ÉTICAS.

Se consideró factible desde el punto de vista ético llevar a cabo esta investigación, pues al estudiar las relaciones interpersonales de los niños mediante el Test de los Cuentos de Hadas y el Método Psicodiagnóstico de Rorschach, no se amenaza la individualidad, ni integridad física y/o psicológica de las personas que constituyeron la muestra seleccionada.

Según Salazar, Muñoz, Sánchez, Santoro y Villegas (1979) es importante plantear en toda investigación los siguientes problemas: el primero referente a la privación de la libertad del sujeto, que consiste en la reducción o limitación de la libertad del mismo, sin embargo hay que considerar que "el sujeto es libre de mentir o de no contestar. Y esto es un problema metodológico y no ético" (Salazar, y cols 1979 p.2). Para eliminar los posibles efectos, se le dará a los sujetos la libertad de responder o no a las pruebas o suspenderlas.

El segundo problema es acerca del engaño, entendiéndose como el encubrimiento de los propósitos de la investigación (Salazar y cols, 1979), como se mencionó anteriormente los sujetos y sus Padres y Representantes estarán informados de la naturaleza y fines de la investigación.

Además, los resultados serán tratados de manera confidencial, por lo que se respetará la privacidad de cada uno de los sujetos evaluados.

Por último, la presente investigación aporta información importante que podrá servir de base para investigaciones futuras.

IV. ANÁLISIS DE DATOS.

En la presente investigación se estudiaron las relaciones interpersonales de niños con edades comprendidas entre 5 y 10 años, comparando sus respuestas al Test de los Cuentos de Hadas (FTT) y al Método de Psicodiagnóstico de Rorschach.

Descripción de la muestra.

Se utilizó una muestra de 30 niños de ambos sexos, con edades comprendidas entre 5 y 10 años de edad seleccionados de la población mediante un muestreo no probabilístico de tipo intencional, de los cuales 15 fueron hembras y 15 varones.

Tabla 1. Distribución de la muestra por edades.

Edad	Hembras	Varones
5	1	2
6	5	2
7	3	3
8	1	5
9	5	2
10	0	1

Para realizar el análisis de los datos se utilizó el programa estadístico SPSS versión 15®, para hacer los cálculos, que en primer lugar se trató de los coeficientes de confiabilidad Kappa de acuerdo entre observadores.

Posteriormente, se realizó el cálculo de los estadísticos descriptivos para cada una de las variables estudiadas. Luego, se obtuvieron los coeficientes de correlación de Spearman para pruebas no paramétricas.

A continuación se presentan de manera detallada los análisis realizados.

Confiabilidad entre observadores.

Los protocolos obtenidos fueron codificados y corregidos luego de la aplicación. Pará garantizar la validez y la confiabilidad de los resultados se realizó un procedimiento de codificación en conjunto de los protocolos, el procedimiento consistió en dos pasos:

1) Todas las respuestas del protocolo fueron codificadas por la evaluadora.

2) Todas las respuestas del protocolo codificadas fueron corregidas por los jueces expertos para ambas pruebas, siendo en el caso del Test de Cuentos de Hadas, enviados a Grecia y corregidos por el equipo de la autora del Test.

Para evaluar la confiabilidad, se realizó un muestreo del 20% de los protocolos de cada uno de los métodos de exploración utilizados, los que fueron corregidos conjuntamente por jueces expertos y por la evaluadora, para hacer el posterior cálculo de los coeficientes Kappa que se muestran a continuación.

Tabla 2. Porcentaje de acuerdo entre observadores para el Método de Rorschach.

VARIABLES	PORCENTAJE DE ACUERDO
Localización y DQ	0,922
Pares	0,801
Determinantes	0,714
Calidad Formal	0,876
Contenidos	0,819
Populares	0,905
Calidad Organizativa	0,857
Códigos Especiales	0,841
Escalas de contenido	0,852

El porcentaje de acuerdo entre observadores se calculó para cada uno de los segmentos de codificación: localización y la calidad evolutiva (DQ), los pares, los determinantes, la calidad formal (FQ), los contenidos, las respuestas populares, la calidad organizativa, los códigos especiales y las escalas de contenido, variando este porcentaje entre 0,714 y 0,922 lo que corresponde a una confiabilidad alta.

Tabla 3. Porcentaje de acuerdo entre observadores para el Test de Cuentos de Hadas.

VARIABLES	PORCENTAJE DE ACUERDO
Funciones del Yo	0,767
Necesidades	0,863
Deseos	0,771
Impulsos	0,890
Relaciones objetales	0,708
Emociones	0,897

En el caso del Test de Cuentos de Hadas (FTT) el acuerdo entre observadores fue calculado en base a la agrupación de las escalas: funciones del Yo, necesidades, deseos, impulsos, relaciones objetales y emociones, encontrando que los coeficientes de confiabilidad están entre 0,708 y 0,897 que indica una confiabilidad media alta y alta.

Estadísticos descriptivos.

Con la finalidad de conocer la forma de la distribución, la tendencia central y normalidad de los datos, se realizó un análisis exploratorio de ambas pruebas, utilizando para ello el programa estadístico SPSS 15® en el caso del Método Rorschach fue calculado para todas las variables del Sumario Estructural, obtenido usando el programa ROA 5®, y para el Test de Cuentos de Hadas (FTT) para cada una de las escalas.

A partir del análisis, se encontró que la mayoría de las variables de ambas pruebas no se distribuyen de forma normal. Sin embargo, para el Rorschach las variables Lambda (L), sumatoria de calidad organizativa (Zsum), detalle usual (D), detalle inusual (Dd), calidad evolutiva superior elaborada (DQ+), movimiento animal (FM), contenido animal (A), sumatoria ponderada de los códigos especiales (Wsum6), calidad formal ordinaria (FQo), calidad formal negativa (FQ-), estimulación sufrida (es), estimulación sufrida ajustada (Adjes), forma única (Xu%), ajuste convencional (X+%) y el índice de egocentrismo presentaron una distribución normal, al igual que ansiedad total (ANStot) y ajuste a los cuentos convencionales (ACC) en el caso del FTT

Tabla 4. Variables distribuidas normalmente.

VARIABLES	COEFICIENTE AJUSTE A NORMALIDAD
L	0,907
ZSum	0,930
D	0,970
Dd	0,949
DQ+	0,961
FM	0,967
A	0,977
WSum6	0,959
FQo	0,955
FQ-	0,947
Es	0,967
Adjes	0,962
Xu%	0,975
X+%	0,952
Egocentrismo	0,941
ANSTot	0,958
ACC	0,976

De esta manera, los resultados obtenidos para cada variable del Sistema Comprehensivo se explicaran a continuación:

Variable R.

Tabla 5. Estadísticos descriptivos de la variable R.

Md	S	Min	Máx.	Asimetría	Curtosis
19	4,645	13	41	0,454	-0,751

Podemos observar que distribuye casi de forma normal (ver Anexo A, gráfico 1), se puede ver cómo los valores están cercanos a la diagonal, la distribución tiene una tendencia a ser coleada hacia afuera, es decir la mayoría de los datos se acumulan por encima de la mediana. La curtosis señala que es una distribución platicúrtica. Con relación a la dispersión, se puede observar que el recorrido de la variable se encuentra entre 13 y 41, lo

que aunado a una dispersión de 4,645 sugiere la presencia de una distribución moderadamente homogénea.

Variable W.

Tabla 6. Estadísticos descriptivos de la variable W.

Md	S	Min	Máx.	Asimetría	Curtosis
6	2,023	1	8	-0,536	-0,834

Se evidencia que se no se ajusta a la normalidad, sus valores se alejan de la diagonal (ver Anexo A, gráfico 2), presentándose una tendencia a estar coleada hacia adentro, siendo el estadístico más representativo la mediana. La distribución es platicúrtica. Además, es heterogénea lo que viene dado por el rango del recorrido, pues su valor mínimo es uno y el máximo ocho, pero presenta una dispersión de 2,023.

Variable D.

Tabla 7. Estadísticos descriptivos de la variable D.

Md	S	Min	Máx.	Asimetría	Curtosis
12	4,641	4	20	0,116	-0,755

La desviación y el recorrido permiten afirmar que aunque hay variabilidad en los valores la distribución es homogénea. Además, no se ajusta a la normalidad (Ver Anexo A, gráfico 3) y presenta una tendencia a estar coleada hacia afuera y a ser platicúrtica.

Variable Dd.

Tabla 8. Estadísticos descriptivos de la variable Dd.

Md	S	Min	Máx.	Asimetría	Curtosis
2	1,550	0	8	1,704	4,717

Con respecto a esta variable, puede decirse que no se distribuye normalmente, en el gráfico los valores se ajustan a la diagonal (Ver Anexo A, gráfico 4). Otro indicador relacionado con la falta de normalidad en esta distribución está relacionado con la asimetría que presenta, que evidencia la forma coleada hacia afuera y a ser leptocúrtica.

Variable S.

Tabla 9. Estadísticos descriptivos de la variable S.

Md	S	Min	Máx.	Asimetría	Curtosis
1	1,039	0	4	1,164	1,558

La mitad de los datos poseen una o menos respuesta de espacio en blanco, siendo la mediana el estadístico representativo, ya que los datos no se distribuyen normalmente, lo cual puede observarse en la representación gráfica (Ver Anexo A, gráfico 5). Con relación a la dispersión, no se evidencia variabilidad. La forma de la distribución es coleada hacia afuera y la curtosis sugiere que es leptocúrtica.

Variable COP.

Tabla 10. Estadísticos descriptivos de la variable COP.

Md	S	Min	Máx.	Asimetría	Curtosis
1	1,386	0	5	1,021	0,404

Podemos observar que no se distribuye de forma normal (ver Anexo A, gráfico 6) además, la distribución es coleada hacia afuera, es decir la mayoría de los datos se acumulan por encima de la mediana. La curtosis señala que es una distribución platicúrtica. Con relación a la dispersión, se puede observar que el recorrido de la variable se encuentra entre 0 y 5, lo que aunado a una dispersión de 1,386 sugiere la presencia de una distribución moderadamente homogénea.

Variable AG.

Tabla 11. Estadísticos descriptivos de la variable AG.

Md	S	Min	Máx.	Asimetría	Curtosis
1	1,312	0	5	1,108	0,978

La variable no se distribuye de forma normal, puesto que la prueba de normalidad no resultó significativa (Ver Anexo A, gráfico 7). Es así como el estadístico más adecuado es la mediana, que indica que la mayoría de los protocolos no contienen respuestas con contenidos agresivos. La distribución es coleada hacia afuera y es platicúrtica. Con relación a la dispersión, se puede observar poca variabilidad, siendo más bien homogénea.

Variable GHR.

Tabla 12. Estadísticos descriptivos de la variable GHR.

Md	S	Min	Máx.	Asimetría	Curtosis
2	1,938	0	8	0,922	1,071

La dispersión que se observa, sugiere poca variabilidad entre los datos obtenidos por la variable, siendo esta una distribución homogénea, su forma es leptocúrtica y está coleada hacia adentro. El estadístico representativo es la mediana, ya que los datos no se distribuyen de forma normal (Ver Anexo A, gráfico 8).

Variable PHR.

Tabla 13. Estadísticos descriptivos de la variable PHR.

Md	S	Min	Máx.	Asimetría	Curtosis
3	2,406	0	12	1,357	3,500

La variable no se distribuye de forma normal, pues la prueba de normalidad no resultó significativa, lo que puede verse en la representación gráfica (Ver Anexo A, gráfico 9). La distribución es coleada hacia afuera y leptocúrtica, más bien apuntalada. Con relación a la dispersión, se evidencia variabilidad y heterogeneidad.

Variable PER.

Tabla 14. Estadísticos descriptivos de la variable PER.

Md	S	Min	Máx.	Asimetría	Curtosis
0	0,634	0	2	0,974	0,10

La mitad de los datos no presenta respuestas personalizadas, además la distribución presenta poca variabilidad, lo que señala que es homogénea, por su poco recorrido estando comprendido entre cero y dos. Como se puede evidenciar en gráfico (Ver Anexo A, gráfico 10) no se ajusta a la forma normal, siendo coleada hacia adentro y con tendencia mesocúrtica.

Variable MOR.

Tabla 15. Estadísticos descriptivos de la variable MOR.

Md	S	Min	Máx.	Asimetría	Curtosis
1	1,346	0	5	1,198	1,011

De esta variable, puede decirse que no se distribuye normalmente, pues el valor de la normalidad no es significativo (Ver Anexo A, gráfico 11). La asimetría señala la presencia de una distribución coleada hacia afuera, y la curtosis refleja que es leptocúrtica. El recorrido y la desviación evidencian una distribución homogénea.

Variable Movimiento activo (a).

Tabla 16. Estadísticos descriptivos de la variable Movimiento activo (a).

Md	S	Min	Máx.	Asimetría	Curtosis
7	2,750	3	14	-0,542	-0,410

La dispersión que se observa, sugiere variabilidad entre los datos obtenidos por la variable, siendo esta una distribución heterogénea, su forma es platicúrtica y está coleada hacia adentro. El estadístico representativo es la mediana, ya que los datos no se distribuyen de forma normal (Ver Anexo A, gráfico 12).

Variable Movimiento pasivo (p).

Tabla 17. Estadísticos descriptivos de la variable Movimiento pasivo (p).

Md	S	Min	Máx.	Asimetría	Curtosis
2	1.425	0	5	0,222	-0,407

La mitad de los datos poseen dos o menos respuestas de movimiento pasivo, siendo la mediana el estadístico representativo, ya que los datos no se distribuyen normalmente, lo cual puede observarse en la representación gráfica (Ver Anexo A, gráfico 13). Con relación a la dispersión, no se evidencia homogeneidad. La forma de la distribución es coleada hacia afuera y la curtosis sugiere que es platicúrtica.

Variable Fd.

Tabla 18. Estadísticos descriptivos de la variable Fd.

Md	S	Min	Máx.	Asimetría	Curtosis
0	0,688	0	2	0,996	-0,143

Podemos observar que no se distribuye forma normal (ver Anexo A, gráfico 14) además, la distribución es coleada hacia afuera, es decir la mayoría de los datos se acumulan por encima de la mediana. La curtosis señala que es una distribución platicúrtica. Con relación a la dispersión, se puede observar que el recorrido de la variable se encuentra entre 0 y 2, lo que aunado a una dispersión de 0, 688 sugiere la presencia de una distribución bastante homogénea.

Variable SumT.

Tabla 19. Estadísticos descriptivos de la variable SumT.

Md	S	Min	Máx.	Asimetría	Curtosis
1	0,754	0	3	1,245	1,292

Los datos de esta variable no se distribuyen de forma normal (Ver Anexo A, gráfico 15). La desviación y el rango permiten afirmar que hay poca variabilidad en los valores. La asimetría y la curtosis indican la presencia de una distribución coleada hacia afuera que es leptocúrtica.

Variable H.

Tabla 20. Estadísticos descriptivos de la variable H.

Md	S	Min	Máx.	Asimetría	Curtosis
1	1,210	0	4	1,111	0,119

La gráfica señala como los valores esperados para la obtención de una curva normal no se corresponden con los obtenidos (Ver Anexo A, gráfico, 16). Otro indicador de la falta de normalidad está relacionado con la asimetría, la cual evidencia que la distribución está coleada hacia afuera. El estadístico representativo, la mediana, indica que la mitad de los datos presenta una o menos respuestas de contenido humano. La distribución tiende a ser

mesocúrtica. Asimismo, se puede observar que existe homogeneidad y poca variabilidad en los datos de la variable H.

Variable Hd.

Tabla 21. Estadísticos descriptivos de la variable Hd.

Md	S	Min	Máx.	Asimetría	Curtosis
1	2,186	0	10	2,120	6,288

La variable no se distribuye de forma normal, pues la prueba de normalidad no resultó significativa, lo que puede verse en la representación gráfica (Ver Anexo A, gráfico 17). La distribución es coleada hacia afuera y leptocúrtica, más bien apuntalada. Con relación a la dispersión, se evidencia variabilidad y heterogeneidad.

Variable (H).

Tabla 22. Estadísticos descriptivos de la variable H.

Md	S	Min	Máx.	Asimetría	Curtosis
1	1,211	0	4	0,800	-3,470

La gráfica señala como los valores esperados para la obtención de una curva normal no se corresponden con los obtenidos (Ver Anexo A, gráfico, 18). Otro indicador de la falta de normalidad está relacionado con la asimetría, la cual evidencia que la distribución está coleada hacia afuera. La distribución tiende a ser platicúrtica. Asimismo, se puede observar que existe homogeneidad y poca variabilidad en los datos de la variable.

Variable (Hd).

Tabla 23. Estadísticos descriptivos de la variable H.

Md	S	Min	Máx.	Asimetría	Curtosis
0	0,634	0	2	0,974	0,010

Los datos de esta variable no se distribuyen de forma normal (Ver Anexo A, gráfico 19). La desviación y el rango permiten afirmar que hay poca variabilidad en los valores. La asimetría y la curtosis indican la presencia de una distribución coleada hacia afuera que es leptocúrtica y apuntalada.

Variable Índice de Aislamiento.

Tabla 24. Estadísticos descriptivos de la variable Índice de Aislamiento.

X	S	Min	Máx.	Asimetría	Curtosis
0,1934	0,169	0,0	0,79	1,741	4,574

Esta variable no se distribuye normalmente, ya que el valor de la normalidad no es significativo (Ver Anexo A, gráfico 20). La asimetría señala la presencia de una distribución coleada hacia afuera, mientras que la curtosis refleja que es leptocúrtica y apuntalada. El recorrido y la desviación evidencian una distribución es heterogénea.

Variable CDI.

Tabla 25. Estadísticos descriptivos de la variable CDI.

Md	S	Min	Máx.	Asimetría	Curtosis
2	1,149	1	5	-0,080	-0,905

El CDI no se distribuye normalmente en el gráfico los valores no se ajustan a la diagonal (Ver Anexo A, gráfico 21). Además, la asimetría que presenta indica que es una distribución coleada hacia adentro, y la curtosis señala que es platicúrtica. En cuanto a la dispersión, los datos poseen poca variabilidad, presentando una distribución homogénea. Es importante resaltar que esta constelación resultó positiva (CDI>3) para el 63,3% de los niños de la muestra.

Variable AgC.

Tabla 26. Estadísticos descriptivos de la variable AgC.

Md	S	Min	Máx.	Asimetría	Curtosis
3	2,474	0	11	1,193	1,978

La mitad de los datos presenta tres o menos respuestas de contenido agresivo, además la distribución variabilidad, lo que señala que es heterogénea, por su poco recorrido estando comprendido entre 0 y 11. Como se puede evidenciar en gráfico (Ver Anexo A, gráfico 22) no se ajusta a la forma normal, siendo coleada hacia afuera y con tendencia leptocúrtica.

Variable AgPast.

Tabla 27. Estadísticos descriptivos de la variable AgPast.

Md	S	Min	Máx.	Asimetría	Curtosis
0	0,708	0	3	2,005	3,658

La dispersión que se observa, sugiere poca variabilidad entre datos obtenidos para la variable, siendo esta una distribución homogénea, su forma es leptocúrtica y está coleada hacia afuera. El estadístico representativo es la mediana, ya que los datos no se distribuyen de forma normal (Ver Anexo A, gráfico 23).

Variable AgPot.

Tabla 28. Estadísticos descriptivos de la variable AgPot.

Md	S	Min	Máx.	Asimetría	Curtosis
0	1,115	0	5	2,495	7,670

Podemos observar que no se distribuye forma normal (ver Anexo A, gráfico 24) además, la distribución es coleada hacia afuera, es decir la mayoría de los datos se acumulan por encima de la mediana. La curtosis señala que es una distribución leptocúrtica. Con relación a la dispersión, se puede observar que el recorrido de la variable se encuentra entre 0 y 5, lo que aunado a una dispersión de 1,115 sugiere la presencia de una distribución bastante homogénea.

Variable Ag1O.

Tabla 29. Estadísticos descriptivos de la variable Ag1O.

Md	S	Min	Máx.	Asimetría	Curtosis
0	0,564	0	3	2,746	6,828

La gráfica señala como los valores esperados para la obtención de una curva normal no se corresponden con los obtenidos (Ver Anexo A, gráfico, 25). Otro indicador de la falta de normalidad está relacionado con la asimetría, la cual evidencia que la distribución está

coleada hacia afuera. La distribución tiende a ser leptocúrtica. Asimismo, se puede observar que existe homogeneidad y poca variabilidad en los datos de la variable.

Variable Ag2O.

Tabla 30. Estadísticos descriptivos de la variable Ag2O.

Md	S	Min	Máx.	Asimetría	Curtosis
2	1,990	0	8	0,598	0,110

La dispersión que se observa, sugiere variabilidad entre los datos obtenidos esta variable, teniendo una distribución heterogénea, su forma tiene tendencia mesocúrtica y está coleada hacia afuera. El estadístico representativo es la mediana, ya que los datos no se distribuyen de forma normal (Ver Anexo A, gráfico 26)

Variable Ag1A.

Tabla 31. Estadísticos descriptivos de la variable Ag1A.

Md	S	Min	Máx.	Asimetría	Curtosis
0	0,577	0	2	2,371	4,738

Los datos de esta variable no se distribuyen de forma normal (Ver Anexo A, gráfico 27). La desviación y el rango permiten afirmar que hay poca variabilidad en los valores. La asimetría y la curtosis indican la presencia de una distribución coleada hacia afuera que es leptocúrtica y apuntalada.

Variable Ag2A.

Tabla 32. Estadísticos descriptivos de la variable Ag2A.

Md	S	Min	Máx.	Asimetría	Curtosis
1	1,713	0	7	1,583	2,912

Con relación a esta variable, puede decirse que no se distribuye normalmente, ya que el valor de la normalidad no es significativo (Ver Anexo A, gráfico 28). La asimetría señala la presencia de una distribución coleada hacia afuera, mientras que la curtosis refleja que es leptocúrtica y apuntalada.

Variable Ag1R.

Tabla 33. Estadísticos descriptivos de la variable Ag1R.

Md	S	Min	Máx.	Asimetría	Curtosis
0	0,384	0	1	2,748	5,961

La variable no se distribuye de forma normal, puesto que la prueba de normalidad no resultó significativa (Ver Anexo A, gráfico 29). Es así como el estadístico más adecuado es la mediana, que indica que la mayoría de los protocolos no contienen respuestas codificadas como Ag1R. La distribución es coleada hacia afuera y es leptocúrtica. Con relación a la dispersión, se puede observar poca variabilidad, siendo más bien homogénea.

Variable Ag2R.

Tabla 34. Estadísticos descriptivos de la variable Ag2R.

Md	S	Min	Máx.	Asimetría	Curtosis
0	0,384	0	1	1,831	1,446

Con relación a esta variable, puede decirse que no se distribuye normalmente, ya que el valor de la normalidad no es significativo (Ver Anexo A, gráfico 30). La asimetría señala la presencia de una distribución coleada hacia afuera, mientras que la curtosis refleja que es leptocúrtica y apuntalada. El recorrido y la desviación evidencian una distribución es homogénea.

Variable Ag1V.

No se presentó en ninguno de los protocolos estudiados.

Variable Ag2V.

Tabla 35. Estadísticos descriptivos de la variable Ag2V.

Md	S	Min	Máx.	Asimetría	Curtosis
1	1,382	0	4	1,489	1,717

La gráfica señala como los valores esperados para la obtención de una curva normal no se corresponden con los obtenidos (Ver Anexo A, gráfico, 31). Otro indicador de la falta

de normalidad está relacionado con la asimetría, la cual evidencia que la distribución está coleada hacia afuera. La distribución tiende a ser leptocúrtica. Asimismo, se puede observar que existe homogeneidad y poca variabilidad en los datos de la variable.

En cuanto a las variables medidas en el Test de los Cuentos de Hadas (FTT) encontramos:

Variable AGdef.

Tabla 36. Estadísticos descriptivos de la variable AGdef.

Md	S	Min	Máx.	Asimetría	Curtosis
2	2,993	0	15	3,005	11,817

Con relación a esta variable, puede decirse que no se distribuye normalmente, ya que el valor de la normalidad no es significativo (Ver Anexo B, gráfico 32). La asimetría señala la presencia de una distribución coleada hacia afuera, mientras que la curtosis refleja que es leptocúrtica y apuntalada. El recorrido y la desviación evidencian una distribución heterogénea.

Variable AgA.

Tabla 37. Estadísticos descriptivos de la variable AgA.

Md	S	Min	Máx.	Asimetría	Curtosis
3	3,501	0	11	1,332	1,171

La gráfica señala como los valores esperados para la obtención de una curva normal no se corresponden con los obtenidos (Ver Anexo B, gráfico, 33). Otro indicador de la falta de normalidad está relacionado con la asimetría, la cual evidencia que la distribución está coleada hacia afuera. La distribución tiende a ser leptocúrtica. Asimismo, se puede observar que existe heterogeneidad y variabilidad en los datos de la variable.

Variable AGcel.

Tabla 38. Estadísticos descriptivos de la variable AGcel.

Md	S	Min	Máx.	Asimetría	Curtosis
0	1,690	0	6	2,312	4,685

Podemos observar que no se distribuye forma normal (ver Anexo B, gráfico 34) además, la distribución es coleada hacia afuera, es decir la mayoría de los datos se acumulan por encima de la mediana. La curtosis señala que es una distribución leptocúrtica. Con relación a la dispersión, se puede observar que el recorrido de la variable se encuentra entre 0 y 6, lo que aunado a una dispersión de 1,690 sugiere la presencia de una distribución bastante homogénea.

Variable AGven.

Tabla 39. Estadísticos descriptivos de la variable AGven.

Md	S	Min	Máx.	Asimetría	Curtosis
0	2,713	0	12	2,082	5,625

La mitad de los datos poseen no respuestas de agresión por venganza, siendo la mediana el estadístico representativo, ya que los datos no se distribuyen normalmente, lo cual puede observarse en la representación gráfica (Ver Anexo B, gráfico 35). Con relación a la dispersión, no se evidencia homogeneidad. La forma de la distribución es coleada hacia afuera y la curtosis sugiere que es platicúrtica.

Variable AGor.

Tabla 40. Estadísticos descriptivos de la variable AGor.

Md	S	Min	Máx.	Asimetría	Curtosis
0	1,074	0	4	2,143	3,831

Podemos observar que no se distribuye forma normal (ver Anexo B, gráfico 36), se puede ver cómo los valores se alejan de la diagonal, la distribución es coleada hacia afuera, es decir la mayoría de los datos se acumulan por encima de la mediana. La curtosis señala que es una distribución platicúrtica. Con relación a la dispersión, se puede observar que el recorrido de la variable se encuentra entre 0 y 4, siendo una distribución homogénea.

Variable AGdom.

Tabla 41. Estadísticos descriptivos de la variable Agdom.

Md	S	Min	Máx.	Asimetría	Curtosis
0	2,102	0	9	2,582	7,132

La variable no se distribuye de forma normal, puesto que la prueba de normalidad no resultó significativa (Ver Anexo B, gráfico 37). Es así como el estadístico más adecuado es la mediana, que indica que la mayoría de los protocolos no contienen respuestas de agresión como dominancia. La distribución es coleada hacia afuera y es leptocúrtica. Con relación a la dispersión, se puede observar poca variabilidad, siendo más bien homogénea.

Variable Tag.

Tabla 42. Estadísticos descriptivos de la variable TAg.

Md	S	Min	Máx.	Asimetría	Curtosis
0	2,270	0	10	2,980	9,216

Con relación a esta variable, puede decirse que no se distribuye normalmente, ya que el valor de la normalidad no es significativo (Ver Anexo B, gráfico 38). La asimetría señala la presencia de una distribución coleada hacia afuera, mientras que la curtosis refleja que es leptocúrtica y apuntalada. El recorrido y la desviación evidencian una distribución homogénea.

Variable DEP.

Tabla 43. Estadísticos descriptivos de la variable DEP.

Md	S	Min	Máx.	Asimetría	Curtosis
5	4,833	0	24	2,060	6,240

La gráfica señala como los valores esperados para la obtención de una curva normal no se corresponden con los obtenidos (Ver Anexo B, gráfico, 39). Otro indicador de la falta de normalidad está relacionado con la asimetría, la cual evidencia que la distribución está coleada hacia afuera. La distribución es leptocúrtica y apuntalada. Asimismo, se puede observar que existe heterogeneidad y variabilidad en los datos.

Variable DAy.

Tabla 44. Estadísticos descriptivos de la variable DAy.

Md	S	Min	Máx.	Asimetría	Curtosis
0	1,221	0	6	3,906	16,335

Los datos de esta variable no se distribuyen de forma normal (Ver Anexo B, gráfico 40). La desviación y el rango permiten afirmar que hay poca variabilidad en los valores. La asimetría y la curtosis indican la presencia de una distribución coleada hacia afuera que es leptocúrtica y apuntalada.

Variable Nafil.

Tabla 45. Estadísticos descriptivos de la variable Nafil.

Md	S	Min	Máx.	Asimetría	Curtosis
2	2,173	0	9	1,005	1,127

La variable no se distribuye de forma normal, puesto que la prueba de normalidad no resultó significativa (Ver Anexo B, gráfico 41). Es así como el estadístico más adecuado es la mediana, que en este caso representa la presencia de 2 respuestas de necesidad de afiliación. La distribución es coleada hacia afuera y es leptocúrtica. Con relación a la dispersión, se puede observar poca variabilidad, siendo más bien homogénea.

Variable Nafec.

Tabla 46. Estadísticos descriptivos de la variable Nafec.

Md	S	Min	Máx.	Asimetría	Curtosis
2	2,993	0	15	3,005	11,817

La dispersión que se observa, sugiere variabilidad entre los datos obtenidos, siendo esta una distribución heterogénea, su forma es leptocúrtica y está coleada hacia afuera. El estadístico representativo es la mediana, ya que los datos no se distribuyen de forma normal (Ver Anexo B, gráfico 42).

Variable Nor.

Tabla 47. Estadísticos descriptivos de la variable Nor.

Md	S	Min	Máx.	Asimetría	Curtosis
2	3,501	0	12	1,332	1,171

Podemos observar que no se distribuye forma normal (ver Anexo B, gráfico 43) además, la distribución es coleada hacia afuera, es decir la mayoría de los datos se acumulan por encima de la mediana. La curtosis señala que es una distribución leptocúrtica. Con relación a la dispersión, se puede observar que el recorrido de la variable se encuentra entre 0 y 12, lo que aunado a una dispersión de 3,501 sugiere la presencia de una distribución bastante heterogénea.

Variable Napro.

Tabla 48. Estadísticos descriptivos de la variable Napro.

Md	S	Min	Máx.	Asimetría	Curtosis
0	0,922	0	4	3,213	10,278

La gráfica señala como los valores esperados para la obtención de una curva normal no se corresponden con los obtenidos (Ver Anexo, gráfico, 44). Otro indicador de la falta de normalidad está relacionado con la asimetría, la cual evidencia que la distribución está coleada hacia afuera. La distribución tiende a ser leptocúrtica y apuntalada. Asimismo, se puede observar que existe homogeneidad y poca variabilidad en los datos de la variable.

4. Análisis de correlaciones entre las pruebas.

En el presente estudio se presentaron como hipótesis las relaciones entre las siguientes variables:

1) Índice de Inhabilidad Social (CDI > 3) y Depresión (DEP).

2) Respuestas p > a + 1 y Necesidad de aprobación (Napro) y Necesidad de protección (Nprot).

3) Respuestas con contenido de comida (Fd) > 1 y Respuestas con determinante de Textura ≥ 1 y Necesidad de Afecto (Nafec).

4) *Respuestas con determinante de Textura T= 0* y *Necesidad de Afecto (Nafec=0).*

5) Aislamiento > 0.25 y Necesidad de Afiliación (Factor 6).

6) Respuestas de Agresión Potencial (Ag Pot > 1) y Temor a la agresión (Tag).

7) Respuestas con contenido de comida (Fd > 1) y Respuestas con determinante de Textura T ≥ 1 y Necesidad de Afiliación (Factor 6).

8) Respuestas con Movimiento Agresivo (AG> 2) y Respuestas de Contenido Agresivo (AgC) y Agresión hostil y Aislamiento Social (Factor 6).

9) Respuestas de contenido Mórbido (MOR) disminuidas y Concepto de sí mismo (Factor 4).

10) Respuestas con Movimiento Agresivo (AG > 2) y Posesividad (Factor 8).

11) Respuestas que contienen *Movimiento Agresivo (AG) y Movimiento Cooperativo (COP)* y *Deseo de Ayudar* (Day).

12) Respuestas que contienen *Movimiento Agresivo (AG) y Movimiento Cooperativo (COP)* y la escala *Agresión defensiva* (Factor 10).

13) Respuestas de *Oral Agresivo (Ag1O y Ag2O)* y *Agresión Oral* (AGor).

14) Respuestas de *Oral Agresivo (Ag1O)* y *Agresión tipo A* (AgA).

15) Respuestas de *Agresión pasada (Ag Past)* y *Agresión por venganza* (AGven).

16) Respuestas de *Ataque Agresivo (Ag1A)* y *Agresión por celos* (AGcel).

Para evaluar la relación entre ambas pruebas se utilizó el coeficiente de correlación de Spearman, evidenciando que sólo una de las hipótesis planteadas fue confirmada, es la referida a la relación entre las respuestas Oral Agresivo (Ag1O y Ag2O) y las respuestas de Agresión Oral (AGor) en el FTT, con montos de 0,376 y 0,356 respectivamente.

Mientras que, los coeficientes de las otras relaciones no resultaron significativos estando comprendidos entre 0,010 y 0,149-.

A continuación, se presentan los coeficientes de correlación estadísticamente significativos (p=0,005), en sentido general las relaciones encontradas entre las variables son de una moderada intensidad. Éstas se presentan a continuación:

Tabla 49. Correlaciones significativas entre el Test de Cuentos de Hadas y el Método de Psicodiagnóstico de Rorschach.

VARIABLES	COEFICIENTES DE CORRELACIÓN SIGNIFICATIVOS	VARIABLES	COEFICIENTES DE CORRELACIÓN SIGNIFICATIVOS
AMBtot – AgPot	-0,333	ANStot – p	-0,407
ANStot – MOR	0,340	ANStot – AgPot	0,385
ANStot – AG	0,335	AGor - Ag1A	0,373
AGdef – p	0,446	AGor – Ag2O	0,356
AGor – Ag1O	0,376	AGven – Ag2V	0,329
AGven – AgPot	0,485	AGven – MOR	0,403
AGcel – Ag2V	0,603	AGcel – AgPast	0,400
AGcel – GHR	0,345	AGcel – FT	0,485
AGcel – H	0,387	AgA – AgPot	-0,417
Nafect –p	0,446	Nafil – Ag1R	-0,414
Napro – GHR	0,396	Napro – (Hd)	0,446
Napro – Hd	0,320	Nor – (Hd)	0,414
Nor – COP	-0,330	Day – Hd	-0,387
Day – T	0,547	DEP – Ag1O	0,351
RELMA – COP	0,462	RELMA – AgPast	0,404
RELMA – TF	0,360	RELMA – AG	0,382
RELMA – Ag2R	0,477	RELPA – GHR	-0,372
DCM- Hd	0,396	Tag – COP	-0,362
Factor 2 – Ag2R	0, 445	Factor 2 - COP	-0,561
Factor 3 – T	-0,411	Factor 3 – AgC	0,370
Factor 4 – AgC	0,365	Factor 4 - PHR	0,410
Factor 5 – AgPot	0,477	Factor 5 – p	-0,384
Factor 8 – AgPot	0,378	Factor 9 – Hd	0,374
Factor 9 – a	-0,370	Factor 10- AgPot	-0,415

Es así como se evidencia que la escala ambivalencia total (AMBtot) del FTT tiene una relación media y negativa con la variable agresión potencial (AgPot), con un coeficiente de -0,333.

Por otra parte, con ansiedad total (ANStot) del FTT se observa una relación media baja y positiva con los códigos de movimiento agresivo (AG) y de agresión potencial, siendo éstos de 0, 335 y 0,385, respectivamente.

Mientras que la relación con las respuestas con contenido mórbido (MOR) es media y positiva (0,340) y con la variable movimiento pasivo (p) es inversa y de monto medio (-0,407).

La escala agresión defensiva (AGdef) del Test de cuentos de hadas correlaciona positivamente y con un monto medio bajo (0,446) con las respuestas de movimiento pasivo (p) en el Rorschach.

En las respuestas del FTT que corresponden a la variable agresión oral (AGor) se relaciona de manera media baja y positiva con dos de las escalas de contenido de Holt; oral agresiva, tanto para el nivel 1 (Ag1O) como para la de nivel 2 (Ag2O), y ataque agresivo de nivel 1 (Ag1A) con montos de 0,373; 0,356 y 0,376 respectivamente.

En cuanto a agresión por venganza (AGven) presenta correlaciones significativas positivas y medias bajas con agresión potencial (AgPot) 0,485; víctimas de agresión de nivel 2 (Ag2V) 0,329 y con respuestas de contenido mórbido (MOR) 0,403.

Mientras, la escala de agresión por celos (AGcel) del FTT presenta una relación positiva media alta con víctimas de agresión de nivel 2 de Holt (Ag2V) con un monto de 0,603.

Así como relaciones positivas y medias bajas con respuestas de buena representación humana (GHR), de contenido humano H, siendo estas 0,345 y 0,387, respectivamente. Además de evidenciarse una correlación positiva media con las respuestas de determinantes FT (0,485).

Se puede observar que la agresión tipo A (AgA) se relaciona con un coeficiente medio bajo y de forma negativa (-0,417) con la agresión potencial (AgPot) en el Rorschach.

En las escalas agrupadas en las necesidades en el Test de los Cuentos de Hadas (FTT) encontramos necesidad de afecto (Nafect) que presentó una relación media y positiva con las respuestas de movimiento pasivo (p) 0,446.

También, necesidad de aprobación (Napro) se relacionó de manera positiva y media baja con respuestas de buena representación humana (GHR), respuestas Hd y (Hd), con montos de 0,396; 0,320 y 0,446 respectivamente.

Mientras que, necesidad de afiliación (Nafil) correlaciona negativamente con respuestas codificadas como resultados a la agresión, nivel 1, (Ag1R), siendo ésta una relación media -0,414.

Por otra parte, necesidades orales (Nor) presentan una relación negativa y media baja con respuestas de movimientos cooperativos (COP) (-0.330) y directa de media intensidad con respuestas con contenidos Hd (0,414).

En cuanto al deseo de ayudar (Day), se evidencia una relación directa y moderada con las respuestas con determinante textura (T) (0,547), así como, una relación negativa media baja con respuestas de contenido (Hd) (-0,387).

Por su parte, la escala de deseo de cosas materiales (DCM) correlaciona positivamente con un monto medio bajo con las respuestas de contenido Hd (0,396) en el Rorschach.

Se observa una relación directa y media baja entre la escala depresión (DEP) en el Test de Cuentos de Hadas y las respuestas orales agresivas de nivel 1 (Ag1O) (0,351).

En cuanto a la escala de relación con la madre (RELMA) se evidenciaron relaciones directas y medias entre: movimiento cooperativo (COP) (0,462), respuestas con determinante FT (0,360), respuestas de agresión pasada (AgPast) (0,404), de movimiento agresivo (AG) (0,382) y resultados de la agresión, nivel 2, (Ag2R) (0,477).

Pero, en la escala de relación con el padre se observó una relación media baja y negativa con respuestas de buena representación humana (GHR) -0,372.

Además, temor a la agresión (Tag) correlaciona de forma inversa y con moderada intensidad con las respuestas de movimiento cooperativo (COP) -0,362.

Con respecto a los factores del Test de los Cuentos de Hadas (FTT), se evidenció que el factor 2, agresión instrumental, tiene una relación moderada y negativa con las respuestas cooperativas (COP) (-0,561) y una correlación directa y media con las respuestas con resultados de agresión de nivel 2 (Ag2R) (0,445).

Mientras que, el factor 3, control de impulsos, muestra relaciones con respuestas de contenido agresivo (AgC) y respuestas con determinante T, siendo la primera positiva y media baja (0,370) y la segunda negativa e igualmente media baja (-0,411).

En cuanto al factor 4, etiquetado como concepto de sí mismo presenta una relación positiva y media baja de 0,410 con respuestas con pobre representación humana (PHR) y con respuestas de contenido agresivo (AgC) 0,365 en el Rorschach.

El factor 5, ansiedad, se relaciona positiva y moderadamente con respuestas de agresión potencial (AgPot) (0,477) y media baja y negativa (-0,384) con movimiento pasivo (p).

La posesividad es el factor 8 que correlaciona directamente con un monto medio con la agresión potencial (AgPot) 0,378 en el Rorschach.

En el factor 9, Impulsividad sexual, del Test de los Cuentos de Hadas (FTT) se evidencia una relación media baja y negativa con movimiento activo (a) -0,370 y una correlación directa y de monto medio bajo con respuestas de contenido Hd 0,374.

Por último, se observa una relación inversa y media del factor 10, agresión hostil y aislamiento social con respuestas de agresión potencial en el Rorschach con un monto en el coeficiente de -0,415.

5. Análisis cualitativo tipo de contenido de las respuestas pares que tienen como determinantes M y/o FM.

En primer lugar, se presentan las respuestas pares con determinantes de movimiento humano y/o animal:

Sujeto 1 (Edad 5).

Lámina II.
Estos cachitos son unos pajaritos o un elefante que tiene algo aquí.
E: (repite respuesta S).

S: un elefante que tiene algo aquí, pero chiquito, tiene cachitos y esto y esto, es el diente, no son 2 elefantes uno aquí que está jugando con el otro elefante.

Lámina VIII.

Una lagartija, no 2 lagartijas con un palito guindando.

E: (repite respuesta S).

S: mira estas son las paticas y esto es el palito, esta broma aquí, ellos querían bajar otra vez y un señor los quería agarrar con este palito.

Sujeto 2 (Edad 6).

Lámina III.

Unos monos.

E: (repite respuesta S).

S: son 2 monos, tienen su cara, cuerpo, patas aquí, son negros y están parados ahí.

Sujeto 3 (Edad 6).

Lámina VII.

Una roca y dos perritos aquí.

E: (repite respuesta S).

S: la roca es gris y dura y los perritos son grandes y están como jugando, aquí están las orejas, la nariz y la cola.

Lámina VIII.

Unos tigres aquí.

E: (repite respuesta S).

S: estas son las patas, cola y el ojo aquí, están escalando la montaña.

Lámina IX.

Cuántas son?, me parece unos ángeles.

E: (repite respuesta S).

S: piernas, boca, ojos, oreja y alas, son 2 mira! Y están durmiendo, este es el ojo y las piernas.

Lámina X.

Me parecen unas arañas.

E: (repite respuesta S).

S: están construyendo la telaraña, tienen las manos y las patas y la telaraña.

Sujeto 4 (Edad 5).

Lámina VIII.

< unos cochinos con pescado aquí.

E: (repite respuesta S).

S: tiene pescado por aquí abajo y se parece a unos cochinos en la cara porque son rosa y están caminando sobre el pescado que está en el piso tirado.

Lámina X.

Dinosaurios de fuego que están escalando.

E: (repite respuesta S).

S: son chiquitos y amarillos y naranja como de fuego y están escalando por todo esto rosa que es como una montaña.

Sujeto 6 (Edad 6).

Lámina II.

Dos osos.

E: (repite respuesta S).

S: tienen las manos juntas, se parecen a osos en su cuerpo grande aquí, están chocando las manos aquí, estas son.

Lámina III.

Dos señoras.

E: (repite respuesta S).

S: tienen el cabello y la nariz esto aquí es el cabello (soba la lámina), tiene piernas y manos y están tocando una calabaza y aquí la cabeza y la boca.

Lámina VII.

Aquí otra mala y otra buena

E: (repite respuesta S).

S: estas son caras de niñas, parece cuando uno está contento, tienen la boca normal y se están riendo, aquí tienen la nariz y los ojos y la cabeza.

Lámina VIII.

Se parece a 2 peces arreglando unos papeles y arrancándolos.

E: (repite respuesta S).

S: tienen los mismos brazos y el mismo cuerpo de los peces, mira esto aquí está roto, tiene el mismo color que los peces, azul y plateado y estos son los papeles que está arrancando en los lados.

Lámina IX.

Dos sirenas sentadas en dos rocas.

E: (repite respuesta S).

S: están sentadas en las rocas, tienen la misma forma de estar sentadas, tienen esto una cosa como las sirenas verdes como la cola, se parece esto a la nariz y a la boca y a los ojos.

E: rocas?

S: tienen la misma forma de las rocas.

Sujeto 7 (Edad 6).

Lámina V.

Boca abierta de cocodrilo.

E: (repite respuesta S).

S: grande, la boca está abierta porque tienen hambre creo, o están bostezando.

Lámina VIII.

< 2 jaguares, digo pumas.

E: (repite respuesta S).

S: están cruzando una tierra, son de color rojo y tienen patas, se montan en un lugar.

Lámina IX.

< 2 cabezas de báquiros, digo gorilas.

E: (repite respuesta S).

S: son estas porque tienen ojos, nariz, boca y están peleando.

Lámina X.

Dos cangrejos.

E: (repite respuesta S).

S: ojos aquí, están peleando, tiene la forma de los escorpiones de las comiquitas, esta es la cola donde tiene el veneno, la tiene levantada preparándose.

Sujeto 8 (Edad 6).

Lámina II.

Un zombi.

E: (repite respuesta S).

S: ojos de zombis que ha perdido la cabeza, se le están moviendo así (hace muecas con la cara) y anda con la cabeza como si estuviera al revés.

Lámina III.

2 bellas chicas, 2 enfermeras de perros y aquí está el paciente perro.

E: (repite respuesta S).

S: nariz puntiaguda, delgadas como unas chicas adolescentes, las enfermeras están operando al paciente perro, le están metiendo la mano en el pie.

E: ayúdame a ver el perro como tú lo ves.

S: es gordo, igual a un poodle pero negro, es así gordito y peludito.

Lámina VII.

Dos mujeres sentadas haciendo yoga con coronas.

S: están en el césped en una toalla, en un paisaje muy hermoso, estas son las piernas cruzadas y el cuerpo, la cabeza con coronas aquí.

Lámina X.

Cangrejos.

E: (repite respuesta S).

S: paticas, ojitos, están moviéndose.

Arañas.

E: (repite respuesta S).

S: tienen muchas patas y se mueven.

Sujeto 9 (Edad 6).

Lámina VII.

Dos brazos.

E: (repite respuesta S).

S: 2 brazos moviéndose, están jugando al pulgar, ese juego que pegan el pulgar y las manos con fuerza.

Lámina IX.

Dos pececitos.

E: (repite respuesta S).

S: tienen un cacho atrás por el medio, las aletas y se están peleando con el agua.

Sujeto 10 (Edad 7).

Lámina VII.

Es cada vez más difícil,

v Parecen 2 monstruos con un pie y un mano bailando.

E: (repite respuesta S).

S: cabeza como de robot, cuerpo cuadrado, tronco y las piernas las tiene como cuadrado redondeado y semicírculo en el lado derecho e izquierdo, esos son los monstruos que están bailando.

Lámina VIII.

Unas lombrices agarradas de las manos.

E: (repite respuesta S).

S: delgaditas, unas verdes y otras anaranjadas quieren como cerrar el dibujito.

Animales que están caminando por encima de una cosa.

E: (repite respuesta S).

S: son rosa y de 3 patas y caminan, pareciera que tuvieran ojos y trompa de elefante por un lado y la cara de puma por el otro.

Lámina X.

Insectos que se están peleando.

E: (repite respuesta S).

S: son azules, raros, se están peleando con sus hojas, estas verdes, tienen muchas patas.

Sujeto 11 (Edad 6).

Lámina III.

Extraterrestres.

E: (repite respuesta S).

S: son feos, tiene aquí la cabeza, piernas que se están juntando, están como torcidas y tiene unas patas feas, su cuerpo es este feo, es de extraterrestre.

Lámina X.

No me parece nada, nada existe, bueno, peces.

E: (repite respuesta S).

S: ojitos, naricita, aletica y su cuerpo amarillo, están nadando.

Sujeto 12 (Edad 7).

Lámina II.

Dos osos están comiendo algo.

E: (repite respuesta S).

S: tiene las garras y está la sangre del animal, aquí en su cuerpo y aquí y aquí, la sangre está en su boca, la sangre es roja y viene de los animales, y el cuerpo de los osos que tienen la boca y sus garras.

Sujeto 13 (Edad 7).

Lámina VIII.

Animal que no me acuerdo el nombre, se monta en los árboles y saca la lengua para comer abejas y todo lo que sea chiquito y vuele.

E: (repite respuesta S).

S: tiene los ojos aquí, tiene en cuerpo aquí, hay 2 de esos animales, tienen patas, están subiendo.

Sujeto 14 (Edad 8).

Lámina VII.

Caras acá en los lados, una bien y la otra como dormida.

E: (repite respuesta S).

S: son 4 caras, 2 parecen de cochino, uno malo y uno dormido, tiene ojos de malo, boca fea, es malo, está como triste y el otro está dormido, tiene los ojos cerrados. Y las otras 2 caras son de conejo gritando duro, la nariz, oreja y las bocas abiertas.

Lámina VIII.

Dos tigres.

E: (repite respuesta S).

S: tienen cara de tigre y patas, son rosa, le falta la cola y están como trepando.

Sujeto 15 (Edad 7).

Lámina VIII.

Una montaña de animales, elefantes, pumas, búfalos, cocodrilos y 2 tigres que se juntaron e hicieron una montaña.

E: (repite respuesta S).

S: están construidos en una roca, trompa, ojo, ojo, orejas, los pumas son grandes, cola grande que se pega a la cabeza del elefante y se va fundiendo, el cocodrilo es largo y son verdes, están ayudando a los pumas a subir, pero son como una escultura construida en piedra.

Lámina IX.

Camellos.

E: (repite respuesta S).

S: camellos corren, son rojos y rápidos, cabeza y el cuerpo, están atacando.

Rinocerontes.

E: (repite respuesta S).

S: son verdes y están furiosos porque le doblaron los cuernos a la mitad y se los partieron, estos son los cuernos, 4 patas y cuerpo, están ayudando a los camellos.

Sujeto 16 (Edad 7).

Lámina III.

Dos personas.

E: (repite respuesta S).

S: tiene una cabeza y la nariz afilada, tienen zapatos altos, pareciera que estuvieran agarrando algo como bolsas aquí en el centro, esto negro.

Lámina VII.

Dos monitos montados en 2 piedras, uno en una mano y otro en la otra.

E: (repite respuesta S).

S: ojos, nariz, boca, están como arrodillado y esta es su cola, las piedras tienen unos huequitos aquí que son 2 piedritas que se cayeron, pero las piedras están pegadas aquí, y los monitos arriba, sus ojos, nariz y boca y cuerpo.

Lámina VIII.

Dos animalitos.

E: (repite respuesta S).

S: son de los que cambian de color y se están agarrando de las hojas para subir para acá arriba, son 2 uno a cada lado.

Sujeto 17 (Edad 7).

Lámina III.

Dos personas con una mariposa en el medio.

E: (repite respuesta S).

S: tiene piernas, cabeza, piquito porque son gallinas, su ropa y están tocando su nido y por el medio salió una mariposa, uno es más grande y es un gallo.

E: Mariposa?

S: alas, y su cuerpo, está volando en el medio de los 2 gallos.

Lámina VIII.

Dos lagartijas subiendo un tronco.

E: (repite respuesta S).

S: cola, patas, barrigas, espalda y cara de lagartijas subiendo, y el, y tronco tiene agujeros y unas flores en las ramas, tienen colores y forma de nada de flores, ramas y tronco, es de color marrón y las flores abajo.

Lámina X.

Dos arañas y tienen una hoja en la mano.

E: (repite respuesta S).

S: tienen muchas patas, cara y tienen una hoja verde y esta es la mano que están agarrando una hoja verde.

Dos cangrejos cargando un palo de algo.

E: (repite respuesta S).

S: están llevando un palo de árbol, son rojos y están agarrando un palo de madera.

Dos pajaritos chupando el polen de esta mano.

E: (repite respuesta S).

S: alas, pico, ojos y palo de la mata, está colgado chupando polen.

Sujeto 19 (Edad 9).

Lámina I.

Veo 2 manos con 2 ojos, unas alas, no son 2 personas.

E: (repite respuesta S).

S: son negras, delgadas, no tienen pelo, tienen 2 manos solamente, tiene 2 alas, están de espalda, derechas.

Lámina II.

A los lados 2 rinocerontes furiosos y peleando. Y abajo una mariposa. Y arriba son como unas manchas.

E: (repite respuesta S).

S: son grandes, negros, tienen colmillos, orejas y patas y son como gorditos, esta es la mariposa, estas son las alas y el cuerpo, está deteniendo la pelea de los rinocerontes, y estas manchas son rojas, medianas, manchas que pueden ser de sangre de rinocerontes peleando.

Lámina III.

Dos personas cocinando y también están peleando porque las 2 quieren el mismo.

E: (repite respuesta S).

S: tiene una pata cada uno, tienen una cara muy delgada y tiene como un pico, cuello, 2 brazos y el cuerpo como si fuera muy flaquito, están cocinando en la olla y se

empieza a pelear con el lazo, y esto es una pasta que se salió, unas son largas y otras pequeñas.

Lámina VII.

Dos personas que se quieren besar.

E: (repite respuesta S).

S: no, se quieren abrazar, tienen arriba como una pluma, una cara rectangular y el cuerpo está gordo y los brazos son estos 2.

Lámina X.

Cucarachitas agarrando como piedritas.

E: (repite respuesta S).

S: las cucarachas están agarrando las flores y piedritas, son flacas y tienen las patas muy finitas.

Sujeto 20 (Edad 8).

Lámina VII.

Personas.

E: (repite respuesta S).

S: personas más o menos altas de los 2 lados y unas chiquitas, están caminando para acá, mira.

Lámina VIII.

Personas.

E: (repite respuesta S).

S: personas más o menos altas de los 2 lados y unas chiquitas, están caminando para acá, mira.

Lámina IX.

Figuras que están puestas encima del agua.

E: (repite respuesta S).

S: estas 2 parecen como unos niños chiquitos, su cara están juntos, están pegados, son rosados y tienen algo aquí en la boca que se saca y manitos, lo verde parece como grama porque es verde y tiene estas orillas aquí así y la otra parece como animales anaranjados, son como grandes y tienen algo en la boca, tienen manos y pies.

Sujeto 21.

Lámina II.

Dos elefantes, están sentados, están uniendo sus trompas y están sangrientos.

E: (repite respuesta S).

S: están sentados como indio, chocan las trompas y la sangre está aquí y esto también, todas estas manchas rojas.

Sujeto 22 (Edad 8).

Lámina III.

Dos perritos y están enamorados.

E: (repite respuesta S).

S: esta es la patica, aquí un lazo, están juntos, se están juntando, porque se aman, quieren darse un besito, este lazo es un globo que el perrito le regaló a la hembra, están como flotando en el aire.

Lámina VII.

Dos niños que se están besando se van a besar y están patinando sobre hielo.

E: (repite respuesta S).

S: están juntos, aquí están unidos, se quieren porque se conocen, tienen como unos patines y esto blanco es el hielo.

Lámina VIII.

Dos escorpiones que están subiendo una montaña muy alta que se está cayendo.

E: (repite respuesta S).

S: tienen la cola igual que los escorpiones, está doblada, tiene las patas están como clavadas en la montaña y suben, quieren llegar arriba, esto es la montaña, tiene forma de montaña, está rota, mira estos espacios en blanco parece como rota.

Lámina IX.

Dos muñequitos de nieve.

E: (repite respuesta S).

S: están jugando y tienen 3 pelotas de nieve, están arriba y arriba es donde hace mucho frío, están unidos y parecen muñequitos de nieve de navidad.

Sujeto 23 (Edad 8).

Lámina I.

Una calabaza que no está terminada la boca.

E: (repite respuesta S).

S: ojos, la nariz, la boca que no está terminada y así termina la calabaza, mira aquí yo veo una rayita negra que está en el medio, es sólo esto.

Lámina II.

Dos gusanos, 2 lombrices.

E: (repite respuesta S).

S: boca en lo oscuro, tienen un solo ojo y no tienen más nada, son unas lombrices mutantes, su forma es así.

Lámina VIII.

< En la parte roja veo 2 camaleones.

E: (repite respuesta S).

S: forma de camaleón, lo veo con 4 patas y tiene la cara así como hacia abajo, está mirando hacia abajo.

Sujeto 24 (Edad 9).

Lámina X.

v Dos arañas.

E: (repite respuesta S).

S: grandes, tienen 10 patas, están agarrando una hoja y están caminando.

Dos peces.

E: (repite respuesta S).

S: son amarillos con ojos anaranjados, 2 aletas una arriba y otra abajo, cola son bonitos y nadan.

Sujeto 25 (Edad 10).

Lámina II.

Dos cerditos besándose.

E: (repite respuesta S).

S: chiquitos con una nariz grande, orejas grandes y patas chiquitas y tiene cuernos, estos punticos son los ojos.

Lámina VII.

Está difícil, niñas bailando, niños pobres.

E: (repite respuesta S).

S: gorra para bailar, piso, tienen como colas y las gorras son largas y están sucias, están bailando para ganar plata.

Lámina VIII.

Dos tigres tratando de pasar un atajo, sino lo hacen es el fin del mundo.

E: (repite respuesta S).

S: patas, cara, orejas y la boca abierta caminando entre cosas difíciles con puyas, cosas duras, huesos y espinas, ese es el atajo.

Lámina X.

Insectos.

E: (repite respuesta S).

S: verdes y grandes, están tratando de escapar de los escorpiones, están intentando saltar y tienen antenas muy chiquitas.

Saltamontes, los verdes.

E: (repite respuesta S).

S: pinzas, aguijón, quiere picar al saltamontes, está como estirando el aguijón.

Los azules son escorpiones.

E: (repite respuesta S).

S: con 4 patas, son chiquitas y quieren comerse a un pollito que están terminando de comer.

Sujeto 26 (Edad 9).

Lámina VII.

Dos señores que se están mirando.

E: (repite respuesta S).

S: cara, cuerpo, brazos, tiene la cara de una persona, tienen nariz, boca y pelos que están aquí como un medio circulo, se están como mirando.

Lámina VIII.

< Aquí me parecen tigres rojos, está parado como queriendo una presa para agarrar.

E: (repite respuesta S).

S: tiene aquí las 4 patas y la cara y la espalda, y está en posición de atacar una presa.

Lámina XI.

Parece como 2 monstruos gordos, están sacando mocos.

E: (repite respuesta S).

S: tiene una nariz muy larga, orejas muy grandes y barriga grande, aquí está su nariz y una línea de moco que sale de su nariz, es clarito, son mocos claritos.

Lámina X.

Dos arañas.

E: (repite respuesta S).

S: tienen muchas patas y con los dientes están agarrando comida y tienen solamente un ojo.

Sujeto 27 (Edad 9).

Lámina II.

Dos osos.

E: (repite respuesta S).

S: este y este, tienen forma de oso, tienen la cabeza, las patas, el cuerpo se están agarrando.

Lámina VI.

v Dos osos.

E: (repite respuesta S).

S: una parte de un oso y otro oso, son como osos al revés (voltea la lámina), patas delanteras y están tristes los 2, porque son hermanos y se pelearon, están de espaldas y se voltearon, están tristes porque se ven deprimidos por el color gris.

Lámina VII.

Dos toros.

E: (repite respuesta S).

S: esta es la parte trasera, están peleando con los cachos porque se están entrenando para entrar en la academia, pareciera que estuvieran corriendo y estuvieran bravos.

Dos perezosos

E: (repite respuesta S).

S: por la cola aquí parecen, se están como moviendo pero con mucha lentitud, este está paralizado porque están jugando STOP, los 2 hermanos están jugando.

Lámina VIII.

Dos zorros y un esqueleto de dinosaurio.

E: (repite respuesta S).

S: los zorros piensan que el esqueleto es una montaña y están corriendo para ver quién llega primero a la parte principal, estas son sus patas, estos son los zorros, este es su cuerpo y están subiendo corriendo.

S: son como espinas, como huesos, estas partes y esta parte es la espalda del dinosaurio, son puros huesos, tienen esa forma.

Lámina IX.

Está difícil!, una entrada a una cueva secreta con 2 osos vigilando la puerta.

E: (repite respuesta S).

S: esta es la entrada a la cueva, aquí hay una forma, puede ser la entrada a un bosque que es oscuro y estos son los 2 osos que están como alerta, y este aquí es el bosque.

Sujeto 29 (Edad 9).

Lámina III.

Dos señoras sentadas.

E: (repite respuesta S).

S: una aquí, las piernas, la otra que tiene un poco grande el cuello, redondeado y la mesa, las paticas de la mesa, adornitos y aquí lo plano, la forma de los pies de las señoras.

Dos aeromozas.

E: (repite respuesta S).

S: son las mismas 2 señoras sentadas pero tienen bufandas y esto es el volante del avión que está en automático y tiene la cortina recogida, estas son sus piernas y sus zapatos.

Lámina IX.

Otros elefantes así de lado.

E: (repite respuesta S).

S: aquí uno, la trompa y el otro, tienen trompa y están haciendo sonidos, se están preparando para hacer el sonido.

En el caso de los niños de la muestra, la mayoría de las respuestas pares tienen contenidos animales, a través de ellas puede evidenciarse diferentes vinculaciones, se pueden hacer algunas categorías para poder evidenciarlas de una manera más precisa.

Ellas podrían ser:

1) Agresivas: contiene respuestas con verbos como pelear, atacar, picar, salpicar de sangre, arrancar, morder.

2) Cooperativas: en ellas los que realizan las acciones lo hacen en conjunto y usan para ello palabras como ayudando, agarrando, cargando, arreglando, construyendo, entrenando, trepando. Son las más frecuentes en la muestra estudiada.

3) Lúdicas: son respuestas que indican alguna diversión o juego entre las figuras. Se reflejan en palabras como jugando, haciendo sonidos, chocando la mano o la trompa, haciendo yoga, nadando, bailando. Presentan alta frecuencia.

4) Orales: pueden incluir respuestas en las que los señalan verbos como morder, chupar, comer.

5) Amorosas: indican sentimientos de cariño y amor entre las personas o los animales de la respuesta, se identifican con palabras como besándose, están enamorados, se juntan, se aman.

6) Evitativas: contiene respuestas con verbos como huir, escapar, vigilar.

V. DISCUSIÓN DE RESULTADOS.

El objetivo de la presente investigación fue estudiar las relaciones interpersonales de niños con edades comprendidas entre 5 y 10 años, comparando sus respuestas al Test de los Cuentos de Hadas (FTT) y al Método de Psicodiagnóstico de Rorschach.

Para tal fin, se procedió a realizar el estudio de la confiabilidad de ambas a través de la confiabilidad entre observadores, demostrando que existe un grado de acuerdo entre jueces expertos que varía de medio alto a alto, lo que indica que los datos obtenidos son confiables.

Posteriormente, se procedió a estudiar las relaciones planteadas entre las pruebas utilizando para ello coeficientes de correlación para pruebas no paramétricas dado el tamaño muestral.

A partir del análisis de resultados, se pudo extraer y comprender una manera peculiar de interacción que los niños de la muestra establecen en sus encuentros interpersonales, pues esta manera muestran sus patrones habituales y comunes a la hora de interactuar.

Lo primero que llama la atención, a pesar de que un Índice de Inhabilidad Social (CDI) no es poco común entre los niños pequeños (Exner, 2000), dado que todavía están en desarrollo temas relacionados con su identidad y su relación con los pares, es el porcentaje de niños de la muestra que lo presentaron, pues pudiera indicar como otros estudios en nuestro país lo señalan (Hernández y cols, 1995; Ephraim, 1996 y Abreu y González, 2001) dificultades al interactuar con los otros, así como una pobre percepción de sí mismo, que en alguna medida pudiera indicar elementos depresivos, pues como plantea Vives (2005) existe una estrecha relación entre el Índice de Inhabilidad Social (CDI) y el Índice de Depresión (DEPI).

Si se analizan con mayor detalle las variables que componen el Índice de Inhabilidad Social (CDI), encontramos que los niños de la muestra tienden a ser menos cooperadores, que los niños estadounidenses, en los vínculos que establecen, y el 68% de estas acciones cooperativas están acompañadas de acciones agresivas, o hacen alusión a contenidos agresivos presentes, pasados o potenciales en sus verbatum. Dos respuestas sirven de ejemplo para ilustrar esto.

Lámina III. "Dos personas cocinando y también están peleando porque las 2 quieren el mismo" (Fem, Edad 9 años).

Lámina IX. "Rinocerontes. Son verdes y están furiosos porque le doblaron los cuernos a la mitad y se los partieron, estos son los cuernos, 4 patas y cuerpo, están ayudando a los camellos" (Masc, Edad 7).

Mientras, que este mismo patrón se evidencia en las respuestas en el Test de los Cuentos de Hadas (FTT), siendo ejemplo de ellas los siguientes verbartum:

Láminas de los Enanos, figura I. "Piensa que va a la lavandería a buscar sus hachas para atacar al lobo, porque debe salvar a la abuela para que le dé sopa y después se va con Caperucita Roja para ser amigos" (Fem, Edad 5 años).

Láminas de los Lobos, figura III. "él está furioso y se peleó con su familia porque no ha comido mucho y tiene que comer para correr demasiado rápido como los demás y él piensa comerse 5 cochinos, no espera, 5 pavos para correr súper rápido, pero está buscando a su hermano para atrapar demasiadas cosas que sólo puede hacer con su hermano" (Masc, Edad 8 años).

Lo anterior permite inferir un estilo interpersonal caracterizado por la presencia de actitudes agresivas utilizadas como una estrategia de afrontamiento frente a la vivencia de un medio ambiente hostil.

Del 32% restante de las respuestas con acciones cooperativas vale recatar la posibilidad de estos niños de poder vincularse de forma positiva y afectiva, siendo un elemento de buen pronóstico en general, pues pareciera existir entre ellos una capacidad para acercarse y recibir del otro aspectos gratificantes. Nuevamente una muestra de respuestas dejan ver con claridad esto.

Lámina III. Dos perritos y están enamorados. Esta es la patica, aquí un lazo, están juntos, se están juntando, porque se aman, quieren darse un besito, este lazo es un globo que el perrito le regaló a la hembra, están como flotando en el aire (Masc, 8 años).

Lámina VII. Dos perezosos, por la cola aquí parecen, se están como moviendo pero con mucha lentitud, este está paralizado porque están jugando STOP, los 2 hermanos están jugando (Fem, 9 años).

Muestras de este tipo de vínculos también se evidenciaron en el Test de Cuentos de Hadas

Lámina de los Gigantes, Figura I. "Está...piensa construir una casa para las personas. Se siente feliz porque le gusta construir y ayudar a las personas" (Masc, 6 años).

Lámina de la Caperucita Roja, Figura I. "Ella va a casa de abuelita y está contenta, está feliz porque le va a llevar una cesta de frutas a su abuelita que está enferma .Está pensando que su abuelita se mejore pronto y darle un gran beso y abrazo" (Fem, 6 años).

Con respecto al contenido humano (H pura), se observó, una proporción menor a la de los norteamericanos, en relación a la presencia de estas respuestas, esta evidencia es similar a la expresada por Hernández y cols (1995) y Abreu y González (2001). Por lo que, se puede decir que los niños de la muestra tienen menos interés en las relaciones humanas, teniendo de esta manera mayores dificultades en el manejo de la empatía, o todavía cierta inmadurez a la hora de establecer vínculos.

Se encontró una mayor prevalencia de respuestas de contenidos humanos parciales, lo que podría apuntar hacia un comportamiento paranoide, explicado por la búsqueda de detalles, ello implicaría que las relaciones con los demás sean menos plenas y satisfactorias, teniendo como consecuencia mantener relaciones objetales parciales, lo cual puede corresponder a la posición esquizo-paranoide de Melanie Klein, como lo evidencia Vives (2004).

De esta manera, pareciera que los niños de la muestra estudiada tienden a tener una postura esquizo-paranoide que se caracteriza por el predominio de relación de objeto parcial y la escisión de las experiencias gratificantes y frustrantes, lo que genera pobreza en la expresión afectiva (Vives, 2004), este hallazgo puede explicarse en parte al momento evolutivo en el que están.

Además, se observó en la muestra una menor cantidad de respuestas de movimiento humano (M), con respecto a las esperadas, lo que concuerda con lo reportado por Ferrari (2003), esto implica que presenten retraimiento, inhibición y dificultades para establecer relaciones interpersonales exitosas.

Por otra parte, entre los hallazgos del Test de Cuentos de Hadas encontramos que los niños evaluados muestran menor frecuencia de agresiones que viene dada desde los impulsos internos o sus fantasías y que no necesariamente están justificadas a causas externas, que los niños griegos (Coulacoglou, 2002). Este hallazgo discrepa de lo reportado en la investigación de Dos Santos y Závala (2007), quizás esto se relaciona con el hecho de que la muestra no presenta ninguna enfermedad física como la usada por Dos Santos y Závala (2007).

Relacionada con esta agresión, encontramos que los celos pueden causar ataques que simplemente se manifiestan al realizar una comparación de sí mismo con los otros y percibir que ellos pueden parecer mejores, en la muestra este tipo de agresividad resultó ser menor que en Grecia.

Al igual que el estudio de Dos Santos y Závala (2007) la agresión defensiva, que hace referencia a la necesidad de protegerse o proteger a otros frente al peligro, pero haciendo uso de comportamientos agresivos, se presenta en menor frecuencia e intensidad.

Asimismo, se evidencia menor temor a que ocurra un ataque de tipo agresivo en comparación con los niños griegos estudiados por Coulacoglou (2002) y lo reportado por Dos Santos y Závala (2007).

Por otra parte, en concordancia con los niños griegos, muestran algunas veces agresiones más primitivas que se ubican en fases tempranas del desarrollo, específicamente, en la etapa oral; siendo estas de características arcaicas.

Dos respuestas que reflejan esto son: la de un niño de 10 años en la lámina X "Los azules son escorpiones, con 4 patas, son chiquitas y quieren comerse a un pollito que están terminando de comer" y la de una niña de 7 años ante la pregunta ¿Cual te comerías si fueses el lobo? Respondió no sé porque todas saben a sangre y a hueso, pero prefiero la primera porque ella creo que es la del cuento y prefiero el algodón que la sangre y los huesos.

Así como también, presentan ambos grupos respuestas que hacen alusión a agresiones que vienen causadas por un hecho ocurrido en el pasado del cual el niño se quiere vengar, siendo generalmente amenazas y anulaciones hacia la autoestima y el Yo lo que la suscitan.

De esta manera, se va perfilando que por una parte los niños se muestran más agresivos cuando están en peligro inminente ya sea física o emocionalmente, siendo esto quizás en algunos casos una manera de sobrevivir y/o una defensa frente a las agresiones recibidas. Por otra, aún cuando pueden continuar siendo agresivos si se le presentan situaciones que le causen celos o tenga algunos impulsos internos que lo ocasionen, lo son en menor medida, lo que pudiera ser explicado por pautas aprendidas durante la socialización en la familia y/o en la escuela.

Mientras que, entre otros elementos relacionales que se evidencian está la necesidad del otro para sentir seguridad, pertenencia y afecto se encuentran en la muestra con mayor frecuencia que en los niños griegos.

Sin embargo, en el estudio realizado en nuestro país por Dos Santos y Závala (2007) no encontró tal diferencia. Lo que puede indicar que sea una característica propia de la muestra de estudio, para la que tiene gran importancia la vinculación afectiva con los demás.

Un hallazgo llamativo fue que aunque los niños presentan necesidad de afiliación y afecto, éste debe provenir desde una iniciativa del otro dado que no se presentan deseosos de ofrecer ayuda a los demás por ellos mismos, lo que fue observado también por Dos Santos y Závala (2007).

Además, ambas figuras parentales, padre y madre, son percibidas por los niños de la muestra como negativas, lo que coincide con lo reportado por Coulacoglou (2002), pudiendo implicar percibirlas como estrictas, amenazadoras o punitivas.

Lo que puede originar en los niños sentimientos de rechazo, infelicidad y tristeza, traduciéndose en valores más altos que los mostrados en los estudio de Grecia de respuestas depresivas.

Respuestas que ejemplifican esto es la de una niña de 5 años ante la lámina de la Caperucita Roja, figura II "Estaba triste porque no había regresado su abuelita, porque se murió, porque estaba muy viejita", y un niño de 8 años ante las secuencias de Caperucita Roja "Está sola en una noche, nadie la atiende y nadie la quiere en su casa, no tienen con qué pagarle sus cosas, tienen otros hijos y quieren más a sus hijos que a ella y está sentada en un montón de piedras".

Mientras que, respuestas similar observamos en el Rorschach de un niño de 6 años en la lámina IX "Cabecita triste porque lo dejaron solito, piernitas y manos de un hijo que está con una niñera mala. si lo veo así volteado estas son las piernas, y la boca abierta y la cabeza aquí en lo rosado, la cara y la boca, está sólo y esas son sus manitas que quieren agarrar algo", y un niño de 9 años ante la lámina VI "v Dos osos. Una parte de un oso y otro oso, son como osos al revés (voltea la lámina), patas delanteras y están tristes los 2, porque son hermanos y se pelearon, están de espaldas y se voltearon, están tristes porque se ven deprimidos por el color gris".

Teniendo un perfil de las relaciones interpersonales en ambas pruebas se puede decir que la mayoría de las hipótesis planteadas en el presente estudio fueron refutadas, lo que pudo deberse a características propias de la muestra de estudio o al comportamiento de las pruebas por lo cual se considera conveniente continuar estudiándolas. Siendo la única hipótesis corroborada la que corresponde a la relación de la agresión oral en ambas pruebas (AOr y AgO nivel 1 y 2).

Esta puede ser interpretada dado que ambas escalas de agresión oral parecieran estar midiendo los mismos comportamientos, la oralidad en el niño está en dos polos que van desde el afán de mamar al sadismo oral, en que el deseo libidinoso de chupar va acompañado al mismo tiempo de un impulso destructivo de absorber, vaciar y agotar (Klein, 1965). Estando ubicadas en las respuestas con verbos tales como morder, masticar, discutir, chupar entre otros.

Los niños de la muestra parecen utilizar todo el espectro que envuelve la agresión oral, que va desde lo más primitivo a lo más socializado. Considerándola como una respuesta válida ante estímulos que pueden percibir como amenazantes, que pudieran no tener esa cualidad de un todo, por lo anteriormente dicho, es decir, ante un contacto íntimo, que otros considerarían

como cálido, estos niños pueden sentirlo como peligroso llegar a dar respuestas de agresión oral como una forma de defensa.

Esto puede verse explicado por la teoría de Murray (1938) quien plantea que durante el desarrollo de la personalidad infantil ocurren dos complejos inconscientes relacionados con la etapa psicosexual oral, una de ellas es el de agresión oral que combina conductas orales y agresivas que incluyen morder, escupir, insultar y agresiones orales como el sarcasmo, que pueden llevar como consecuencias desear el aislamiento y evitar la dependencia de los demás (c.p. Shultz y Shultz, 2002).

También, esta agresión se evidencia en las respuestas de pares analizadas en donde los niños hacen mayor uso de los contenidos animales para expresar estos impulsos de una manera más clara, sin que ello le genere ansiedad.

De esta manera, puede verse explicado en parte por su desarrollo evolutivo, pero también como una característica propia de los niños de la muestra, por encontrarse resultados similares en otra de las variables estudiadas.

Las necesidades orales que van de la mano con la agresión oral por ser el otro extremo de la oralidad, y que en ocasiones constituyen más bien una defensa que se manifiesta habitualmente contra la agresión o la agresión oral (Coulacoglou, 2002) se encontró que se relacionó con las respuestas parahumanas parciales y de una manera inversa con movimientos cooperativos que implican ayuda y colaboración.

Pudiendo ser explicado porque los niños estar centrado en necesidades orales (reales o simbólicas) percibe parcialmente los objetos y de esta manera le es difícil establecer comportamientos de ayuda, pues parecieran prevalecer más los aspectos parciales con características agresivas que cooperativas o buenas. Siendo esta una explicación posible que sería conveniente continuar investigando.

Dada la gran cantidad de información que se pudo extraer de las relaciones interpersonales en ambas pruebas, Método de Rorschach y Test de los Cuentos de Hadas (FTT), al realizarse las correlaciones se encontraron relaciones entre diversas variables cuya

relevancia clínica merece una mención especial y no fueron consideradas como hipótesis en esta investigación.

Una de ellas se asocia a las vinculaciones con la figura materna (RELMA), con la que suelen establecer relaciones ambivalentes, pues la pueden percibir como una figura agresiva (AG, AgPast y Ag2V) y cooperativa (COP), al mismo tiempo, generándole confusión, así como un patrón de apego inseguro o ambivalente (Bowlby, 1998; Lafuente, 2000), que se puede llegar a traducir en dificultades relacionales que parecen presentar estos niños, al acercarse a sus pares de una manera generalmente agresiva aún cuando pareciera que están buscando un encuentro más cercano.

Se ha evidenciado que en el establecimiento del estilo de apego confluyen factores personales, tales como características de personalidad (Belsky, 1986) y factores del contexto familiar, como son las interacciones padres-hijo y el estilo de crianza utilizado (Gordillo, 2000; Lafuente, 2000). De esta manera, se puede decir que la interacción entre estas variables influyen en el estilo de apego establecido y con ello en las relaciones interpersonales establecidas con los demás.

Además, con respecto a la figura materna los niños llegan a sentirse víctimas de agresiones socialmente aceptadas en dicha relación (Ag2V), habiendo ocurrido en el pasado (AgPast), lo que indica que las madres pueden estar usando para la crianza medios agresivos que le otorgan a los niños pautas relacionales que son las que posteriormente ellos mantienen con los demás.

Sin embargo, a pesar de la ambivalencia y la agresión perciben a la figura materna como una persona con buena representación (GHR), lo que podría ser un indicio de la posibilidad de mantener vinculaciones positivas.

No obstante, con la figura paterna (RELPA) no poseen una buena representación (PHR), lo que pudiera apuntar que los niños suelen percibir a ambas figuras parentales como agresivas y punitivas, lo que pudiera venir dado por la forma cómo son tratados por ellas. Aunque estos hallazgos deberían estudiarse con mayor profundidad.

Por otra parte, se observó que las necesidades afectivas (Nafec) se relacionan con movimientos pasivos (p), lo cual pudiera indicar que los niños de la muestra al registrar sus necesidades de afecto perciben que son dependientes y requieren del otro para cubrirlas. Siendo positivo, pues nos habla de la capacidad de estos niños de registrar estas necesidades, aunque aún requieren del otro. Siendo esto, además, un reflejo de la realidad, dado que ellos todavía dependen de los padres en prácticamente todos los aspectos.

Cuando observamos las necesidades de afiliación (Nafil) encontramos que se evidencia una relación inversa con los resultados de la agresión primaria (Ag1R), indicando que cuando perciben este tipo de agresión suelen registrar en menor grado la necesidad de establecer un vínculo con el otro, puesto que estaría teñido de elementos de carácter agresivo que no son lo que buscan, que termina siendo una manera de protegerse frente a posibles agresiones.

Mientras que, con las necesidades de aprobación (Napro) se encuentran correlaciones con figuras humanas (H pura) o para humanas parciales (Hd), así como con una buena representación humana (GHR), pudiera venir dado por tendencias más inmaduras de estos niños. De esta manera, cuando requieren de la aceptación y consentimiento de los demás, tienden a percibirlos de manera parcial, quizás como figuras de mayor autoridad y dejan de lado los otros aspectos. Sin embargo, convendría continuar estudiando estas relaciones.

Siguiendo la línea anterior, se evidencia que mientras mayor es el deseo de ayudar (Day) de los niños tienen mayor registro de sus necesidades de afecto y de un acercamiento cálido (T), pareciera entonces que realizar acciones cooperativas como ayudar los hace contactar de igual manera con sus propias necesidades de contacto y acercamiento. En el que además, se logra integrar el "objeto" a ser ayudado de manera total.

Es importante destacar la relación que poseen el concepto de sí mismo (Factor 6) que pueden tener los niños con las malas representaciones humanas (PHR), pues pareciera que no suelen percibirse de una manera positiva lo que influye directamente tanto en su autoestima como con las vinculaciones que tienen con los demás.

Además, el concepto de sí mismo también se encontró relacionado con las respuestas de contenido agresivo (AG). Así los niños pueden percibirse a sí mismos como agresivos lo que

puede ir confirmando la necesidad de una postura agresiva como forma de vinculación, que pareciera vienen observando desde edades tempranas.

Se evidenciaron varias correlaciones en las variables que hacen referencia a la agresión encontrando en primer lugar que la agresión por celos (AgCel) que resulta de compararse con los demás se relaciona con haber sido víctimas de agresión socializada (Ag2R), que generalmente había ocurrido en el pasado (AgPast). Lo anterior indica que los celos en estos niños pueden traducirse haber estado sometidos a situaciones agresivas en el pasado, lo que puede causar esta vivencia, pudiendo haber sido en una relación fraternal y/o con sus pares, pues estos sirven de espejo en estas edades. No obstante esto tendría que seguir evaluándose para poder corroborarlo.

También, en la agresión por celos los niños suelen relacionarla con un objeto completo (H pura) y con buena representación (GHR), así como con una necesidad afectiva (T), de esta manera, puede decirse que cuando activan este tipo de agresión podría deberse a aspectos vinculares de requerimientos hacia las figuras contenedoras que parecieran no estar del todo disponibles para estos niños, siendo en entonces una manera de llamar la atención de las figuras de amor y/o cuidadoras.

En cuanto a la agresión defensiva (Agdef), que implica una defensa ante una situación de inminente peligro se encontró relacionada con movimientos pasivos (p), lo que parece indicar que los niños actúan esos comportamientos para defenderse pero de los cuales no parecen tener la posibilidad hacerlo de otra manera o de una forma activa, pudiera ser una sensación de indefensión frente al daño exterior, o una búsqueda de resolución a través de la fantasía.

Mientras que, la agresión por venganza (Agven) que ocurre como consecuencia de un hecho pasado y que generalmente es bastante intensa, muestra relaciones con contenidos mórbidos (MOR) que pueden indicar que la causa de este comportamiento podría ser daños ocasionados. Además, puede generar una agresión potencial (AgPot) del medio externo como respuesta, siendo víctima de agresiones socialmente aceptadas (Ag2V). Hallazgos que habría que continuar investigando. Sin embargo, una respuesta de un niño de 6 años ante la lámina VIII deja ver tal sensación, "Se parece a 2 peces arreglando unos papeles y arrancándolos. Tienen los mismos brazos y el mismo cuerpo de los peces, mira esto aquí está roto, tiene el

mismo color que los peces, azul y plateado y estos son los papeles que está arrancando en los lados."

Entre los factores del Test de Cuentos de Hadas (FTT) está la agresión instrumental para la cual se evidencia una relación inversa con respuestas de conductas cooperativas (COP) que implican lo contrario a usar la agresión como un instrumento para lograr metas. Además, al usar de esta manera los comportamientos agresivos se encontró que estaban relacionados con los resultados de agresión socializada (Ag2R).

La agresión hostil y el aislamiento social (Factor 11), otro factor del FTT, se encontró relacionado con la agresión potencial (AgPot) lo que puede indicar que al percibirla de forma inminente los niños pueden llegar desde actuar de una forma hostil hasta el retraimiento social. Sin embargo, resulta conveniente para la adecuada comprensión clínica seguir estudiando las escalas y las relaciones que de ellas se derivan. Lo que puede verse más claro en las siguientes respuestas, de una niña de 9 años ante la lámina VIII. "< Aquí me parecen tigres rojos, está parado como queriendo una presa para agarrar. Tiene aquí las 4 patas y la cara y la espalda, y está en posición de atacar una presa.", y de un niño de 6 años ante las láminas de Caperucita Roja, figura II "Está como que tiene miedo porque le va a salir un lobo feroz y se quiere sus frutas y se quedó como una piedra con miedo".

Integrando los resultados antes mencionados, se puede concluir que los niños de la muestra presentan una forma muy particular de establecer y mantener relaciones interpersonales, que va incubándose desde los primeros vínculos con la figura materna y paterna, ante la cual parecen tener una ambivalencia afectiva, que puede venir dada por las características de personalidad de la madre, así como con el estilo de crianza utilizado, que en el caso de estos niños pareciera predominar las vivencias de agresión y de castigos.

De este modo los primeros vínculos, que suelen establecerse con las figuras parentales, parecen estar cargados de tensión y malestar, lo que los lleva a restarle importancia a sus propias necesidades, impulsos y deseos, al igual que los incapacita para registrar la necesidad de interdependencia con los demás, por la misma molestia que traería reconocerlos.

Su propia inhabilidad para reconocer aspectos positivo de sí mismos y de los demás, merman la posibilidad de generar un contacto nutritivo con ellos, lo que los hace más propensos

a acudir a la agresividad como una forma de relación que le permite poder obtener reacciones en el ambiente que le garantizan de alguna manera satisfacer indirectamente sus necesidades básicas de afecto y afiliación

Encontrándose inmersos en una situación en la que desean y anhelan el contacto afectivo nutritivo, pero no tienen la capacidad de poder buscarlo por el congelamiento afectivo que viene dado por sus patrones de apego y sus relaciones objetales, que tienden a ser por una parte inseguro y/o ambivalente; y por otra parciales, en donde se centra solamente en aspectos de la persona, no permitiéndoles establecer relaciones de confianza, apoyo y cariño sin pensar que éstas podrían ser potencialmente agresivas para ellos.

VI. CONCLUSIONES.

El propósito de la presente investigación ha sido estudiar las relaciones interpersonales de niños con edades comprendidas entre 5 y 10 años, comparando sus respuestas al Test de los Cuentos de Hadas (FTT) y al Método de Psicodiagnóstico de Rorschach.

Una vez analizados los resultados del estudio se concluye que la mayoría de las relaciones planteadas no resultaron ser significativas, siendo la única hipótesis corroborada la que corresponde a la relación de la agresión oral en ambas pruebas (AOr y AgO nivel 1 y 2), lo que puede deberse a estar midiendo el mismo contenido.

Sin embargo, se encontraron muchos hallazgos importantes para la comprensión clínica que no fueron esperados, pero que sería conveniente continuar estudiando. Entre ellos: las correlaciones de la escala Relación con la Madre (RELMA) (FTT) con variables de agresión (AG, AgPast y Ag2R) y necesidad de afecto (TF), así como con GHR en el Roschach. También, la escala Relación con el padre (RELPA) mostró una correlación negativa con GHR.

Así como, el factor Concepto de Sí mismo (FTT) con respuestas con una pobre representación humana (PHR). Las necesidades orales encontraron que se relacionadas con las respuestas parahumanas parciales (Hd) y de una manera inversa con movimientos cooperativos (COP).

Otras relaciones evidenciadas fueron: necesidades afectivas (Nafec) en el Test de Cuentos de Hadas con movimientos pasivos (p), necesidades de aprobación (Napro) se con figuras humanas Hd o para humanas parciales (Hd), así como con una buena representación humana (GHR), deseo de ayudar (Day) con respuestas humanas parciales Hd y respuestas de textura (T).

En cuanto a las variables que miden agresión se observó que: 1) agresión por celos (AGcel) se relaciona con ser haber sido víctimas de agresión socializada (Ag2V), buena representación humana (GHR), respuestas humanas H y respuestas de textura (T), 2) agresión defensiva (AGdef) se encontró relacionada con movimientos pasivos (p), 3) agresión por venganza (AGven) muestra relaciones con contenidos mórbidos (MOR), agresiones potenciales (AgPot) y víctima de agresiones socialmente aceptadas (Ag2V) 4) agresión instrumental (Factor

2) para la cual se evidencia una relación inversa con respuestas de conductas cooperativas (COP) y resultados de agresiones socialmente aceptadas (Ag2R) y 5) La agresión hostil y el aislamiento social, se encontró relacionado con la agresión potencial (AgPot).

De esta manera, se puede concluir que los niños de la muestra presentan una forma muy particular de establecer y mantener relaciones interpersonales, que viene dada desde primeros vínculos con la figura materna y paterna, ante las que parecen tener una ambivalencia afectiva.

Generando en ellos una inhabilidad para reconocer aspectos positivo de sí mismos y de los demás, que los pueden llevar a tener relaciones con sus pares agresivas y menos afectivas, pues suelen pensar que estos encuentros podrían ser potencialmente agresivos para ellos.

VII. RECOMENDACIONES.

Se sugiere continuar estudiando las variables estudiadas, incluyendo los hallazgos no esperados en esta investigación, a fin de comprender mejor las relaciones interpersonales durante la niñez.

Resulta importante hacer un estudio en el que se discrime por grupo de edades para poder observar mejor el comportamiento de las variables por edades.

También, se recomienda la ampliación del tamaño y la representatividad de la muestra.

Es conveniente realizar estudios normativos para ambos métodos de evaluación, a fin de poder contar con normas que se ajusten mejor a nuestra cultura.

Además, es importante seguir estudiando el comportamiento del Test de los Cuentos de Hadas en nuestro país, utilizando diferentes muestras.

VIII. REFERENCIAS BIBLIOGRÁFICAS.

Abreu, M. y González, Y. (2001). *Puntajes característicos de las variables estructurales del Sistema Comprehensivo de Exner en un grupo de niños a partir de las respuestas ante el Test de Rorschach.* Trabajo de Licenciatura no publicado, Universidad Católica Andrés Bello. Caracas, Venezuela.

Acklin, M. (1996). John Exner and the book that started it all: A review of the Rorschach Systems. *Journal of Personality Assessment.* 66, 650-658.

Acklin, M., McDowell, C. y Orndoff, S. (1992). Statistical Power and the Rorschach 1975-1991. *Journal of Personality Assessment.* 59, 366-379.

Ames, L., Learned, J., Metraux, B. y Walker, R. (1972). *El Rorschach Infantil.* Buenos Aires: Paidós.

Anastasi, A. (1998). *Tests Psicológicos.* México: Prentice Hall.

Auerbach, J., Levy, K. y Shaffer, C. (2004). *Relatedness, Self-Definition, and Mental Representation: Essays in Honor of Sidney J. Blatt.* New York: Brunner-Routhledge Publishers.

Aronow, E., Reznikoff, M. y Moreland, K. (1995). The Rorschach: Projective Technique or Psychometric Test?. Journal of Personality Assessment. 64 (2), 213-228.

Ávila, E. (1997). *Evaluación en psicología clínica II: estrategias cualitativas.* Salamanca: Amarú.

Baity, M. y Hilsenroth, M. (1999). Rorschach aggression variables: A study of reliability and validity. Journal of Personality Assessment. 72, 93-110.

Baron, R., Byrne, D. (1998). *Psicología Social.* Madrid: Prentice Hall.

Bell, J. (1992). *Técnicas proyectivas: exploración de la dinámica de la personalidad.* Buenos Aires: Paidós.

Beizman, C. (1968). El Psicodiagnóstico infantil. Madrid: Aguilar.

Bellak, L., Abrams, D. (2000). *T.AT, C.AT y S.A.T. Uso clínico.* México: Manual Moderno.

Belsky, J. (1986), Infant day care: a cause for concern. *Zero to Three*, 7-11.

Bettelheim, B. (1999). *Psicoanálisis de los Cuentos de Hadas.* Barcelona: Crítica.

Bowlby, J. (1993a). *La Separación Afectiva.* Buenos Aires: Paidós.

Bowlby, J. (1993b). *La Pérdida Afectiva: tristeza y depresión.* Buenos Aires: Paidós.

Bowlby, J. (1998). *El Apego.* Buenos Aires: Paidós.

Cashdan, S. (2000). La Bruja debe morir: De qué modo los cuentos de hadas influyen en los niños. Madrid: Temas de Debate.

Casullo, M., Cayssials, A., Liporace, L., De Diuk, W., Arce, J., Álvarez, L. (1994). *Proyecto de vida y decisión vocacional.* Buenos Aires: Paidós.

Coulacoglou, K. (2002). *FTT: Test de los Cuentos de Hadas.* Madrid: TEA Ediciones.

Coulacoglou, K. (2007). *FTT: Test de los Cuentos de Hadas.* Grecia: Revisión del Manual por publicar.

Corredor, M. (2004). El Método Rorschach y su aplicación en la población infantil. *Revista Venezolana de Psicología Clínica Comunitaria.* 4, 95-105.

Del Roncal, P. (1949). Teoría y Práctica del Psicodiagnóstico del Rorschach. México: The University Society Mexicana.

Dos Santos, J y Závala, M. (2007). Rasgos de personalidad en niños con diagnóstico de hemofilia medidos a través del Test de Cuentos de Hadas. Trabajo especial de Grado no publicada, Hospital Militar Dr. Carlos Arvelo. Caracas, Venezuela.

Ephraim, D. (1996). *El Método Roschach en la actualidad.* Caracas: Monte Ávila Editores Latinoamericana.

Estrada, G. y Sousa, T. (2002). Diferencias entre adolescentes con trastorno de conducta y adolescentes sin trastorno de conducta en el Psicodiagnóstico de Rorschach según el Sistema Comprehensivo de Exner. Trabajo especial de Grado no publicada, Universidad Católica Andrés Bello. Caracas, Venezuela.

Exner, J. (1982). Evaluación Roschach. En Weiner, I (1982). Métodos en Psicología Clínica. México: Limusa.

Exner, J. (1995). *Manual de Codificación del Rorschach para el Sistema Comprehensivo.* Madrid: Psimática.

Exner, J. (2000). *Principios de Interpretación del Rorschach.* Madrid: Psimática.

Exner, J. y Sendín, C. (1998). *Manual de Interpretación del Rorschach para el Sistema Comprehensivo.* Madrid: Psimática.

Exner, J. y Weiner, I. (1995). The Rorschach: A Comprehensive System: Assessment of children and adolescent. USA: Wiley Interscience.

Feeny, B. y Kirkpatrick, L. (1996). Effects of adult attachment and presence of romantic partners on physiological responses to stress. *Journal of Personality and Social Psychology*, 67, 430-445.

Ferrari, G. (2003). Los Vínculos en el Rorschach. Un estudio de niños en situación de violencia familiar. Desafios Revista digital de la Universidad de Belgrano.Nª 2.

Fosshage, J. (1998). On agression: its forms and functions. *Psychoanalytic Inquiry*, 18 (1), 45-54.

Freud, S. (1900/1982). *Interpretación de los sueños*: *Obras Completas*. Madrid: Biblioteca Nueva.

Freud, S. (1913/1982). *Materiales del cuento tradicional en los sueños: Obras Completas*. Madrid: Biblioteca Nueva.

Fromm, E. (1972). *El lenguaje olvidado: introducción a la comprensión de los Sueños, Cuentos de Hadas y Mitos*. Argentina: Hachette.

Fromm, E. (1973). *Anatomía de la destructividad humana*. España: Siglo XXI.

Gacono, C. y Meloy, J. (1994). *The Rorschach assessment of aggressive and psychopathic personalities*. New Jersey: Lawrence Associates Publishers.

Gayó, R. (1999). Apego. Monografía realizada para la Universidad Concepción de Chile. Santiago, Chile.

Goldstein, A., Sprafkin, R., Gershaw, N., y Klein, P. (1989). *Habilidades sociales y autocontrol en la adolescencia*. Barcelona: Martínez Roca.

González, E. Occupati, R. y Riquelme, J. (1991). Roschach: Estudio de contenidos, datos normativos para una muestra de sujetos no pacientes de Caracas y su área metropolitana. Aportes del Sistema Comprehensivo de Exner. Trabajo especial de Grado no publicada, Universidad Central de Venezuela. Caracas, Venezuela.

Gordillo, B. (2000). *Relación entre experiencias tempranas parentales, satisfacción marital e inteligencia emocional*. Tesis de Maestría en Orientación Familiar publicada. Ciudad de México, México.

Griffin, D. y Bartholomew, K. (1994). Models of the self and other: fundamental dimensions underlying measures of adult attachment. *Journal of Personality and Social Psychology*, 67, 370-376.

Hernández, F., Hernández, S. y Murciano, A. (1995). Test de Rorschach en niños de 8 años a partir del Sistema Comprehensivo de Exner. Trabajo de Grado de Licenciatura no publicado, Universidad Central de Venezuela. Caracas, Venezuela.

Hernández, R., Sampieri, J. (1998). *Metodología de la Investigación*. México: Mc Graw Hill.

Holladay, M. y Whittemberg, T. (1994). Roschach Responding in Children and Adolescents who have been severely burned. *Journal of Personality Assessment*. 62, 269-279.

Holt, R. (2005). The Pripro Scoring System. En Bornstein, R. y Masling, J. (2005) Scoring the Rorschach: Seven Validated Systems. New Jersey: Lawrence Erlbaum Associates.

Kaes, R., Perrot, J., Guerin, C., Mery, J., Reumaux, F. (1989). *Contes et Divans* (Fairy tales and couches). Paris: Dunod.

Kerlinger, F. (1998). *Investigación del comportamiento*. México; Mc Graw Hill.

Klein, M. (1964). El Psicoanálisis de niños. Buenos Aires: Paidós.

Klopfer, B. y Davidson, H. (1991). *Manual introductorio a la técnica de Rorschach*. Buenos Aires: Páidos.

Lafuente, M. (2000). Patrones de apego, pautas de interacción familiar y funcionamiento cognitivo. *Revista de Psicología General y Aplicada*, 53, 165-190.

Leichtman, M. (1996). The Nature of the Rorschach Task. *Journal of Personality Assessment*. 67,3, 478-490.

Lerner, H. (2004). *Object relations and the Roschach*. En Auerbach, J. Kenneth, L., y Schaffer, C. (2004). *Relatedness, Self-Definition, and Mental Representation: Essays in Honor of Sidney J. Blatt.* New York: Brunner Routledge.

Martorell, M. (1997). *Evaluación de la Conducta Social.* En Casullo, M., Forns, M., Amador, J., Roig, F., Thorne, C., Contini, N., Wasser, L. y Martorell, M. (1997). *Evaluación Psicológica en el campo Socioeducativo.* Buenos Aires: Páidos.

Meyer, G., Bates, M. y Gacono, C. (1999). The Rorschach Rating Scale: Item adequacy, scale development and relations with the big five model of personality. Journal of Personality Assessment. 73, 2, 199-244.

Michelson, L., Sugai, D., Wood, R. y Kazdin, A. (1987). *Las habilidades sociales en la infancia.* Barcelona: Martínez Roca.

Mikulincer, M. (1998a). Adult attachment style and individual differences in functional versus dysfunctional experiences of anger. *Journal of Personality and Social Psychology*, 74, 513-524.

Mikulincer, M. (1998b). Attachment working models and the sense of trust: An exploration of interaction goals and effect regulation. *Journal of Personality and Social Psychology*, 74, 1209-1224.

Monjas, M. (1995). Habilidades sociales y necesidades educativas especiales. *I Jornadas científicas de investigación sobre personas con discapacidad.* Salamanca. (pp. 163-165). Salamanca: Universidad de Salamanca e INSERSO

Monjas, M. (1999). *Programa de enseñanza de habilidades de interacción social (PEHIS) para niños y niñas en edad escolar.* Madrid: Ciencias de la Educación Preescolar y Especial.

Priel, B., Myodovnick, E. y Rivlin-Beniaminy, N. (1995). Parental representations among preschool and fourth-grade children: Integrating object relational and cognitive developmental frameworks. Journal of Personality Assessment, 65, 372-388.

Priel, B. (2004). Representations in middle childhood: A dialogical perspective. En: J. Auerbach, J., Levy, K. y Schaffer, J. (2004) Relatedness, Self-Definition, and Mental Representation: Essays in Honor of Sidney J. Blatt. New York: Brunner and Routlege.

Salazar, J. Montero, M., Muñoz, C., Sánchez, E., Santoro, E. y Villegas, J. (1979). Psicología Social. México: Trillas.

Segal, H. (1979). Introducción a la obra de Melanie. Buenos Aires: Páidos.

Sendín, C. (2000). *Diagnóstico Psicológico: Bases conceptuales y guía práctica en los conceptos clínico y educativo.* Madrid: Psimática.

Silva, D. y Campos, M. (2000). Some Rorschach Variables from Normative Study with 10 years old Portuguese Children *Rorscharchiana.* 24, 110-125.

Schultz, D. y Schultz, S. (2002). *Teorías de la personalidad.* USA: Thomson International.

Trull, T.J y Phares, E.J. (2003*) Psicología clínica, conceptos, métodos y aspectos prácticos de la profesión.* México: Thomson.

Vives, M. (2004) Correspondencia entre las principales variables del Test de Rorschach y las posiciones de Melanie Klein. *Interpsiquis.* En http://www.psiquiatria.com. Fecha de la búsqueda: 6 de Abril de 2004.

Vives, M. (2005). *Test Proyectivos: Aplicación al diagnóstico y tratamiento clínicos.* Barcelona: Edicions Universitat Barcelona

Von Franz, M. (1982). Interpretation of Fairy Tales. Texas: Spring Publications.

Walker, H., Irvin, L., Noell, J. y Singer, G. (1992). La evaluación de la competencia social. En Silva, F (2000) Evaluación Psicológica en niños y adolescentes.

Weiner, I. (1998). Principles of Roschach Interpretation. New Jersey: Lawrence Erlbaum Associates.

ANEXO A: GRÁFICOS DE FRECUENCIA DE LAS VARIABLES ESTRUCTURALES DEL SISTEMA COMPREHENSIVO DE EXNER.

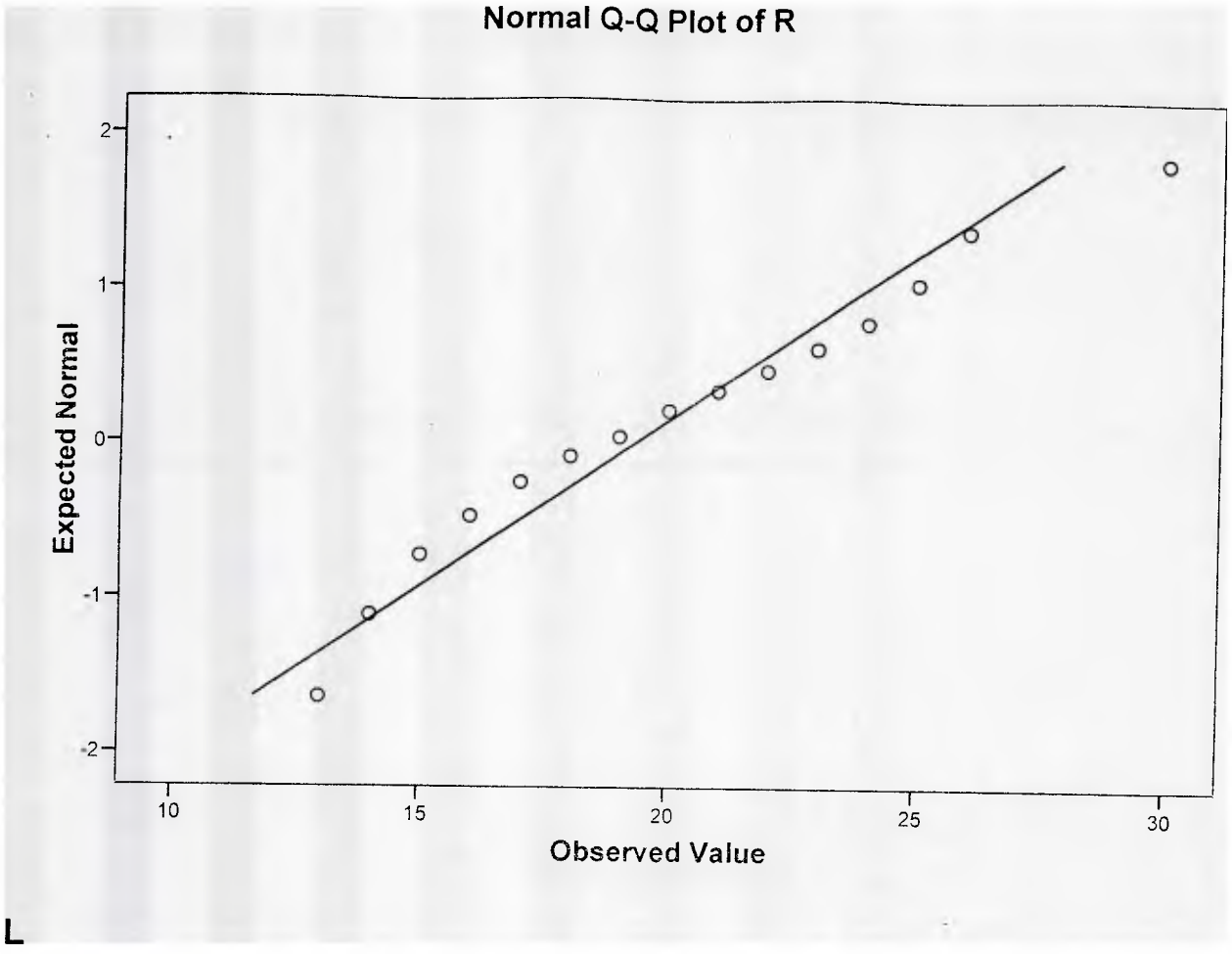
Normal Q-Q Plot of R
Expected Normal
2
1
0
-1
-2
10
15
20
25
30
Observed Value

L

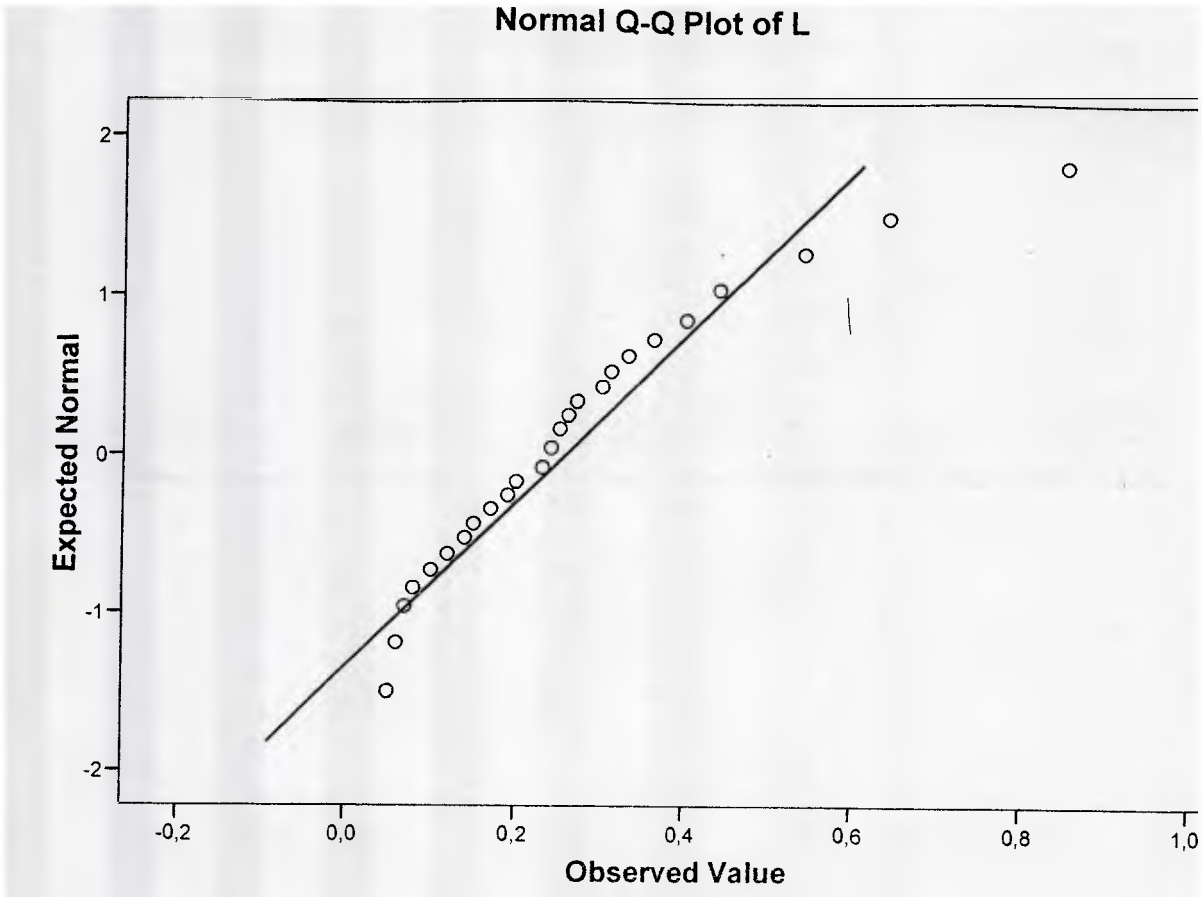
Normal Q-Q Plot of L
Expected Normal
2
1
0
-1
-2
-0,2
0,0
0,2
0,4
0,6
0,8
1,0
Observed Value

W

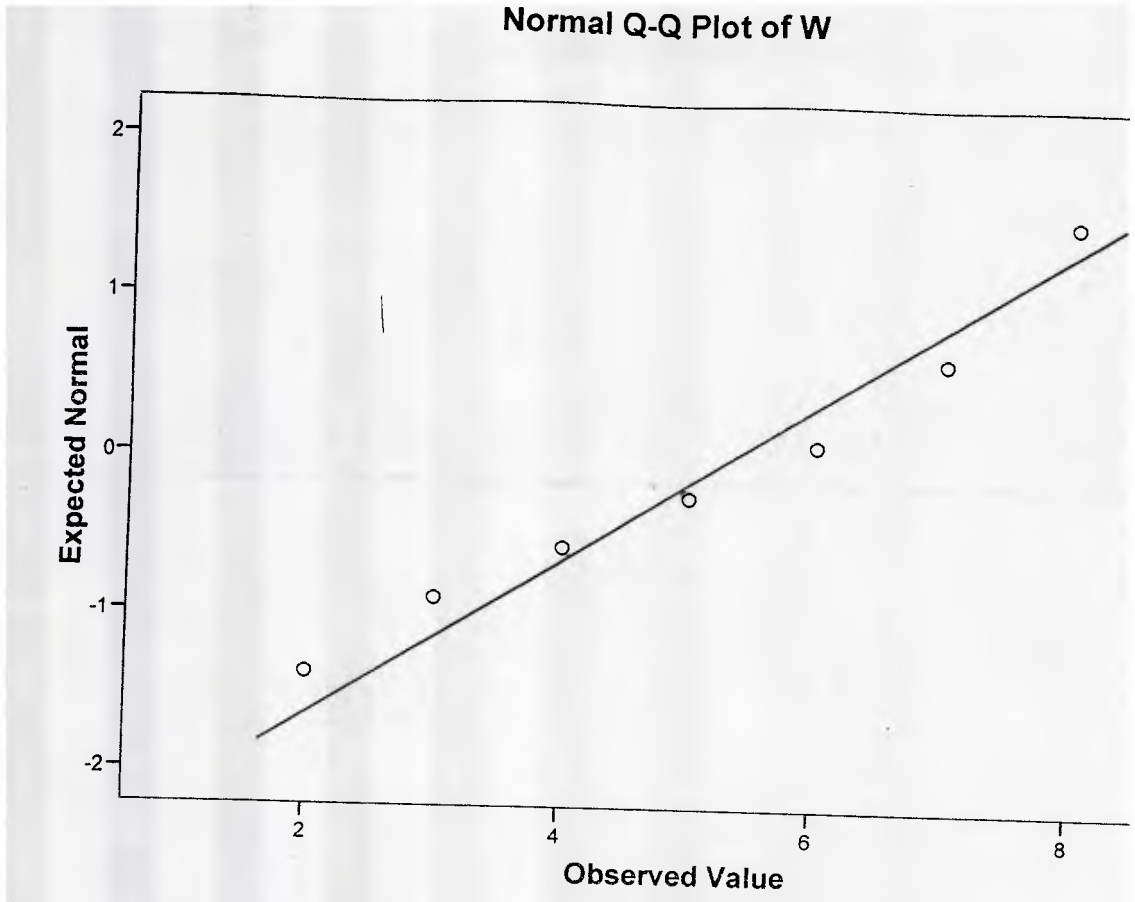
Normal Q-Q Plot of W
Expected Normal
2
1
0
-1
-2
2
4
6
8
Observed Value

D

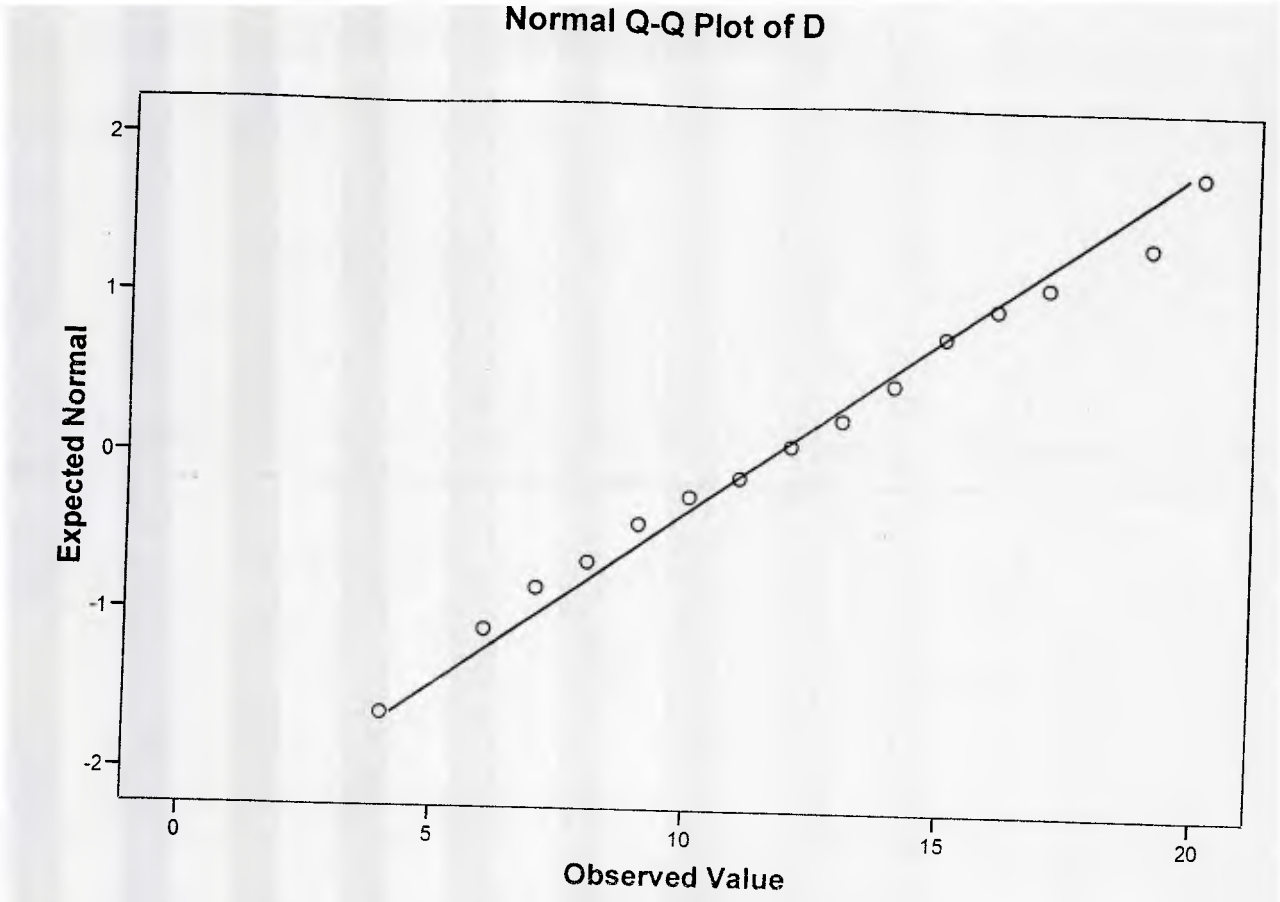
Normal Q-Q Plot of D
Expected Normal
2
1
0
-1
-2
0
5
10
15
20
Observed Value

Dd

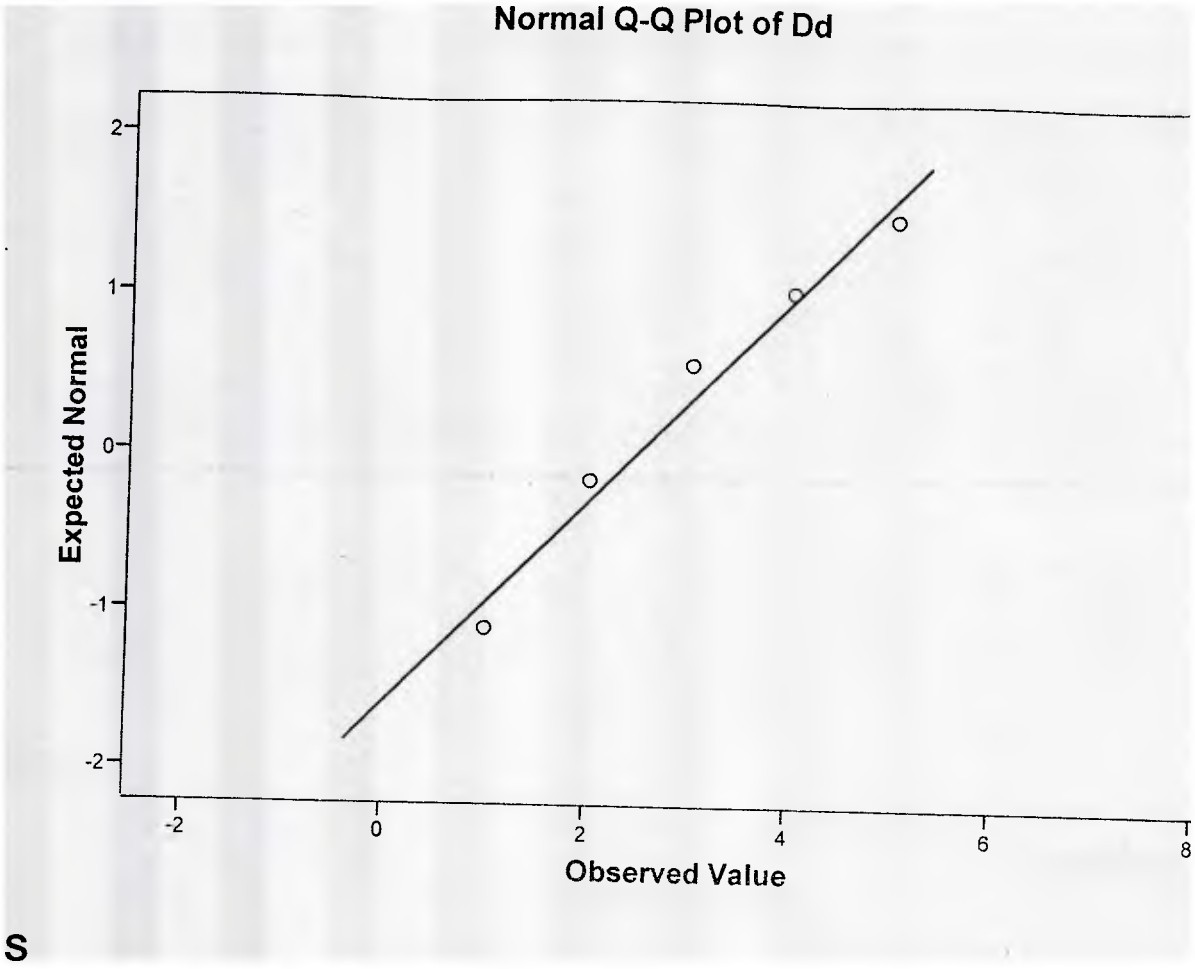
Normal Q-Q Plot of Dd
Expected Normal
2
1
0
-1
-2
-2
0
2
4
6
8
Observed Value

S

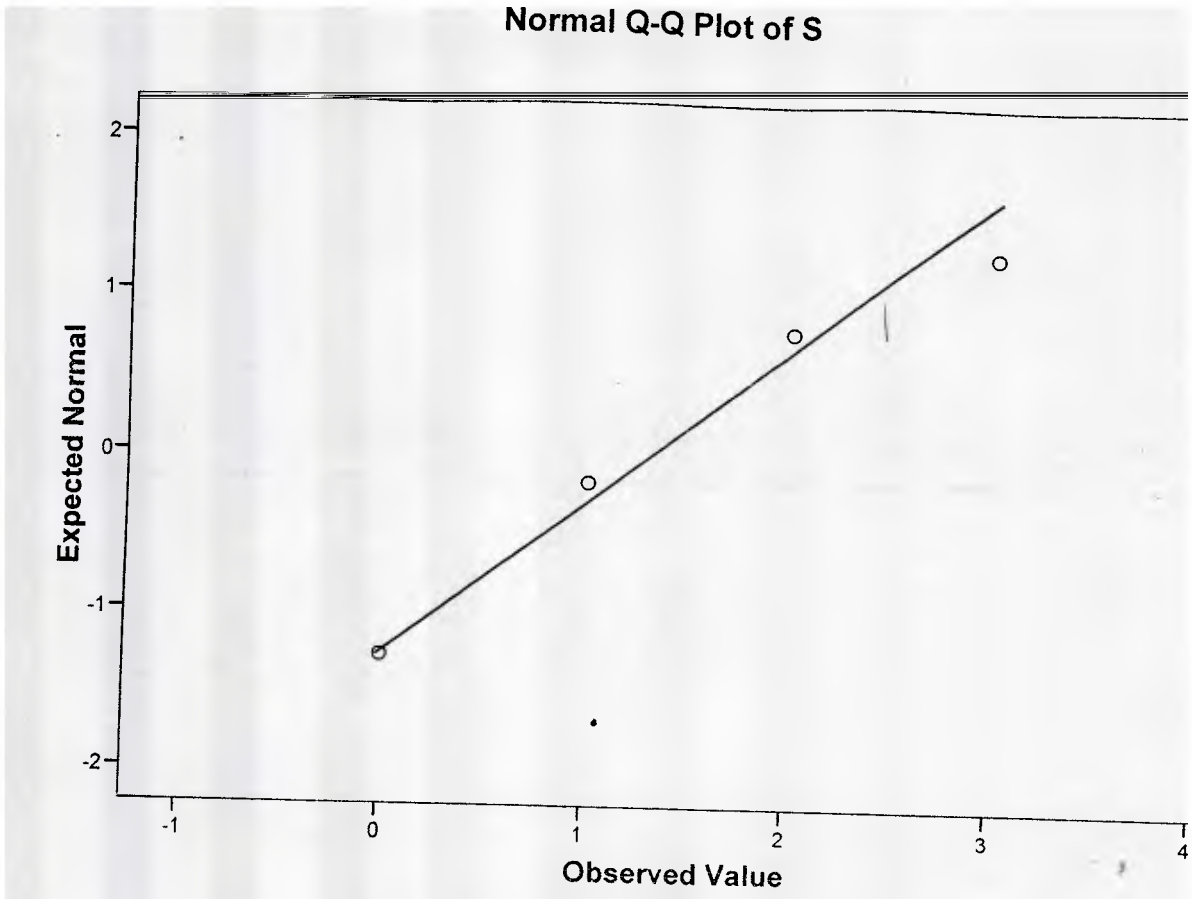
Normal Q-Q Plot of S
Expected Normal
Observed Value
2
1
0
-1
-2
-1
0
1
2
3
4

H

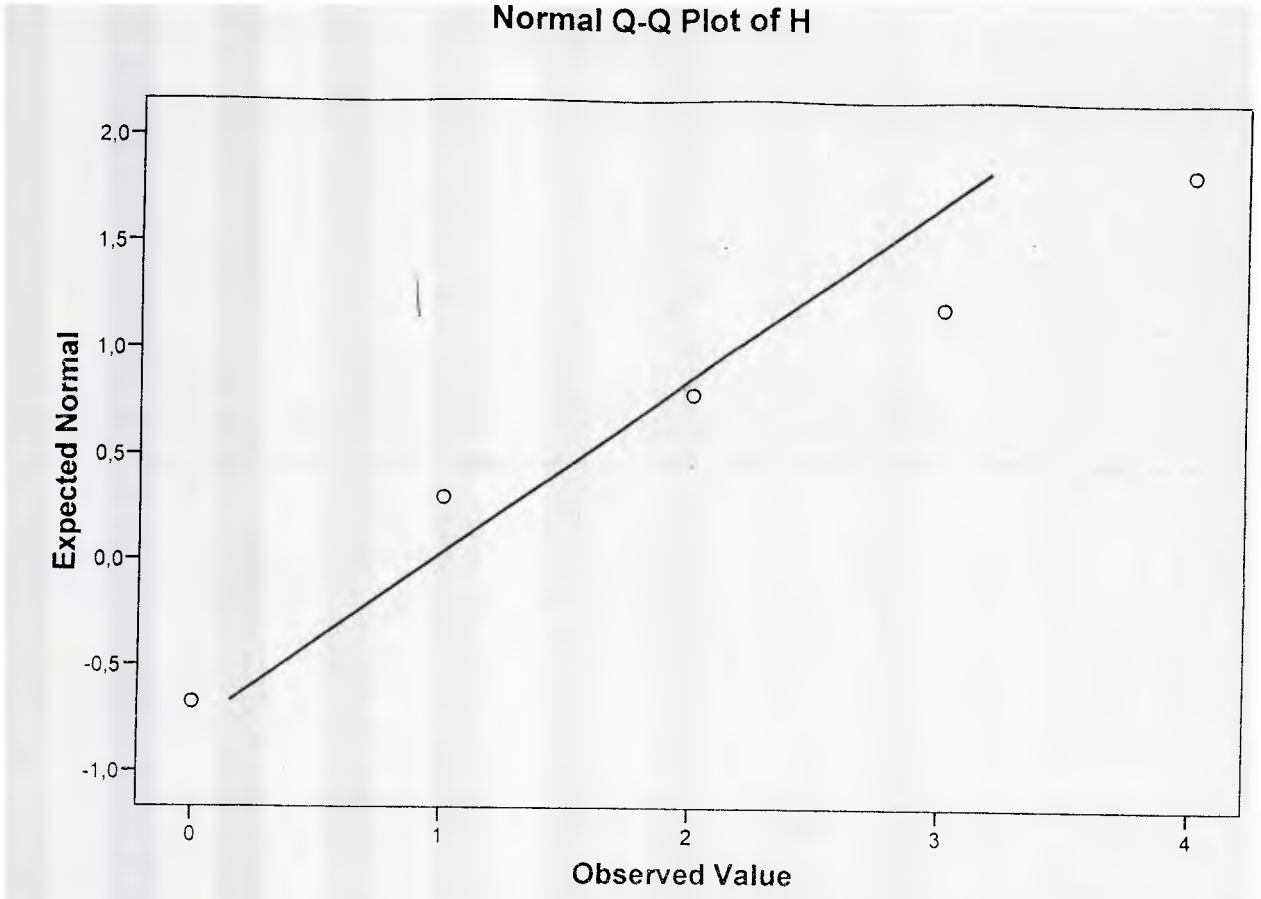
Normal Q-Q Plot of H
Expected Normal
2,0
1,5
1,0
0,5
0,0
-0,5
-1,0
0
1
2
3
4
Observed Value

ParaH

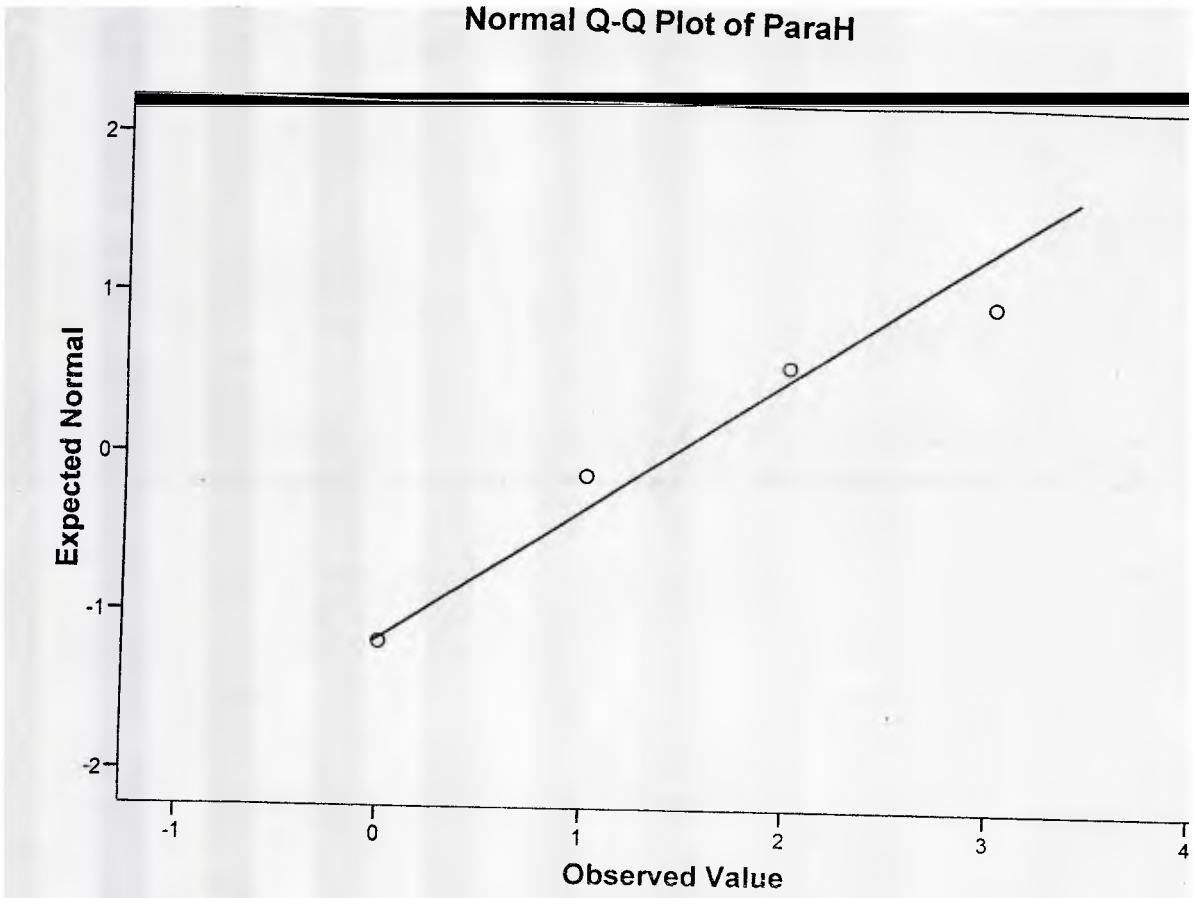
Normal Q-Q Plot of ParaH
Expected Normal
2
1
0
-1
-2
-1
0
1
2
3
4
Observed Value

Hd

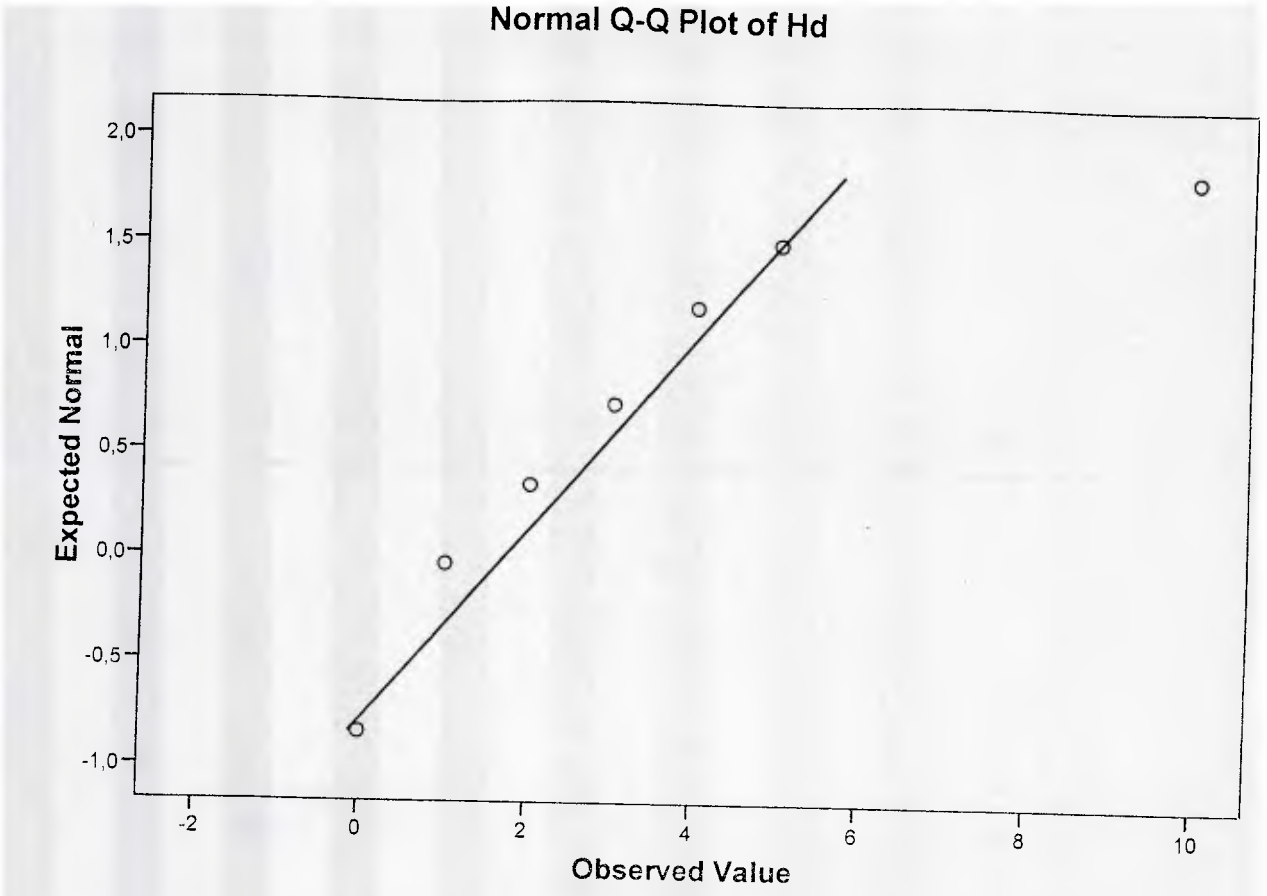
Normal Q-Q Plot of Hd
Expected Normal
2,0
1,5
1,0
0,5
0,0
-0,5
-1,0
-2
0
2
4
6
8
10
Observed Value

ParaHd

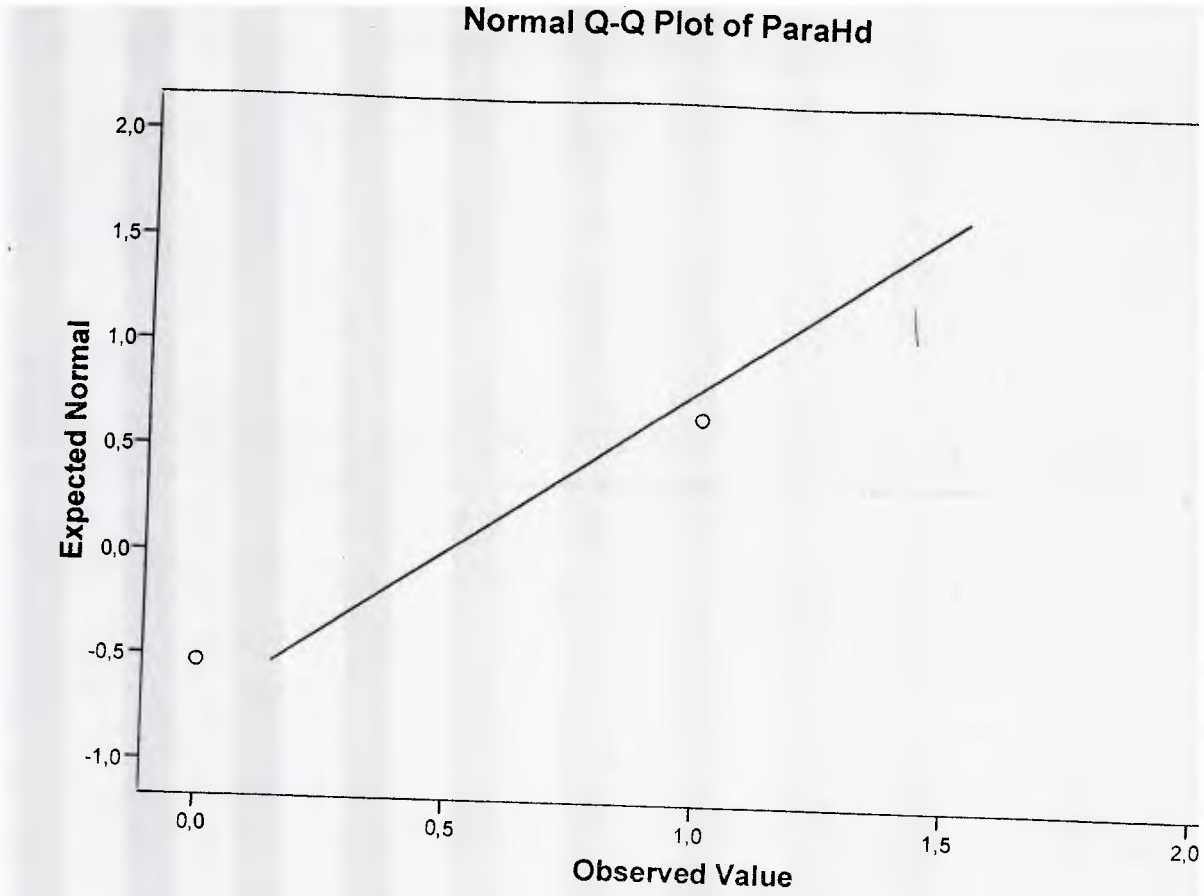
Normal Q-Q Plot of ParaHd
Expected Normal
2,0
1,5
1,0
0,5
0,0
-0,5
-1,0
0,0
0,5
1,0
1,5
2,0
Observed Value

GHR

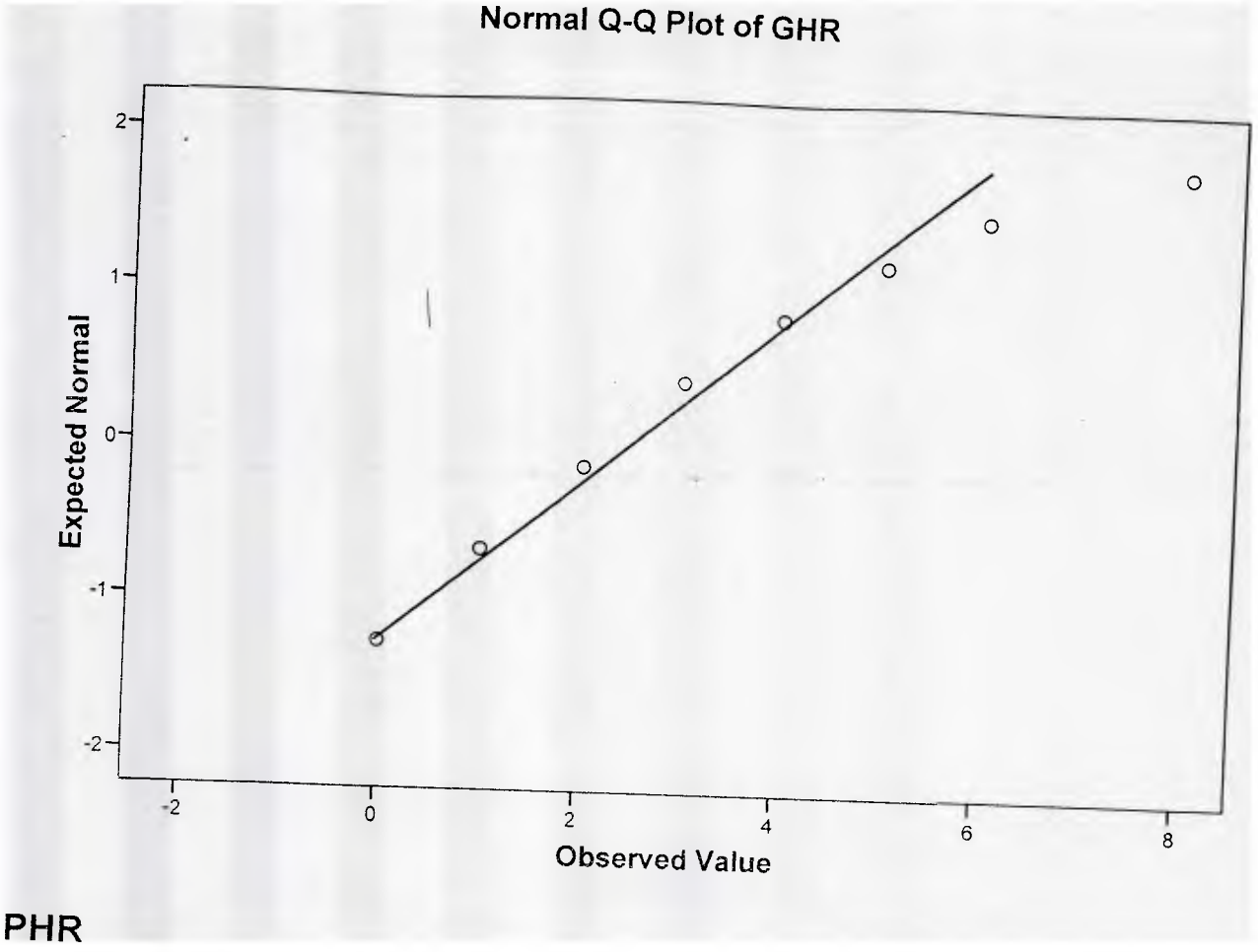
Normal Q-Q Plot of GHR
Expected Normal
2
1
0
-1
-2
-2
0
2
4
6
8
Observed Value

PHR

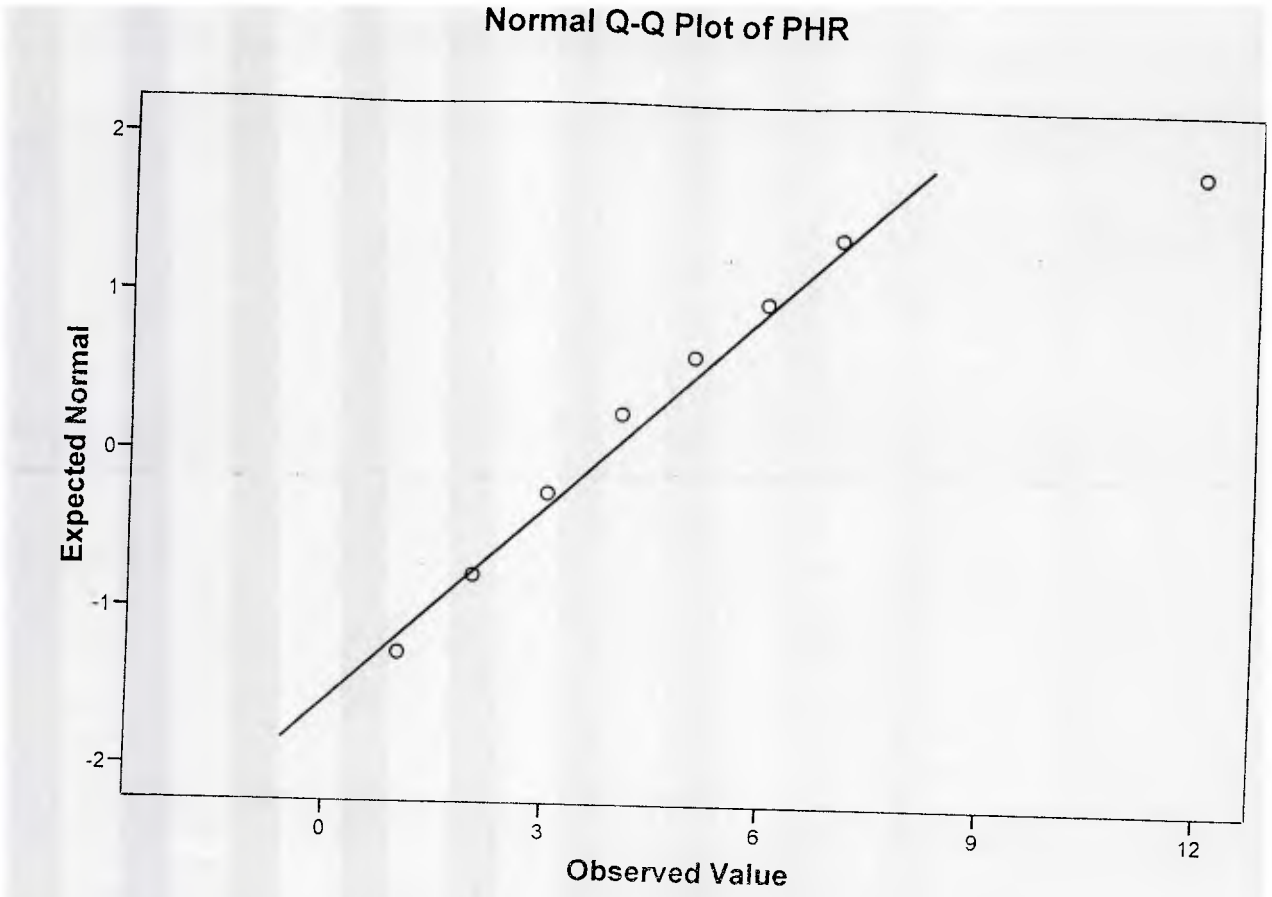
Normal Q-Q Plot of PHR
Expected Normal
2
1
0
-1
-2
0
3
6
9
12
Observed Value

AG

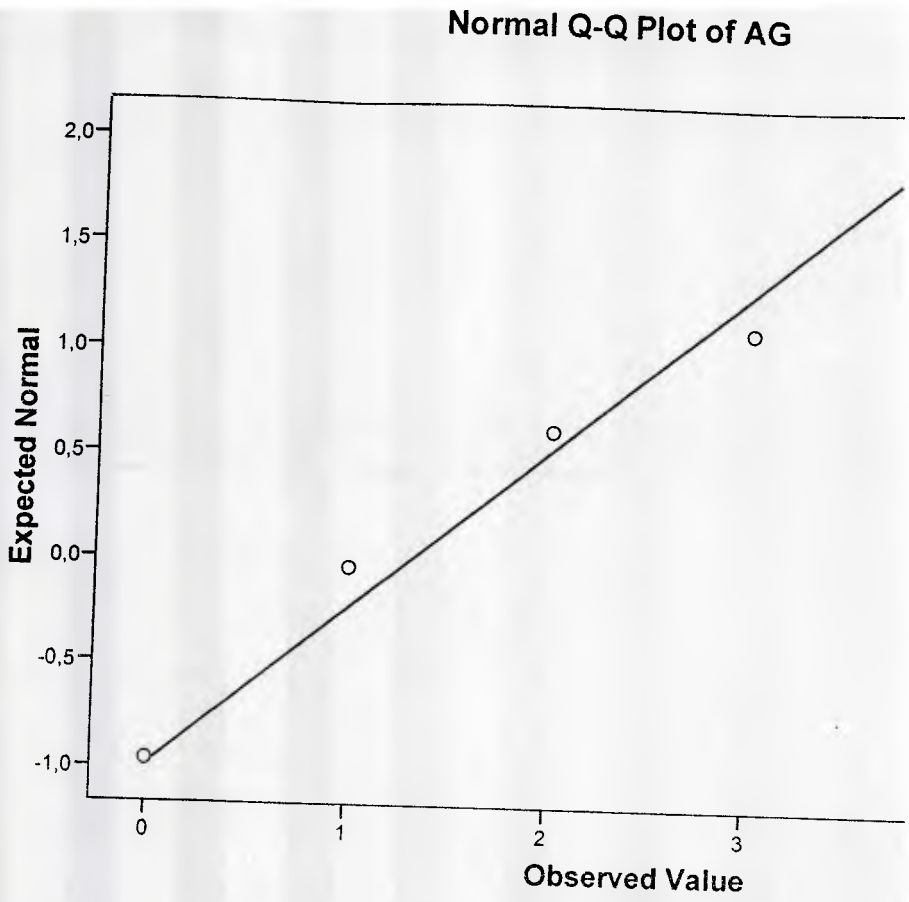
Normal Q-Q Plot of AG
Expected Normal
2,0
1,5
1,0
0,5
0,0
-0,5
-1,0
0
1
2
3
Observed Value

COP

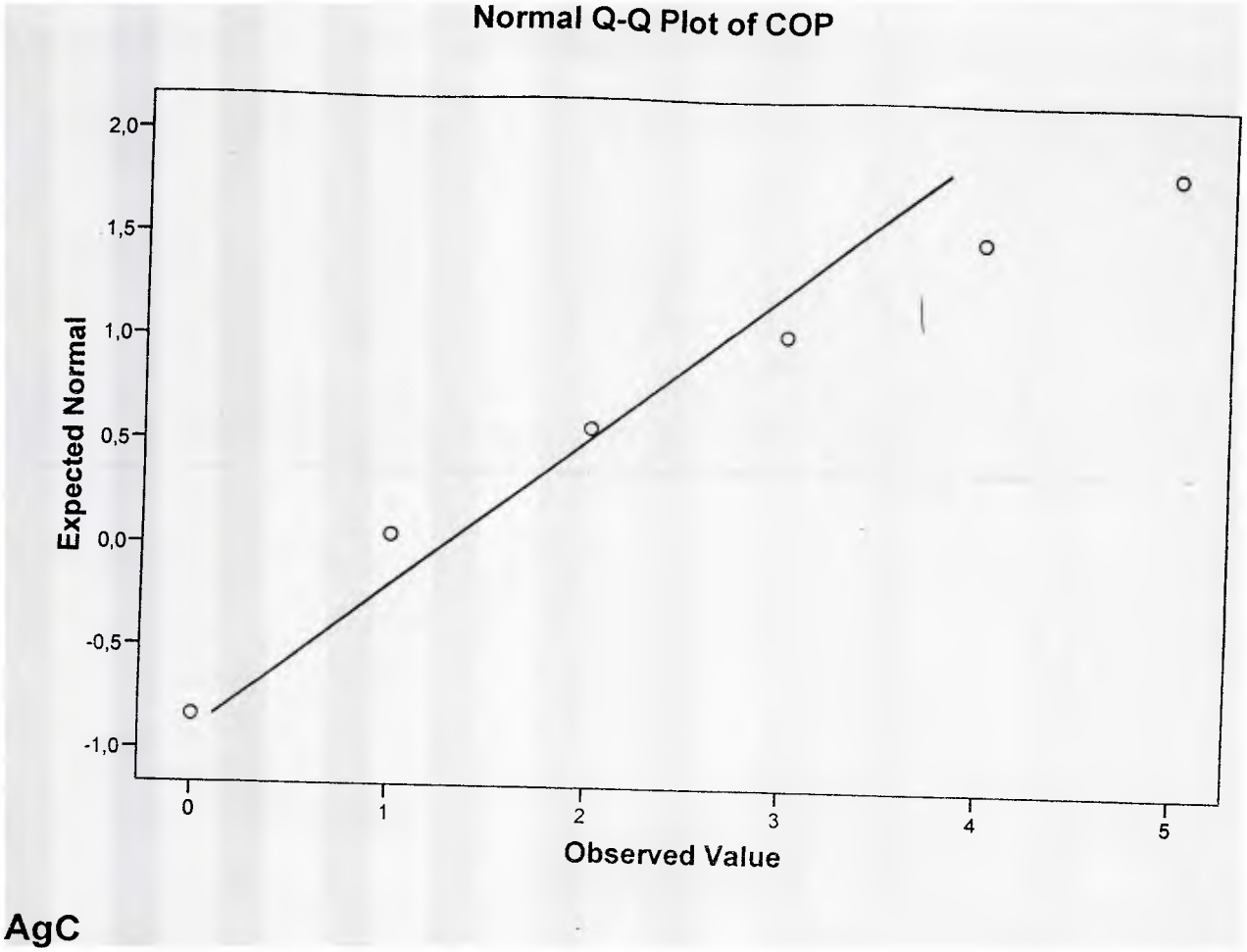
Normal Q-Q Plot of COP
Expected Normal
2,0
1,5
1,0
0,5
0,0
-0,5
-1,0
0
1
2
3
4
5
Observed Value
AgC

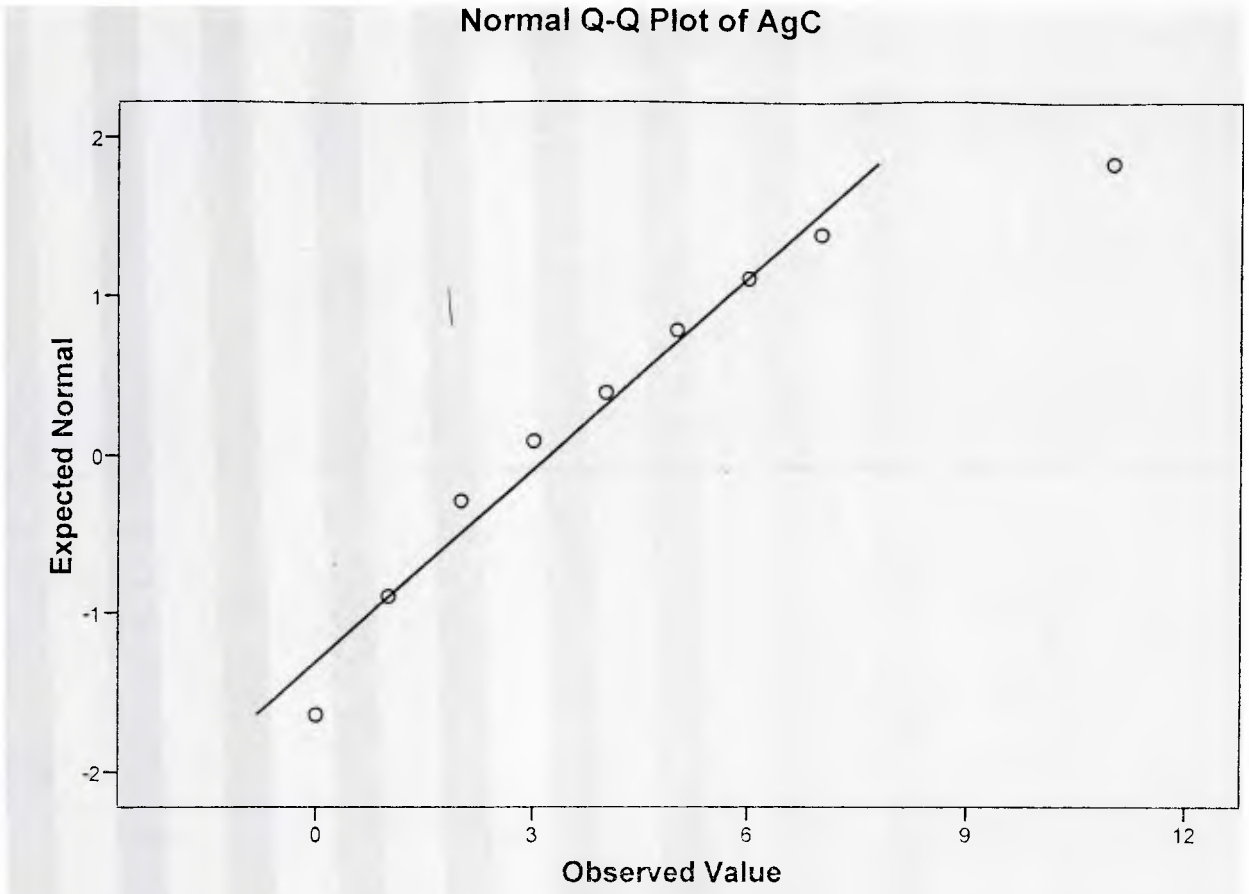
Normal Q-Q Plot of AgC
Expected Normal
2
1
0
-1
-2
0
3
6
9
12
Observed Value

AgPast

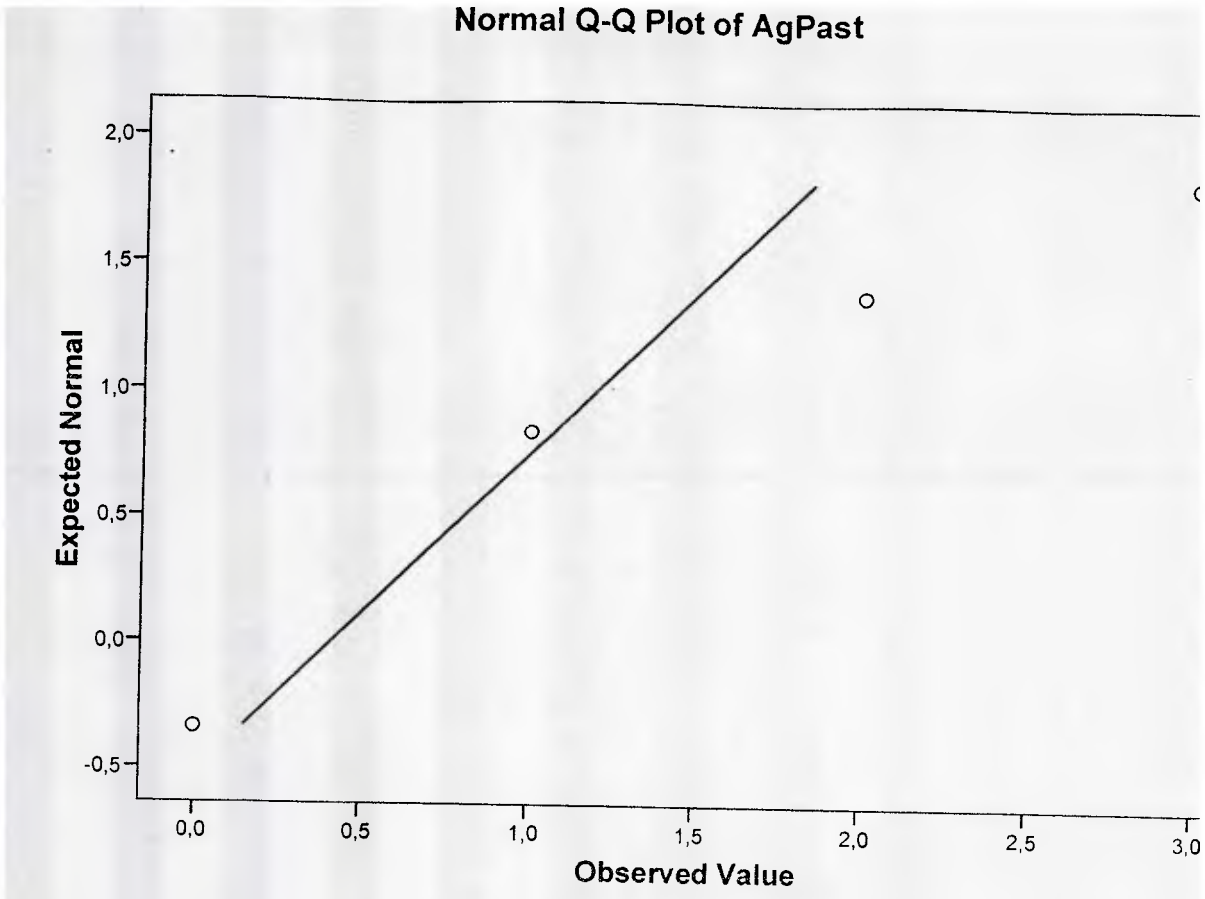
Normal Q-Q Plot of AgPast
Expected Normal
2,0
1,5
1,0
0,5
0,0
-0,5
0,0
0,5
1,0
1,5
2,0
2,5
3,0
Observed Value

AgPot

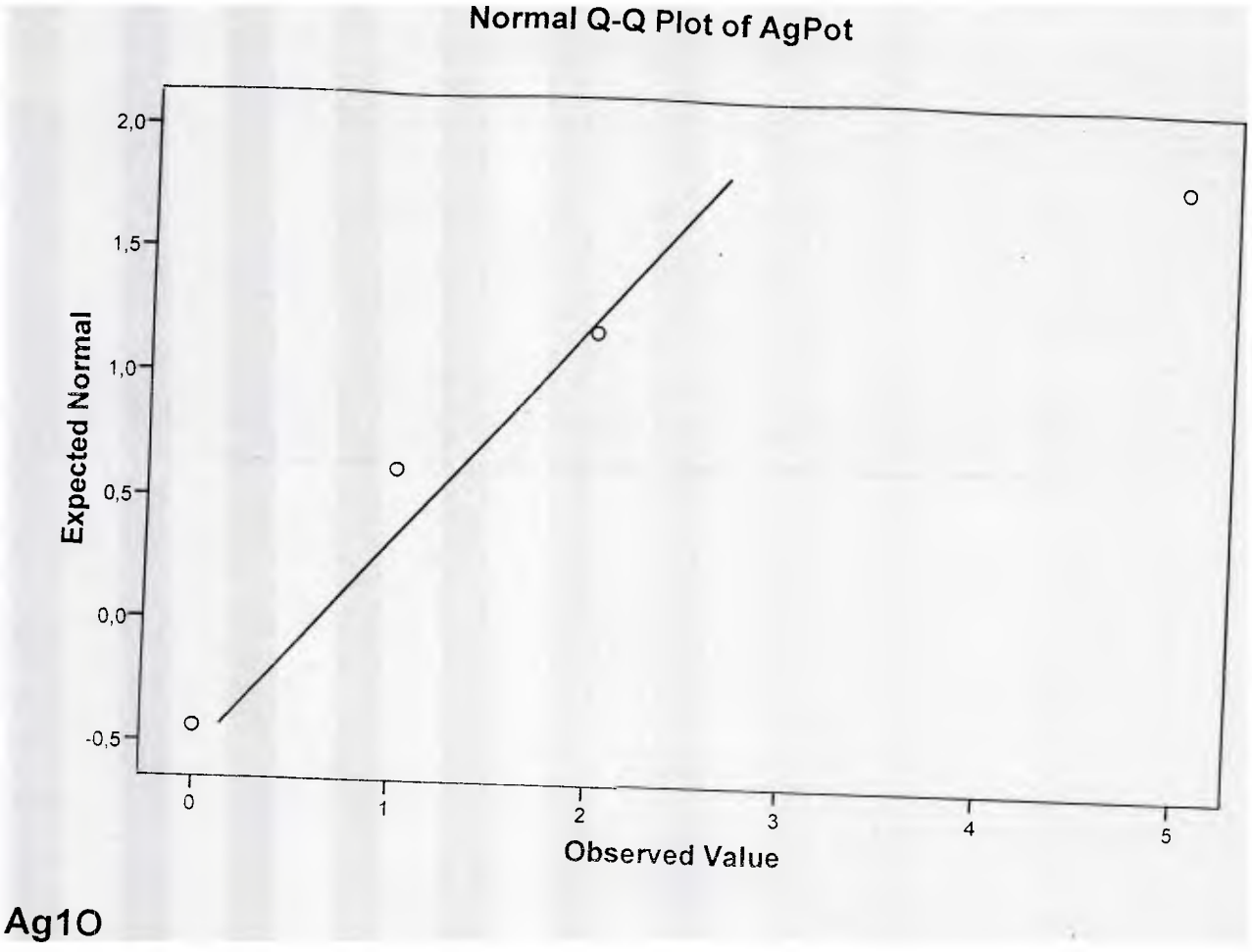
Normal Q-Q Plot of AgPot
Expected Normal
2,0
1,5
1,0
0,5
0,0
-0,5
0
1
2
3
4
5
Observed Value

Ag1O

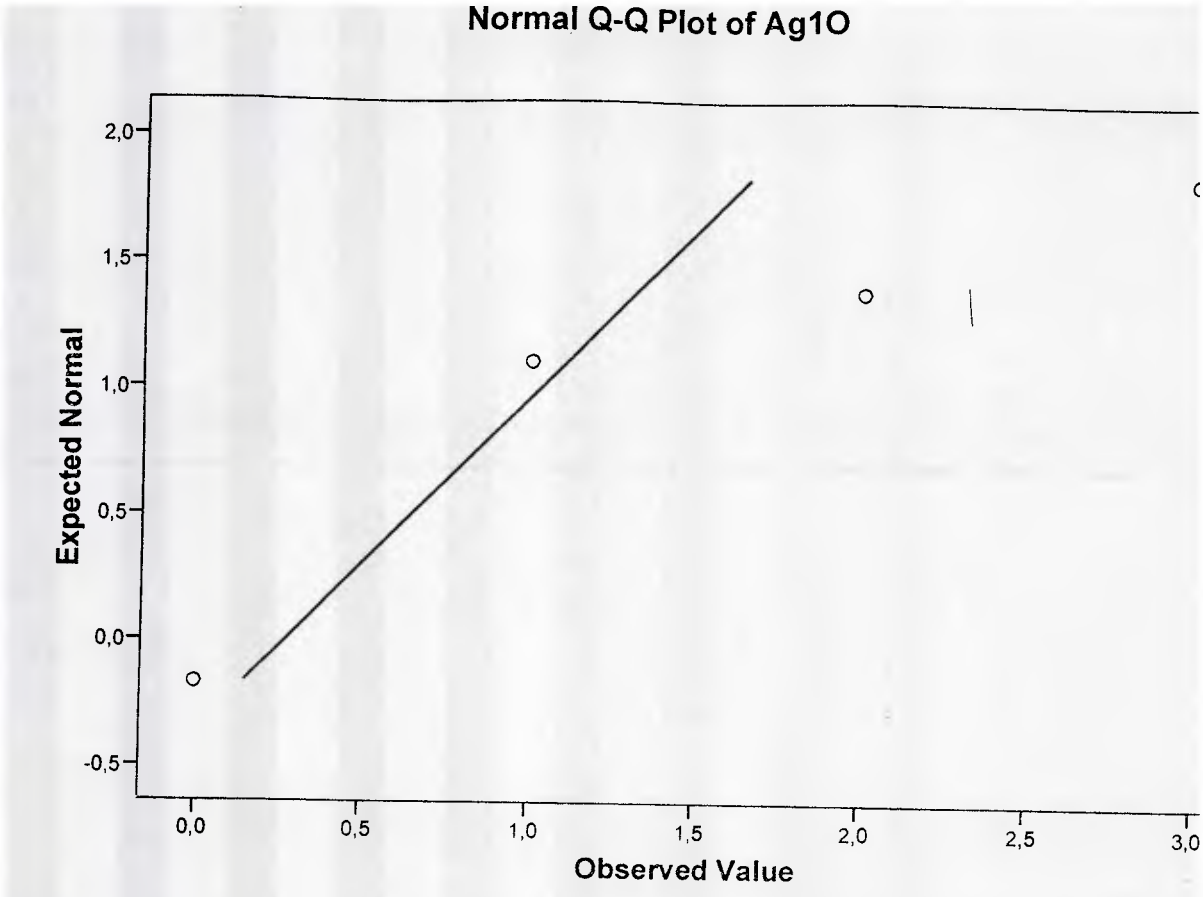
Normal Q-Q Plot of Ag1O
Expected Normal
2,0
1,5
1,0
0,5
0,0
-0,5
0,0
0,5
1,0
1,5
2,0
2,5
3,0
Observed Value

Ag2O

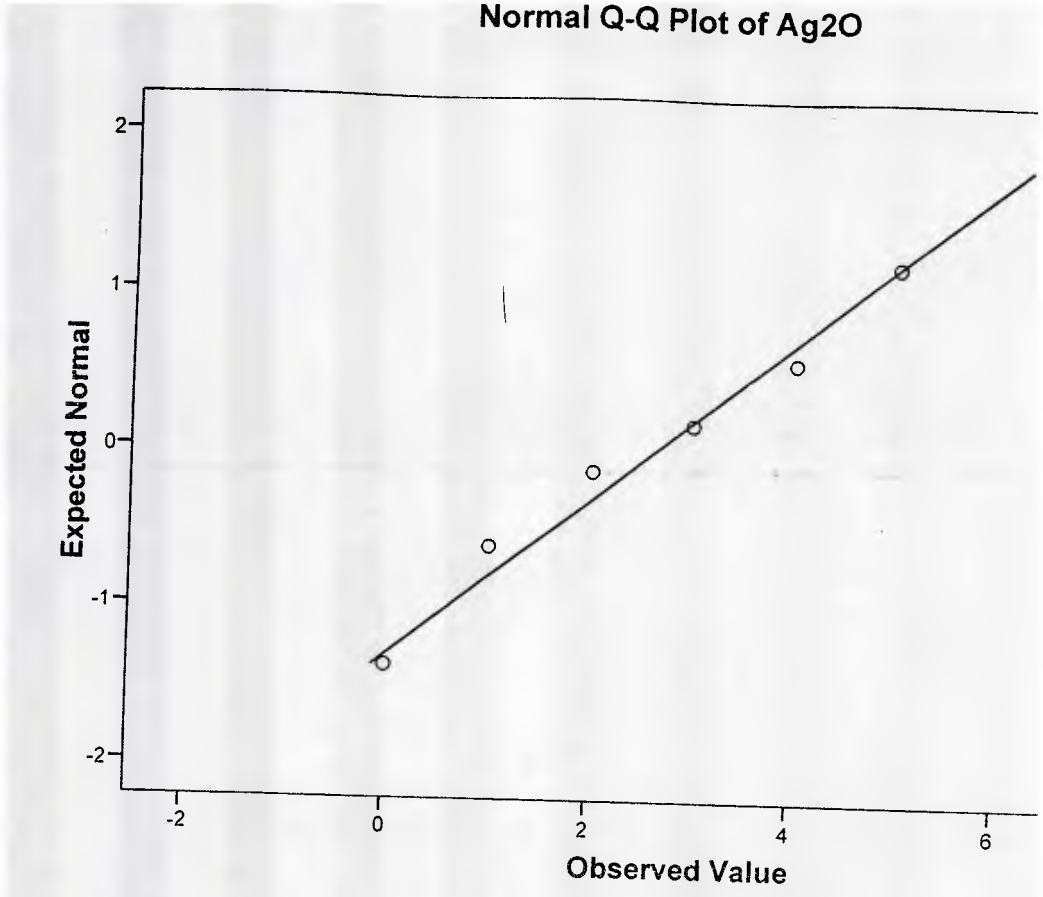
Normal Q-Q Plot of Ag2O
Expected Normal
2
1
0
-1
-2
-2
0
2
4
6
Observed Value

Ag1A

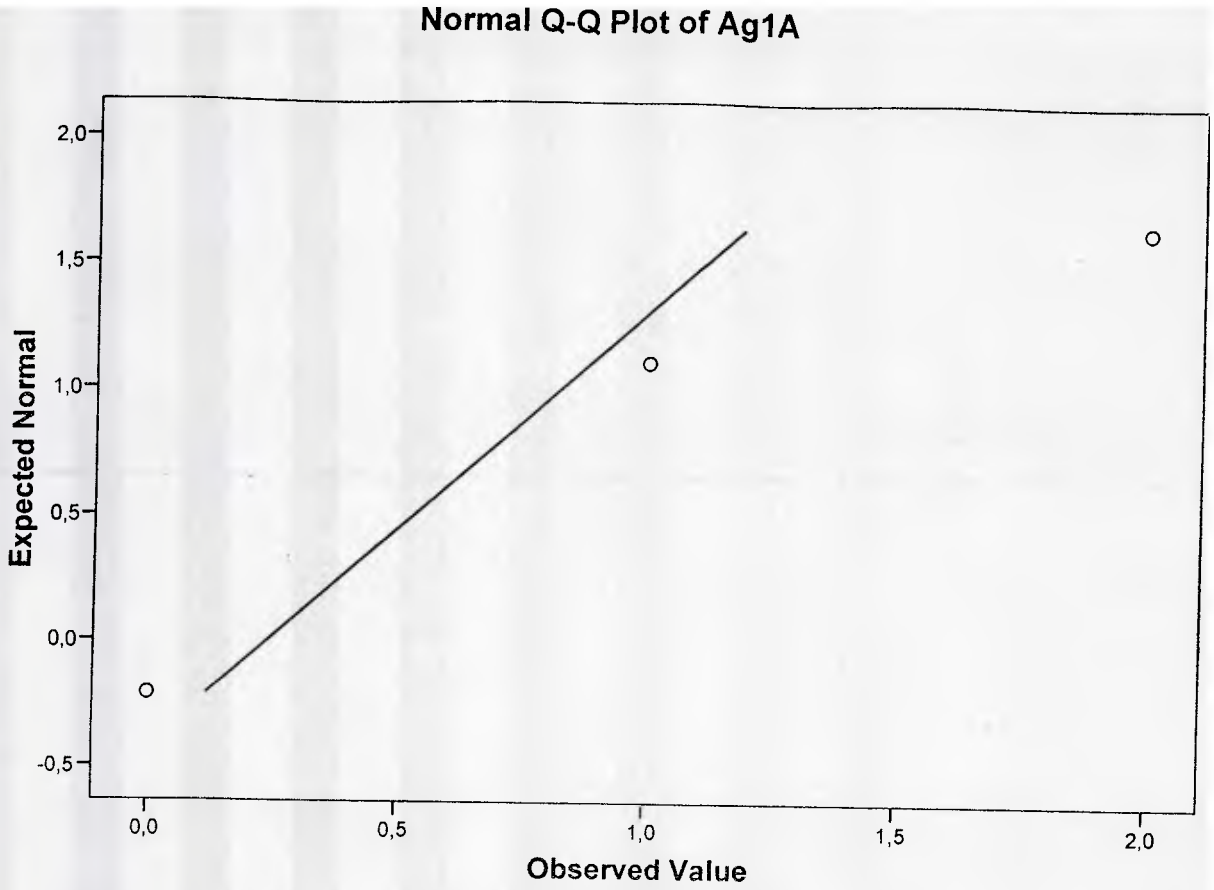
Normal Q-Q Plot of Ag1A
Expected Normal
2,0
1,5
1,0
0,5
0,0
-0,5
0,0
0,5
1,0
1,5
2,0
Observed Value

Ag2A

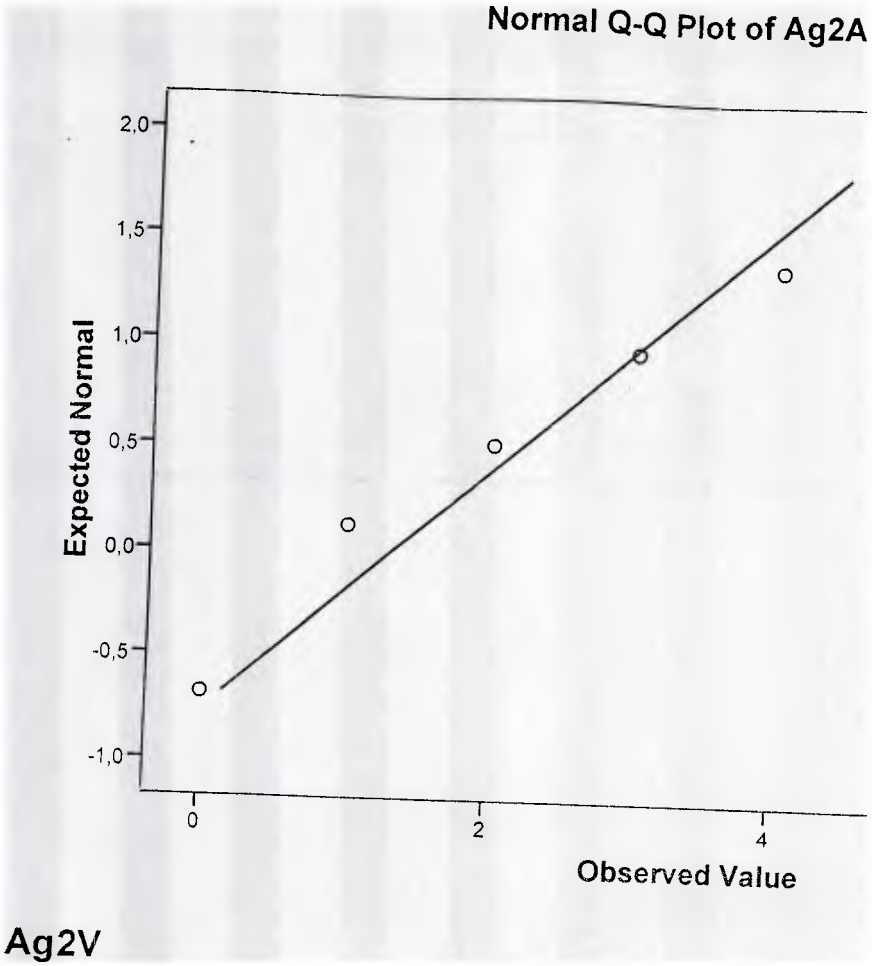
Normal Q-Q Plot of Ag2A
Expected Normal
2,0
1,5
1,0
0,5
0,0
-0,5
-1,0
0
2
4
Observed Value
Ag2V

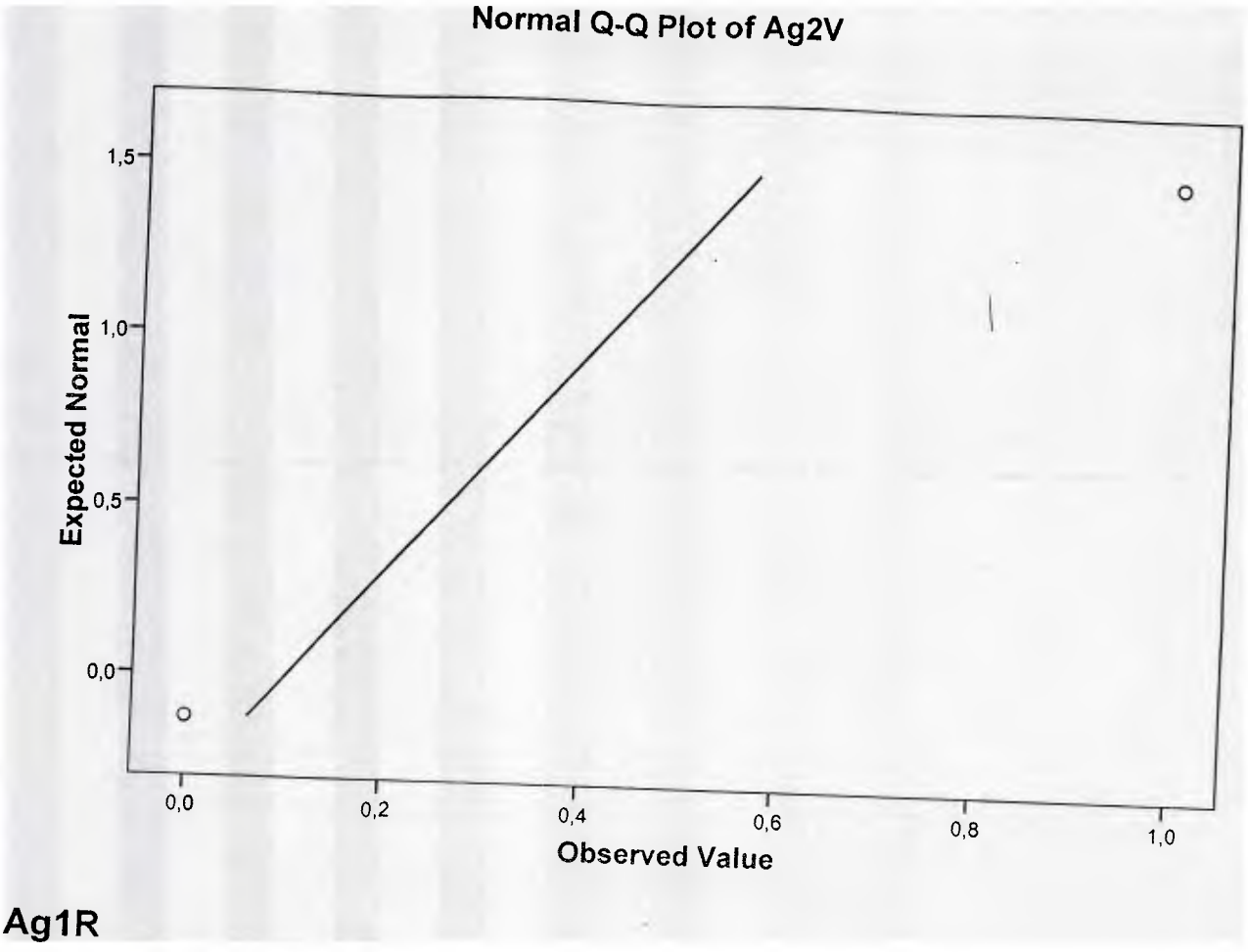
Normal Q-Q Plot of Ag2V
Expected Normal
1,5
1,0
0,5
0,0
0,0
0,2
0,4
0,6
0,8
1,0
Observed Value

Ag1R

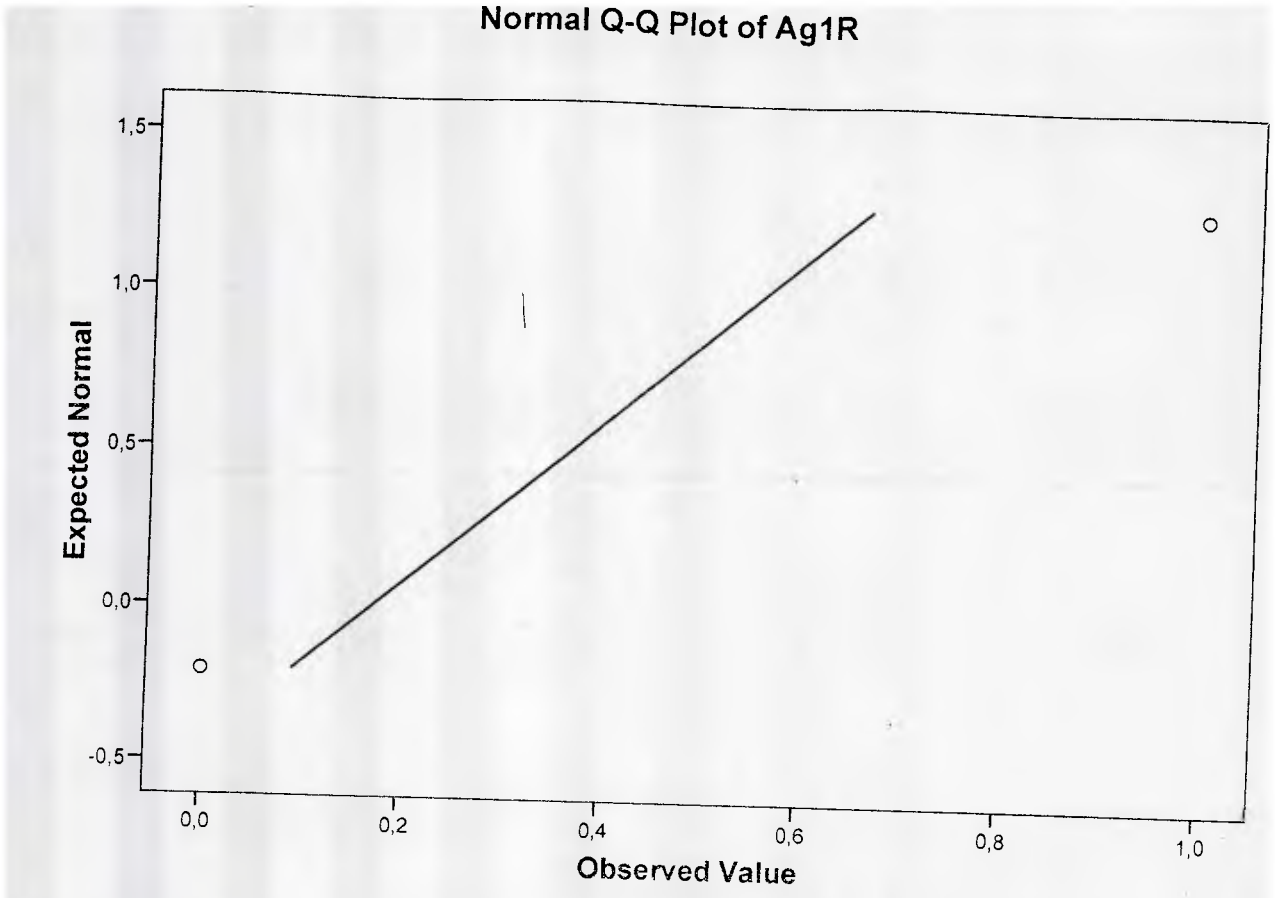
Normal Q-Q Plot of Ag1R
Expected Normal
1,5
1,0
0,5
0,0
-0,5
0,0
0,2
0,4
0,6
0,8
1,0
Observed Value

Ag2R

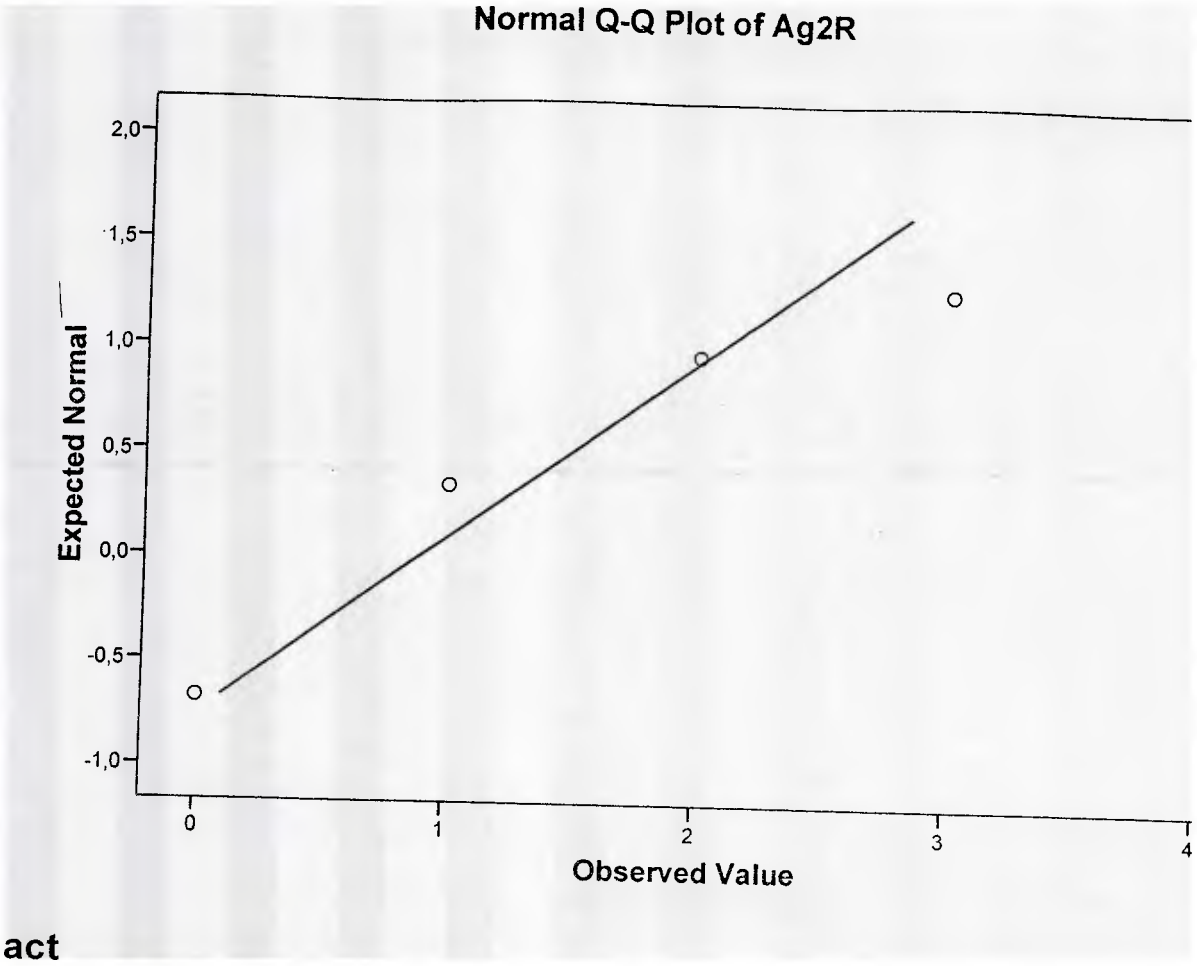
Normal Q-Q Plot of Ag2R
Expected Normal
2,0
1,5
1,0
0,5
0,0
-0,5
-1,0
0
1
2
3
4
Observed Value

act

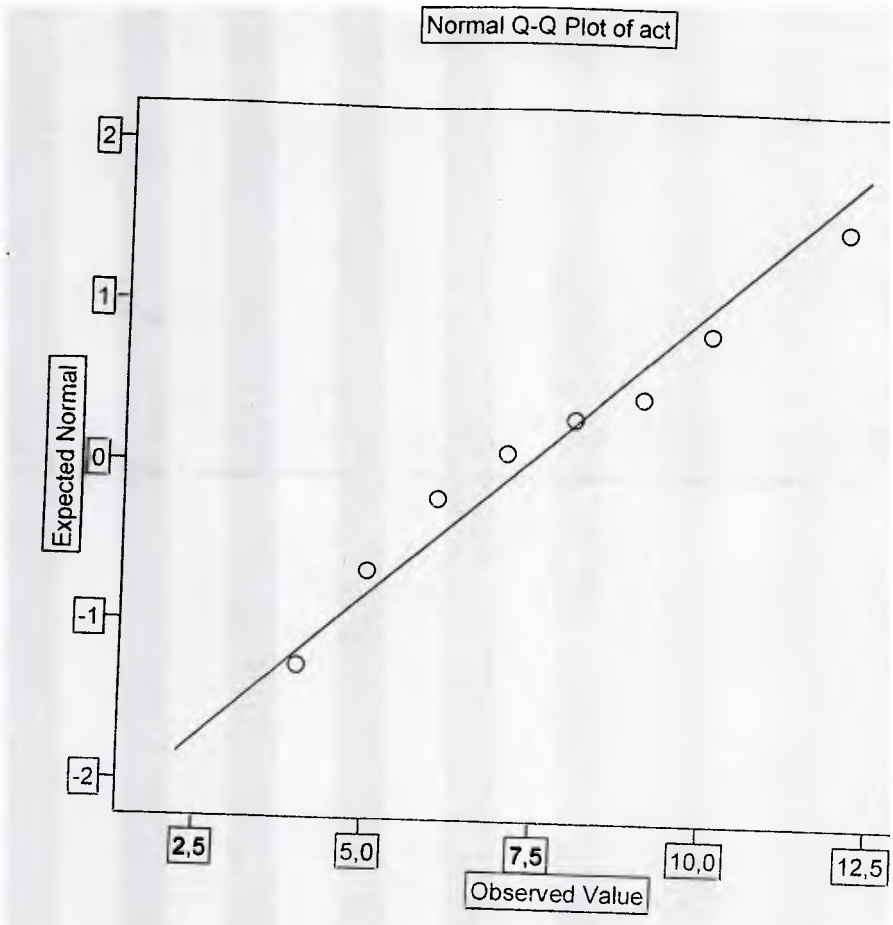
Normal Q-Q Plot of act
Expected Normal
2
1
0
-1
-2
2,5
5,0
7,5
10,0
12,5
Observed Value

pas

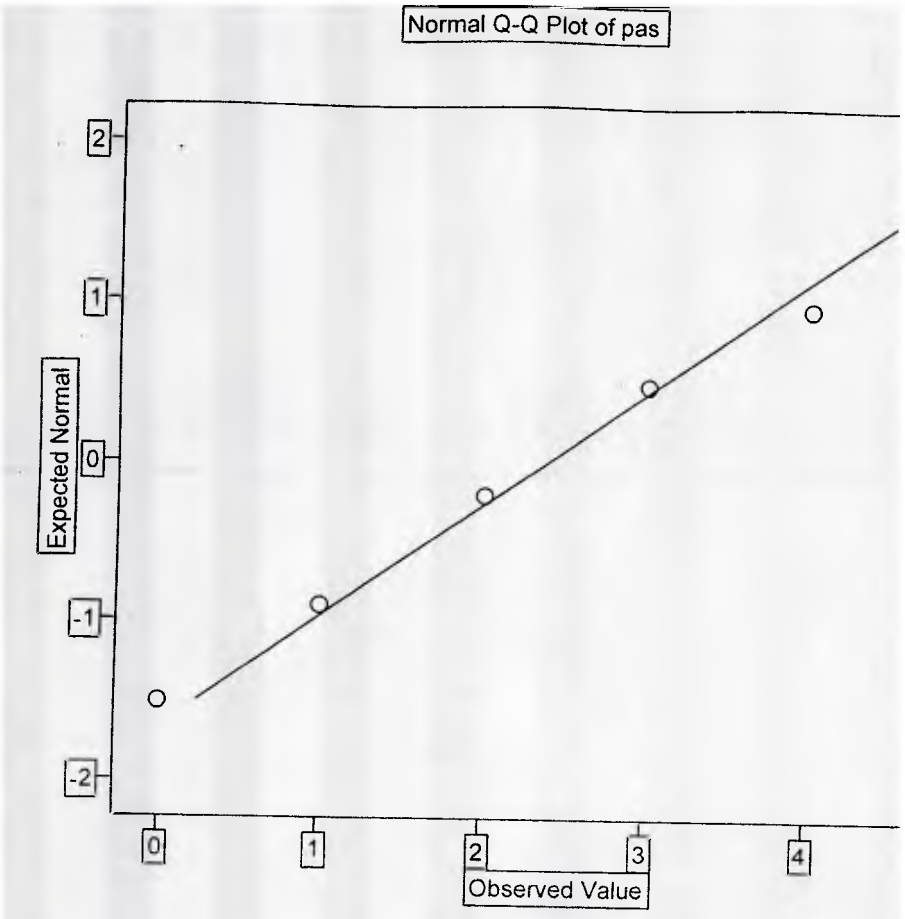
Normal Q-Q Plot of pas
Expected Normal
2
1
0
-1
-2
0
1
2
3
4
Observed Value

Aisl

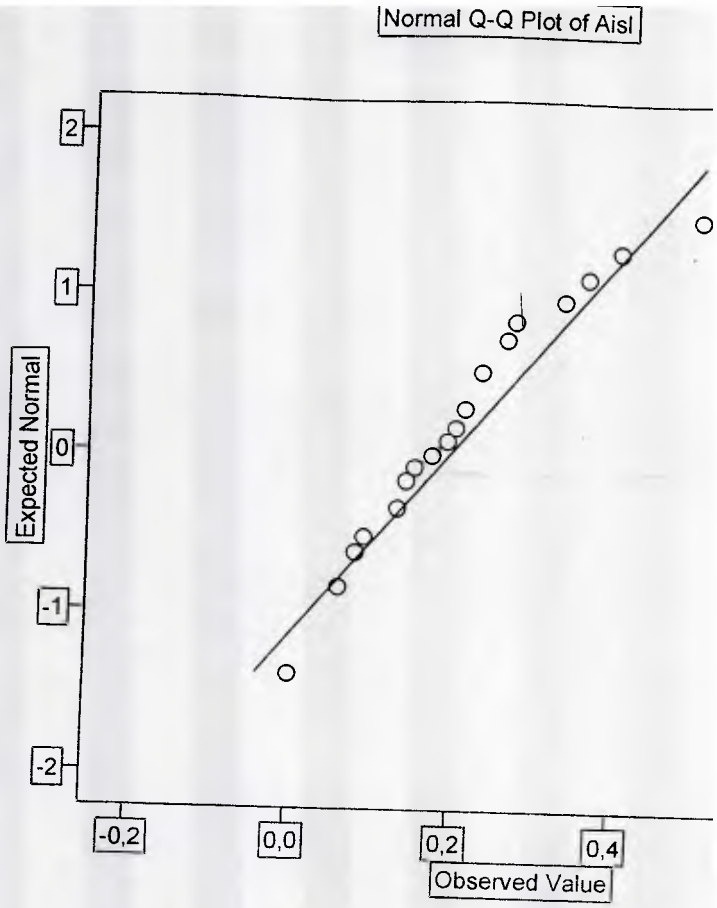
Normal Q-Q Plot of Aisl
Expected Normal
2
1
0
-1
-2
-0,2
0,0
0,2
0,4
Observed Value

CDI

Normal Q-Q Plot of CDI
Expected Normal
2
1
0
-1
-2
1
2
3
4
5
Observed Value

ANEXO B: GRÁFICOS DE FRECUENCIA DE LAS VARIABLES DEL TEST DE LOS CUENTOS DE HADAS (FTT).

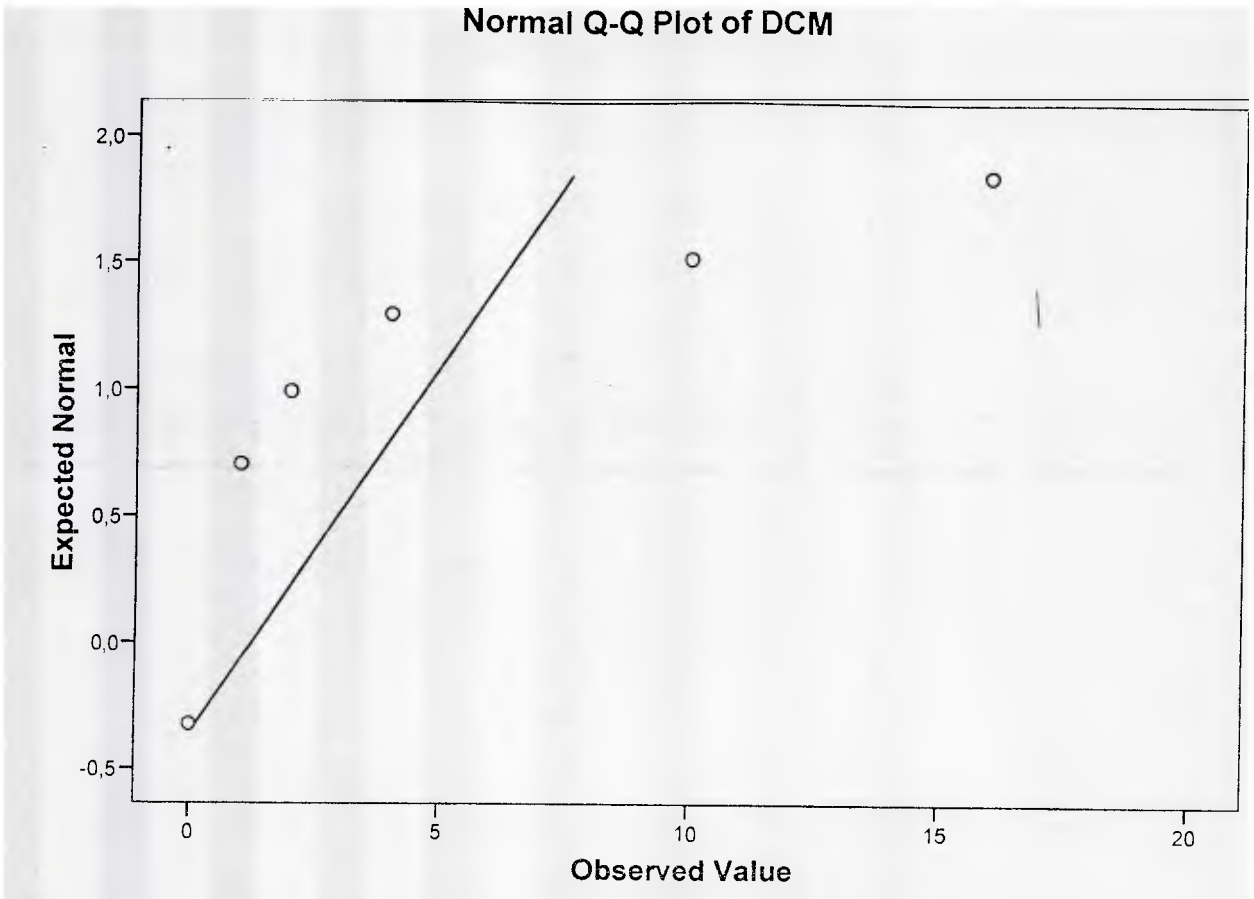
Normal Q-Q Plot of DCM
Expected Normal
2,0
1,5
1,0
0,5
0,0
-0,5
0
5
10
15
20
Observed Value

Dsup

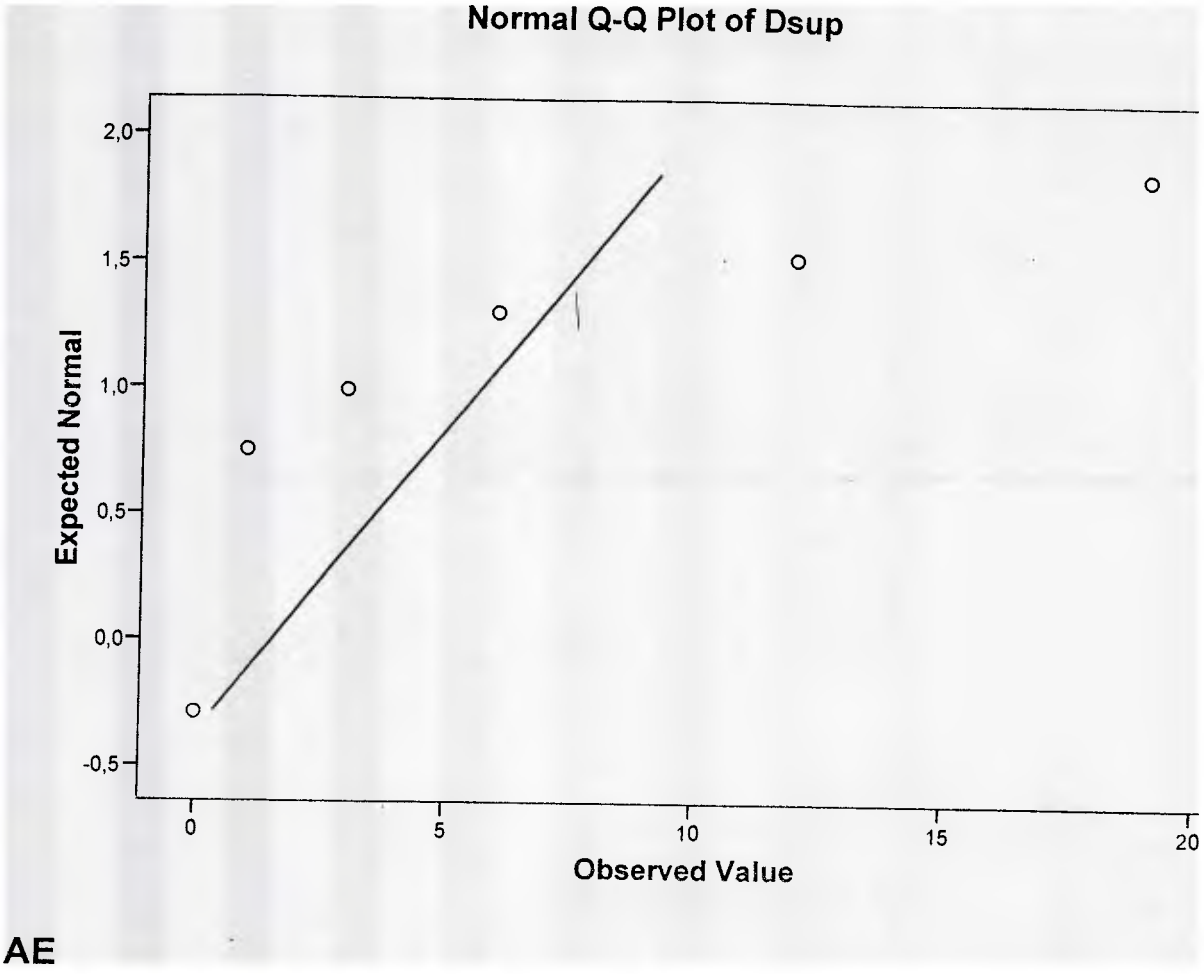
Normal Q-Q Plot of Dsup
Expected Normal
2,0
1,5
1,0
0,5
0,0
-0,5
0
5
10
15
20
Observed Value

AE

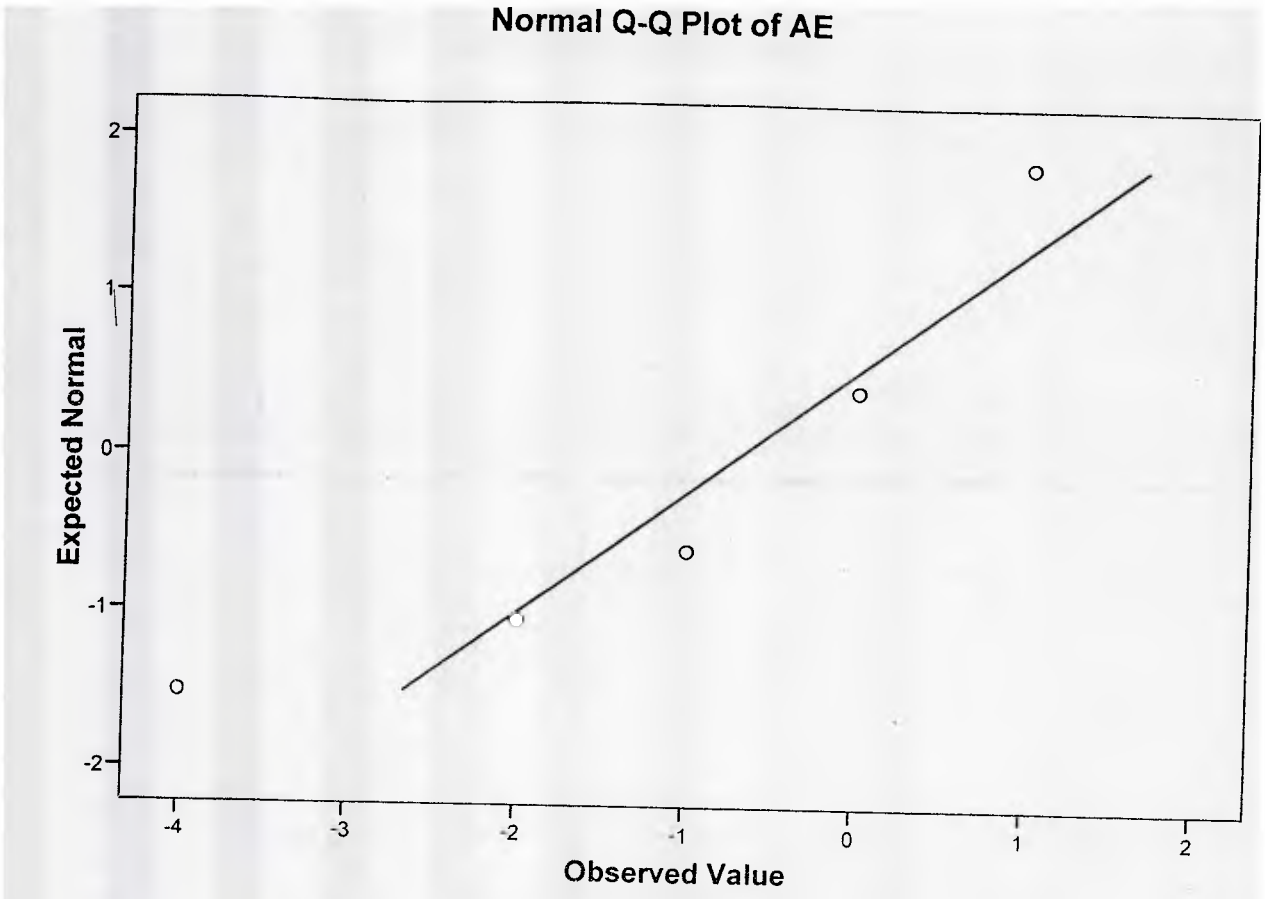
Normal Q-Q Plot of AE
Expected Normal
Observed Value
2
1
0
-1
-2
-4
-3
-2
-1
0
1
2

Spro

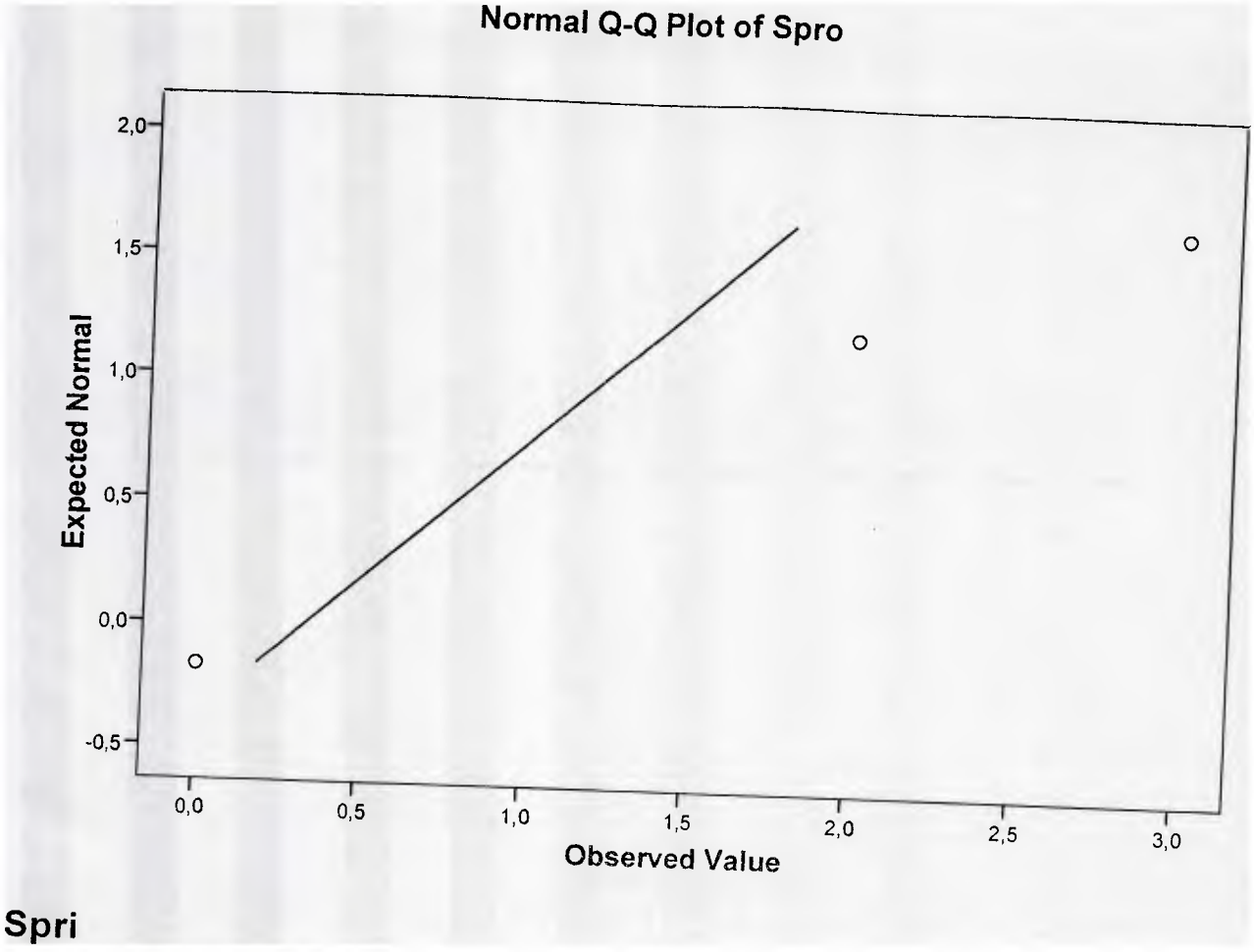
Normal Q-Q Plot of Spro
Expected Normal
2,0
1,5
1,0
0,5
0,0
-0,5
0,0
0,5
1,0
1,5
2,0
2,5
3,0
Observed Value

Spri

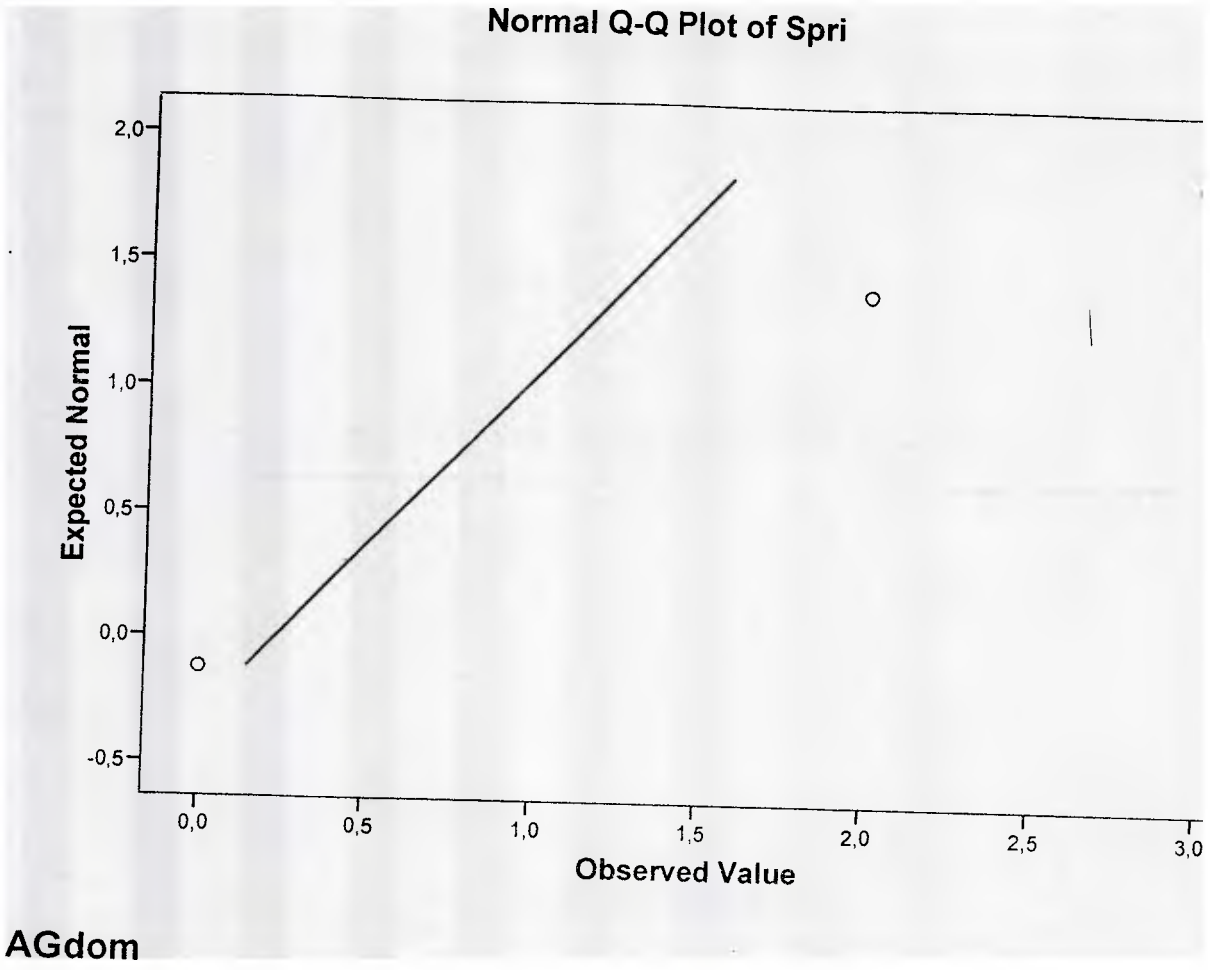
Normal Q-Q Plot of Spri
Expected Normal
2,0
1,5
1,0
0,5
0,0
-0,5
0,0
0,5
1,0
1,5
2,0
2,5
3,0
Observed Value
AGdom

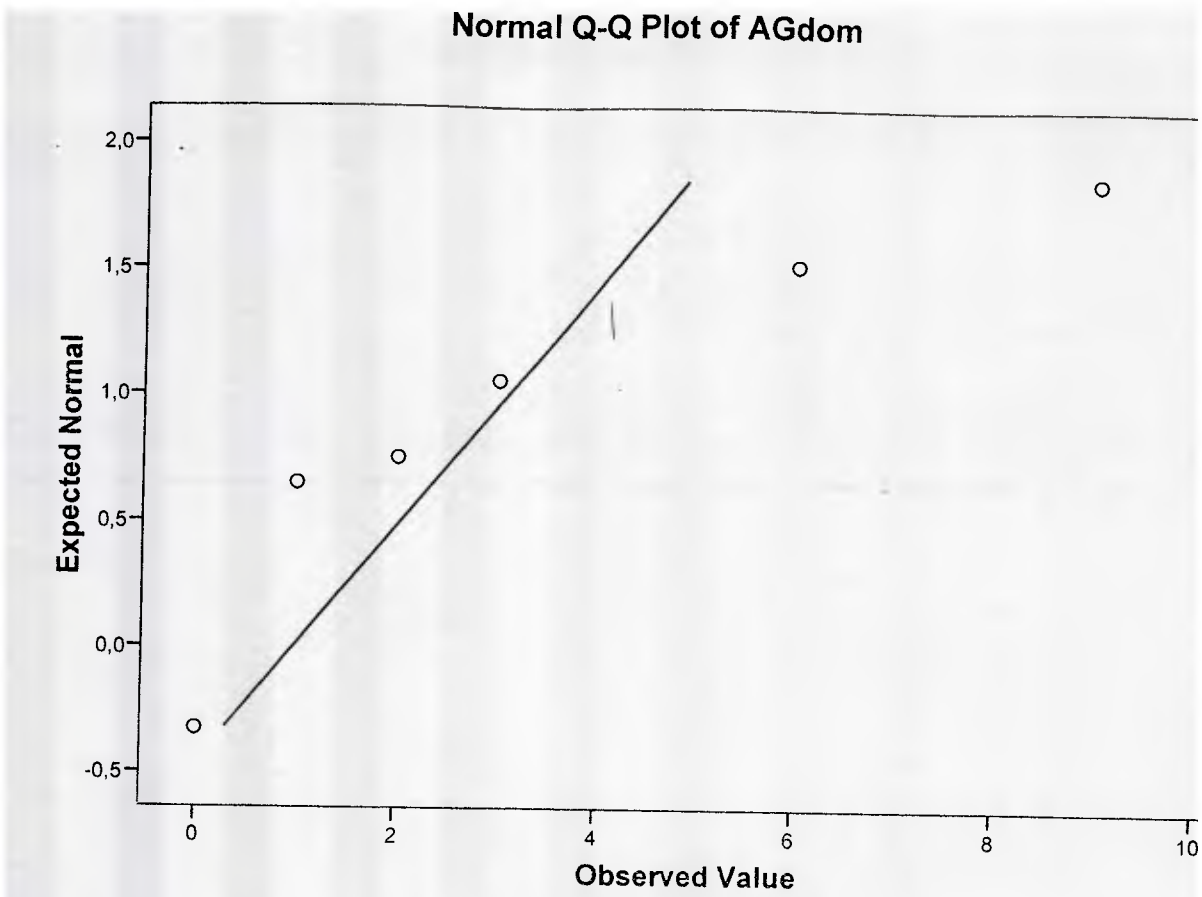
Normal Q-Q Plot of AGdom
Expected Normal
2,0
1,5
1,0
0,5
0,0
-0,5
0
2
4
6
8
10
Observed Value

AGor

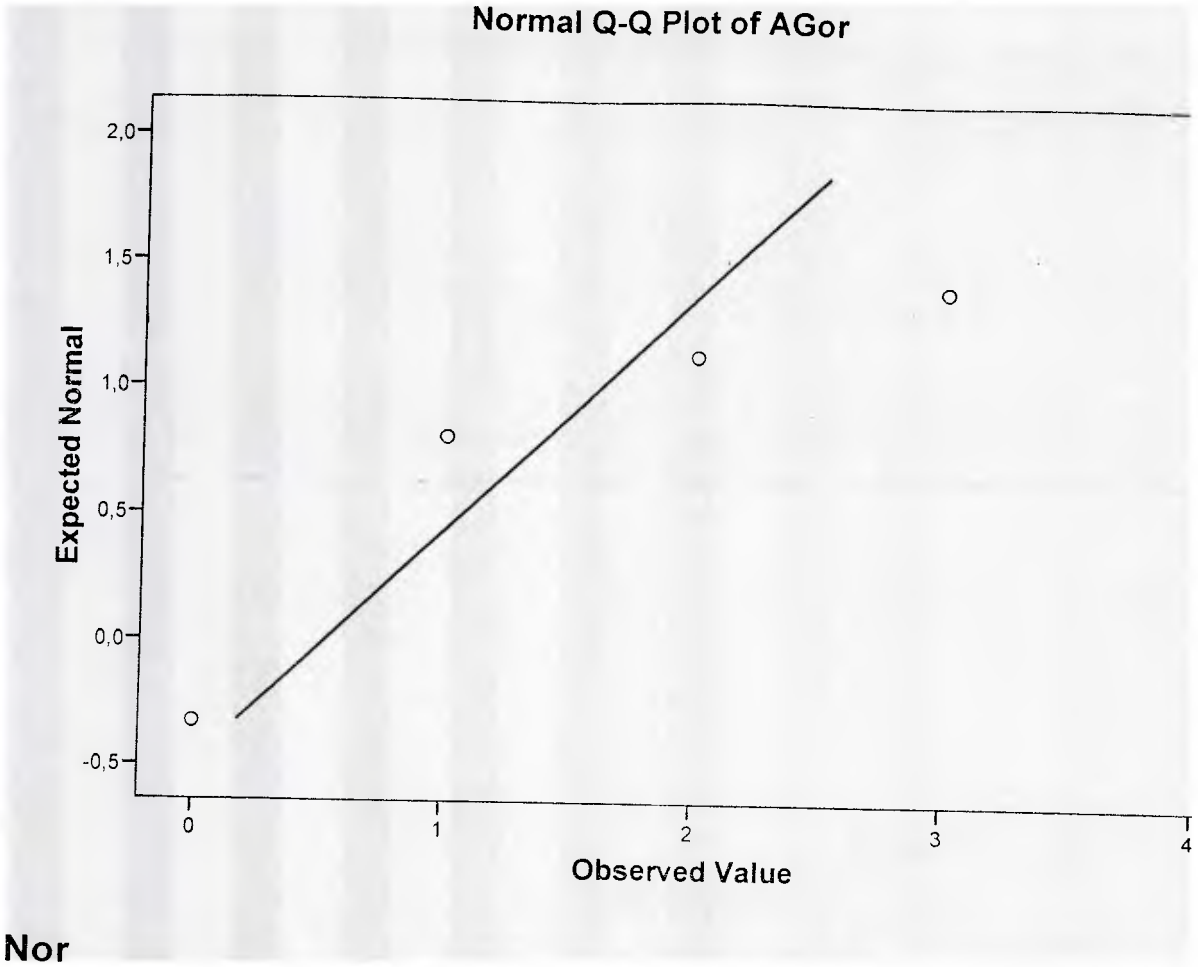
Normal Q-Q Plot of AGor
Expected Normal
2,0
1,5
1,0
0,5
0,0
-0,5
0
1
2
3
4
Observed Value

Nor

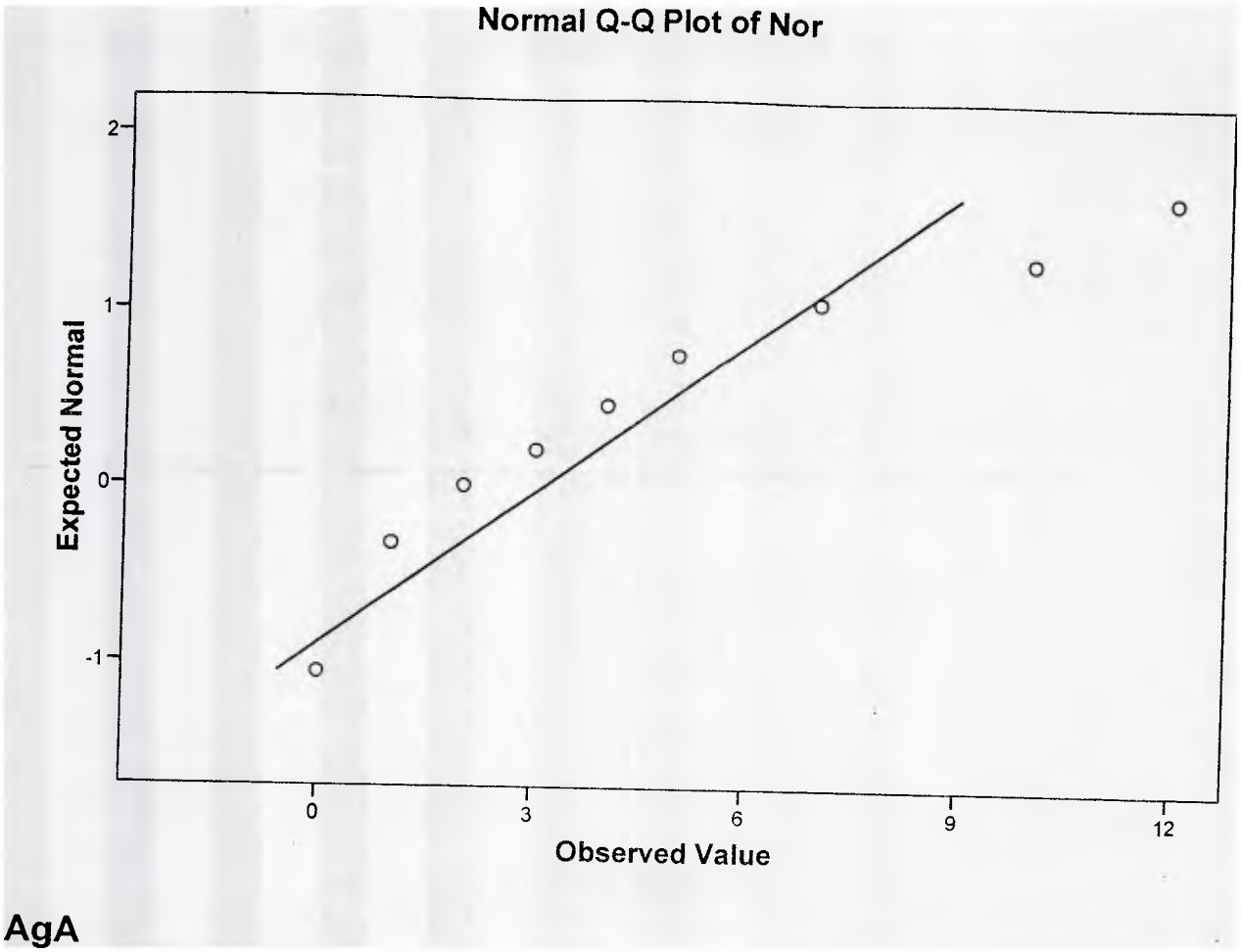
Normal Q-Q Plot of Nor
Expected Normal
2
1
0
-1
0
3
6
9
12
Observed Value
AgA

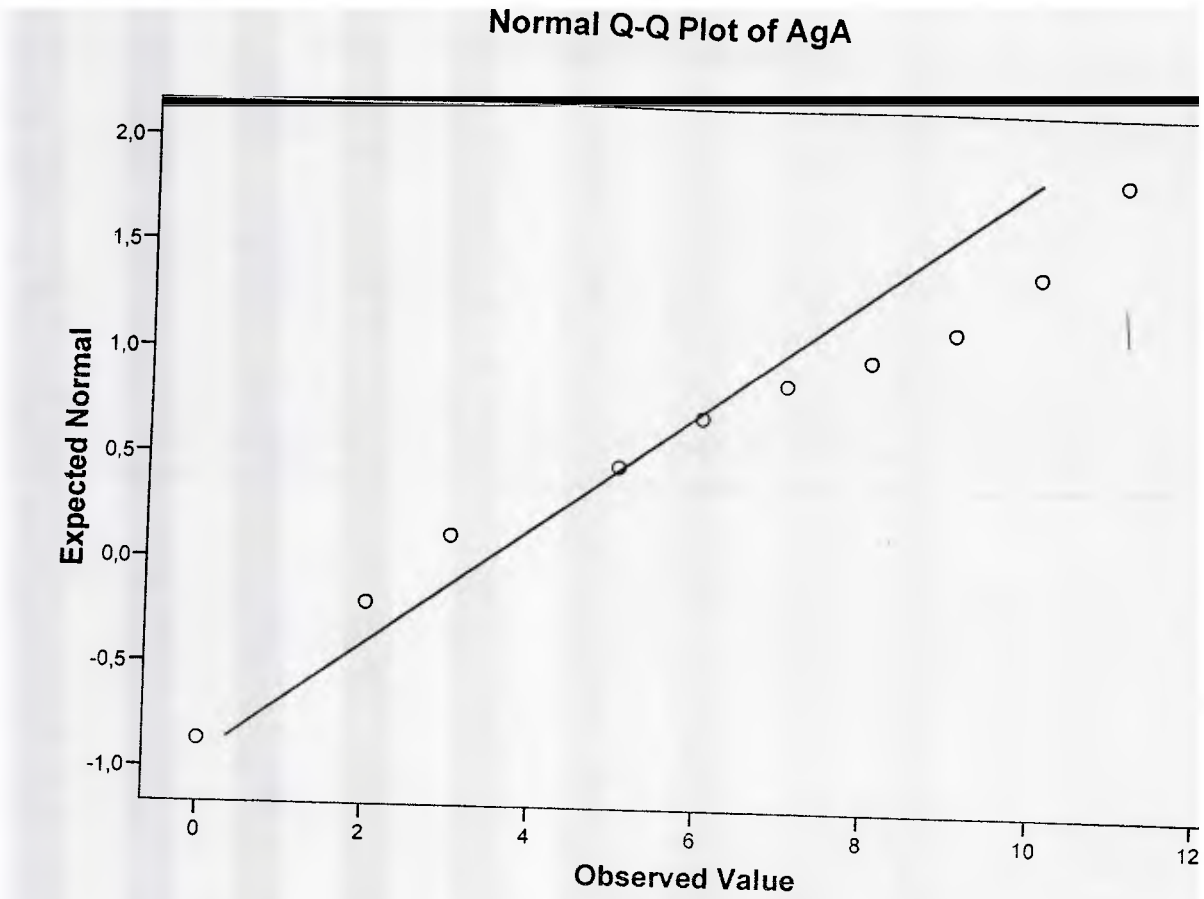
Normal Q-Q Plot of AgA
Expected Normal
2,0
1,5
1,0
0,5
0,0
-0,5
-1,0
0
2
4
6
8
10
12
Observed Value

AGven

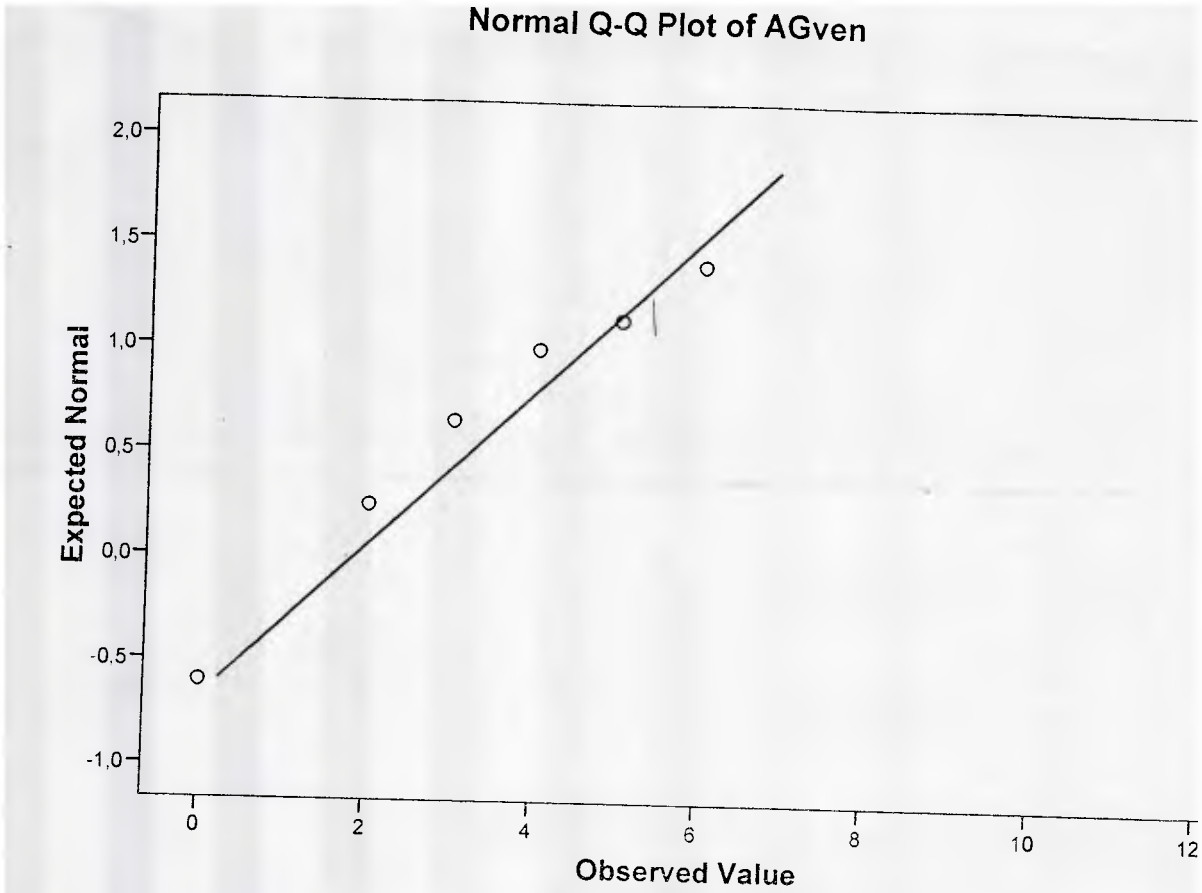
Normal Q-Q Plot of AGven
Expected Normal
2,0
1,5
1,0
0,5
0,0
-0,5
-1,0
0
2
4
6
8
10
12
Observed Value

AGcel

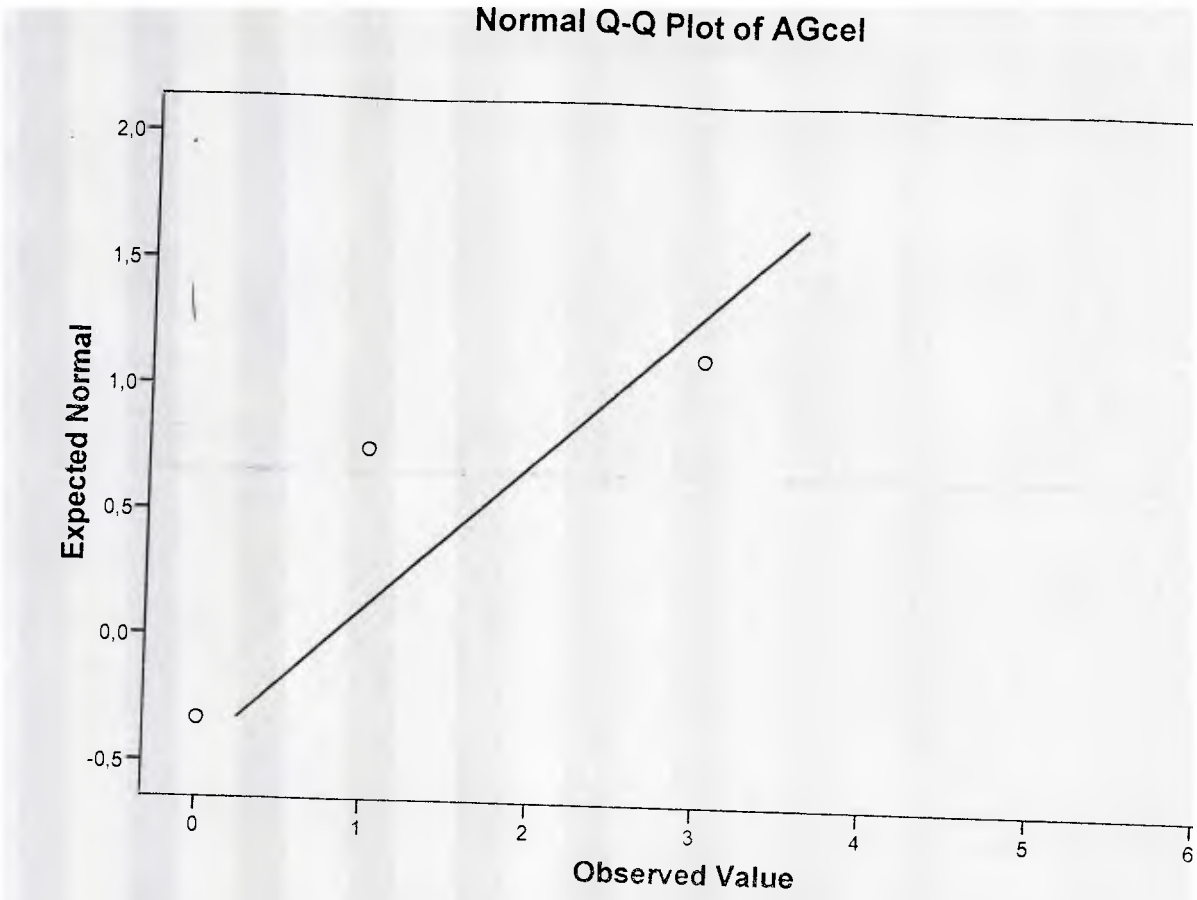
Normal Q-Q Plot of AGcel
Expected Normal
2,0
1,5
1,0
0,5
0,0
-0,5
0
1
2
3
4
5
6
Observed Value

Agdef

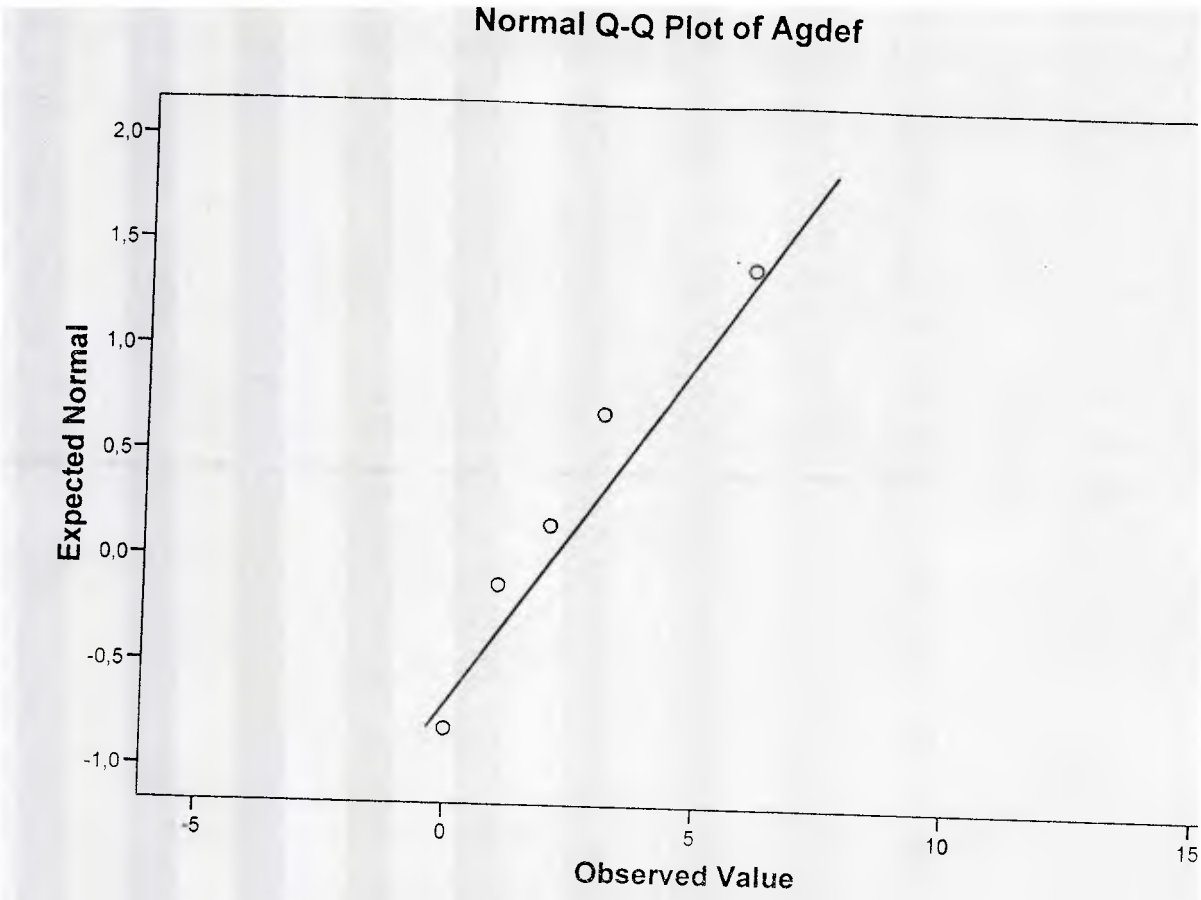
Normal Q-Q Plot of Agdef
Expected Normal
2,0
1,5
1,0
0,5
0,0
-0,5
-1,0
-5
0
5
10
15
Observed Value

Tag

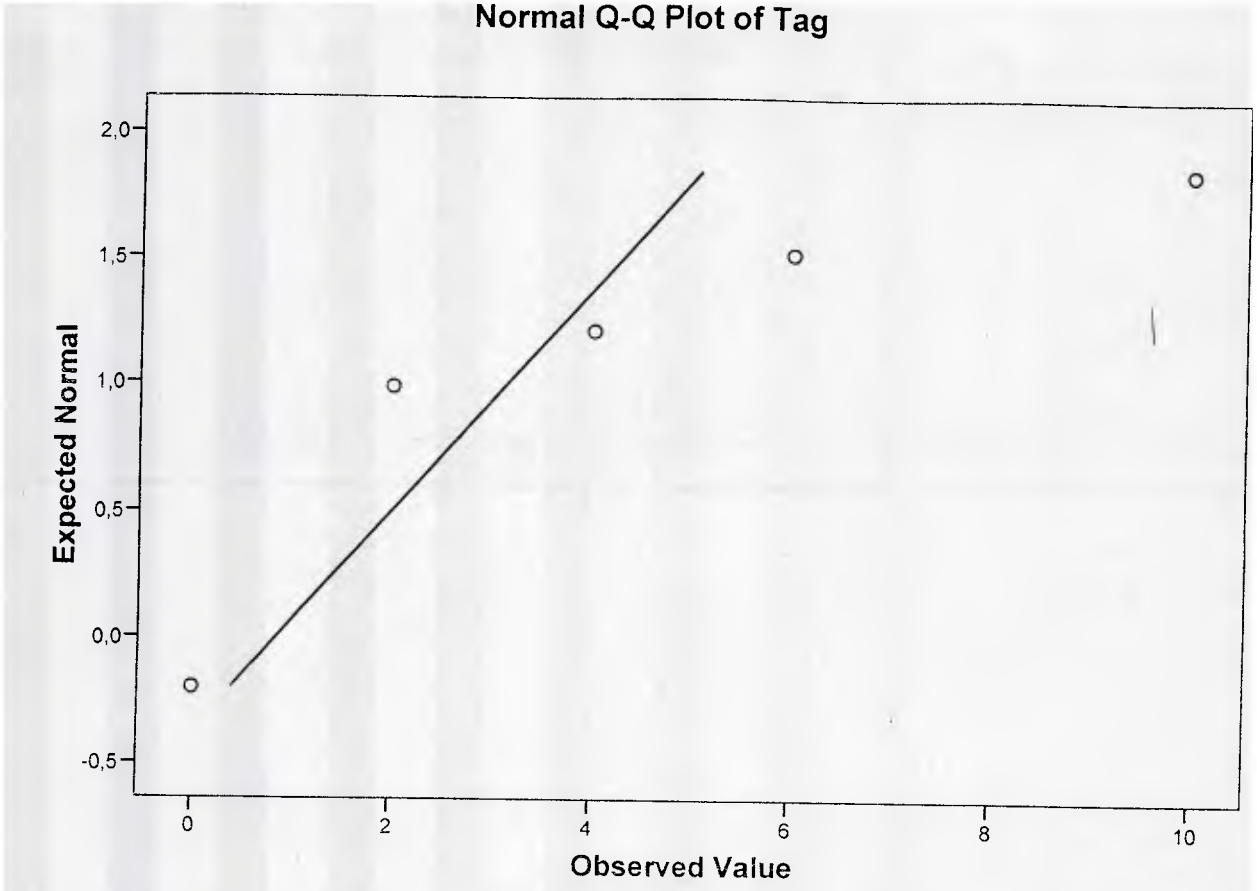
Normal Q-Q Plot of Tag
Expected Normal
2,0
1,5
1,0
0,5
0,0
-0,5
0
2
4
6
8
10
Observed Value

Nafct

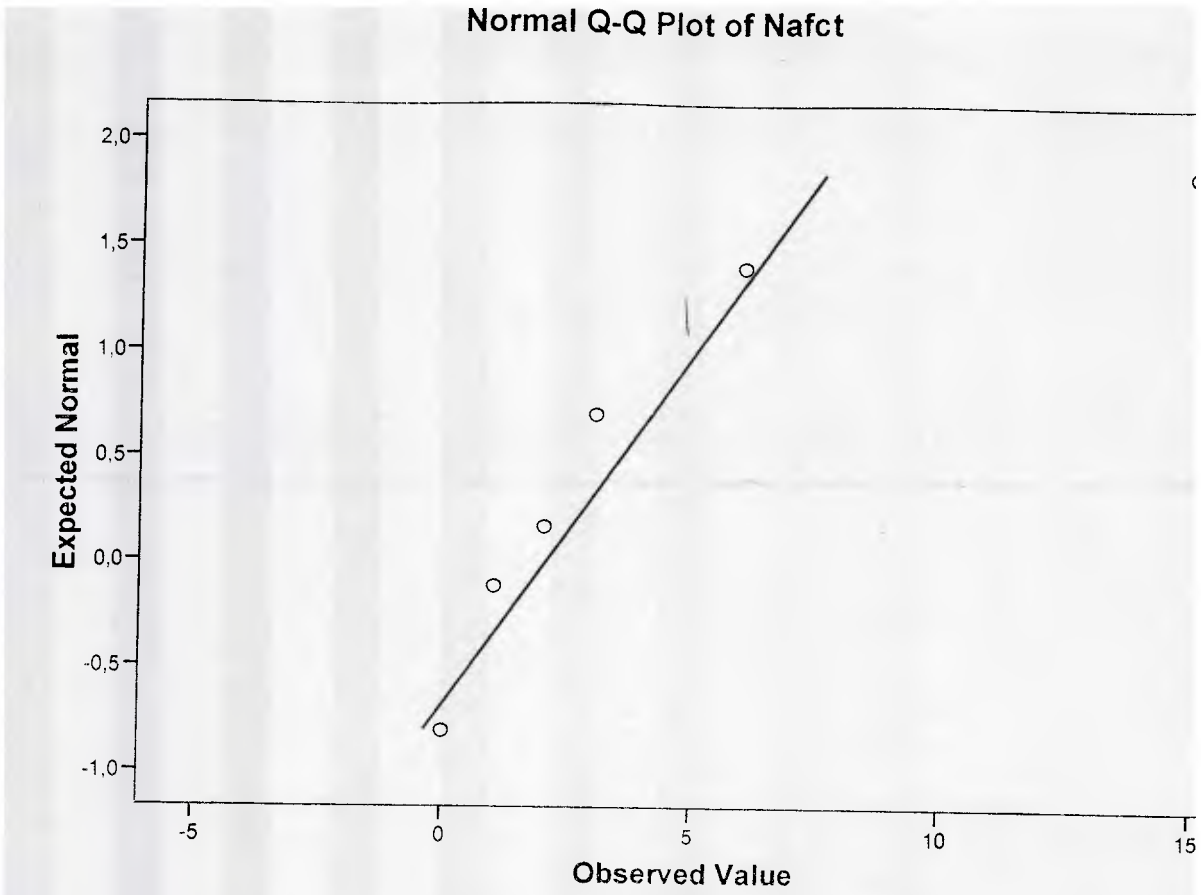
Normal Q-Q Plot of Nafct
Expected Normal
2,0
1,5
1,0
0,5
0,0
-0,5
-1,0
-5
0
5
10
15
Observed Value

Nafil

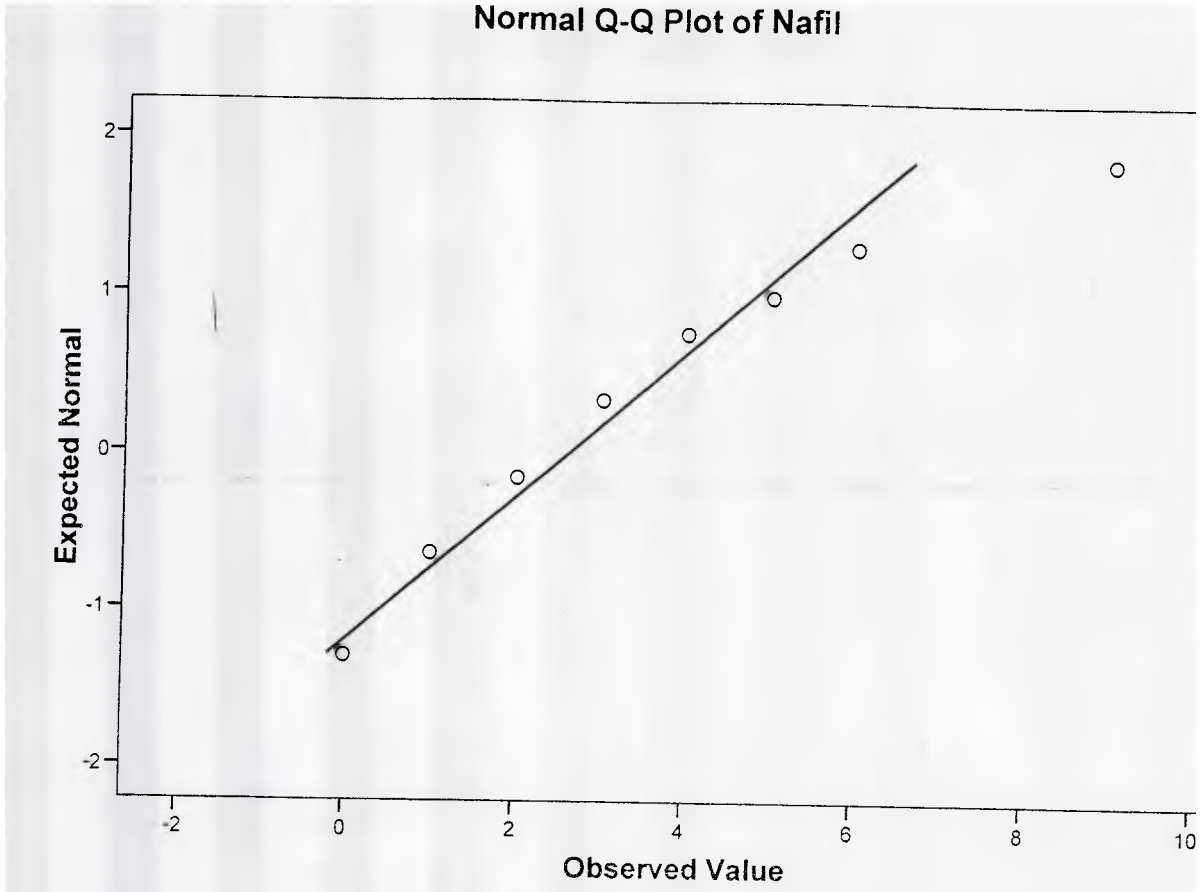
Normal Q-Q Plot of Nafil
Expected Normal
Observed Value
2
1
0
-1
-2
-2
0
2
4
6
8
10

Day

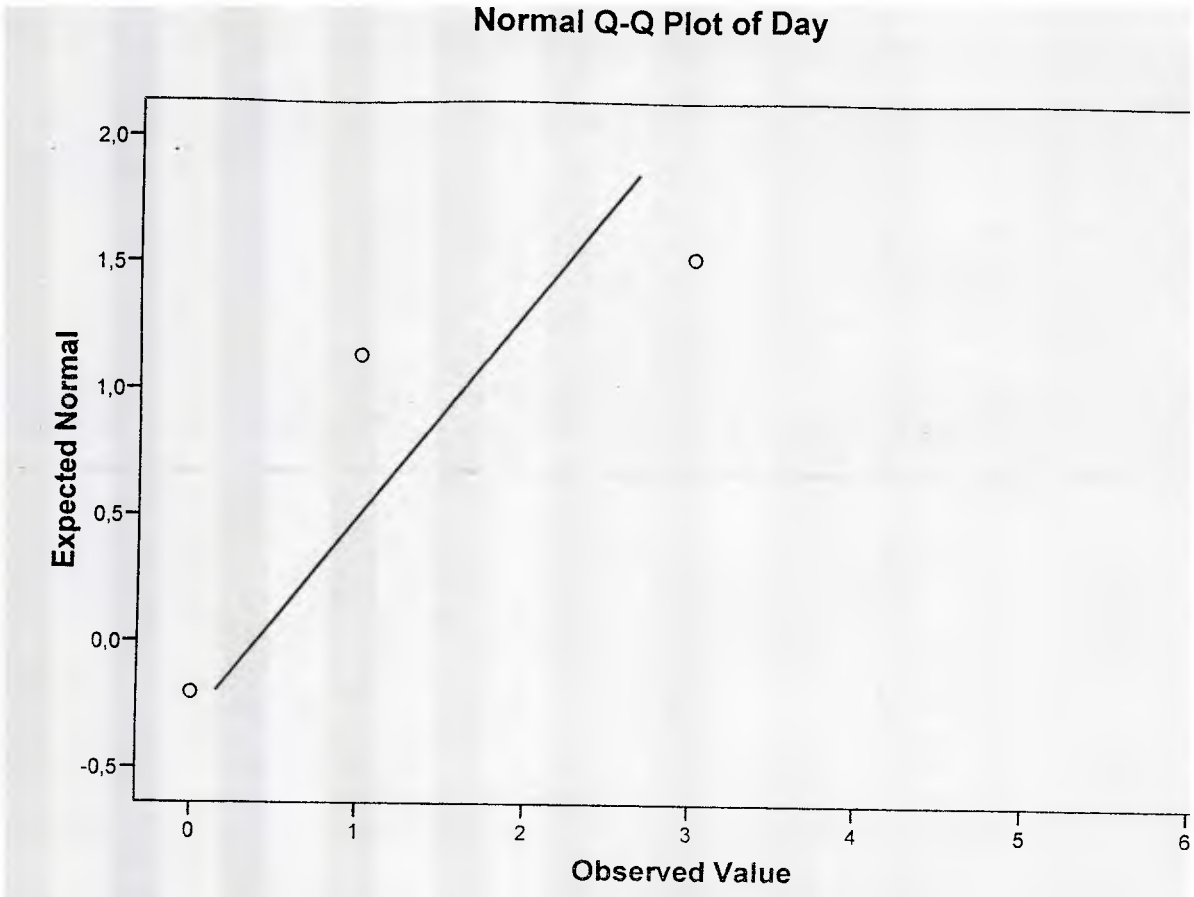
Normal Q-Q Plot of Day
Expected Normal
2,0
1,5
1,0
0,5
0,0
-0,5
0
1
2
3
4
5
6
Observed Value

Npro

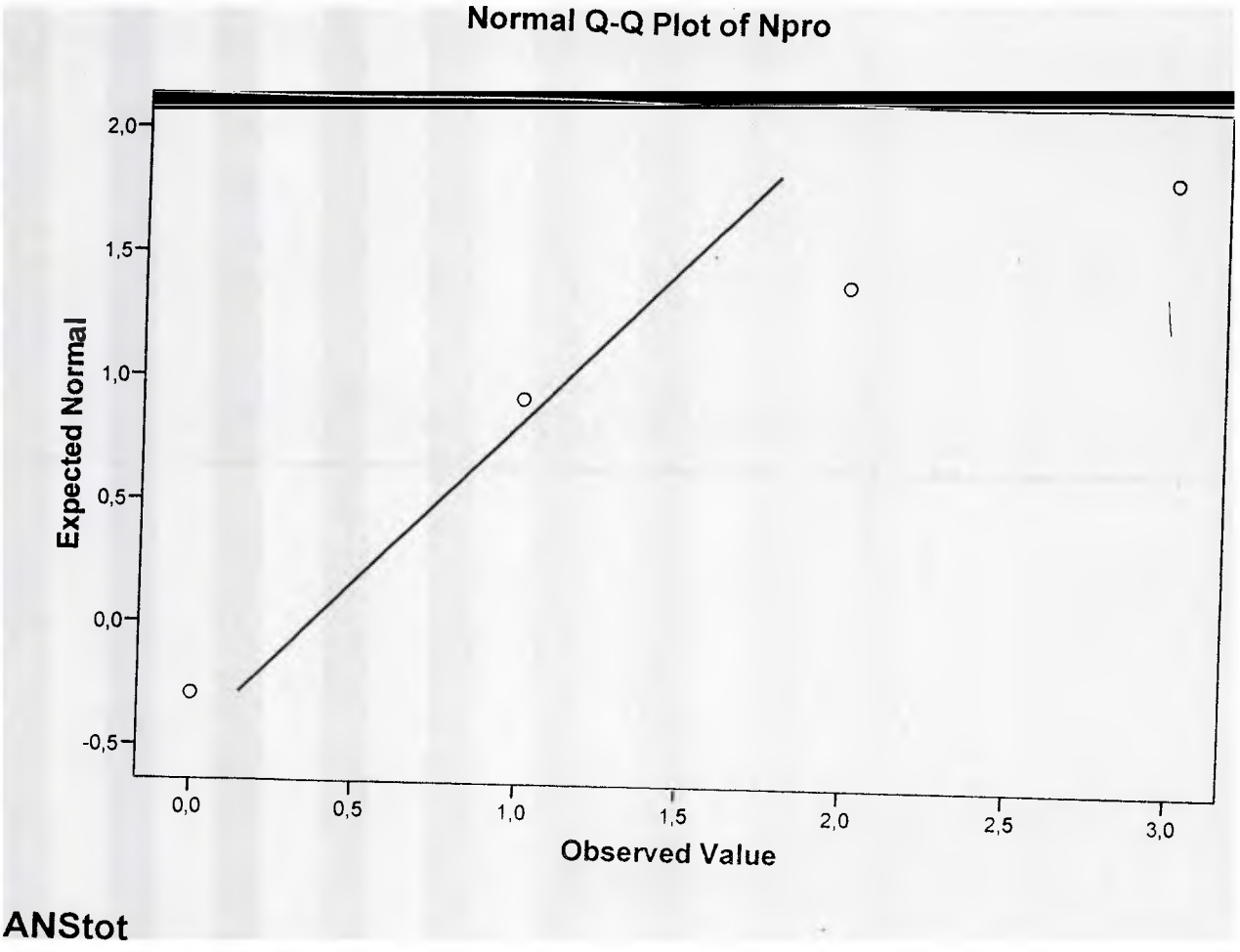
Normal Q-Q Plot of Npro
Expected Normal
2,0
1,5
1,0
0,5
0,0
-0,5
0,0
0,5
1,0
1,5
2,0
2,5
3,0
Observed Value
ANStot

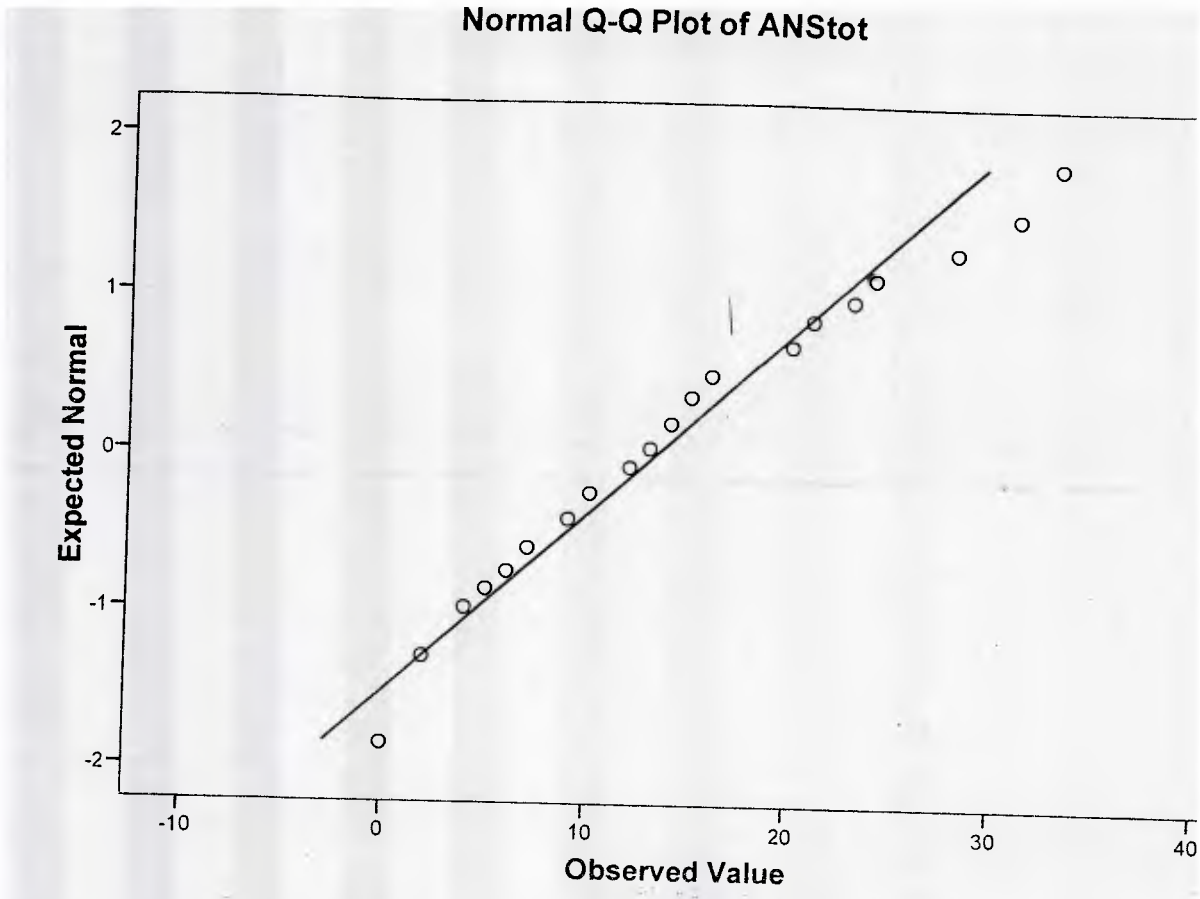
Normal Q-Q Plot of ANStot
Expected Normal
2
1
0
-1
-2
-10
0
10
20
30
40
Observed Value

DEP

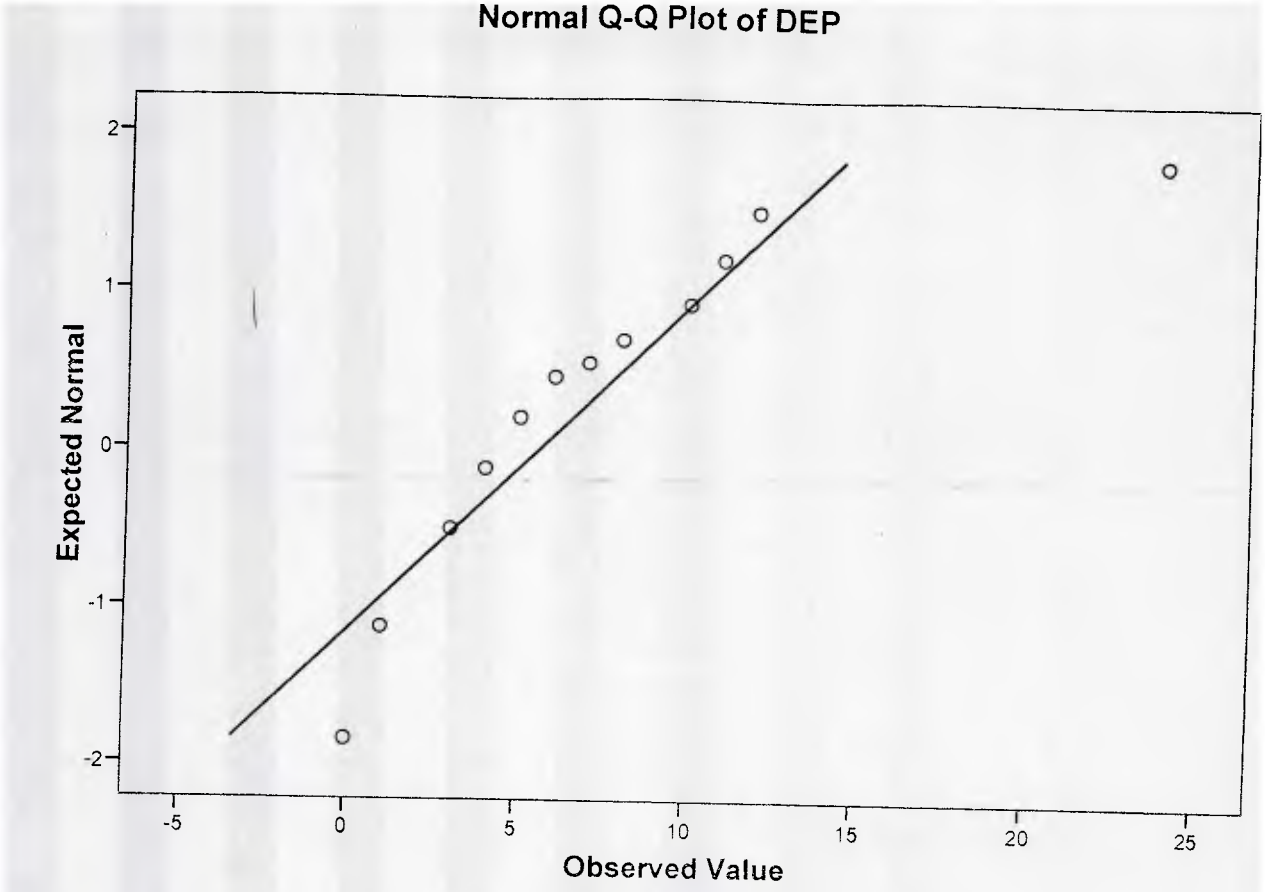
Normal Q-Q Plot of DEP
Expected Normal
Observed Value
2
1
0
-1
-2
-5
0
5
10
15
20
25

ACC

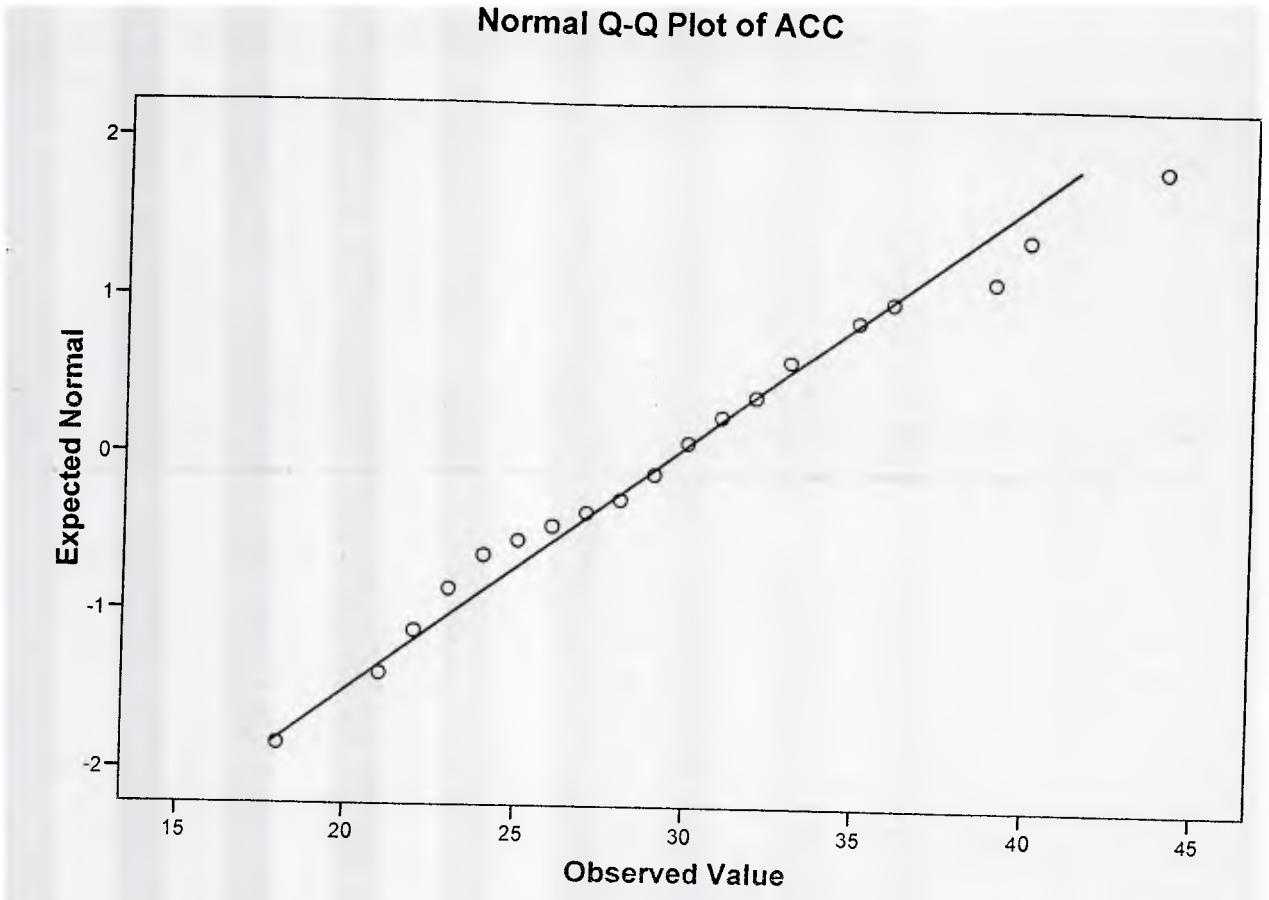
Normal Q-Q Plot of ACC
Expected Normal
2
1
0
-1
-2
15
20
25
30
35
40
45
Observed Value

ESTR

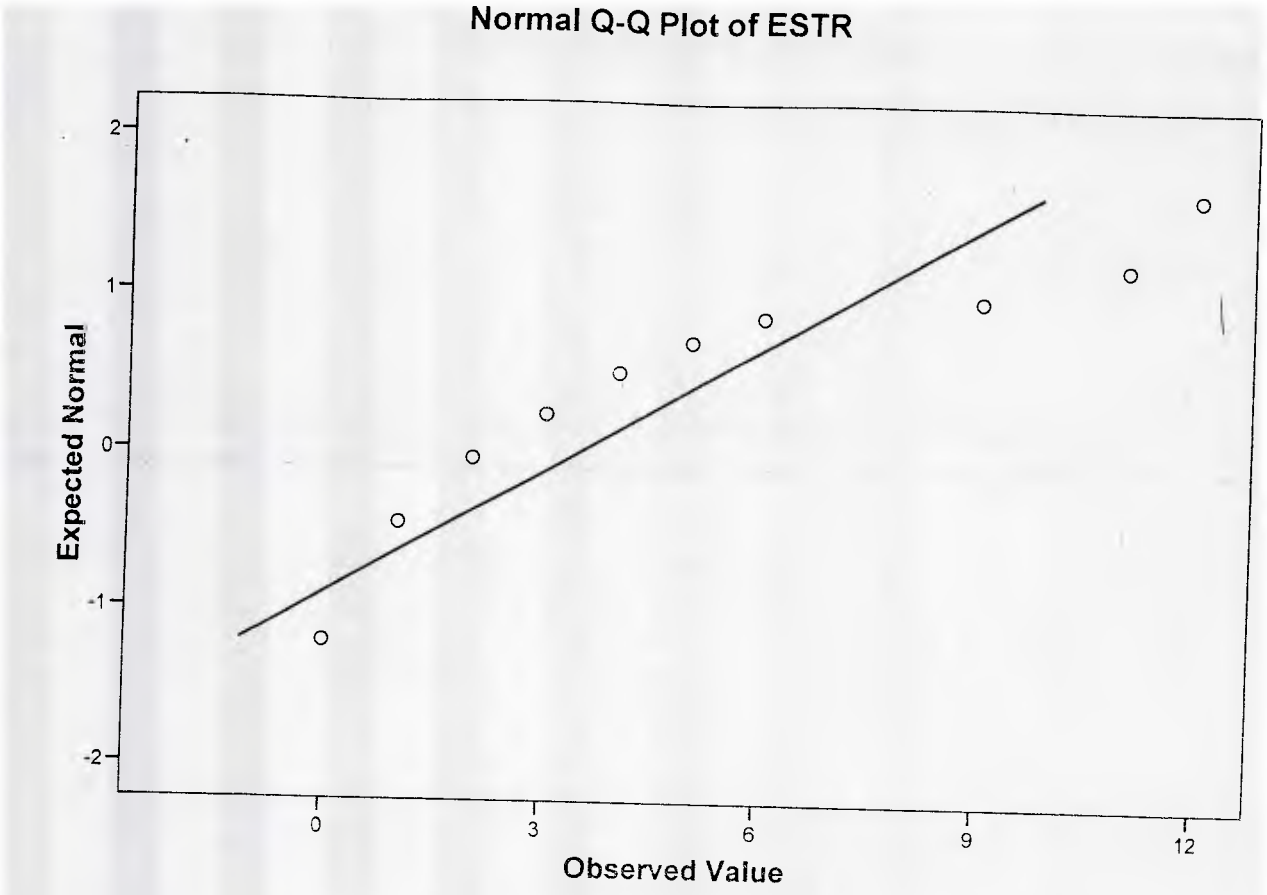
Normal Q-Q Plot of ESTR
Expected Normal
2
1
0
-1
-2
0
3
6
9
12
Observed Value

PRESEX

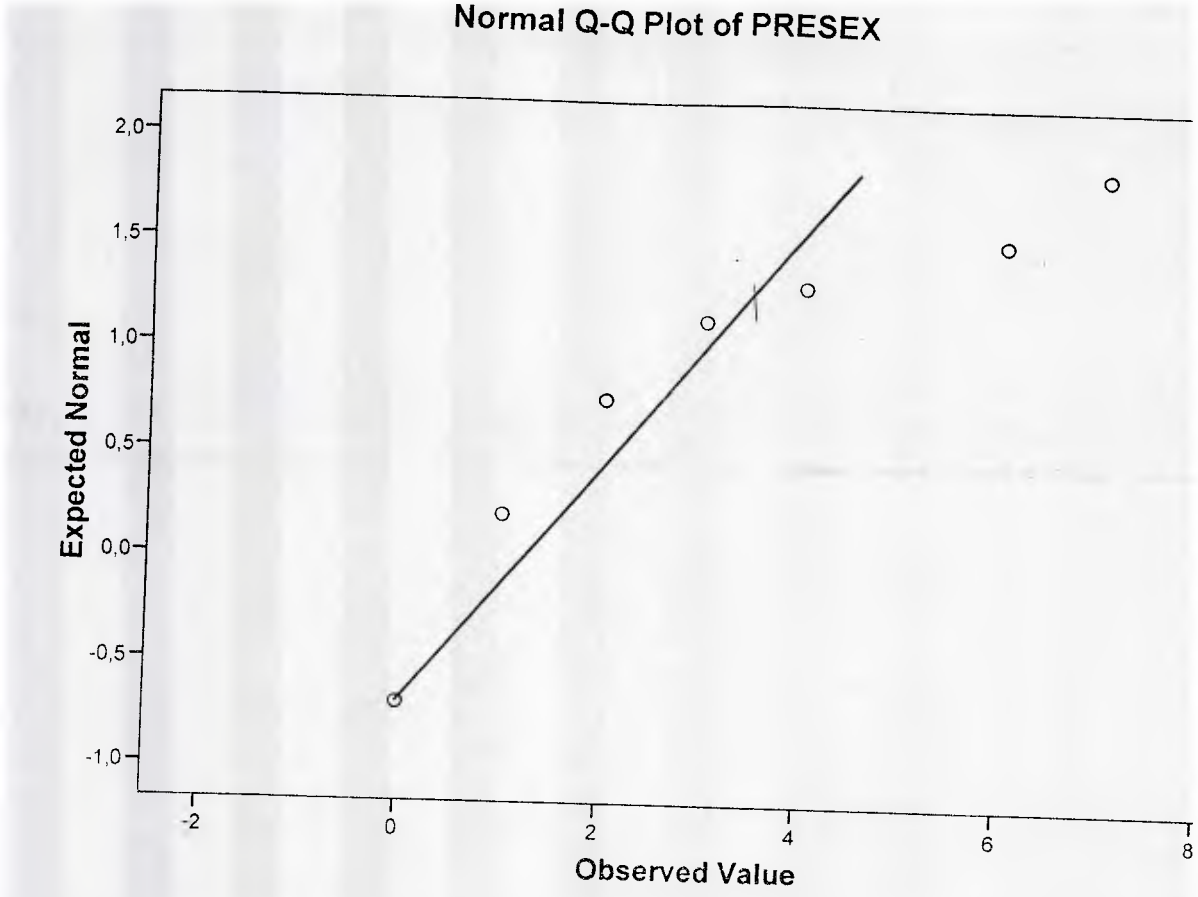
Normal Q-Q Plot of PRESEX
Expected Normal
2,0
1,5
1,0
0,5
0,0
-0,5
-1,0
-2
0
2
4
6
8
Observed Value

MORAL

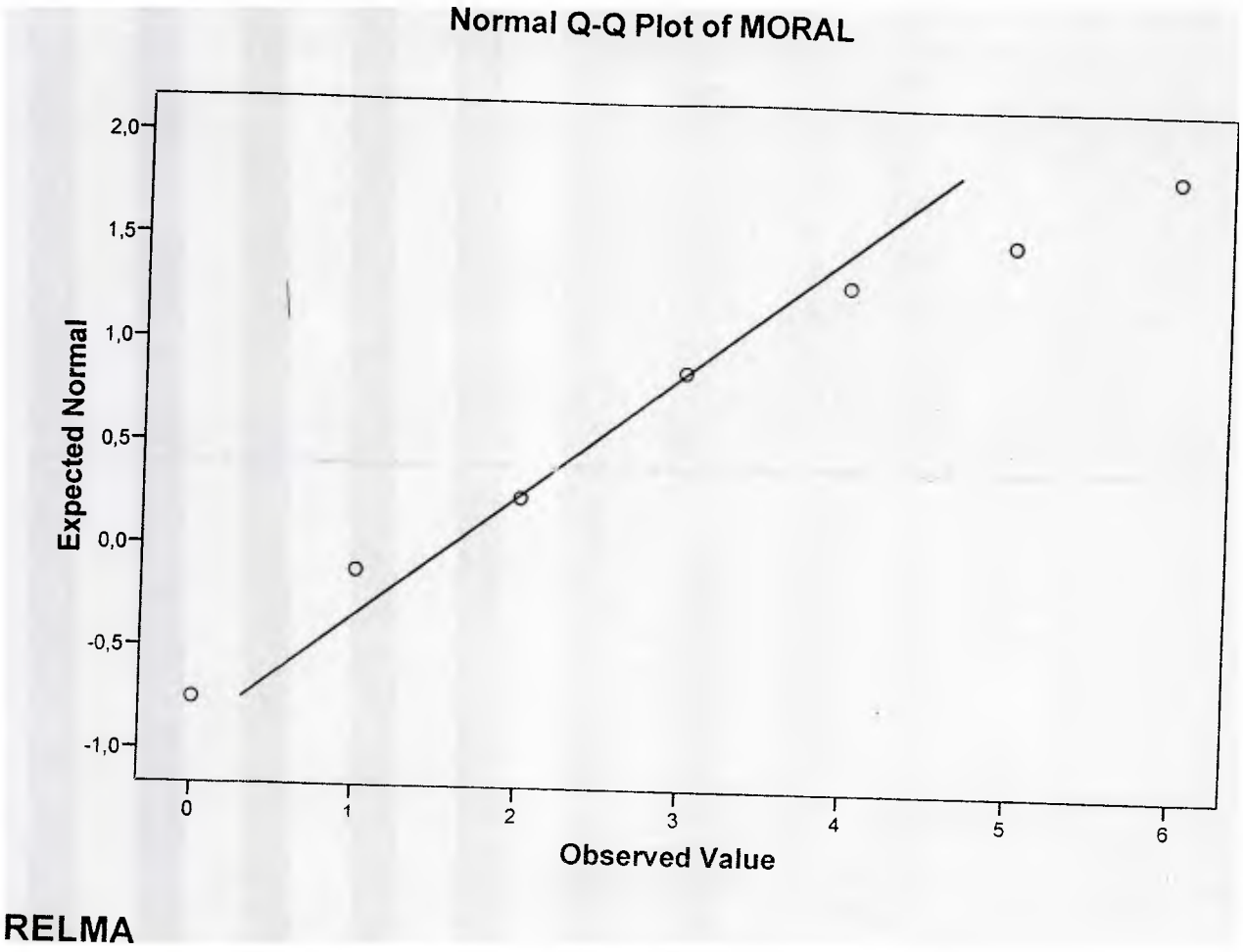
Normal Q-Q Plot of MORAL
Expected Normal
2,0
1,5
1,0
0,5
0,0
-0,5
-1,0
0
1
2
3
4
5
6
Observed Value

RELMA

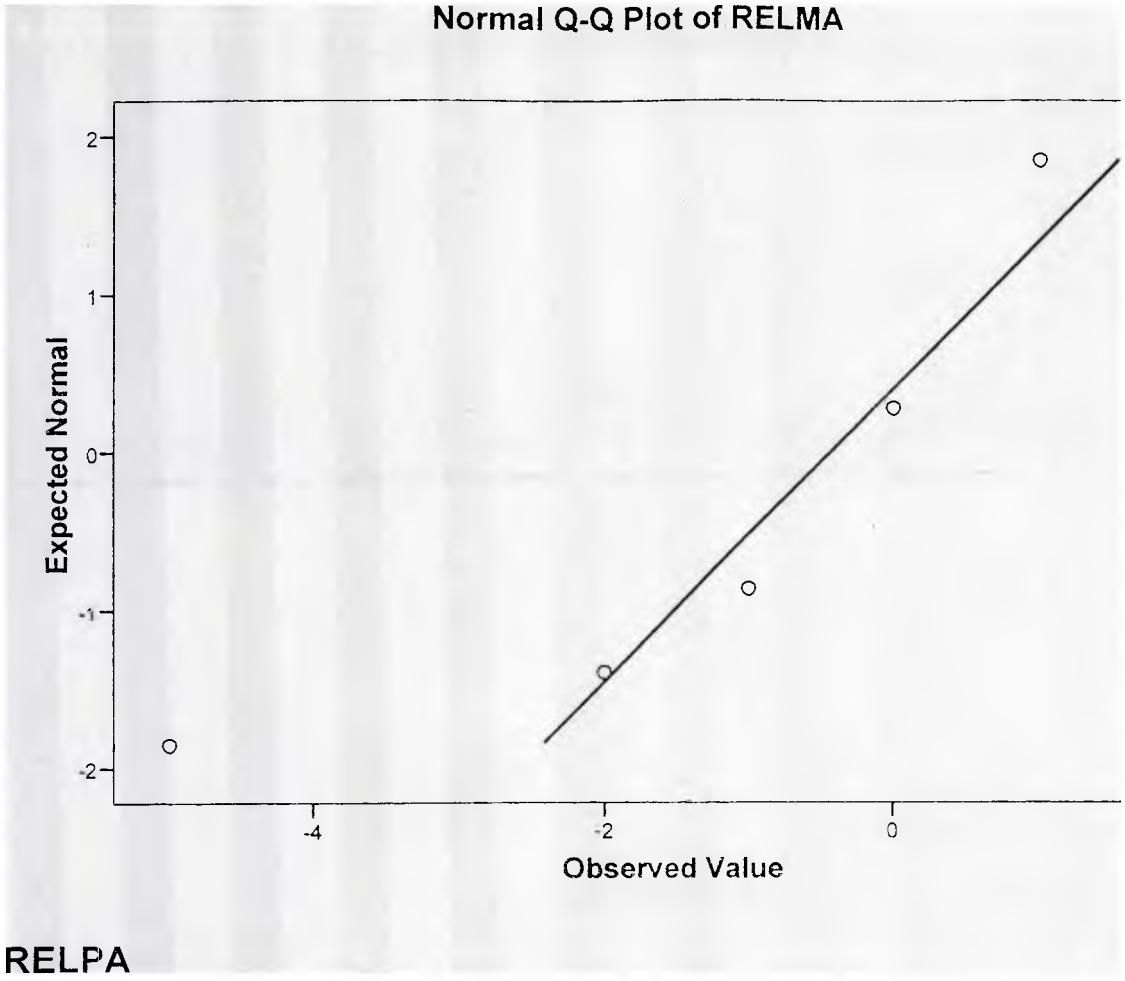
Normal Q-Q Plot of RELMA
Expected Normal
2
1
0
-1
-2
-4
-2
0
Observed Value
RELPA

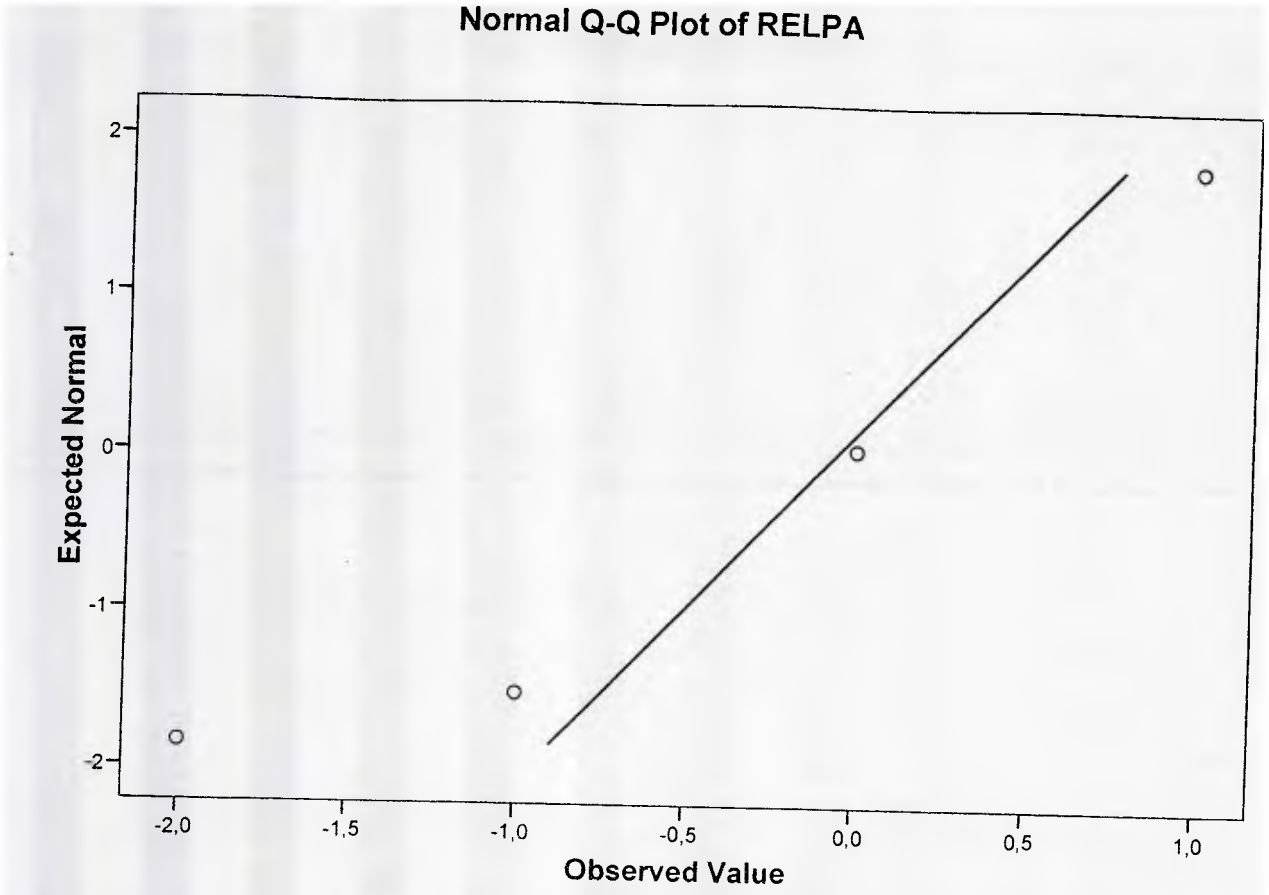
Normal Q-Q Plot of RELPA
Expected Normal
2
1
0
-1
-2
-2,0
-1,5
-1,0
-0,5
0,0
0,5
1,0
Observed Value

REP

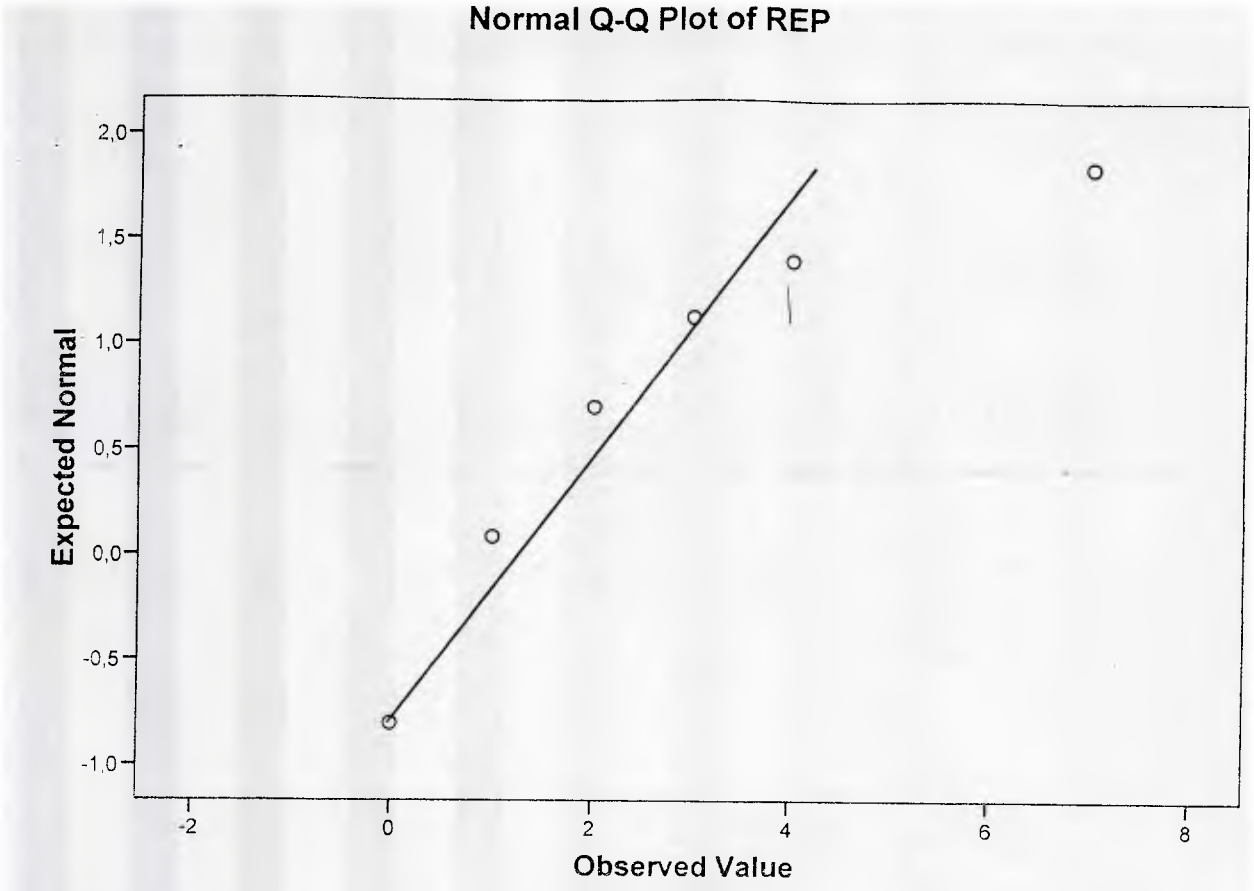
Normal Q-Q Plot of REP
Expected Normal
2,0
1,5
1,0
0,5
0,0
-0,5
-1,0
-2
0
2
4
6
8
Observed Value

Napro

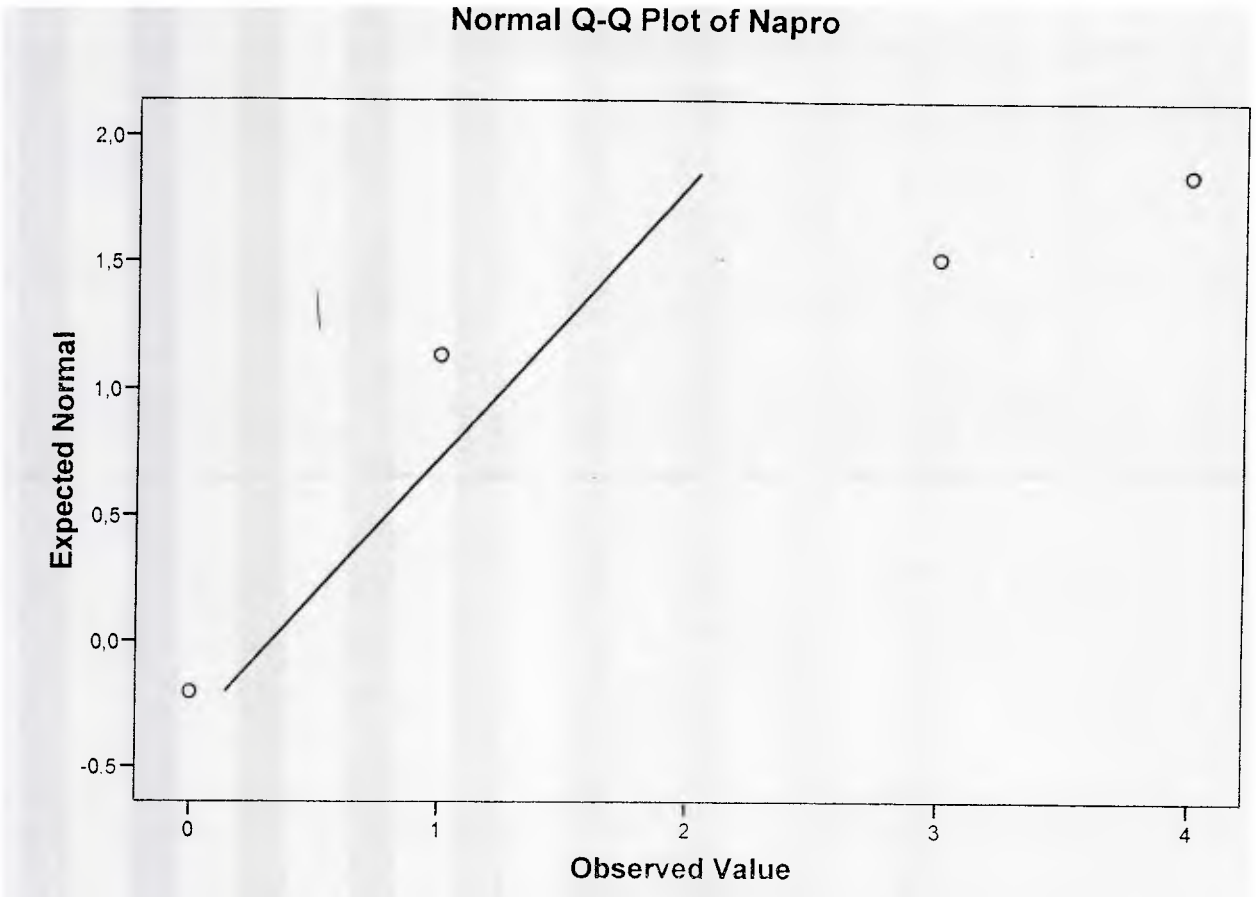
Normal Q-Q Plot of Napro
Expected Normal
2,0
1,5
1,0
0,5
0,0
-0.5
0
1
2
3
4
Observed Value

AGinstr

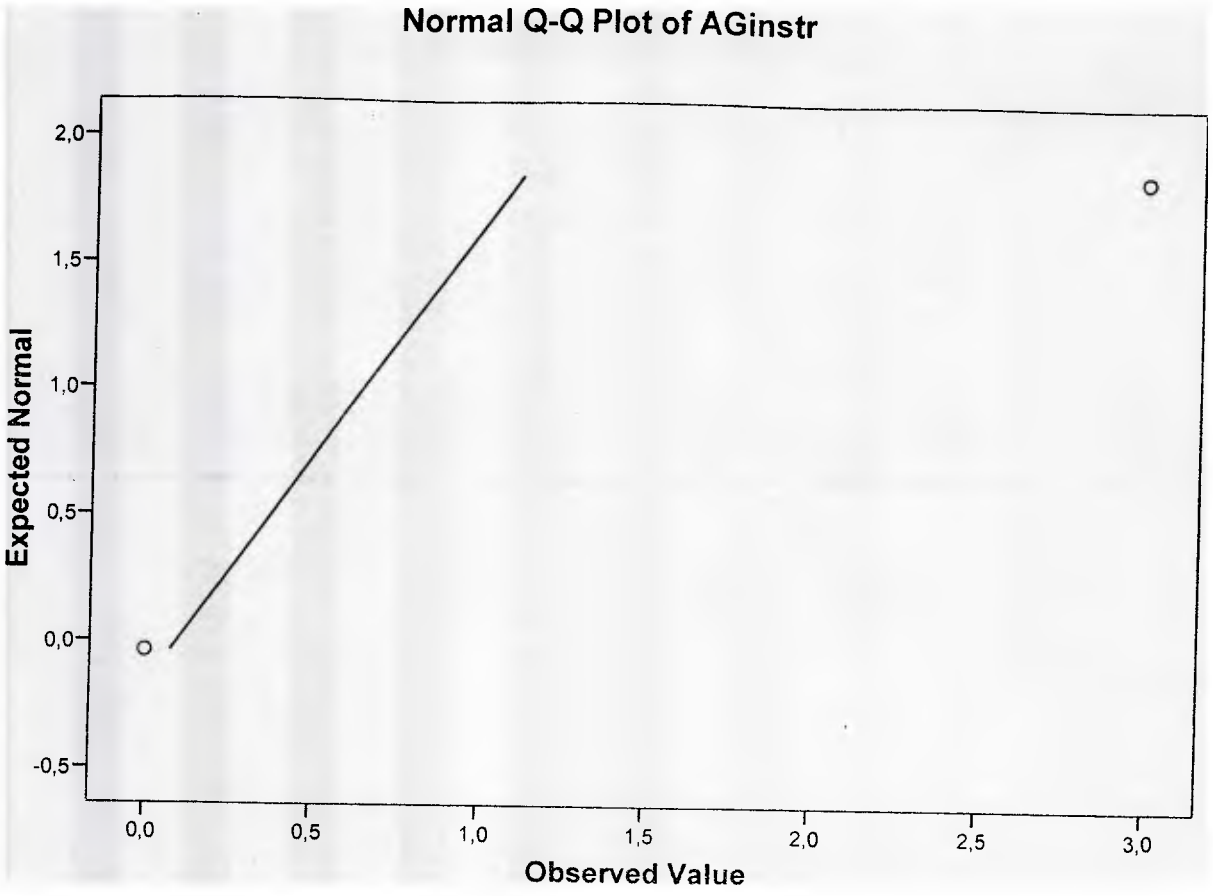
Normal Q-Q Plot of AGinstr
Expected Normal
2,0
1,5
1,0
0,5
0,0
-0,5
0,0
0,5
1,0
1,5
2,0
2,5
3,0
Observed Value

AMBtot

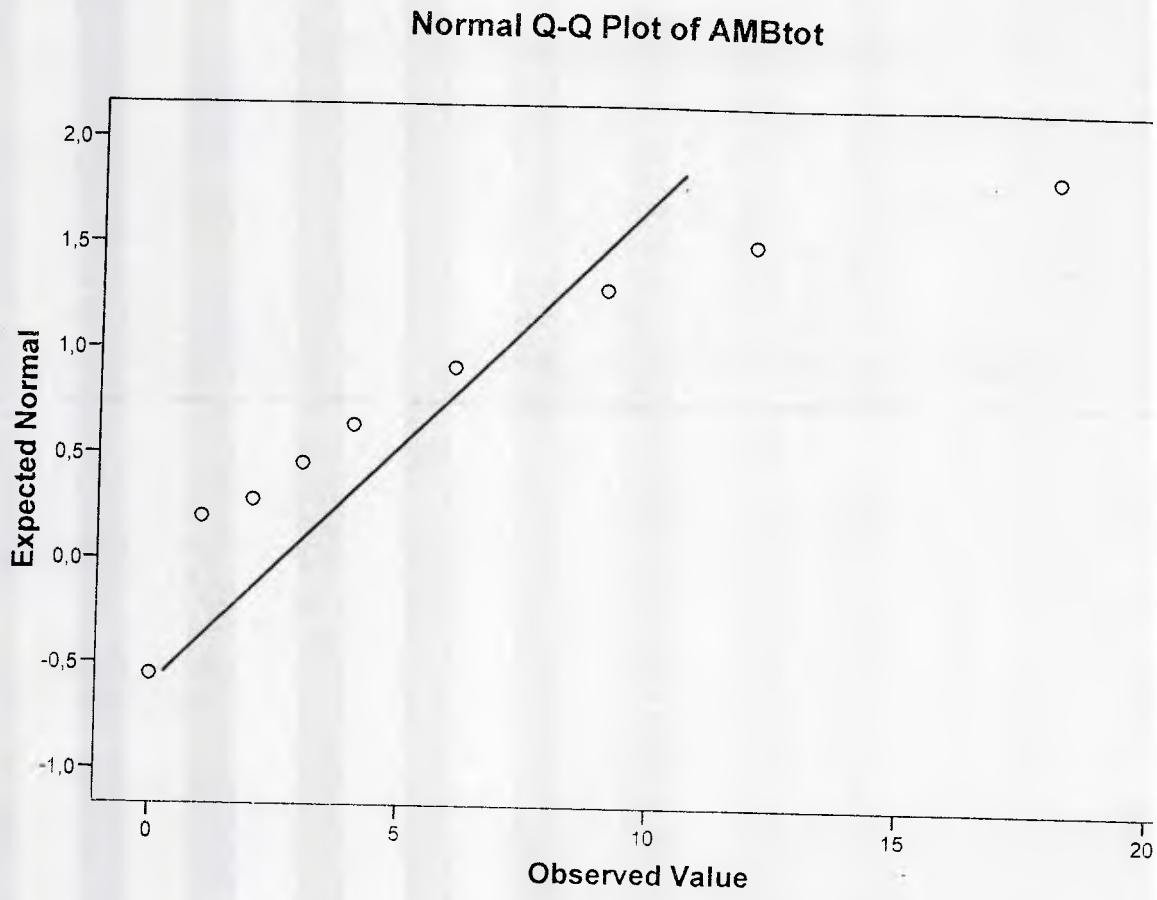
Normal Q-Q Plot of AMBtot
Expected Normal
2,0
1,5
1,0
0,5
0,0
-0,5
-1,0
0
5
10
15
20
Observed Value

DCM

ANEXO C: ESTADÍSTICOS DESCRIPTIVOS DE LAS VARIABLES ESTRUCTURALES DEL SISTEMA COMPREHENSIVO DE EXNER.

```
GET
  FILE='C:\Documents and Settings\Administrador\Escritorio\Tesis.sav'.
DATASET NAME DataSet1 WINDOW=FRONT.
DESCRIPTIVES
  VARIABLES=DCM Dsup AE Spro Spri AGdom AGor AMBtot Nor AgA AGven AGcel
  Agdef Tag Nafct Nafil Day Npro ANStot DEP ACC ESTR PRESEX MORAL RELMA
  RELPA REP Napro AGinstr
  /STATISTICS=MEAN STDDEV RANGE MIN MAX KURTOSIS SKEWNESS
  /SORT=NAME (A) .
```

Explore

Case Processing Summary

	Cases					
	Valid		Missing		Total	
	N	Percent	N	Percent	N	Percent
R	29	96,7%	1	3,3%	30	100,0%
L	29	96,7%	1	3,3%	30	100,0%
Zf	29	96,7%	1	3,3%	30	100,0%
Zsum	29	96,7%	1	3,3%	30	100,0%
Zest	29	96,7%	1	3,3%	30	100,0%
W	29	96,7%	1	3,3%	30	100,0%
D	29	96,7%	1	3,3%	30	100,0%
WD	29	96,7%	1	3,3%	30	100,0%
Dd	29	96,7%	1	3,3%	30	100,0%
S	29	96,7%	1	3,3%	30	100,0%
DQmas	29	96,7%	1	3,3%	30	100,0%
DQo	29	96,7%	1	3,3%	30	100,0%
DQvmas	29	96,7%	1	3,3%	30	100,0%
DQv	29	96,7%	1	3,3%	30	100,0%
Mh	29	96,7%	1	3,3%	30	100,0%
FM	29	96,7%	1	3,3%	30	100,0%
m	29	96,7%	1	3,3%	30	100,0%
FC	29	96,7%	1	3,3%	30	100,0%
CF	29	96,7%	1	3,3%	30	100,0%
C	29	96,7%	1	3,3%	30	100,0%
Cn	29	96,7%	1	3,3%	30	100,0%
FC´	29	96,7%	1	3,3%	30	100,0%
C´F	29	96,7%	1	3,3%	30	100,0%
C´	29	96,7%	1	3,3%	30	100,0%
FT	29	96,7%	1	3,3%	30	100,0%
TF	29	96,7%	1	3,3%	30	100,0%
T	29	96,7%	1	3,3%	30	100,0%
FV	29	96,7%	1	3,3%	30	100,0%
VF	29	96,7%	1	3,3%	30	100,0%
V	29	96,7%	1	3,3%	30	100,0%
FY	29	96,7%	1	3,3%	30	100,0%
YF	29	96,7%	1	3,3%	30	100,0%
Y	29	96,7%	1	3,3%	30	100,0%
Fr	29	96,7%	1	3,3%	30	100,0%
rF	29	96,7%	1	3,3%	30	100,0%
FD	29	96,7%	1	3,3%	30	100,0%
F	29	96,7%	1	3,3%	30	100,0%
PAR	29	96,7%	1	3,3%	30	100,0%
H	29	96,7%	1	3,3%	30	100,0%
ParaH	29	96,7%	1	3,3%	30	100,0%
Hd	29	96,7%	1	3,3%	30	100,0%
ParaHd	29	96,7%	1	3,3%	30	100,0%
HX	29	96,7%	1	3,3%	30	100,0%

Case Processing Summary

	Cases					
	Valid		Missing		Total	
	N	Percent	N	Percent	N	Percent
A	29	96,7%	1	3,3%	30	100,0%
ParaA	29	96,7%	1	3,3%	30	100,0%
Ad	29	96,7%	1	3,3%	30	100,0%
ParaAd	29	96,7%	1	3,3%	30	100,0%
An	29	96,7%	1	3,3%	30	100,0%
Art	29	96,7%	1	3,3%	30	100,0%
Ay	29	96,7%	1	3,3%	30	100,0%
Bl	29	96,7%	1	3,3%	30	100,0%
Bt	29	96,7%	1	3,3%	30	100,0%
Cg	29	96,7%	1	3,3%	30	100,0%
Cl	29	96,7%	1	3,3%	30	100,0%
Ex	29	96,7%	1	3,3%	30	100,0%
Food	29	96,7%	1	3,3%	30	100,0%
Fi	29	96,7%	1	3,3%	30	100,0%
Geo	29	96,7%	1	3,3%	30	100,0%
Hh	29	96,7%	1	3,3%	30	100,0%
Ls	29	96,7%	1	3,3%	30	100,0%
Na	29	96,7%	1	3,3%	30	100,0%
Ss	29	96,7%	1	3,3%	30	100,0%
Sx	29	96,7%	1	3,3%	30	100,0%
Xy	29	96,7%	1	3,3%	30	100,0%
Id	29	96,7%	1	3,3%	30	100,0%
DV1	29	96,7%	1	3,3%	30	100,0%
DV2	29	96,7%	1	3,3%	30	100,0%
INC1	29	96,7%	1	3,3%	30	100,0%
INC2	29	96,7%	1	3,3%	30	100,0%
DR1	29	96,7%	1	3,3%	30	100,0%
DR2	29	96,7%	1	3,3%	30	100,0%
FAB1	29	96,7%	1	3,3%	30	100,0%
FAB2	29	96,7%	1	3,3%	30	100,0%
ALOG	29	96,7%	1	3,3%	30	100,0%
CONT	29	96,7%	1	3,3%	30	100,0%
Sum6	29	96,7%	1	3,3%	30	100,0%
WSum6	29	96,7%	1	3,3%	30	100,0%
GHR	29	96,7%	1	3,3%	30	100,0%
PHR	29	96,7%	1	3,3%	30	100,0%
AG	29	96,7%	1	3,3%	30	100,0%
COP	29	96,7%	1	3,3%	30	100,0%
CP	29	96,7%	1	3,3%	30	100,0%
MOR	29	96,7%	1	3,3%	30	100,0%
PER	29	96,7%	1	3,3%	30	100,0%
FQmas	29	96,7%	1	3,3%	30	100,0%
FQo	29	96,7%	1	3,3%	30	100,0%
FQu	29	96,7%	1	3,3%	30	100,0%
FQmenos	29	96,7%	1	3,3%	30	100,0%
FQsin	29	96,7%	1	3,3%	30	100,0%
AgC	29	96,7%	1	3,3%	30	100,0%
AgPast	29	96,7%	1	3,3%	30	100,0%
AgPot	29	96,7%	1	3,3%	30	100,0%
Ag1O	29	96,7%	1	3,3%	30	100,0%
Ag2O	29	96,7%	1	3,3%	30	100,0%
Ag1A	29	96,7%	1	3,3%	30	100,0%
Ag2A	29	96,7%	1	3,3%	30	100,0%
Ag1V	29	96,7%	1	3,3%	30	100,0%

Case Processing Summary

	Cases					
	Valid		Missing		Total	
	N	Percent	N	Percent	N	Percent
Ag2V	29	96,7%	1	3,3%	30	100,0%
Ag1R	29	96,7%	1	3,3%	30	100,0%
Ag2R	29	96,7%	1	3,3%	30	100,0%
EB	29	96,7%	1	3,3%	30	100,0%
EA	29	96,7%	1	3,3%	30	100,0%
es	29	96,7%	1	3,3%	30	100,0%
D1	29	96,7%	1	3,3%	30	100,0%
Adjes	29	96,7%	1	3,3%	30	100,0%
AdjD	29	96,7%	1	3,3%	30	100,0%
SumC´	29	96,7%	1	3,3%	30	100,0%
WSumC	29	96,7%	1	3,3%	30	100,0%
Afr	29	96,7%	1	3,3%	30	100,0%
Complj	29	96,7%	1	3,3%	30	100,0%
act	29	96,7%	1	3,3%	30	100,0%
pas	29	96,7%	1	3,3%	30	100,0%
Aisl	29	96,7%	1	3,3%	30	100,0%
Mmenos	29	96,7%	1	3,3%	30	100,0%
Intelec	29	96,7%	1	3,3%	30	100,0%
Xmenos	29	96,7%	1	3,3%	30	100,0%
Smenos	29	96,7%	1	3,3%	30	100,0%
Pop	29	96,7%	1	3,3%	30	100,0%
Xmas	29	96,7%	1	3,3%	30	100,0%
Xu	29	96,7%	1	3,3%	30	100,0%
Ego	29	96,7%	1	3,3%	30	100,0%
AnXy	29	96,7%	1	3,3%	30	100,0%
CDI	29	96,7%	1	3,3%	30	100,0%
DEPI	29	96,7%	1	3,3%	30	100,0%

Descriptives[a,b,c,d,e,f,g,h]

			Statistic	Std. Error
R	Mean		19,31	,863
	95% Confidence Interval for Mean	Lower Bound	17,54	
		Upper Bound	21,08	
	5% Trimmed Mean		19,14	
	Median		19,00	
	Variance		21,579	
	Std. Deviation		4,645	
	Minimum		13	
	Maximum		30	
	Range		17	
	Interquartile Range		9	
	Skewness		,454	,434
	Kurtosis		-,751	,845

Descriptives[a,b,c,d,e,f,g,h]

			Statistic	Std. Error
L	Mean		,2583	,03552
	95% Confidence Interval for Mean	Lower Bound	,1855	
		Upper Bound	,3310	
	5% Trimmed Mean		,2425	
	Median		,2400	
	Variance		,037	
	Std. Deviation		,19129	
	Minimum		,00	
	Maximum		,85	
	Range		,85	
	Interquartile Range		,24	
	Skewness		1,297	,434
	Kurtosis		2,135	,845
Zf	Mean		8,93	,444
	95% Confidence Interval for Mean	Lower Bound	8,02	
		Upper Bound	9,84	
	5% Trimmed Mean		8,94	
	Median		9,00	
	Variance		5,709	
	Std. Deviation		2,389	
	Minimum		4	
	Maximum		13	
	Range		9	
	Interquartile Range		4	
	Skewness		-,064	,434
	Kurtosis		-,850	,845
Zsum	Mean		27,2241	1,72217
	95% Confidence Interval for Mean	Lower Bound	23,6964	
		Upper Bound	30,7518	
	5% Trimmed Mean		27,3467	
	Median		28,0000	
	Variance		86,010	
	Std. Deviation		9,27418	
	Minimum		10,00	
	Maximum		41,00	
	Range		31,00	
	Interquartile Range		14,50	
	Skewness		-,102	,434
	Kurtosis		-1,125	,845
Zest	Mean		27,2586	1,55297
	95% Confidence Interval for Mean	Lower Bound	24,0775	
		Upper Bound	30,4397	
	5% Trimmed Mean		27,3056	
	Median		27,5000	
	Variance		69,940	
	Std. Deviation		8,36299	
	Minimum		10,00	
	Maximum		41,50	
	Range		31,50	
	Interquartile Range		14,00	
	Skewness		-,064	,434
	Kurtosis		-,850	,845

Descriptives[a,b,c,d,e,f,g,h]

			Statistic	Std. Error
W	Mean		5,34	,376
	95% Confidence Interval for Mean	Lower Bound	4,58	
		Upper Bound	6,11	
	5% Trimmed Mean		5,42	
	Median		6,00	
	Variance		4,091	
	Std. Deviation		2,023	
	Minimum		1	
	Maximum		8	
	Range		7	
	Interquartile Range		4	
	Skewness		-,536	,434
	Kurtosis		-,834	,845
D	Mean		11,52	,828
	95% Confidence Interval for Mean	Lower Bound	9,82	
		Upper Bound	13,21	
	5% Trimmed Mean		11,48	
	Median		12,00	
	Variance		19,901	
	Std. Deviation		4,461	
	Minimum		4	
	Maximum		20	
	Range		16	
	Interquartile Range		7	
	Skewness		,116	,434
	Kurtosis		-,755	,845
WD	Mean		16,86	,673
	95% Confidence Interval for Mean	Lower Bound	15,48	
		Upper Bound	18,24	
	5% Trimmed Mean		16,83	
	Median		17,00	
	Variance		13,123	
	Std. Deviation		3,623	
	Minimum		11	
	Maximum		23	
	Range		12	
	Interquartile Range		6	
	Skewness		,173	,434
	Kurtosis		-1,136	,845
Dd	Mean		2,48	,288
	95% Confidence Interval for Mean	Lower Bound	1,89	
		Upper Bound	3,07	
	5% Trimmed Mean		2,35	
	Median		2,00	
	Variance		2,401	
	Std. Deviation		1,550	
	Minimum		0	
	Maximum		8	
	Range		8	
	Interquartile Range		1	
	Skewness		1,704	,434
	Kurtosis		4,717	,845

Descriptives[a,b,c,d,e,f,g,h]

			Statistic	Std. Error
S	Mean		1,31	,193
	95% Confidence Interval for Mean	Lower Bound	,92	
		Upper Bound	1,71	
	5% Trimmed Mean		1,23	
	Median		1,00	
	Variance		1,079	
	Std. Deviation		1,039	
	Minimum		0	
	Maximum		4	
	Range		4	
	Interquartile Range		1	
	Skewness		1,164	,434
	Kurtosis		1,558	,845
DQmas	Mean		5,24	,485
	95% Confidence Interval for Mean	Lower Bound	4,25	
		Upper Bound	6,24	
	5% Trimmed Mean		5,29	
	Median		5,00	
	Variance		6,833	
	Std. Deviation		2,614	
	Minimum		0	
	Maximum		10	
	Range		10	
	Interquartile Range		5	
	Skewness		-,232	,434
	Kurtosis		-,584	,845
DQo	Mean		11,97	,852
	95% Confidence Interval for Mean	Lower Bound	10,22	
		Upper Bound	13,71	
	5% Trimmed Mean		11,79	
	Median		12,00	
	Variance		21,034	
	Std. Deviation		4,586	
	Minimum		6	
	Maximum		22	
	Range		16	
	Interquartile Range		9	
	Skewness		,231	,434
	Kurtosis		-,992	,845
DQvmas	Mean		,41	,145
	95% Confidence Interval for Mean	Lower Bound	,12	
		Upper Bound	,71	
	5% Trimmed Mean		,31	
	Median		,00	
	Variance		,608	
	Std. Deviation		,780	
	Minimum		0	
	Maximum		3	
	Range		3	
	Interquartile Range		1	
	Skewness		2,005	,434
	Kurtosis		3,658	,845

Descriptives[a,b,c,d,e,f,g,h]

			Statistic	Std. Error
DQv	Mean		1,69	,233
	95% Confidence Interval for Mean	Lower Bound	1,21	
		Upper Bound	2,17	
	5% Trimmed Mean		1,66	
	Median		1,00	
	Variance		1,579	
	Std. Deviation		1,257	
	Minimum		0	
	Maximum		4	
	Range		4	
	Interquartile Range		2	
	Skewness		,407	,434
	Kurtosis		-,806	,845
Mh	Mean		2,86	,284
	95% Confidence Interval for Mean	Lower Bound	2,28	
		Upper Bound	3,44	
	5% Trimmed Mean		2,90	
	Median		3,00	
	Variance		2,337	
	Std. Deviation		1,529	
	Minimum		0	
	Maximum		5	
	Range		5	
	Interquartile Range		3	
	Skewness		-,202	,434
	Kurtosis		-,725	,845
FM	Mean		4,90	,413
	95% Confidence Interval for Mean	Lower Bound	4,05	
		Upper Bound	5,74	
	5% Trimmed Mean		4,86	
	Median		5,00	
	Variance		4,953	
	Std. Deviation		2,226	
	Minimum		1	
	Maximum		10	
	Range		9	
	Interquartile Range		3	
	Skewness		,077	,434
	Kurtosis		-,090	,845
m	Mean		1,97	,300
	95% Confidence Interval for Mean	Lower Bound	1,35	
		Upper Bound	2,58	
	5% Trimmed Mean		1,91	
	Median		2,00	
	Variance		2,606	
	Std. Deviation		1,614	
	Minimum		0	
	Maximum		5	
	Range		5	
	Interquartile Range		3	
	Skewness		,443	,434
	Kurtosis		-,723	,845

Descriptives[a,b,c,d,e,f,g,h]

			Statistic	Std. Error
FC	Mean		3,83	,544
	95% Confidence Interval for Mean	Lower Bound	2,71	
		Upper Bound	4,94	
	5% Trimmed Mean		3,68	
	Median		3,00	
	Variance		8,576	
	Std. Deviation		2,929	
	Minimum		0	
	Maximum		11	
	Range		11	
	Interquartile Range		4	
	Skewness		,686	,434
	Kurtosis		-,149	,845
CF	Mean		1,03	,225
	95% Confidence Interval for Mean	Lower Bound	,57	
		Upper Bound	1,49	
	5% Trimmed Mean		,91	
	Median		1,00	
	Variance		1,463	
	Std. Deviation		1,210	
	Minimum		0	
	Maximum		5	
	Range		5	
	Interquartile Range		2	
	Skewness		1,490	,434
	Kurtosis		2,754	,845
C	Mean		,72	,171
	95% Confidence Interval for Mean	Lower Bound	,37	
		Upper Bound	1,07	
	5% Trimmed Mean		,66	
	Median		,00	
	Variance		,850	
	Std. Deviation		,922	
	Minimum		0	
	Maximum		3	
	Range		3	
	Interquartile Range		2	
	Skewness		,896	,434
	Kurtosis		-,460	,845
Cn	Mean		,07	,069
	95% Confidence Interval for Mean	Lower Bound	-,07	
		Upper Bound	,21	
	5% Trimmed Mean		,00	
	Median		,00	
	Variance		,138	
	Std. Deviation		,371	
	Minimum		0	
	Maximum		2	
	Range		2	
	Interquartile Range		0	
	Skewness		5,385	,434
	Kurtosis		29,000	,845

Descriptives[a,b,c,d,e,f,g,h]

			Statistic	Std. Error
FC	Mean		3,24	,377
	95% Confidence Interval for Mean	Lower Bound	2,47	
		Upper Bound	4,01	
	5% Trimmed Mean		3,20	
	Median		3,00	
	Variance		4,118	
	Std. Deviation		2,029	
	Minimum		0	
	Maximum		7	
	Range		7	
	Interquartile Range		4	
	Skewness		,363	,434
	Kurtosis		-,907	,845
C´F	Mean		,34	,103
	95% Confidence Interval for Mean	Lower Bound	,13	
		Upper Bound	,56	
	5% Trimmed Mean		,29	
	Median		,00	
	Variance		,305	
	Std. Deviation		,553	
	Minimum		0	
	Maximum		2	
	Range		2	
	Interquartile Range		1	
	Skewness		1,355	,434
	Kurtosis		1,044	,845
C´	Mean		,07	,048
	95% Confidence Interval for Mean	Lower Bound	-,03	
		Upper Bound	,17	
	5% Trimmed Mean		,02	
	Median		,00	
	Variance		,067	
	Std. Deviation		,258	
	Minimum		0	
	Maximum		1	
	Range		1	
	Interquartile Range		0	
	Skewness		3,591	,434
	Kurtosis		11,695	,845
FT	Mean		,41	,105
	95% Confidence Interval for Mean	Lower Bound	,20	
		Upper Bound	,63	
	5% Trimmed Mean		,37	
	Median		,00	
	Variance		,323	
	Std. Deviation		,568	
	Minimum		0	
	Maximum		2	
	Range		2	
	Interquartile Range		1	
	Skewness		,990	,434
	Kurtosis		,067	,845

Descriptives[a,b,c,d,e,f,g,h]

			Statistic	Std. Error
TF	Mean		,14	,065
	95% Confidence Interval for Mean	Lower Bound	,00	
		Upper Bound	,27	
	5% Trimmed Mean		,10	
	Median		,00	
	Variance		,123	
	Std. Deviation		,351	
	Minimum		0	
	Maximum		1	
	Range		1	
	Interquartile Range		0	
	Skewness		2,216	,434
	Kurtosis		3,123	,845
T	Mean		,10	,076
	95% Confidence Interval for Mean	Lower Bound	-,05	
		Upper Bound	,26	
	5% Trimmed Mean		,02	
	Median		,00	
	Variance		,167	
	Std. Deviation		,409	
	Minimum		0	
	Maximum		2	
	Range		2	
	Interquartile Range		0	
	Skewness		4,204	,434
	Kurtosis		18,087	,845
FV	Mean		,21	,144
	95% Confidence Interval for Mean	Lower Bound	-,09	
		Upper Bound	,50	
	5% Trimmed Mean		,06	
	Median		,00	
	Variance		,599	
	Std. Deviation		,774	
	Minimum		0	
	Maximum		4	
	Range		4	
	Interquartile Range		0	
	Skewness		4,585	,434
	Kurtosis		22,330	,845
V	Mean		,03	,034
	95% Confidence Interval for Mean	Lower Bound	-,04	
		Upper Bound	,11	
	5% Trimmed Mean		,00	
	Median		,00	
	Variance		,034	
	Std. Deviation		,186	
	Minimum		0	
	Maximum		1	
	Range		1	
	Interquartile Range		0	
	Skewness		5,385	,434
	Kurtosis		29,000	,845

Descriptives[a,b,c,d,e,f,g,h]

			Statistic	Std. Error
FY	Mean		,55	,106
	95% Confidence Interval for Mean	Lower Bound	,33	
		Upper Bound	,77	
	5% Trimmed Mean		,52	
	Median		1,00	
	Variance		,328	
	Std. Deviation		,572	
	Minimum		0	
	Maximum		2	
	Range		2	
	Interquartile Range		1	
	Skewness		,398	,434
	Kurtosis		-,768	,845
YF	Mean		,10	,058
	95% Confidence Interval for Mean	Lower Bound	-,01	
		Upper Bound	,22	
	5% Trimmed Mean		,06	
	Median		,00	
	Variance		,096	
	Std. Deviation		,310	
	Minimum		0	
	Maximum		1	
	Range		1	
	Interquartile Range		0	
	Skewness		2,748	,434
	Kurtosis		5,961	,845
Y	Mean		.03	.034
	95% Confidence Interval for Mean	Lower Bound	-,04	
		Upper Bound	,11	
	5% Trimmed Mean		,00	
	Median		,00	
	Variance		,034	
	Std. Deviation		,186	
	Minimum		0	
	Maximum		1	
	Range		1	
	Interquartile Range		0	
	Skewness		5,385	,434
	Kurtosis		29,000	,845
FD	Mean		,76	,169
	95% Confidence Interval for Mean	Lower Bound	,41	
		Upper Bound	1,11	
	5% Trimmed Mean		,69	
	Median		,00	
	Variance		,833	
	Std. Deviation		,912	
	Minimum		0	
	Maximum		3	
	Range		3	
	Interquartile Range		2	
	Skewness		,823	,434
	Kurtosis		-,510	,845

Descriptives[a,b,c,d,e,f,g,h]

			Statistic	Std. Error
F	Mean		3,76	,467
	95% Confidence Interval for Mean	Lower Bound	2,80	
		Upper Bound	4,72	
	5% Trimmed Mean		3,60	
	Median		3,00	
	Variance		6,333	
	Std. Deviation		2,516	
	Minimum		0	
	Maximum		11	
	Range		11	
	Interquartile Range		3	
	Skewness		,929	,434
	Kurtosis		1,004	,845
PAR	Mean		4,93	,618
	95% Confidence Interval for Mean	Lower Bound	3,67	
		Upper Bound	6,20	
	5% Trimmed Mean		4,80	
	Median		4,00	
	Variance		11,067	
	Std. Deviation		3,327	
	Minimum		0	
	Maximum		12	
	Range		12	
	Interquartile Range		5	
	Skewness		,690	,434
	Kurtosis		-,322	,845
H	Mean		,97	,225
	95% Confidence Interval for Mean	Lower Bound	,51	
		Upper Bound	1,43	
	5% Trimmed Mean		,87	
	Median		1,00	
	Variance		1,463	
	Std. Deviation		1,210	
	Minimum		0	
	Maximum		4	
	Range		4	
	Interquartile Range		2	
	Skewness		1,111	,434
	Kurtosis		,119	,845
ParaH	Mean		1,41	,225
	95% Confidence Interval for Mean	Lower Bound	,95	
		Upper Bound	1,87	
	5% Trimmed Mean		1,35	
	Median		1,00	
	Variance		1,466	
	Std. Deviation		1,211	
	Minimum		0	
	Maximum		4	
	Range		4	
	Interquartile Range		2	
	Skewness		,800	,434
	Kurtosis		-,347	,845

Descriptives[a,b,c,d,e,f,g,h]

			Statistic	Std. Error
Hd	Mean		1,72	,406
	95% Confidence Interval for Mean	Lower Bound	,89	
		Upper Bound	2,56	
	5% Trimmed Mean		1,45	
	Median		1,00	
	Variance		4,778	
	Std. Deviation		2,186	
	Minimum		0	
	Maximum		10	
	Range		10	
	Interquartile Range		3	
	Skewness		2,120	,434
	Kurtosis		6,288	,845
ParaHd	Mean		,48	,118
	95% Confidence Interval for Mean	Lower Bound	,24	
		Upper Bound	,72	
	5% Trimmed Mean		,43	
	Median		,00	
	Variance		,401	
	Std. Deviation		,634	
	Minimum		0	
	Maximum		2	
	Range		2	
	Interquartile Range		1	
	Skewness		,974	,434
	Kurtosis		,010	,845
HX	Mean		,66	,223
	95% Confidence Interval for Mean	Lower Bound	,20	
		Upper Bound	1,11	
	5% Trimmed Mean		,48	
	Median		,00	
	Variance		1,448	
	Std. Deviation		1,203	
	Minimum		0	
	Maximum		5	
	Range		5	
	Interquartile Range		1	
	Skewness		2,182	,434
	Kurtosis		5,162	,845
A	Mean		8,31	,632
	95% Confidence Interval for Mean	Lower Bound	7,02	
		Upper Bound	9,60	
	5% Trimmed Mean		8,27	
	Median		9,00	
	Variance		11,579	
	Std. Deviation		3,403	
	Minimum		2	
	Maximum		16	
	Range		14	
	Interquartile Range		5	
	Skewness		,094	,434
	Kurtosis		-,480	,845

Descriptives[a,b,c,d,e,f,g,h]

			Statistic	Std. Error
ParaA	Mean		,45	,137
	95% Confidence Interval for Mean	Lower Bound	,17	
		Upper Bound	,73	
	5% Trimmed Mean		,39	
	Median		,00	
	Variance		,542	
	Std. Deviation		,736	
	Minimum		0	
	Maximum		2	
	Range		2	
	Interquartile Range		1	
	Skewness		1,345	,434
	Kurtosis		,337	,845
Ad	Mean		,66	,206
	95% Confidence Interval for Mean	Lower Bound	,23	
		Upper Bound	1,08	
	5% Trimmed Mean		,48	
	Median		,00	
	Variance		1,234	
	Std. Deviation		1,111	
	Minimum		0	
	Maximum		5	
	Range		5	
	Interquartile Range		1	
	Skewness		2,601	,434
	Kurtosis		8,076	,845
ParaAd	Mean		,10	,058
	95% Confidence Interval for Mean	Lower Bound	-,01	
		Upper Bound	,22	
	5% Trimmed Mean		,06	
	Median		,00	
	Variance		,096	
	Std. Deviation		,310	
	Minimum		0	
	Maximum		1	
	Range		1	
	Interquartile Range		0	
	Skewness		2,748	,434
	Kurtosis		5,961	,845
An	Mean		,93	,216
	95% Confidence Interval for Mean	Lower Bound	,49	
		Upper Bound	1,37	
	5% Trimmed Mean		,83	
	Median		,00	
	Variance		1,352	
	Std. Deviation		1,163	
	Minimum		0	
	Maximum		4	
	Range		4	
	Interquartile Range		2	
	Skewness		1,021	,434
	Kurtosis		,146	,845

Descriptives[a,b,c,d,e,f,g,h]

			Statistic	Std. Error
Art	Mean		,76	,203
	95% Confidence Interval for Mean	Lower Bound	,34	
		Upper Bound	1,17	
	5% Trimmed Mean		,62	
	Median		,00	
	Variance		1,190	
	Std. Deviation		1,091	
	Minimum		0	
	Maximum		5	
	Range		5	
	Interquartile Range		1	
	Skewness		2,292	,434
	Kurtosis		7,224	,845
Ay	Mean		,52	,154
	95% Confidence Interval for Mean	Lower Bound	,20	
		Upper Bound	,83	
	5% Trimmed Mean		,43	
	Median		,00	
	Variance		,687	
	Std. Deviation		,829	
	Minimum		0	
	Maximum		3	
	Range		3	
	Interquartile Range		1	
	Skewness		1,557	,434
	Kurtosis		1,728	,845
Bl	Mean		,55	,176
	95% Confidence Interval for Mean	Lower Bound	,19	
		Upper Bound	,91	
	5% Trimmed Mean		,43	
	Median		,00	
	Variance		,899	
	Std. Deviation		,948	
	Minimum		0	
	Maximum		4	
	Range		4	
	Interquartile Range		1	
	Skewness		2,136	,434
	Kurtosis		5,225	,845
Bt	Mean		1,34	,254
	95% Confidence Interval for Mean	Lower Bound	,82	
		Upper Bound	1,87	
	5% Trimmed Mean		1,23	
	Median		1,00	
	Variance		1,877	
	Std. Deviation		1,370	
	Minimum		0	
	Maximum		5	
	Range		5	
	Interquartile Range		2	
	Skewness		1,111	,434
	Kurtosis		,713	,845

Descriptives[a,b,c,d,e,f,g,h]

			Statistic	Std. Error
Cg	Mean		1,45	,274
	95% Confidence Interval for Mean	Lower Bound	,89	
		Upper Bound	2,01	
	5% Trimmed Mean		1,35	
	Median		1,00	
	Variance		2,185	
	Std. Deviation		1,478	
	Minimum		0	
	Maximum		5	
	Range		5	
	Interquartile Range		3	
	Skewness		,928	,434
	Kurtosis		-,161	,845
Cl	Mean		,07	,048
	95% Confidence Interval for Mean	Lower Bound	-,03	
		Upper Bound	,17	
	5% Trimmed Mean		,02	
	Median		,00	
	Variance		,067	
	Std. Deviation		,258	
	Minimum		0	
	Maximum		1	
	Range		1	
	Interquartile Range		0	
	Skewness		3,591	,434
	Kurtosis		11,695	,845
Ex	Mean		,21	,091
	95% Confidence Interval for Mean	Lower Bound	,02	
		Upper Bound	,39	
	5% Trimmed Mean		,14	
	Median		,00	
	Variance		,241	
	Std. Deviation		,491	
	Minimum		0	
	Maximum		2	
	Range		2	
	Interquartile Range		0	
	Skewness		2,442	,434
	Kurtosis		5,738	,845
Food	Mean		,52	,128
	95% Confidence Interval for Mean	Lower Bound	,26	
		Upper Bound	,78	
	5% Trimmed Mean		,46	
	Median		,00	
	Variance		,473	
	Std. Deviation		,688	
	Minimum		0	
	Maximum		2	
	Range		2	
	Interquartile Range		1	
	Skewness		,996	,434
	Kurtosis		-,143	,845

Descriptives[a,b,c,d,e,f,g,h]

			Statistic	Std. Error
Fi	Mean		,86	,203
	95% Confidence Interval for Mean	Lower Bound	,45	
		Upper Bound	1,28	
	5% Trimmed Mean		,71	
	Median		1,00	
	Variance		1,195	
	Std. Deviation		1,093	
	Minimum		0	
	Maximum		5	
	Range		5	
	Interquartile Range		1	
	Skewness		2,230	,434
	Kurtosis		6,701	,845
Hh	Mean		,59	,153
	95% Confidence Interval for Mean	Lower Bound	,27	
		Upper Bound	,90	
	5% Trimmed Mean		,50	
	Median		,00	
	Variance		,680	
	Std. Deviation		,825	
	Minimum		0	
	Maximum		3	
	Range		3	
	Interquartile Range		1	
	Skewness		1,347	,434
	Kurtosis		1,264	,845
Ls	Mean		1,03	,213
	95% Confidence Interval for Mean	Lower Bound	,60	
		Upper Bound	1,47	
	5% Trimmed Mean		,94	
	Median		1,00	
	Variance		1,320	
	Std. Deviation		1,149	
	Minimum		0	
	Maximum		4	
	Range		4	
	Interquartile Range		2	
	Skewness		,991	,434
	Kurtosis		,188	,845
Na	Mean		,48	,162
	95% Confidence Interval for Mean	Lower Bound	,15	
		Upper Bound	,81	
	5% Trimmed Mean		,39	
	Median		,00	
	Variance		,759	
	Std. Deviation		,871	
	Minimum		0	
	Maximum		3	
	Range		3	
	Interquartile Range		1	
	Skewness		1,624	,434
	Kurtosis		1,472	,845

Descriptives[a,b,c,d,e,f,g,h]

			Statistic	Std. Error
Ss	Mean		,83	,172
	95% Confidence Interval for Mean	Lower Bound	,47	
		Upper Bound	1,18	
	5% Trimmed Mean		,75	
	Median		1,00	
	Variance		,862	
	Std. Deviation		,928	
	Minimum		0	
	Maximum		3	
	Range		3	
	Interquartile Range		1	
	Skewness		,941	,434
	Kurtosis		,116	,845
Id	Mean		1,03	,195
	95% Confidence Interval for Mean	Lower Bound	,63	
		Upper Bound	1,43	
	5% Trimmed Mean		,98	
	Median		1,00	
	Variance		1,106	
	Std. Deviation		1,052	
	Minimum		0	
	Maximum		3	
	Range		3	
	Interquartile Range		2	
	Skewness		,521	,434
	Kurtosis		-1,013	,845
DV1	Mean		,34	,134
	95% Confidence Interval for Mean	Lower Bound	,07	
		Upper Bound	,62	
	5% Trimmed Mean		,23	
	Median		,00	
	Variance		,520	
	Std. Deviation		,721	
	Minimum		0	
	Maximum		3	
	Range		3	
	Interquartile Range		1	
	Skewness		2,432	,434
	Kurtosis		6,226	,845
DV2	Mean		,03	,034
	95% Confidence Interval for Mean	Lower Bound	-,04	
		Upper Bound	,11	
	5% Trimmed Mean		,00	
	Median		,00	
	Variance		,034	
	Std. Deviation		,186	
	Minimum		0	
	Maximum		1	
	Range		1	
	Interquartile Range		0	
	Skewness		5,385	,434
	Kurtosis		29,000	,845

Descriptives[a,b,c,d,e,f,g,h]

			Statistic	Std. Error
INC1	Mean		2,79	,338
	95% Confidence Interval for Mean	Lower Bound	2,10	
		Upper Bound	3,49	
	5% Trimmed Mean		2,77	
	Median		2,00	
	Variance		3,313	
	Std. Deviation		1,820	
	Minimum		0	
	Maximum		6	
	Range		6	
	Interquartile Range		3	
	Skewness		,139	,434
	Kurtosis		-1,107	,845
INC2	Mean		,59	,168
	95% Confidence Interval for Mean	Lower Bound	,24	
		Upper Bound	,93	
	5% Trimmed Mean		,46	
	Median		,00	
	Variance		,823	
	Std. Deviation		,907	
	Minimum		0	
	Maximum		4	
	Range		4	
	Interquartile Range		1	
	Skewness		2,193	,434
	Kurtosis		6,203	,845
DR1	Mean		,55	,190
	95% Confidence Interval for Mean	Lower Bound	,16	
		Upper Bound	,94	
	5% Trimmed Mean		,41	
	Median		,00	
	Variance		1,042	
	Std. Deviation		1,021	
	Minimum		0	
	Maximum		4	
	Range		4	
	Interquartile Range		1	
	Skewness		2,123	,434
	Kurtosis		4,322	,845
DR2	Mean		,28	,121
	95% Confidence Interval for Mean	Lower Bound	,03	
		Upper Bound	,52	
	5% Trimmed Mean		,20	
	Median		,00	
	Variance		,421	
	Std. Deviation		,649	
	Minimum		0	
	Maximum		2	
	Range		2	
	Interquartile Range		0	
	Skewness		2,194	,434
	Kurtosis		3,436	,845

Descriptives[a,b,c,d,e,f,g,h]

			Statistic	Std. Error
FAB1	Mean		,86	,184
	95% Confidence Interval for Mean	Lower Bound	,49	
		Upper Bound	1,24	
	5% Trimmed Mean		,75	
	Median		1,00	
	Variance		,980	
	Std. Deviation		,990	
	Minimum		0	
	Maximum		4	
	Range		4	
	Interquartile Range		1	
	Skewness		1,479	,434
	Kurtosis		2,615	,845
FAB2	Mean		,48	,137
	95% Confidence Interval for Mean	Lower Bound	,20	
		Upper Bound	,76	
	5% Trimmed Mean		,43	
	Median		,00	
	Variance		,544	
	Std. Deviation		,738	
	Minimum		0	
	Maximum		2	
	Range		2	
	Interquartile Range		1	
	Skewness		1,210	,434
	Kurtosis		,034	,845
ALOG	Mean		,10	,058
	95% Confidence Interval for Mean	Lower Bound	-,01	
		Upper Bound	,22	
	5% Trimmed Mean		,06	
	Median		,00	
	Variance		,096	
	Std. Deviation		,310	
	Minimum		0	
	Maximum		1	
	Range		1	
	Interquartile Range		0	
	Skewness		2,748	,434
	Kurtosis		5,961	,845
Sum6	Mean		6,10	,586
	95% Confidence Interval for Mean	Lower Bound	4,90	
		Upper Bound	7,30	
	5% Trimmed Mean		5,93	
	Median		6,00	
	Variance		9,953	
	Std. Deviation		3,155	
	Minimum		1	
	Maximum		15	
	Range		14	
	Interquartile Range		4	
	Skewness		,924	,434
	Kurtosis		1,419	,845

Descriptives[a,b,c,d,e,f,g,h]

			Statistic	Std. Error
WSum6	Mean		21,45	2,221
	95% Confidence Interval for Mean	Lower Bound	16,90	
		Upper Bound	26,00	
	5% Trimmed Mean		20,85	
	Median		21,00	
	Variance		143,042	
	Std. Deviation		11,960	
	Minimum		2	
	Maximum		55	
	Range		53	
	Interquartile Range		18	
	Skewness		,687	,434
	Kurtosis		,742	,845
GHR	Mean		2,45	,360
	95% Confidence Interval for Mean	Lower Bound	1,71	
		Upper Bound	3,19	
	5% Trimmed Mean		2,31	
	Median		2,00	
	Variance		3,756	
	Std. Deviation		1,938	
	Minimum		0	
	Maximum		8	
	Range		8	
	Interquartile Range		3	
	Skewness		,922	,434
	Kurtosis		1,071	,845
PHR	Mean		3,83	,447
	95% Confidence Interval for Mean	Lower Bound	2,91	
		Upper Bound	4,74	
	5% Trimmed Mean		3,66	
	Median		3,00	
	Variance		5,791	
	Std. Deviation		2,406	
	Minimum		0	
	Maximum		12	
	Range		12	
	Interquartile Range		3	
	Skewness		1,357	,434
	Kurtosis		3,500	,845
AG	Mean		1,31	,244
	95% Confidence Interval for Mean	Lower Bound	,81	
		Upper Bound	1,81	
	5% Trimmed Mean		1,20	
	Median		1,00	
	Variance		1,722	
	Std. Deviation		1,312	
	Minimum		0	
	Maximum		5	
	Range		5	
	Interquartile Range		2	
	Skewness		1,108	,434
	Kurtosis		,978	,845

Descriptives[a,b,c,d,e,f,g,h]

			Statistic	Std. Error
COP	Mean		1,28	,257
	95% Confidence Interval for Mean	Lower Bound	,75	
		Upper Bound	1,80	
	5% Trimmed Mean		1,16	
	Median		1,00	
	Variance		1,921	
	Std. Deviation		1,386	
	Minimum		0	
	Maximum		5	
	Range		5	
	Interquartile Range		2	
	Skewness		1,021	,434
	Kurtosis		,404	,845
CP	Mean		,10	,058
	95% Confidence Interval for Mean	Lower Bound	-,01	
		Upper Bound	,22	
	5% Trimmed Mean		,06	
	Median		,00	
	Variance		,096	
	Std. Deviation		,310	
	Minimum		0	
	Maximum		1	
	Range		1	
	Interquartile Range		0	
	Skewness		2,748	,434
	Kurtosis		5,961	,845
MOR	Mean		1,21	,250
	95% Confidence Interval for Mean	Lower Bound	,69	
		Upper Bound	1,72	
	5% Trimmed Mean		1,08	
	Median		1,00	
	Variance		1,813	
	Std. Deviation		1,346	
	Minimum		0	
	Maximum		5	
	Range		5	
	Interquartile Range		2	
	Skewness		1,198	,434
	Kurtosis		1,011	,845
PER	Mean		,48	,118
	95% Confidence Interval for Mean	Lower Bound	,24	
		Upper Bound	,72	
	5% Trimmed Mean		,43	
	Median		,00	
	Variance		,401	
	Std. Deviation		,634	
	Minimum		0	
	Maximum		2	
	Range		2	
	Interquartile Range		1	
	Skewness		,974	,434
	Kurtosis		,010	,845

Descriptives[a,b,c,d,e,f,g,h]

			Statistic	Std. Error
FQmas	Mean		,07	,048
	95% Confidence Interval for Mean	Lower Bound	-,03	
		Upper Bound	,17	
	5% Trimmed Mean		,02	
	Median		,00	
	Variance		,067	
	Std. Deviation		,258	
	Minimum		0	
	Maximum		1	
	Range		1	
	Interquartile Range		0	
	Skewness		3,591	,434
	Kurtosis		11,695	,845
FQo	Mean		6,52	,503
	95% Confidence Interval for Mean	Lower Bound	5,49	
		Upper Bound	7,55	
	5% Trimmed Mean		6,52	
	Median		6,00	
	Variance		7,330	
	Std. Deviation		2,707	
	Minimum		2	
	Maximum		11	
	Range		9	
	Interquartile Range		5	
	Skewness		-,014	,434
	Kurtosis		-1,043	,845
FQu	Mean		4,97	,617
	95% Confidence Interval for Mean	Lower Bound	3,70	
		Upper Bound	6,23	
	5% Trimmed Mean		4,77	
	Median		4,00	
	Variance		11,034	
	Std. Deviation		3,322	
	Minimum		0	
	Maximum		14	
	Range		14	
	Interquartile Range		5	
	Skewness		,836	,434
	Kurtosis		,902	,845
FQmenos	Mean		6,48	,778
	95% Confidence Interval for Mean	Lower Bound	4,89	
		Upper Bound	8,08	
	5% Trimmed Mean		6,31	
	Median		6,00	
	Variance		17,544	
	Std. Deviation		4,189	
	Minimum		0	
	Maximum		16	
	Range		16	
	Interquartile Range		6	
	Skewness		,655	,434
	Kurtosis		-,154	,845

Descriptives[a,b,c,d,e,f,g,h]

			Statistic	Std. Error
FQsin	Mean		,79	,229
	95% Confidence Interval for Mean	Lower Bound	,32	
		Upper Bound	1,26	
	5% Trimmed Mean		,66	
	Median		,00	
	Variance		1,527	
	Std. Deviation		1,236	
	Minimum		0	
	Maximum		4	
	Range		4	
	Interquartile Range		1	
	Skewness		1,642	,434
	Kurtosis		1,733	,845
AgC	Mean		3,24	,459
	95% Confidence Interval for Mean	Lower Bound	2,30	
		Upper Bound	4,18	
	5% Trimmed Mean		3,06	
	Median		3,00	
	Variance		6,118	
	Std. Deviation		2,474	
	Minimum		0	
	Maximum		11	
	Range		11	
	Interquartile Range		4	
	Skewness		1,193	,434
	Kurtosis		1,978	,845
AgPast	Mean		,41	,145
	95% Confidence Interval for Mean	Lower Bound	,12	
		Upper Bound	,71	
	5% Trimmed Mean		,31	
	Median		,00	
	Variance		,608	
	Std. Deviation		,780	
	Minimum		0	
	Maximum		3	
	Range		3	
	Interquartile Range		1	
	Skewness		2,005	,434
	Kurtosis		3,658	,845
AgPot	Mean		,62	,207
	95% Confidence Interval for Mean	Lower Bound	,20	
		Upper Bound	1,04	
	5% Trimmed Mean		,46	
	Median		,00	
	Variance		1,244	
	Std. Deviation		1,115	
	Minimum		0	
	Maximum		5	
	Range		5	
	Interquartile Range		1	
	Skewness		2,495	,434
	Kurtosis		7,670	,845

Descriptives[a,b,c,d,e,f,g,h]

			Statistic	Std. Error
Ag1O	Mean		,28	,139
	95% Confidence Interval for Mean	Lower Bound	-,01	
		Upper Bound	,56	
	5% Trimmed Mean		,16	
	Median		,00	
	Variance		,564	
	Std. Deviation		,751	
	Minimum		0	
	Maximum		3	
	Range		3	
	Interquartile Range		0	
	Skewness		2,746	,434
	Kurtosis		6,828	,845
Ag2O	Mean		2,62	,369
	95% Confidence Interval for Mean	Lower Bound	1,86	
		Upper Bound	3,38	
	5% Trimmed Mean		2,52	
	Median		2,00	
	Variance		3,958	
	Std. Deviation		1,990	
	Minimum		0	
	Maximum		8	
	Range		8	
	Interquartile Range		3	
	Skewness		,598	,434
	Kurtosis		,110	,845
Ag1A	Mean		,24	,107
	95% Confidence Interval for Mean	Lower Bound	,02	
		Upper Bound	,46	
	5% Trimmed Mean		,16	
	Median		,00	
	Variance		,333	
	Std. Deviation		,577	
	Minimum		0	
	Maximum		2	
	Range		2	
	Interquartile Range		0	
	Skewness		2,371	,434
	Kurtosis		4,738	,845
Ag2A	Mean		1,31	,318
	95% Confidence Interval for Mean	Lower Bound	,66	
		Upper Bound	1,96	
	5% Trimmed Mean		1,12	
	Median		1,00	
	Variance		2,936	
	Std. Deviation		1,713	
	Minimum		0	
	Maximum		7	
	Range		7	
	Interquartile Range		2	
	Skewness		1,583	,434
	Kurtosis		2,912	,845

Descriptives[a,b,c,d,e,f,g,h]

			Statistic	Std. Error
Ag2V	Mean		,10	,058
	95% Confidence Interval for Mean	Lower Bound	-,01	
		Upper Bound	,22	
	5% Trimmed Mean		,06	
	Median		,00	
	Variance		,096	
	Std. Deviation		,310	
	Minimum		0	
	Maximum		1	
	Range		1	
	Interquartile Range		0	
	Skewness		2,748	,434
	Kurtosis		5,961	,845
Ag1R	Mean		,17	,071
	95% Confidence Interval for Mean	Lower Bound	,03	
		Upper Bound	,32	
	5% Trimmed Mean		,14	
	Median		,00	
	Variance		,148	
	Std. Deviation		,384	
	Minimum		0	
	Maximum		1	
	Range		1	
	Interquartile Range		0	
	Skewness		1,831	,434
	Kurtosis		1,446	,845
Ag2R	Mean		,90	,218
	95% Confidence Interval for Mean	Lower Bound	,45	
		Upper Bound	1,34	
	5% Trimmed Mean		,77	
	Median		1,00	
	Variance		1,382	
	Std. Deviation		1,175	
	Minimum		0	
	Maximum		4	
	Range		4	
	Interquartile Range		1	
	Skewness		1,489	,434
	Kurtosis		1,717	,845
EB	Mean		2,1390	,36403
	95% Confidence Interval for Mean	Lower Bound	1,3933	
		Upper Bound	2,8846	
	5% Trimmed Mean		2,0328	
	Median		2,1300	
	Variance		3,843	
	Std. Deviation		1,96036	
	Minimum		,00	
	Maximum		6,50	
	Range		6,50	
	Interquartile Range		3,17	
	Skewness		,513	,434
	Kurtosis		-,589	,845

Descriptives[a,b,c,d,e,f,g,h]

			Statistic	Std. Error
EA	Mean		6,9897	,62529
	95% Confidence Interval for Mean	Lower Bound	5,7088	
		Upper Bound	8,2705	
	5% Trimmed Mean		6,8774	
	Median		6,5000	
	Variance		11,339	
	Std. Deviation		3,36732	
	Minimum		2,50	
	Maximum		13,50	
	Range		11,00	
	Interquartile Range		4,75	
	Skewness		,712	,434
	Kurtosis		-,577	,845
es	Mean		12,21	,528
	95% Confidence Interval for Mean	Lower Bound	11,12	
		Upper Bound	13,29	
	5% Trimmed Mean		12,32	
	Median		12,00	
	Variance		8,099	
	Std. Deviation		2,846	
	Minimum		5	
	Maximum		17	
	Range		12	
	Interquartile Range		4	
	Skewness		-,494	,434
	Kurtosis		,113	,845
D1	Mean		-1,62	,283
	95% Confidence Interval for Mean	Lower Bound	-2,20	
		Upper Bound	-1,04	
	5% Trimmed Mean		-1,62	
	Median		-1,00	
	Variance		2,315	
	Std. Deviation		1,522	
	Minimum		-4	
	Maximum		1	
	Range		5	
	Interquartile Range		3	
	Skewness		-,178	,434
	Kurtosis		-1,259	,845
Adjes	Mean		10,83	,494
	95% Confidence Interval for Mean	Lower Bound	9,82	
		Upper Bound	11,84	
	5% Trimmed Mean		10,90	
	Median		11,00	
	Variance		7,076	
	Std. Deviation		2,660	
	Minimum		4	
	Maximum		16	
	Range		12	
	Interquartile Range		4	
	Skewness		-,363	,434
	Kurtosis		,101	,845

Descriptives[a,b,c,d,e,f,g,h]

			Statistic	Std. Error
AdjD	Mean		-1,17	,285
	95% Confidence Interval for Mean	Lower Bound	-1,76	
		Upper Bound	-,59	
	5% Trimmed Mean		-1,17	
	Median		-1,00	
	Variance		2,362	
	Std. Deviation		1,537	
	Minimum		-4	
	Maximum		2	
	Range		6	
	Interquartile Range		2	
	Skewness		-,070	,434
	Kurtosis		-,664	,845
SumC'	Mean		3,59	,389
	95% Confidence Interval for Mean	Lower Bound	2,79	
		Upper Bound	4,38	
	5% Trimmed Mean		3,48	
	Median		3,00	
	Variance		4,394	
	Std. Deviation		2,096	
	Minimum		1	
	Maximum		8	
	Range		7	
	Interquartile Range		3	
	Skewness		,770	,434
	Kurtosis		-,309	,845
WSumC	Mean		4,1207	,50955
	95% Confidence Interval for Mean	Lower Bound	3,0769	
		Upper Bound	5,1645	
	5% Trimmed Mean		4,0785	
	Median		3,0000	
	Variance		7,530	
	Std. Deviation		2,74400	
	Minimum		,00	
	Maximum		9,00	
	Range		9,00	
	Interquartile Range		5,00	
	Skewness		,535	,434
	Kurtosis		-1,056	,845
Afr	Mean		,6355	,05494
	95% Confidence Interval for Mean	Lower Bound	,5230	
		Upper Bound	,7481	
	5% Trimmed Mean		,6102	
	Median		,6000	
	Variance		,088	
	Std. Deviation		,29588	
	Minimum		,23	
	Maximum		1,71	
	Range		1,48	
	Interquartile Range		,33	
	Skewness		1,689	,434
	Kurtosis		5,114	,845

Descriptives[a,b,c,d,e,f,g,h]

			Statistic	Std. Error
Complj	Mean		5,34	,413
	95% Confidence Interval for Mean	Lower Bound	4,50	
		Upper Bound	6,19	
	5% Trimmed Mean		5,33	
	Median		5,00	
	Variance		4,948	
	Std. Deviation		2,224	
	Minimum		1	
	Maximum		10	
	Range		9	
	Interquartile Range		3	
	Skewness		,242	,434
	Kurtosis		-,410	,845
act	Mean		7,28	,511
	95% Confidence Interval for Mean	Lower Bound	6,23	
		Upper Bound	8,32	
	5% Trimmed Mean		7,16	
	Median		7,00	
	Variance		7,564	
	Std. Deviation		2,750	
	Minimum		3	
	Maximum		14	
	Range		11	
	Interquartile Range		5	
	Skewness		,542	,434
	Kurtosis		-,420	,845
pas	Mean		2,38	,265
	95% Confidence Interval for Mean	Lower Bound	1,84	
		Upper Bound	2,92	
	5% Trimmed Mean		2,37	
	Median		2,00	
	Variance		2,030	
	Std. Deviation		1,425	
	Minimum		0	
	Maximum		5	
	Range		5	
	Interquartile Range		2	
	Skewness		,222	,434
	Kurtosis		-,407	,845
Aisl	Mean		,1934	,03135
	95% Confidence Interval for Mean	Lower Bound	,1292	
		Upper Bound	,2577	
	5% Trimmed Mean		,1761	
	Median		,1700	
	Variance		,028	
	Std. Deviation		,16880	
	Minimum		,00	
	Maximum		,79	
	Range		,79	
	Interquartile Range		,18	
	Skewness		1,741	,434
	Kurtosis		4,574	,845

Descriptives[a,b,c,d,e,f,g,h]

			Statistic	Std. Error
Mmenos	Mean		1,07	,185
	95% Confidence Interval for Mean	Lower Bound	,69	
		Upper Bound	1,45	
	5% Trimmed Mean		1,02	
	Median		1,00	
	Variance		,995	
	Std. Deviation		,998	
	Minimum		0	
	Maximum		3	
	Range		3	
	Interquartile Range		2	
	Skewness		,550	,434
	Kurtosis		-,701	,845
Intelec	Mean		1,31	,268
	95% Confidence Interval for Mean	Lower Bound	,76	
		Upper Bound	1,86	
	5% Trimmed Mean		1,12	
	Median		1,00	
	Variance		2,079	
	Std. Deviation		1,442	
	Minimum		0	
	Maximum		7	
	Range		7	
	Interquartile Range		2	
	Skewness		2,405	,434
	Kurtosis		8,180	,845
Xmenos	Mean		,3807	,02902
	95% Confidence Interval for Mean	Lower Bound	,3212	
		Upper Bound	,4401	
	5% Trimmed Mean		,3757	
	Median		,3600	
	Variance		,024	
	Std. Deviation		,15627	
	Minimum		,09	
	Maximum		,77	
	Range		,68	
	Interquartile Range		,20	
	Skewness		,615	,434
	Kurtosis		,539	,845
Smenos	Mean		,0666	,01767
	95% Confidence Interval for Mean	Lower Bound	,0303	
		Upper Bound	,1028	
	5% Trimmed Mean		,0570	
	Median		,0000	
	Variance		,009	
	Std. Deviation		,09518	
	Minimum		,00	
	Maximum		,33	
	Range		,33	
	Interquartile Range		,12	
	Skewness		1,327	,434
	Kurtosis		,904	,845

Descriptives[a,b,c,d,e,f,g,h]

			Statistic	Std. Error
Pop	Mean		2,62	,213
	95% Confidence Interval for Mean	Lower Bound	2,18	
		Upper Bound	3,06	
	5% Trimmed Mean		2,58	
	Median		3,00	
	Variance		1,315	
	Std. Deviation		1,147	
	Minimum		1	
	Maximum		5	
	Range		4	
	Interquartile Range		1	
	Skewness		,216	,434
	Kurtosis		-,344	,845
Xmas	Mean		,3472	,02140
	95% Confidence Interval for Mean	Lower Bound	,3034	
		Upper Bound	,3911	
	5% Trimmed Mean		,3482	
	Median		,3600	
	Variance		,013	
	Std. Deviation		,11523	
	Minimum		,15	
	Maximum		,53	
	Range		,38	
	Interquartile Range		,18	
	Skewness		-,290	,434
	Kurtosis		-,954	,845
Xu	Mean		,2003	,01959
	95% Confidence Interval for Mean	Lower Bound	,1602	
		Upper Bound	,2405	
	5% Trimmed Mean		,1994	
	Median		,2100	
	Variance		,011	
	Std. Deviation		,10547	
	Minimum		,00	
	Maximum		,43	
	Range		,43	
	Interquartile Range		,14	
	Skewness		-,072	,434
	Kurtosis		-,052	,845
Ego	Mean		,2583	,03009
	95% Confidence Interval for Mean	Lower Bound	,1966	
		Upper Bound	,3199	
	5% Trimmed Mean		,2577	
	Median		,2700	
	Variance		,026	
	Std. Deviation		,16202	
	Minimum		,00	
	Maximum		,52	
	Range		,52	
	Interquartile Range		,27	
	Skewness		,094	,434
	Kurtosis		-1,239	,845

Descriptives[a,b,c,d,e,f,g,h]

			Statistic	Std. Error
AnXy	Mean		1,0345	,21906
	95% Confidence Interval for Mean	Lower Bound	,5858	
		Upper Bound	1,4832	
	5% Trimmed Mean		,9444	
	Median		1,0000	
	Variance		1,392	
	Std. Deviation		1,17967	
	Minimum		,00	
	Maximum		4,00	
	Range		4,00	
	Interquartile Range		2,00	
	Skewness		,911	,434
	Kurtosis		-,120	,845
CDI	Mean		2,9655	,21336
	95% Confidence Interval for Mean	Lower Bound	2,5285	
		Upper Bound	3,4026	
	5% Trimmed Mean		2,9617	
	Median		3,0000	
	Variance		1,320	
	Std. Deviation		1,14900	
	Minimum		1,00	
	Maximum		5,00	
	Range		4,00	
	Interquartile Range		2,00	
	Skewness		-,080	,434
	Kurtosis		-,905	,845
DEPI	Mean		3,4138	,22480
	95% Confidence Interval for Mean	Lower Bound	2,9533	
		Upper Bound	3,8743	
	5% Trimmed Mean		3,4215	
	Median		3,0000	
	Variance		1,466	
	Std. Deviation		1,21059	
	Minimum		1,00	
	Maximum		6,00	
	Range		5,00	
	Interquartile Range		1,00	
	Skewness		-,108	,434
	Kurtosis		-,151	,845

a. VF is constant. It has been omitted.

b. Fr is constant. It has been omitted.

c. rF is constant. It has been omitted.

d. Geo is constant. It has been omitted.

e. Sx is constant. It has been omitted.

f. Xy is constant. It has been omitted.

g. CONT is constant. It has been omitted.

h. Ag1V is constant. It has been omitted.

ANEXO D: ESTADÍSTICOS DESCRIPTIVOS DE LAS VARIABLES DEL TEST DE LOS CUENTOS DE HADAS (FTT).

Case Processing Summary

	Cases					
	Valid		Missing		Total	
	N	Percent	N	Percent	N	Percent
AMBtot	30	100,0%	0	,0%	30	100,0%
DCM	30	100,0%	0	,0%	30	100,0%
Dsup	30	100,0%	0	,0%	30	100,0%
AE	30	100,0%	0	,0%	30	100,0%
Spro	30	100,0%	0	,0%	30	100,0%
Spri	30	100,0%	0	,0%	30	100,0%
AGdom	30	100,0%	0	,0%	30	100,0%
AGor	30	100,0%	0	,0%	30	100,0%
Nor	30	100,0%	0	,0%	30	100,0%
AgA	30	100,0%	0	,0%	30	100,0%
AGven	30	100,0%	0	,0%	30	100,0%
AGcel	30	100,0%	0	,0%	30	100,0%
Agdef	30	100,0%	0	,0%	30	100,0%
Tag	30	100,0%	0	,0%	30	100,0%
Nafct	30	100,0%	0	,0%	30	100,0%
Nafil	30	100,0%	0	,0%	30	100,0%
Day	30	100,0%	0	,0%	30	100,0%
Npro	30	100,0%	0	,0%	30	100,0%
ANStot	30	100,0%	0	,0%	30	100,0%
DEP	30	100,0%	0	,0%	30	100,0%
ACC	30	100,0%	0	,0%	30	100,0%
ESTR	30	100,0%	0	,0%	30	100,0%
PRESEX	30	100,0%	0	,0%	30	100,0%
MORAL	30	100,0%	0	,0%	30	100,0%
RELMA	30	100,0%	0	,0%	30	100,0%
RELPA	30	100,0%	0	,0%	30	100,0%
REP	30	100,0%	0	,0%	30	100,0%
Napro	30	100,0%	0	,0%	30	100,0%
AGinstr	30	100,0%	0	,0%	30	100,0%

Descriptives

			Statistic	Std. Error
AMBtot	Mean		2,63	,783
	95% Confidence Interval for Mean	Lower Bound	1,03	
		Upper Bound	4,23	
	5% Trimmed Mean		2,04	
	Median		,00	
	Variance		18,378	
	Std. Deviation		4,287	
	Minimum		0	
	Maximum		18	
	Range		18	
	Interquartile Range		5	
	Skewness		2,133	,427
	Kurtosis		5,007	,833

Descriptives

			Statistic	Std. Error
DCM	Mean		1,27	,623
	95% Confidence Interval for Mean	Lower Bound	-,01	
		Upper Bound	2,54	
	5% Trimmed Mean		,63	
	Median		,00	
	Variance		11,651	
	Std. Deviation		3,413	
	Minimum		0	
	Maximum		16	
	Range		16	
	Interquartile Range		1	
	Skewness		3,569	,427
	Kurtosis		13,242	,833
Dsup	Mean		1,57	,755
	95% Confidence Interval for Mean	Lower Bound	,02	
		Upper Bound	3,11	
	5% Trimmed Mean		,81	
	Median		,00	
	Variance		17,082	
	Std. Deviation		4,133	
	Minimum		0	
	Maximum		19	
	Range		19	
	Interquartile Range		0	
	Skewness		3,371	,427
	Kurtosis		11,892	,833
AE	Mean		-,70	,236
	95% Confidence Interval for Mean	Lower Bound	-1,18	
		Upper Bound	-,22	
	5% Trimmed Mean		-,59	
	Median		,00	
	Variance		1,666	
	Std. Deviation		1,291	
	Minimum		-4	
	Maximum		1	
	Range		5	
	Interquartile Range		1	
	Skewness		-1,741	,427
	Kurtosis		2,385	,833
Spro	Mean		,33	,161
	95% Confidence Interval for Mean	Lower Bound	,00	
		Upper Bound	,66	
	5% Trimmed Mean		,20	
	Median		,00	
	Variance		,782	
	Std. Deviation		,884	
	Minimum		0	
	Maximum		3	
	Range		3	
	Interquartile Range		0	
	Skewness		2,471	,427
	Kurtosis		4,779	,833

Descriptives

			Statistic	Std. Error
Spri	Mean		,23	,133
	95% Confidence Interval for Mean	Lower Bound	-,04	
		Upper Bound	,51	
	5% Trimmed Mean		,11	
	Median		,00	
	Variance		,530	
	Std. Deviation		,728	
	Minimum		0	
	Maximum		3	
	Range		3	
	Interquartile Range		0	
	Skewness		3,052	,427
	Kurtosis		8,470	,833
AGdom	Mean		1,00	,384
	95% Confidence Interval for Mean	Lower Bound	,22	
		Upper Bound	1,78	
	5% Trimmed Mean		,67	
	Median		,00	
	Variance		4,414	
	Std. Deviation		2,101	
	Minimum		0	
	Maximum		9	
	Range		9	
	Interquartile Range		1	
	Skewness		2,582	,427
	Kurtosis		7,132	,833
AGor	Mean		,53	,196
	95% Confidence Interval for Mean	Lower Bound	,13	
		Upper Bound	,93	
	5% Trimmed Mean		,39	
	Median		,00	
	Variance		1,154	
	Std. Deviation		1,074	
	Minimum		0	
	Maximum		4	
	Range		4	
	Interquartile Range		1	
	Skewness		2,143	,427
	Kurtosis		3,831	,833
Nor	Mean		3,13	,639
	95% Confidence Interval for Mean	Lower Bound	1,83	
		Upper Bound	4,44	
	5% Trimmed Mean		2,81	
	Median		2,00	
	Variance		12,257	
	Std. Deviation		3,501	
	Minimum		0	
	Maximum		12	
	Range		12	
	Interquartile Range		5	
	Skewness		1,332	,427
	Kurtosis		1,171	,833

Descriptives

			Statistic	Std. Error
AgA	Mean		3,43	,648
	95% Confidence Interval for Mean	Lower Bound	2,11	
		Upper Bound	4,76	
	5% Trimmed Mean		3,22	
	Median		3,00	
	Variance		12,599	
	Std. Deviation		3,549	
	Minimum		0	
	Maximum		11	
	Range		11	
	Interquartile Range		6	
	Skewness		,747	,427
	Kurtosis		-,611	,833
AGven	Mean		1,87	,495
	95% Confidence Interval for Mean	Lower Bound	,85	
		Upper Bound	2,88	
	5% Trimmed Mean		1,52	
	Median		,00	
	Variance		7,361	
	Std. Deviation		2,713	
	Minimum		0	
	Maximum		12	
	Range		12	
	Interquartile Range		3	
	Skewness		2,082	,427
	Kurtosis		5,625	,833
AGcel	Mean		,80	,309
	95% Confidence Interval for Mean	Lower Bound	,17	
		Upper Bound	1,43	
	5% Trimmed Mean		,56	
	Median		,00	
	Variance		2,855	
	Std. Deviation		1,690	
	Minimum		0	
	Maximum		6	
	Range		6	
	Interquartile Range		1	
	Skewness		2,312	,427
	Kurtosis		4,685	,833
Agdef	Mean		2,07	,547
	95% Confidence Interval for Mean	Lower Bound	,95	
		Upper Bound	3,18	
	5% Trimmed Mean		1,63	
	Median		1,50	
	Variance		8,961	
	Std. Deviation		2,993	
	Minimum		0	
	Maximum		15	
	Range		15	
	Interquartile Range		3	
	Skewness		3,005	,427
	Kurtosis		11,817	,833

Descriptives

			Statistic	Std. Error
Tag	Mean		,87	,414
	95% Confidence Interval for Mean	Lower Bound	,02	
		Upper Bound	1,71	
	5% Trimmed Mean		,48	
	Median		,00	
	Variance		5,154	
	Std. Deviation		2,270	
	Minimum		0	
	Maximum		10	
	Range		10	
	Interquartile Range		0	
	Skewness		2,980	,427
	Kurtosis		9,216	,833
Nafct	Mean		2,07	,547
	95% Confidence Interval for Mean	Lower Bound	,95	
		Upper Bound	3,18	
	5% Trimmed Mean		1,63	
	Median		1,50	
	Variance		8,961	
	Std. Deviation		2,993	
	Minimum		0	
	Maximum		15	
	Range		15	
	Interquartile Range		3	
	Skewness		3,005	,427
	Kurtosis		11,817	,833
Nafil	Mean		2,63	,397
	95% Confidence Interval for Mean	Lower Bound	1,82	
		Upper Bound	3,44	
	5% Trimmed Mean		2,48	
	Median		2,00	
	Variance		4,723	
	Std. Deviation		2,173	
	Minimum		0	
	Maximum		9	
	Range		9	
	Interquartile Range		3	
	Skewness		1,005	,427
	Kurtosis		1,127	,833
Day	Mean		,40	,223
	95% Confidence Interval for Mean	Lower Bound	-,06	
		Upper Bound	,86	
	5% Trimmed Mean		,17	
	Median		,00	
	Variance		1,490	
	Std. Deviation		1,221	
	Minimum		0	
	Maximum		6	
	Range		6	
	Interquartile Range		0	
	Skewness		3,906	,427
	Kurtosis		16,355	,833

Descriptives

			Statistic	Std. Error
Npro	Mean		,37	,140
	95% Confidence Interval for Mean	Lower Bound	,08	
		Upper Bound	,65	
	5% Trimmed Mean		,26	
	Median		,00	
	Variance		,585	
	Std. Deviation		,765	
	Minimum		0	
	Maximum		3	
	Range		3	
	Interquartile Range		0	
	Skewness		2,217	,427
	Kurtosis		4,517	,833
ANStot	Mean		13,30	1,592
	95% Confidence Interval for Mean	Lower Bound	10,04	
		Upper Bound	16,56	
	5% Trimmed Mean		12,94	
	Median		12,50	
	Variance		76,010	
	Std. Deviation		8,718	
	Minimum		0	
	Maximum		33	
	Range		33	
	Interquartile Range		13	
	Skewness		,581	,427
	Kurtosis		-,221	,833
DEP	Mean		5,57	,882
	95% Confidence Interval for Mean	Lower Bound	3,76	
		Upper Bound	7,37	
	5% Trimmed Mean		5,06	
	Median		4,50	
	Variance		23,357	
	Std. Deviation		4,833	
	Minimum		0	
	Maximum		24	
	Range		24	
	Interquartile Range		5	
	Skewness		2,060	,427
	Kurtosis		6,240	,833
ACC	Mean		29,60	1,167
	95% Confidence Interval for Mean	Lower Bound	27,21	
		Upper Bound	31,99	
	5% Trimmed Mean		29,46	
	Median		29,50	
	Variance		40,869	
	Std. Deviation		6,393	
	Minimum		18	
	Maximum		44	
	Range		26	
	Interquartile Range		9	
	Skewness		,309	,427
	Kurtosis		-,365	,833

Descriptives

			Statistic	Std. Error
ESTR	Mean		3,47	,698
	95% Confidence Interval for Mean	Lower Bound	2,04	
		Upper Bound	4,89	
	5% Trimmed Mean		3,19	
	Median		2,00	
	Variance		14,602	
	Std. Deviation		3,821	
	Minimum		0	
	Maximum		12	
	Range		12	
	Interquartile Range		4	
	Skewness		1,275	,427
	Kurtosis		,478	,833
PRESEX	Mean		1,23	,324
	95% Confidence interval for Mean	Lower Bound	,57	
		Upper Bound	1,90	
	5% Trimmed Mean		1,00	
	Median		1,00	
	Variance		3,151	
	Std. Deviation		1,775	
	Minimum		0	
	Maximum		7	
	Range		7	
	Interquartile Range		2	
	Skewness		2,000	,427
	Kurtosis		4,033	,833
MORAL	Mean		1,57	,306
	95% Confidence Interval for Mean	Lower Bound	,94	
		Upper Bound	2,19	
	5% Trimmed Mean		1,43	
	Median		2,00	
	Variance		2,806	
	Std. Deviation		1,675	
	Minimum		0	
	Maximum		6	
	Range		6	
	Interquartile Range		3	
	Skewness		,843	,427
	Kurtosis		,220	,833
RELMA	Mean		-,43	,196
	95% Confidence Interval for Mean	Lower Bound	-,83	
		Upper Bound	-,03	
	5% Trimmed Mean		-,30	
	Median		,00	
	Variance		1,151	
	Std. Deviation		1,073	
	Minimum		-5	
	Maximum		1	
	Range		6	
	Interquartile Range		1	
	Skewness		-2,969	,427
	Kurtosis		11,160	,833

Descriptives

			Statistic	Std. Error
RELPA	Mean		-,07	,082
	95% Confidence Interval for Mean	Lower Bound	-,23	
		Upper Bound	,10	
	5% Trimmed Mean		-,02	
	Median		,00	
	Variance		,202	
	Std. Deviation		,450	
	Minimum		-2	
	Maximum		1	
	Range		3	
	Interquartile Range		0	
	Skewness		-2,768	,427
	Kurtosis		13,273	,833
REP	Mean		1,27	,291
	95% Confidence Interval for Mean	Lower Bound	,67	
		Upper Bound	1,86	
	5% Trimmed Mean		1,07	
	Median		1,00	
	Variance		2,547	
	Std. Deviation		1,596	
	Minimum		0	
	Maximum		7	
	Range		7	
	Interquartile Range		2	
	Skewness		1,930	,427
	Kurtosis		4,730	,833
Napro	Mean		,33	,168
	95% Confidence Interval for Mean	Lower Bound	-,01	
		Upper Bound	,68	
	5% Trimmed Mean		,17	
	Median		,00	
	Variance		,851	
	Std. Deviation		,922	
	Minimum		0	
	Maximum		4	
	Range		4	
	Interquartile Range		0	
	Skewness		3,213	,427
	Kurtosis		10,278	,833
AGinstr	Mean		,10	,100
	95% Confidence Interval for Mean	Lower Bound	-,10	
		Upper Bound	,30	
	5% Trimmed Mean		,00	
	Median		,00	
	Variance		,300	
	Std. Deviation		,548	
	Minimum		0	
	Maximum		3	
	Range		3	
	Interquartile Range		0	
	Skewness		5,477	,427
	Kurtosis		30,000	,833

ANEXO E: MATRIZ DE CORRELACIONES.

Correlations

			CDI	act	pas	Afr
Spearman's rho	CDI	Correlation Coefficient	1,000	-,218	-,025	-,112
		Sig. (2-tailed)	.	,248	,897	,557
		N	30	30	30	30
	act	Correlation Coefficient	-,218	1,000	-,369*	,418*
		Sig. (2-tailed)	,248	.	,045	,022
		N	30	30	30	30
	pas	Correlation Coefficient	-,025	-,369*	1,000	,102
		Sig. (2-tailed)	,897	,045	.	,591
		N	30	30	30	30
	Afr	Correlation Coefficient	-,112	,418*	,102	1,000
		Sig. (2-tailed)	,557	,022	,591	.
		N	30	30	30	30
	Ag2A	Correlation Coefficient	-,398*	,220	-,041	-,040
		Sig. (2-tailed)	,032	,251	,833	,835
		N	29	29	29	29
	Ag1V	Correlation Coefficient	.	.	.	.
		Sig. (2-tailed)	.	.	.	.
		N	30	30	30	30
	Ag2V	Correlation Coefficient	-,358	,202	-,092	,206
		Sig. (2-tailed)	,052	,286	,628	,276
		N	30	30	30	30
	Ag1R	Correlation Coefficient	-,075	,366*	-,212	,150
		Sig. (2-tailed)	,694	,046	,260	,429
		N	30	30	30	30
	Ag2R	Correlation Coefficient	-,316	,465**	-,230	,248
		Sig. (2-tailed)	,089	,010	,221	,186
		N	30	30	30	30
	AgC	Correlation Coefficient	-,286	,559**	-,297	,325
		Sig. (2-tailed)	,126	,001	,111	,079
		N	30	30	30	30
	AgPast	Correlation Coefficient	-,031	,450*	-,201	,026
		Sig. (2-tailed)	,870	,013	,287	,890
		N	30	30	30	30
	AgPot	Correlation Coefficient	-,103	,091	-,122	,058
		Sig. (2-tailed)	,588	,634	,522	,762
		N	30	30	30	30
	Ag1O	Correlation Coefficient	-,284	-,038	,084	,180
		Sig. (2-tailed)	,128	,841	,659	,342
		N	30	30	30	30
	Ag2O	Correlation Coefficient	-,231	,497**	-,289	,206
		Sig. (2-tailed)	,219	,005	,121	,275
		N	30	30	30	30
	Ag1A	Correlation Coefficient	,239	,155	-,241	,059
		Sig. (2-tailed)	,204	,412	,200	,757
		N	30	30	30	30
	PER	Correlation Coefficient	,183	-,342	,095	-,197
		Sig. (2-tailed)	,332	,065	,619	,297
		N	30	30	30	30
	COP	Correlation Coefficient	-,447*	,586**	-,235	,133
		Sig. (2-tailed)	,013	,001	,212	,485
		N	30	30	30	30
	AG	Correlation Coefficient	-,342	,594**	-,678**	-,081
		Sig. (2-tailed)	,065	,001	,000	,672
		N	30	30	30	30

Correlations

			CDI	act	pas	Afr
Spearman's rho	PHR	Correlation Coefficient	-,215	,243	-,205	,064
		Sig. (2-tailed)	,255	,196	,276	,737
		N	30	30	30	30
	MOR	Correlation Coefficient	-,173	,315	-,003	,159
		Sig. (2-tailed)	,360	,090	,989	,400
		N	30	30	30	30
	GHR	Correlation Coefficient	-,359	-,057	,076	-,083
		Sig. (2-tailed)	,052	,765	,689	,661
		N	30	30	30	30
	Food	Correlation Coefficient	,134	,329	-,398*	,234
		Sig. (2-tailed)	,481	,075	,030	,214
		N	30	30	30	30
	FT	Correlation Coefficient	,221	-,110	,411*	-,081
		Sig. (2-tailed)	,240	,561	,024	,669
		N	30	30	30	30
	TF	Correlation Coefficient	,076	,235	-,198	-,040
		Sig. (2-tailed)	,689	,211	,295	,835
		N	30	30	30	30
	T	Correlation Coefficient	,107	-,318	-,095	-,062
		Sig. (2-tailed)	,572	,087	,617	,744
		N	30	30	30	30
	H	Correlation Coefficient	-,137	-,108	,168	-,010
		Sig. (2-tailed)	,469	,571	,374	,957
		N	30	30	30	30
	ParaH	Correlation Coefficient	,003	-,229	,183	-,053
		Sig. (2-tailed)	,986	,224	,333	,780
		N	30	30	30	30
	Hd	Correlation Coefficient	-,159	-,258	,120	-,057
		Sig. (2-tailed)	,401	,169	,527	,763
		N	30	30	30	30
	ParaHd	Correlation Coefficient	,153	-,347	-,193	-,267
		Sig. (2-tailed)	,419	,060	,307	,153
		N	30	30	30	30
	HX	Correlation Coefficient	,037	,319	-,094	,086
		Sig. (2-tailed)	,847	,085	,622	,653
		N	30	30	30	30
	AMBtot	Correlation Coefficient	-,010	-,100	-,081	-,362*
		Sig. (2-tailed)	,958	,600	,671	,049
		N	30	30	30	30
	DCM	Correlation Coefficient	,095	-,130	-,222	,019
		Sig. (2-tailed)	,619	,494	,239	,919
		N	30	30	30	30
	Dsup	Correlation Coefficient	,130	-,341	,023	-,146
		Sig. (2-tailed)	,495	,065	,905	,442
		N	30	30	30	30
	AE	Correlation Coefficient	,086	-,001	-,120	-,221
		Sig. (2-tailed)	,650	,997	,527	,240
		N	30	30	30	30
	Spro	Correlation Coefficient	,099	,034	-,136	,236
		Sig. (2-tailed)	,603	,860	,473	,209
		N	30	30	30	30
	Spri	Correlation Coefficient	,018	,052	-,048	-,177
		Sig. (2-tailed)	,926	,783	,799	,349
		N	30	30	30	30

Correlations

			CDI	act	pas	Afr
Spearman's rho	AGdom	Correlation Coefficient	-,069	-,185	,173	-,152
		Sig. (2-tailed)	,715	,328	,360	,423
		N	30	30	30	30
	AGor	Correlation Coefficient	,061	-,015	-,161	-,214
		Sig. (2-tailed)	,749	,936	,396	,256
		N	30	30	30	30
	Nor	Correlation Coefficient	,111	-,051	,107	-,151
		Sig. (2-tailed)	,561	,787	,572	,427
		N	30	30	30	30
	AgA	Correlation Coefficient	,206	-,032	-,191	,151
		Sig. (2-tailed)	,276	,865	,312	,427
		N	30	30	30	30
	AGven	Correlation Coefficient	-,028	,300	-,111	,353
		Sig. (2-tailed)	,882	,107	,558	,056
		N	30	30	30	30
	AGcel	Correlation Coefficient	-,342	-,015	,180	-,081
		Sig. (2-tailed)	,064	,938	,342	,669
		N	30	30	30	30
	Agdef	Correlation Coefficient	-,182	-,091	,446*	,303
		Sig. (2-tailed)	,337	,632	,014	,104
		N	30	30	30	30
	Tag	Correlation Coefficient	,184	-,046	,247	,126
		Sig. (2-tailed)	,331	,808	,188	,506
		N	30	30	30	30
	Nafct	Correlation Coefficient	-,182	-,091	,446*	,303
		Sig. (2-tailed)	,337	,632	,014	,104
		N	30	30	30	30
	Nafil	Correlation Coefficient	-,216	,070	-,165	,101
		Sig. (2-tailed)	,251	,712	,384	,594
		N	30	30	30	30
	Day	Correlation Coefficient	,259	-,235	-,262	-,065
		Sig. (2-tailed)	,168	,212	,162	,733
		N	30	30	30	30
	Npro	Correlation Coefficient	-,337	,151	,349	,071
		Sig. (2-tailed)	,069	,426	,059	,708
		N	30	30	30	30
	ANStot	Correlation Coefficient	-,137	,134	-,407*	,087
		Sig. (2-tailed)	,471	,481	,026	,649
		N	30	30	30	30
	DEP	Correlation Coefficient	-,157	,012	-,089	-,070
		Sig. (2-tailed)	,408	,950	,641	,712
		N	30	30	30	30
	ACC	Correlation Coefficient	-,211	,011	-,104	-,011
		Sig. (2-tailed)	,264	,955	,583	,953
		N	30	30	30	30
	ESTR	Correlation Coefficient	,027	-,177	,087	,166
		Sig. (2-tailed)	,887	,349	,649	,380
		N	30	30	30	30
	PRESEX	Correlation Coefficient	-,095	-,447*	,078	-,463**
		Sig. (2-tailed)	,617	,013	,683	,010
		N	30	30	30	30
	MORAL	Correlation Coefficient	,206	-,004	,036	,027
		Sig. (2-tailed)	,275	,982	,849	,889
		N	30	30	30	30

Correlations

			CDI	act	pas	Afr
Spearman's rho	RELMA	Correlation Coefficient	-,259	,315	,066	,110
		Sig. (2-tailed)	,167	,090	,728	,564
		N	30	30	30	30
	RELPA	Correlation Coefficient	,205	-,263	,276	-,047
		Sig. (2-tailed)	,277	,161	,140	,803
		N	30	30	30	30
	REP	Correlation Coefficient	-,049	,113	-,212	,273
		Sig. (2-tailed)	,798	,552	,260	,144
		N	30	30	30	30
	Napro	Correlation Coefficient	-,250	-,188	,150	,013
		Sig. (2-tailed)	,183	,319	,429	,944
		N	30	30	30	30
	AGinstr	Correlation Coefficient	,189	,206	,110	,150
		Sig. (2-tailed)	,318	,274	,562	,428
		N	30	30	30	30

Correlations

			Ag2A	Ag1V	Ag2V	Ag1R
Spearman's rho	CDI	Correlation Coefficient	-,398*	.	-,358	-,075
		Sig. (2-tailed)	,032	.	,052	,694
		N	29	30	30	30
	act	Correlation Coefficient	,220	.	,202	,366*
		Sig. (2-tailed)	,251	.	,286	,046
		N	29	30	30	30
	pas	Correlation Coefficient	-,041	.	-,092	-,212
		Sig. (2-tailed)	,833	.	,628	,260
		N	29	30	30	30
	Afr	Correlation Coefficient	-,040	.	,206	,150
		Sig. (2-tailed)	,835	.	,276	,429
		N	29	30	30	30
	Ag2A	Correlation Coefficient	1,000	.	-,130	-,029
		Sig. (2-tailed)	.	.	,502	,881
		N	29	29	29	29
	Ag1V	Correlation Coefficient	.	.	.	.
		Sig. (2-tailed)	.	.	.	.
		N	29	30	30	30
	Ag2V	Correlation Coefficient	-,130	.	1,000	,149
		Sig. (2-tailed)	,502	.	.	,432
		N	29	30	30	30
	Ag1R	Correlation Coefficient	-,029	.	,149	1,000
		Sig. (2-tailed)	,881	.	,432	.
		N	29	30	30	30
	Ag2R	Correlation Coefficient	,336	.	,272	,118
		Sig. (2-tailed)	,075	.	,146	,535
		N	29	30	30	30
	AgC	Correlation Coefficient	,219	.	,195	,115
		Sig. (2-tailed)	,254	.	,302	,545
		N	29	30	30	30
	AgPast	Correlation Coefficient	,096	.	,306	,566**
		Sig. (2-tailed)	,621	.	,100	,001
		N	29	30	30	30
	AgPot	Correlation Coefficient	,060	.	,007	,114
		Sig. (2-tailed)	,758	.	,969	,548
		N	29	30	30	30
	Ag1O	Correlation Coefficient	-,013	.	,163	,350
		Sig. (2-tailed)	,948	.	,390	,058
		N	29	30	30	30
	Ag2O	Correlation Coefficient	,285	.	,150	,267
		Sig. (2-tailed)	,133	.	,429	,153
		N	29	30	30	30
	Ag1A	Correlation Coefficient	-,434*	.	,129	,024
		Sig. (2-tailed)	,019	.	,498	,900
		N	29	30	30	30
	PER	Correlation Coefficient	-,242	.	-,080	-,218
		Sig. (2-tailed)	,207	.	,672	,247
		N	29	30	30	30
	COP	Correlation Coefficient	,030	.	,343	,357
		Sig. (2-tailed)	,878	.	,064	,053
		N	29	30	30	30
	AG	Correlation Coefficient	,369*	.	,201	,275
		Sig. (2-tailed)	,049	.	,288	,142
		N	29	30	30	30

Correlations

			Ag2A	Ag1V	Ag2V	Ag1R
Spearman's rho	PHR	Correlation Coefficient	,185	.	,065	,435*
		Sig. (2-tailed)	,337	.	,732	,016
		N	29	30	30	30
	MOR	Correlation Coefficient	-,147	.	,248	,463**
		Sig. (2-tailed)	,446	.	,187	,010
		N	29	30	30	30
	GHR	Correlation Coefficient	,174	.	,183	-,226
		Sig. (2-tailed)	,367	.	,334	,230
		N	29	30	30	30
	Food	Correlation Coefficient	,050	.	,221	,356
		Sig. (2-tailed)	,797	.	,240	,053
		N	29	30	30	30
	FT	Correlation Coefficient	-,246	.	,030	,382*
		Sig. (2-tailed)	,197	.	,876	,037
		N	29	30	30	30
	TF	Correlation Coefficient	-,210	.	,196	,614**
		Sig. (2-tailed)	,273	.	,299	,000
		N	29	30	30	30
	T	Correlation Coefficient	-,260	.	-,089	-,119
		Sig. (2-tailed)	,173	.	,640	,530
		N	29	30	30	30
	H	Correlation Coefficient	-,025	.	,151	-,110
		Sig. (2-tailed)	,896	.	,427	,562
		N	29	30	30	30
	ParaH	Correlation Coefficient	,114	.	,259	,055
		Sig. (2-tailed)	,556	.	,167	,773
		N	29	30	30	30
	Hd	Correlation Coefficient	,036	.	-,193	-,128
		Sig. (2-tailed)	,854	.	,308	,499
		N	29	30	30	30
	ParaHd	Correlation Coefficient	,186	.	-,059	-,359
		Sig. (2-tailed)	,334	.	,755	,052
		N	29	30	30	30
	HX	Correlation Coefficient	-,215	.	-,230	,278
		Sig. (2-tailed)	,262	.	,221	,137
		N	29	30	30	30
	AMBtot	Correlation Coefficient	,135	.	-,007	-,097
		Sig. (2-tailed)	,485	.	,970	,609
		N	29	30	30	30
	DCM	Correlation Coefficient	,016	.	-,198	,159
		Sig. (2-tailed)	,935	.	,294	,400
		N	29	30	30	30
	Dsup	Correlation Coefficient	,145	.	-,182	-,244
		Sig. (2-tailed)	,454	.	,336	,194
		N	29	30	30	30
	AE	Correlation Coefficient	,044	.	-,226	,153
		Sig. (2-tailed)	,822	.	,230	,421
		N	29	30	30	30
	Spro	Correlation Coefficient	-,022	.	-,130	-,175
		Sig. (2-tailed)	,908	.	,492	,355
		N	29	30	30	30
	Spri	Correlation Coefficient	,107	.	-,111	-,149
		Sig. (2-tailed)	,580	.	,559	,432
		N	29	30	30	30

Correlations

			Ag2A	Ag1V	Ag2V	Ag1R
Spearman's rho	AGdom	Correlation Coefficient	,209	.	,008	-,100
		Sig. (2-tailed)	,277	.	,965	,600
		N	29	30	30	30
	AGor	Correlation Coefficient	-,157	.	,364*	,080
		Sig. (2-tailed)	,416	.	,048	,675
		N	29	30	30	30
	Nor	Correlation Coefficient	,312	.	-,195	-,199
		Sig. (2-tailed)	,100	.	,301	,291
		N	29	30	30	30
	AgA	Correlation Coefficient	-,072	.	-,086	-,112
		Sig. (2-tailed)	,710	.	,652	,557
		N	29	30	30	30
	AGven	Correlation Coefficient	-,127	.	,329	,208
		Sig. (2-tailed)	,510	.	,076	,269
		N	29	30	30	30
	AGcel	Correlation Coefficient	,085	.	,603**	,180
		Sig. (2-tailed)	,659	.	,000	,343
		N	29	30	30	30
	Agdef	Correlation Coefficient	-,071	.	,195	-,119
		Sig. (2-tailed)	,715	.	,303	,532
		N	29	30	30	30
	Tag	Correlation Coefficient	,060	.	-,148	-,199
		Sig. (2-tailed)	,755	.	,434	,292
		N	29	30	30	30
	Nafct	Correlation Coefficient	-,071	.	,195	-,119
		Sig. (2-tailed)	,715	.	,303	,532
		N	29	30	30	30
	Nafil	Correlation Coefficient	,094	.	,026	,414*
		Sig. (2-tailed)	,628	.	,891	,023
		N	29	30	30	30
	Day	Correlation Coefficient	-,145	.	,129	-,199
		Sig. (2-tailed)	,453	.	,498	,291
		N	29	30	30	30
	Npro	Correlation Coefficient	,015	.	,104	-,014
		Sig. (2-tailed)	,938	.	,584	,942
		N	29	30	30	30
	ANStot	Correlation Coefficient	-,080	.	,058	,274
		Sig. (2-tailed)	,680	.	,761	,142
		N	29	30	30	30
	DEP	Correlation Coefficient	,143	.	,110	,235
		Sig. (2-tailed)	,459	.	,562	,212
		N	29	30	30	30
	ACC	Correlation Coefficient	,218	.	,142	,041
		Sig. (2-tailed)	,256	.	,456	,828
		N	29	30	30	30
	ESTR	Correlation Coefficient	-,311	.	-,039	-,099
		Sig. (2-tailed)	,101	.	,838	,601
		N	29	30	30	30
	PRESEX	Correlation Coefficient	-,041	.	,178	-,099
		Sig. (2-tailed)	,833	.	,347	,603
		N	29	30	30	30
	MORAL	Correlation Coefficient	-,077	.	,339	-,066
		Sig. (2-tailed)	,692	.	,067	,731
		N	29	30	30	30

Correlations

			Ag2A	Ag1V	Ag2V	Ag1R
Spearman's rho	RELMA	Correlation Coefficient	,214	.	,135	,134
		Sig. (2-tailed)	,265	.	,477	,479
		N	29	30	30	30
	RELPA	Correlation Coefficient	-,030	.	,037	,050
		Sig. (2-tailed)	,877	.	,846	,795
		N	29	30	30	30
	REP	Correlation Coefficient	-,045	.	,182	,022
		Sig. (2-tailed)	,816	.	,337	,910
		N	29	30	30	30
	Napro	Correlation Coefficient	,062	.	,168	,056
		Sig. (2-tailed)	,750	.	,374	,770
		N	29	30	30	30
	AGinstr	Correlation Coefficient	-,181	.	-,062	-,083
		Sig. (2-tailed)	,348	.	,745	,663
		N	29	30	30	30

Correlations

			Ag2R	AgC	AgPast	AgPot
Spearman's rho	CDI	Correlation Coefficient	-,316	-,286	-,031	-,103
		Sig. (2-tailed)	,089	,126	,870	,588
		N	30	30	30	30
	act	Correlation Coefficient	,465**	,559**	,450*	,091
		Sig. (2-tailed)	,010	,001	,013	,634
		N	30	30	30	30
	pas	Correlation Coefficient	-,230	-,297	-,201	-,122
		Sig. (2-tailed)	,221	,111	,287	,522
		N	30	30	30	30
	Afr	Correlation Coefficient	,248	,325	,026	,058
		Sig. (2-tailed)	,186	,079	,890	,762
		N	30	30	30	30
	Ag2A	Correlation Coefficient	,336	,219	,096	,060
		Sig. (2-tailed)	,075	,254	,621	,758
		N	29	29	29	29
	Ag1V	Correlation Coefficient	.	.	.	.
		Sig. (2-tailed)	.	.	.	.
		N	30	30	30	30
	Ag2V	Correlation Coefficient	,272	,195	,306	,007
		Sig. (2-tailed)	,146	,302	,100	,969
		N	30	30	30	30
	Ag1R	Correlation Coefficient	,118	,115	,566**	,114
		Sig. (2-tailed)	,535	,545	,001	,548
		N	30	30	30	30
	Ag2R	Correlation Coefficient	1,000	,556**	,392*	-,075
		Sig. (2-tailed)	.	,001	,032	,693
		N	30	30	30	30
	AgC	Correlation Coefficient	,556**	1,000	,061	,247
		Sig. (2-tailed)	,001	.	,748	,188
		N	30	30	30	30
	AgPast	Correlation Coefficient	,392*	,061	1,000	-,288
		Sig. (2-tailed)	,032	,748	.	,123
		N	30	30	30	30
	AgPot	Correlation Coefficient	-,075	,247	-,288	1,000
		Sig. (2-tailed)	,693	,188	,123	.
		N	30	30	30	30
	Ag1O	Correlation Coefficient	,242	,126	-,056	,158
		Sig. (2-tailed)	,198	,506	,768	,405
		N	30	30	30	30
	Ag2O	Correlation Coefficient	,554**	,706**	,153	,373*
		Sig. (2-tailed)	,001	,000	,421	,043
		N	30	30	30	30
	Ag1A	Correlation Coefficient	,062	,074	,161	-,139
		Sig. (2-tailed)	,744	,698	,396	,462
		N	30	30	30	30
	PER	Correlation Coefficient	-,192	-,203	-,231	-,022
		Sig. (2-tailed)	,309	,282	,220	,906
		N	30	30	30	30
	COP	Correlation Coefficient	,286	,195	,432*	-,052
		Sig. (2-tailed)	,126	,301	,017	,786
		N	30	30	30	30
	AG	Correlation Coefficient	,379*	,612**	,350	,117
		Sig. (2-tailed)	,039	,000	,058	,537
		N	30	30	30	30

Correlations

			Ag2R	AgC	AgPast	AgPot
Spearman's rho	PHR	Correlation Coefficient	,330	,336	,171	,230
		Sig. (2-tailed)	,075	,070	,366	,221
		N	30	30	30	30
	MOR	Correlation Coefficient	,282	,172	,415*	,458*
		Sig. (2-tailed)	,130	,365	,023	,011
		N	30	30	30	30
	GHR	Correlation Coefficient	,074	-,054	,033	-,040
		Sig. (2-tailed)	,697	,776	,862	,833
		N	30	30	30	30
	Food	Correlation Coefficient	,317	,180	,135	-,056
		Sig. (2-tailed)	,087	,342	,477	,768
		N	30	30	30	30
	FT	Correlation Coefficient	-,225	-,212	,282	-,121
		Sig. (2-tailed)	,233	,260	,131	,524
		N	30	30	30	30
	TF	Correlation Coefficient	,000	-,023	,431*	,092
		Sig. (2-tailed)	1,000	,904	,017	,627
		N	30	30	30	30
	T	Correlation Coefficient	-,251	-,377*	-,159	,025
		Sig. (2-tailed)	,180	,040	,401	,895
		N	30	30	30	30
	H	Correlation Coefficient	,090	-,027	,023	-,136
		Sig. (2-tailed)	,636	,887	,905	,474
		N	30	30	30	30
	ParaH	Correlation Coefficient	-,069	-,341	,107	,027
		Sig. (2-tailed)	,716	,065	,575	,889
		N	30	30	30	30
	Hd	Correlation Coefficient	,159	-,036	-,276	,040
		Sig. (2-tailed)	,401	,850	,140	,834
		N	30	30	30	30
	ParaHd	Correlation Coefficient	,045	-,031	-,227	,055
		Sig. (2-tailed)	,814	,872	,228	,772
		N	30	30	30	30
	HX	Correlation Coefficient	-,151	-,161	,243	,190
		Sig. (2-tailed)	,426	,396	,195	,314
		N	30	30	30	30
	AMBtot	Correlation Coefficient	,209	-,167	,117	-,333
		Sig. (2-tailed)	,268	,379	,539	,073
		N	30	30	30	30
	DCM	Correlation Coefficient	-,114	,094	-,025	,374*
		Sig. (2-tailed)	,547	,621	,894	,042
		N	30	30	30	30
	Dsup	Correlation Coefficient	,173	-,082	-,179	-,286
		Sig. (2-tailed)	,362	,666	,344	,125
		N	30	30	30	30
	AE	Correlation Coefficient	,140	-,117	,263	-,250
		Sig. (2-tailed)	,461	,537	,160	,182
		N	30	30	30	30
	Spro	Correlation Coefficient	,016	,168	-,050	-,081
		Sig. (2-tailed)	,935	,376	,795	,672
		N	30	30	30	30
	Spri	Correlation Coefficient	-,152	-,062	-,198	-,073
		Sig. (2-tailed)	,423	,745	,293	,701
		N	30	30	30	30

Correlations

			Ag2R	AgC	AgPast	AgPot
Spearman's rho	AGdom	Correlation Coefficient	,045	-,135	-,080	-,080
		Sig. (2-tailed)	,814	,476	,673	,674
		N	30	30	30	30
	AGor	Correlation Coefficient	,136	-,177	,351	-,074
		Sig. (2-tailed)	,472	,350	,057	,697
		N	30	30	30	30
	Nor	Correlation Coefficient	,180	,013	,033	-,123
		Sig. (2-tailed)	,341	,947	,864	,519
		N	30	30	30	30
	AgA	Correlation Coefficient	,248	-,227	,049	-,417*
		Sig. (2-tailed)	,186	,228	,796	,022
		N	30	30	30	30
	AGven	Correlation Coefficient	,120	,067	,142	,331
		Sig. (2-tailed)	,529	,724	,453	,074
		N	30	30	30	30
	AGcel	Correlation Coefficient	,159	,004	,400*	-,023
		Sig. (2-tailed)	,403	,982	,029	,905
		N	30	30	30	30
	Agdef	Correlation Coefficient	-,111	,190	-,146	,078
		Sig. (2-tailed)	,558	,315	,441	,682
		N	30	30	30	30
	Tag	Correlation Coefficient	,049	,069	-,265	-,132
		Sig. (2-tailed)	,798	,717	,157	,485
		N	30	30	30	30
	Nafct	Correlation Coefficient	-,111	,190	-,146	,078
		Sig. (2-tailed)	,558	,315	,441	,682
		N	30	30	30	30
	Nafil	Correlation Coefficient	-,029	,119	,147	-,131
		Sig. (2-tailed)	,879	,530	,438	,489
		N	30	30	30	30
	Day	Correlation Coefficient	-,066	-,134	-,265	-,005
		Sig. (2-tailed)	,729	,480	,156	,978
		N	30	30	30	30
	Npro	Correlation Coefficient	,056	,013	,020	,021
		Sig. (2-tailed)	,769	,945	,917	,912
		N	30	30	30	30
	ANStot	Correlation Coefficient	-,084	,270	,034	,385*
		Sig. (2-tailed)	,660	,149	,858	,036
		N	30	30	30	30
	DEP	Correlation Coefficient	,017	-,062	,072	,058
		Sig. (2-tailed)	,927	,745	,707	,762
		N	30	30	30	30
	ACC	Correlation Coefficient	,106	,359	-,123	,232
		Sig. (2-tailed)	,576	,051	,519	,218
		N	30	30	30	30
	ESTR	Correlation Coefficient	-,062	-,095	-,110	,030
		Sig. (2-tailed)	,744	,617	,562	,874
		N	30	30	30	30
	PRESEX	Correlation Coefficient	-,134	-,259	,033	-,407*
		Sig. (2-tailed)	,480	,167	,861	,026
		N	30	30	30	30
	MORAL	Correlation Coefficient	-,259	-,322	,051	-,152
		Sig. (2-tailed)	,167	,083	,787	,422
		N	30	30	30	30

Correlations

			Ag2R	AgC	AgPast	AgPot
Spearman's rho	RELMA	Correlation Coefficient	,319	,232	,404*	-,182
		Sig. (2-tailed)	,086	,217	,027	,335
		N	30	30	30	30
	RELPA	Correlation Coefficient	-,063	,014	,066	,070
		Sig. (2-tailed)	,742	,940	,729	,713
		N	30	30	30	30
	REP	Correlation Coefficient	,147	,212	-,253	-,210
		Sig. (2-tailed)	,439	,262	,178	,265
		N	30	30	30	30
	Napro	Correlation Coefficient	-,079	,063	-,074	,129
		Sig. (2-tailed)	,677	,740	,696	,497
		N	30	30	30	30
	AGinstr	Correlation Coefficient	,105	-,087	,263	-,137
		Sig. (2-tailed)	,581	,648	,161	,469
		N	30	30	30	30

Correlations

			Ag1O	Ag2O	Ag1A	PER
Spearman's rho	CDI	Correlation Coefficient	-,284	-,231	,239	,183
		Sig. (2-tailed)	,128	,219	,204	,332
		N	30	30	30	30
	act	Correlation Coefficient	-,038	,497**	,155	-,342
		Sig. (2-tailed)	,841	,005	,412	,065
		N	30	30	30	30
	pas	Correlation Coefficient	,084	-,289	-,241	,095
		Sig. (2-tailed)	,659	,121	,200	,619
		N	30	30	30	30
	Afr	Correlation Coefficient	,180	,206	,059	-,197
		Sig. (2-tailed)	,342	,275	,757	,297
		N	30	30	30	30
	Ag2A	Correlation Coefficient	-,013	,285	-,434*	-,242
		Sig. (2-tailed)	,948	,133	,019	,207
		N	29	29	29	29
	Ag1V	Correlation Coefficient	.	.	.	.
		Sig. (2-tailed)	.	.	.	.
		N	30	30	30	30
	Ag2V	Correlation Coefficient	,163	,150	,129	-,080
		Sig. (2-tailed)	,390	,429	,498	,672
		N	30	30	30	30
	Ag1R	Correlation Coefficient	,350	,267	,024	-,218
		Sig. (2-tailed)	,058	,153	,900	,247
		N	30	30	30	30
	Ag2R	Correlation Coefficient	,242	,554**	,062	-,192
		Sig. (2-tailed)	,198	,001	,744	,309
		N	30	30	30	30
	AgC	Correlation Coefficient	,126	,706**	,074	-,203
		Sig. (2-tailed)	,506	,000	,698	,282
		N	30	30	30	30
	AgPast	Correlation Coefficient	-,056	,153	,161	-,231
		Sig. (2-tailed)	,768	,421	,396	,220
		N	30	30	30	30
	AgPot	Correlation Coefficient	,158	,373*	-,139	-,022
		Sig. (2-tailed)	,405	,043	,462	,906
		N	30	30	30	30
	Ag1O	Correlation Coefficient	1,000	,087	-,174	-,137
		Sig. (2-tailed)	.	,649	,357	,472
		N	30	30	30	30
	Ag2O	Correlation Coefficient	,087	1,000	-,080	-,323
		Sig. (2-tailed)	,649	.	,676	,082
		N	30	30	30	30
	Ag1A	Correlation Coefficient	-,174	-,080	1,000	,133
		Sig. (2-tailed)	,357	,676	.	,482
		N	30	30	30	30
	PER	Correlation Coefficient	-,137	-,323	,133	1,000
		Sig. (2-tailed)	,472	,082	,482	.
		N	30	30	30	30
	COP	Correlation Coefficient	,050	,259	,067	-,407*
		Sig. (2-tailed)	,792	,167	,726	,026
		N	30	30	30	30
	AG	Correlation Coefficient	-,041	,522**	,181	-,208
		Sig. (2-tailed)	,829	,003	,339	,269
		N	30	30	30	30

Correlations

			Ag1O	Ag2O	Ag1A	PER
Spearman's rho	PHR	Correlation Coefficient	,587**	,280	,141	-,264
		Sig. (2-tailed)	,001	,133	,459	,158
		N	30	30	30	30
	MOR	Correlation Coefficient	,350	,251	,163	-,027
		Sig. (2-tailed)	,058	,181	,390	,886
		N	30	30	30	30
	GHR	Correlation Coefficient	-,154	,224	-,304	-,073
		Sig. (2-tailed)	,417	,233	,103	,703
		N	30	30	30	30
	Food	Correlation Coefficient	,284	,352	,119	-,303
		Sig. (2-tailed)	,128	,056	,531	,104
		N	30	30	30	30
	FT	Correlation Coefficient	,123	-,190	-,018	-,062
		Sig. (2-tailed)	,518	,314	,924	,744
		N	30	30	30	30
	TF	Correlation Coefficient	,105	,264	,070	-,336
		Sig. (2-tailed)	,579	,158	,714	,070
		N	30	30	30	30
	T	Correlation Coefficient	-,104	-,164	-,119	-,229
		Sig. (2-tailed)	,583	,385	,531	,224
		N	30	30	30	30
	H	Correlation Coefficient	-,180	,140	,067	-,197
		Sig. (2-tailed)	,342	,461	,725	,298
		N	30	30	30	30
	ParaH	Correlation Coefficient	,084	-,013	-,079	-,160
		Sig. (2-tailed)	,659	,947	,677	,400
		N	30	30	30	30
	Hd	Correlation Coefficient	,471**	-,101	-,011	,466**
		Sig. (2-tailed)	,009	,597	,955	,009
		N	30	30	30	30
	ParaHd	Correlation Coefficient	-,131	,153	-,018	,063
		Sig. (2-tailed)	,491	,421	,924	,739
		N	30	30	30	30
	HX	Correlation Coefficient	,070	-,085	,329	,007
		Sig. (2-tailed)	,712	,655	,076	,970
		N	30	30	30	30
	AMBtot	Correlation Coefficient	-,075	-,255	,014	-,117
		Sig. (2-tailed)	,693	,175	,941	,538
		N	30	30	30	30
	DCM	Correlation Coefficient	,047	-,064	-,265	,237
		Sig. (2-tailed)	,804	,736	,158	,208
		N	30	30	30	30
	Dsup	Correlation Coefficient	-,030	-,088	,178	,252
		Sig. (2-tailed)	,873	,645	,346	,180
		N	30	30	30	30
	AE	Correlation Coefficient	-,036	-,155	,213	,226
		Sig. (2-tailed)	,851	,414	,260	,229
		N	30	30	30	30
	Spro	Correlation Coefficient	-,153	,114	-,174	,104
		Sig. (2-tailed)	,420	,549	,357	,585
		N	30	30	30	30
	Spri	Correlation Coefficient	-,130	-,117	-,148	,232
		Sig. (2-tailed)	,493	,539	,434	,216
		N	30	30	30	30

Correlations

			Ag1O	Ag2O	Ag1A	PER
Spearman's rho	AGdom	Correlation Coefficient	,149	-,039	-,046	,039
		Sig. (2-tailed)	,432	,837	,808	,837
		N	30	30	30	30
	AGor	Correlation Coefficient	,201	-,276	,376*	-,066
		Sig. (2-tailed)	,288	,140	,041	,729
		N	30	30	30	30
	Nor	Correlation Coefficient	,085	,147	-,283	-,346
		Sig. (2-tailed)	,656	,438	,130	,061
		N	30	30	30	30
	AgA	Correlation Coefficient	,250	-,114	-,016	,091
		Sig. (2-tailed)	,183	,550	,934	,633
		N	30	30	30	30
	AGven	Correlation Coefficient	,107	,026	,175	-,174
		Sig. (2-tailed)	,573	,892	,356	,357
		N	30	30	30	30
	AGcel	Correlation Coefficient	,003	-,002	,115	,053
		Sig. (2-tailed)	,988	,991	,544	,781
		N	30	30	30	30
	Agdef	Correlation Coefficient	-,044	-,012	,053	-,077
		Sig. (2-tailed)	,819	,949	,782	,686
		N	30	30	30	30
	Tag	Correlation Coefficient	-,174	,043	,053	,281
		Sig. (2-tailed)	,358	,821	,779	,133
		N	30	30	30	30
	Nafct	Correlation Coefficient	-,044	-,012	,053	-,077
		Sig. (2-tailed)	,819	,949	,782	,686
		N	30	30	30	30
	Nafil	Correlation Coefficient	,220	,014	-,211	-,145
		Sig. (2-tailed)	,243	,941	,263	,444
		N	30	30	30	30
	Day	Correlation Coefficient	-,174	,022	,009	-,195
		Sig. (2-tailed)	,357	,910	,962	,301
		N	30	30	30	30
	Npro	Correlation Coefficient	,288	,124	-,243	-,209
		Sig. (2-tailed)	,123	,514	,195	,268
		N	30	30	30	30
	ANStot	Correlation Coefficient	,028	,195	,179	,107
		Sig. (2-tailed)	,884	,301	,345	,573
		N	30	30	30	30
	DEP	Correlation Coefficient	,331	,033	-,001	-,276
		Sig. (2-tailed)	,074	,862	,996	,140
		N	30	30	30	30
	ACC	Correlation Coefficient	,230	,135	,022	,196
		Sig. (2-tailed)	,221	,476	,907	,299
		N	30	30	30	30
	ESTR	Correlation Coefficient	,245	-,137	,084	,266
		Sig. (2-tailed)	,191	,471	,661	,156
		N	30	30	30	30
	PRESEX	Correlation Coefficient	,090	-,316	-,096	,125
		Sig. (2-tailed)	,638	,089	,614	,511
		N	30	30	30	30
	MORAL	Correlation Coefficient	-,190	-,146	,071	-,277
		Sig. (2-tailed)	,314	,442	,708	,139
		N	30	30	30	30

Correlations

			Ag1O	Ag2O	Ag1A	PER
Spearman's rho	RELMA	Correlation Coefficient	,057	,273	,068	-,416*
		Sig. (2-tailed)	,763	,144	,720	,022
		N	30	30	30	30
	RELPA	Correlation Coefficient	,043	-,223	,049	,095
		Sig. (2-tailed)	,820	,237	,795	,618
		N	30	30	30	30
	REP	Correlation Coefficient	,221	,091	,245	,095
		Sig. (2-tailed)	,239	,634	,192	,617
		N	30	30	30	30
	Napro	Correlation Coefficient	,077	,295	-,198	,183
		Sig. (2-tailed)	,687	,113	,293	,334
		N	30	30	30	30
	AGinstr	Correlation Coefficient	-,073	-,044	-,083	-,159
		Sig. (2-tailed)	,703	,819	,664	,401
		N	30	30	30	30

Correlations

			COP	AG	PHR	MOR
Spearman's rho	CDI	Correlation Coefficient	-,447*	-,342	-,215	-,173
		Sig. (2-tailed)	,013	,065	,255	,360
		N	30	30	30	30
	act	Correlation Coefficient	,586**	,594**	,243	,315
		Sig. (2-tailed)	,001	,001	,196	,090
		N	30	30	30	30
	pas	Correlation Coefficient	-,235	-,678**	-,205	-,003
		Sig. (2-tailed)	,212	,000	,276	,989
		N	30	30	30	30
	Afr	Correlation Coefficient	,133	-,081	,064	,159
		Sig. (2-tailed)	,485	,672	,737	,400
		N	30	30	30	30
	Ag2A	Correlation Coefficient	,030	,369*	,185	-,147
		Sig. (2-tailed)	,878	,049	,337	,446
		N	29	29	29	29
	Ag1V	Correlation Coefficient	.	.	.	.
		Sig. (2-tailed)	.	.	.	.
		N	30	30	30	30
	Ag2V	Correlation Coefficient	,343	,201	,065	,248
		Sig. (2-tailed)	,064	,288	,732	,187
		N	30	30	30	30
	Ag1R	Correlation Coefficient	,357	,275	,435*	,463**
		Sig. (2-tailed)	,053	,142	,016	,010
		N	30	30	30	30
	Ag2R	Correlation Coefficient	,286	,379*	,330	,282
		Sig. (2-tailed)	,126	,039	,075	,130
		N	30	30	30	30
	AgC	Correlation Coefficient	,195	,612**	,336	,172
		Sig. (2-tailed)	,301	,000	,070	,365
		N	30	30	30	30
	AgPast	Correlation Coefficient	,432*	,350	,171	,415*
		Sig. (2-tailed)	,017	,058	,366	,023
		N	30	30	30	30
	AgPot	Correlation Coefficient	-,052	,117	,230	,458*
		Sig. (2-tailed)	,786	,537	,221	,011
		N	30	30	30	30
	Ag1O	Correlation Coefficient	,050	-,041	,587**	,350
		Sig. (2-tailed)	,792	,829	,001	,058
		N	30	30	30	30
	Ag2O	Correlation Coefficient	,259	,522**	,280	,251
		Sig. (2-tailed)	,167	,003	,133	,181
		N	30	30	30	30
	Ag1A	Correlation Coefficient	,067	,181	,141	,163
		Sig. (2-tailed)	,726	,339	,459	,390
		N	30	30	30	30
	PER	Correlation Coefficient	-,407*	-,208	-,264	-,027
		Sig. (2-tailed)	,026	,269	,158	,886
		N	30	30	30	30
	COP	Correlation Coefficient	1,000	,450*	,315	,227
		Sig. (2-tailed)	.	,013	,090	,228
		N	30	30	30	30
	AG	Correlation Coefficient	,450*	1,000	,435*	,113
		Sig. (2-tailed)	,013	.	,016	,552
		N	30	30	30	30

Correlations

			COP	AG	PHR	MOR
Spearman's rho	PHR	Correlation Coefficient	,315	,435*	1,000	,495**
		Sig. (2-tailed)	,090	,016	.	,005
		N	30	30	30	30
	MOR	Correlation Coefficient	,227	,113	,495**	1,000
		Sig. (2-tailed)	,228	,552	,005	.
		N	30	30	30	30
	GHR	Correlation Coefficient	-,147	-,012	-,369*	-,009
		Sig. (2-tailed)	,439	,950	,045	,964
		N	30	30	30	30
	Food	Correlation Coefficient	,212	,195	,187	-,048
		Sig. (2-tailed)	,260	,301	,322	,803
		N	30	30	30	30
	FT	Correlation Coefficient	-,042	-,325	,071	,322
		Sig. (2-tailed)	,826	,080	,709	,082
		N	30	30	30	30
	TF	Correlation Coefficient	,427*	,212	,259	,230
		Sig. (2-tailed)	,019	,260	,168	,221
		N	30	30	30	30
	T	Correlation Coefficient	-,124	-,322	-,335	-,306
		Sig. (2-tailed)	,515	,083	,071	,100
		N	30	30	30	30
	H	Correlation Coefficient	-,135	-,204	-,105	,072
		Sig. (2-tailed)	,475	,279	,581	,705
		N	30	30	30	30
	ParaH	Correlation Coefficient	-,182	-,248	-,042	,054
		Sig. (2-tailed)	,335	,187	,827	,777
		N	30	30	30	30
	Hd	Correlation Coefficient	-,167	-,069	,410*	,164
		Sig. (2-tailed)	,377	,718	,024	,386
		N	30	30	30	30
	ParaHd	Correlation Coefficient	-,418*	,097	-,092	-,275
		Sig. (2-tailed)	,022	,610	,627	,142
		N	30	30	30	30
	HX	Correlation Coefficient	,308	,063	,279	,537**
		Sig. (2-tailed)	,097	,740	,135	,002
		N	30	30	30	30
	AMBtot	Correlation Coefficient	-,042	,051	,033	-,200
		Sig. (2-tailed)	,824	,789	,861	,288
		N	30	30	30	30
	DCM	Correlation Coefficient	-,371*	,045	,156	,183
		Sig. (2-tailed)	,044	,812	,409	,333
		N	30	30	30	30
	Dsup	Correlation Coefficient	-,330	-,138	,066	-,169
		Sig. (2-tailed)	,075	,468	,730	,371
		N	30	30	30	30
	AE	Correlation Coefficient	,100	,112	,019	,114
		Sig. (2-tailed)	,597	,555	,920	,548
		N	30	30	30	30
	Spro	Correlation Coefficient	-,173	,127	-,267	-,102
		Sig. (2-tailed)	,359	,503	,153	,591
		N	30	30	30	30
	Spri	Correlation Coefficient	,040	,019	-,065	-,252
		Sig. (2-tailed)	,833	,919	,735	,180
		N	30	30	30	30

Correlations

			COP	AG	PHR	MOR
Spearman's rho	AGdom	Correlation Coefficient	-,209	-,166	,034	,050
		Sig. (2-tailed)	,268	,382	,857	,793
		N	30	30	30	30
	AGor	Correlation Coefficient	,156	,061	,225	,249
		Sig. (2-tailed)	,409	,750	,231	,184
		N	30	30	30	30
	Nor	Correlation Coefficient	-,330	-,101	-,075	-,230
		Sig. (2-tailed)	,075	,597	,694	,222
		N	30	30	30	30
	AgA	Correlation Coefficient	,009	-,208	,051	-,219
		Sig. (2-tailed)	,961	.271	,788	,245
		N	30	30	30	30
	AGven	Correlation Coefficient	,302	,092	,156	,403*
		Sig. (2-tailed)	,105	,628	,410	,027
		N	30	30	30	30
	AGcel	Correlation Coefficient	,155	,021	,040	,317
		Sig. (2-tailed)	,415	,913	,834	,088
		N	30	30	30	30
	Agdef	Correlation Coefficient	-,068	-,141	,032	,050
		Sig. (2-tailed)	,720	,458	,866	,794
		N	30	30	30	30
	Tag	Correlation Coefficient	-,362*	-,311	-,185	-,175
		Sig. (2-tailed)	,049	,095	,328	,354
		N	30	30	30	30
	Nafct	Correlation Coefficient	-,068	-,141	,032	,050
		Sig. (2-tailed)	,720	,458	,866	,794
		N	30	30	30	30
	Nafil	Correlation Coefficient	,003	,250	-,024	-,178
		Sig. (2-tailed)	,988	,182	,902	,347
		N	30	30	30	30
	Day	Correlation Coefficient	-,284	-,247	-,315	-,344
		Sig. (2-tailed)	,129	,189	,090	,062
		N	30	30	30	30
	Npro	Correlation Coefficient	,266	-,175	,148	,286
		Sig. (2-tailed)	,156	,354	,434	,125
		N	30	30	30	30
	ANStot	Correlation Coefficient	-,102	,331	,246	,339
		Sig. (2-tailed)	,590	,074	,190	,067
		N	30	30	30	30
	DEP	Correlation Coefficient	,022	,051	,348	,121
		Sig. (2-tailed)	,908	,791	,060	,523
		N	30	30	30	30
	ACC	Correlation Coefficient	-,141	,180	,014	,015
		Sig. (2-tailed)	,457	,342	,942	,937
		N	30	30	30	30
	ESTR	Correlation Coefficient	-,210	-,199	,171	,205
		Sig. (2-tailed)	,265	,291	,368	,277
		N	30	30	30	30
	PRESEX	Correlation Coefficient	,031	-,070	,040	-,109
		Sig. (2-tailed)	,871	,715	,834	,568
		N	30	30	30	30
	MORAL	Correlation Coefficient	-,033	-,086	-,228	-,291
		Sig. (2-tailed)	,864	,651	,226	,119
		N	30	30	30	30

Correlations

			COP	AG	PHR	MOR
Spearman's rho	RELMA	Correlation Coefficient	,462*	,386*	,172	-,002
		Sig. (2-tailed)	,010	,035	,365	,991
		N	30	30	30	30
	RELPA	Correlation Coefficient	-,273	-,154	,082	-,007
		Sig. (2-tailed)	,145	,418	,667	,972
		N	30	30	30	30
	REP	Correlation Coefficient	-,009	,087	,015	-,212
		Sig. (2-tailed)	,963	,648	,939	,261
		N	30	30	30	30
	Napro	Correlation Coefficient	-,104	,115	,003	,047
		Sig. (2-tailed)	,584	,545	,985	,806
		N	30	30	30	30
	AGinstr	Correlation Coefficient	,247	-,224	-,065	,157
		Sig. (2-tailed)	,188	,235	,732	,409
		N	30	30	30	30

Correlations

			GHR	Food	FT	TF
Spearman's rho	CDI	Correlation Coefficient	-,359	,134	,221	,076
		Sig. (2-tailed)	,052	,481	,240	,689
		N	30	30	30	30
	act	Correlation Coefficient	-,057	,329	-,110	,235
		Sig. (2-tailed)	,765	,075	,561	,211
		N	30	30	30	30
	pas	Correlation Coefficient	,076	-,398*	,411*	-,198
		Sig. (2-tailed)	,689	,030	,024	,295
		N	30	30	30	30
	Afr	Correlation Coefficient	-,083	,234	-,081	-,040
		Sig. (2-tailed)	,661	,214	,669	,835
		N	30	30	30	30
	Ag2A	Correlation Coefficient	,174	,050	-,246	-,210
		Sig. (2-tailed)	,367	,797	,197	,273
		N	29	29	29	29
	Ag1V	Correlation Coefficient	.	.	.	.
		Sig. (2-tailed)	.	.	.	.
		N	30	30	30	30
	Ag2V	Correlation Coefficient	,183	,221	,030	,196
		Sig. (2-tailed)	,334	,240	,876	,299
		N	30	30	30	30
	Ag1R	Correlation Coefficient	-,226	,356	,382*	,614**
		Sig. (2-tailed)	,230	,053	,037	,000
		N	30	30	30	30
	Ag2R	Correlation Coefficient	,074	,317	-,225	,000
		Sig. (2-tailed)	,697	,087	,233	1,000
		N	30	30	30	30
	AgC	Correlation Coefficient	-,054	,180	-,212	-,023
		Sig. (2-tailed)	,776	,342	,260	,904
		N	30	30	30	30
	AgPast	Correlation Coefficient	,033	,135	,282	,431*
		Sig. (2-tailed)	,862	,477	,131	,017
		N	30	30	30	30
	AgPot	Correlation Coefficient	-,040	-,056	-,121	,092
		Sig. (2-tailed)	,833	,768	,524	,627
		N	30	30	30	30
	Ag1O	Correlation Coefficient	-,154	,284	,123	,105
		Sig. (2-tailed)	,417	,128	,518	,579
		N	30	30	30	30
	Ag2O	Correlation Coefficient	,224	,352	-,190	,264
		Sig. (2-tailed)	,233	,056	,314	,158
		N	30	30	30	30
	Ag1A	Correlation Coefficient	-,304	,119	-,018	,070
		Sig. (2-tailed)	,103	,531	,924	,714
		N	30	30	30	30
	PER	Correlation Coefficient	-,073	-,303	-,062	-,336
		Sig. (2-tailed)	,703	,104	,744	,070
		N	30	30	30	30
	COP	Correlation Coefficient	-,147	,212	-,042	,427*
		Sig. (2-tailed)	,439	,260	,826	,019
		N	30	30	30	30
	AG	Correlation Coefficient	-,012	,195	-,325	,212
		Sig. (2-tailed)	,950	,301	,080	,260
		N	30	30	30	30

Correlations

			GHR	Food	FT	TF
Spearman's rho	PHR	Correlation Coefficient	-,369*	,187	,071	,259
		Sig. (2-tailed)	,045	,322	,709	,168
		N	30	30	30	30
	MOR	Correlation Coefficient	-,009	-,048	,322	,230
		Sig. (2-tailed)	,964	,803	,082	,221
		N	30	30	30	30
	GHR	Correlation Coefficient	1,000	-,098	,072	-,178
		Sig. (2-tailed)	.	,606	,705	,345
		N	30	30	30	30
	Food	Correlation Coefficient	-,098	1,000	,039	,293
		Sig. (2-tailed)	,606	.	,838	,116
		N	30	30	30	30
	FT	Correlation Coefficient	,072	,039	1,000	,131
		Sig. (2-tailed)	,705	,838	.	,490
		N	30	30	30	30
	TF	Correlation Coefficient	-,178	,293	,131	1,000
		Sig. (2-tailed)	,345	,116	,490	.
		N	30	30	30	30
	T	Correlation Coefficient	,142	,035	-,214	,301
		Sig. (2-tailed)	,454	,856	,256	,106
		N	30	30	30	30
	H	Correlation Coefficient	,632**	,016	,296	-,157
		Sig. (2-tailed)	,000	,935	,113	,407
		N	30	30	30	30
	ParaH	Correlation Coefficient	,391*	,077	,270	,036
		Sig. (2-tailed)	,033	,687	,149	,850
		N	30	30	30	30
	Hd	Correlation Coefficient	-,054	-,121	-,028	-,281
		Sig. (2-tailed)	,776	,524	,882	,132
		N	30	30	30	30
	ParaHd	Correlation Coefficient	,355	-,030	-,176	-,131
		Sig. (2-tailed)	,054	,874	,352	,490
		N	30	30	30	30
	HX	Correlation Coefficient	-,228	-,138	,106	,210
		Sig. (2-tailed)	,226	,468	,576	,266
		N	30	30	30	30
	AMBtot	Correlation Coefficient	,018	,031	-,116	-,176
		Sig. (2-tailed)	,926	,871	,541	,353
		N	30	30	30	30
	DCM	Correlation Coefficient	,013	-,154	,012	-,022
		Sig. (2-tailed)	,947	,417	,950	,909
		N	30	30	30	30
	Dsup	Correlation Coefficient	-,067	-,094	,010	-,214
		Sig. (2-tailed)	,727	,620	,959	,256
		N	30	30	30	30
	AE	Correlation Coefficient	-,127	,022	,323	-,103
		Sig. (2-tailed)	,503	,907	,082	,588
		N	30	30	30	30
	Spro	Correlation Coefficient	,314	,039	-,119	-,153
		Sig. (2-tailed)	,091	,838	,533	,418
		N	30	30	30	30
	Spri	Correlation Coefficient	-,092	,013	-,267	-,131
		Sig. (2-tailed)	,629	,948	,154	,492
		N	30	30	30	30

Correlations

			GHR	Food	FT	TF
Spearman's rho	AGdom	Correlation Coefficient	,121	,027	,129	-,051
		Sig. (2-tailed)	,525	,889	,496	,789
		N	30	30	30	30
	AGor	Correlation Coefficient	-,139	,046	,177	-,044
		Sig. (2-tailed)	,464	,810	,350	,818
		N	30	30	30	30
	Nor	Correlation Coefficient	,347	-,016	,019	,006
		Sig. (2-tailed)	,060	,932	,921	,976
		N	30	30	30	30
	AgA	Correlation Coefficient	-,049	,307	-,213	-,006
		Sig. (2-tailed)	,795	,098	,259	,976
		N	30	30	30	30
	AGven	Correlation Coefficient	-,132	,278	,045	,049
		Sig. (2-tailed)	,486	,136	,814	,795
		N	30	30	30	30
	AGcel	Correlation Coefficient	,341	,006	,486**	,029
		Sig. (2-tailed)	,065	,975	,006	,878
		N	30	30	30	30
	Agdef	Correlation Coefficient	-,050	-,274	,055	,065
		Sig. (2-tailed)	,793	,143	,771	,732
		N	30	30	30	30
	Tag	Correlation Coefficient	-,027	-,109	,034	-,175
		Sig. (2-tailed)	,888	,567	,858	,356
		N	30	30	30	30
	Nafct	Correlation Coefficient	-,050	-,274	,055	,065
		Sig. (2-tailed)	,793	,143	,771	,732
		N	30	30	30	30
	Nafil	Correlation Coefficient	,133	,111	,122	,069
		Sig. (2-tailed)	,484	,559	,522	,718
		N	30	30	30	30
	Day	Correlation Coefficient	,100	,205	-,179	,070
		Sig. (2-tailed)	,600	,278	,343	,714
		N	30	30	30	30
	Npro	Correlation Coefficient	,292	-,031	,271	,038
		Sig. (2-tailed)	,117	,870	,147	,841
		N	30	30	30	30
	ANStot	Correlation Coefficient	,041	-,101	-,162	-,079
		Sig. (2-tailed)	,831	,597	,393	,677
		N	30	30	30	30
	DEP	Correlation Coefficient	-,035	,168	-,098	-,006
		Sig. (2-tailed)	,853	,376	,606	,976
		N	30	30	30	30
	ACC	Correlation Coefficient	-,036	,080	,057	-,210
		Sig. (2-tailed)	,852	,674	,764	,265
		N	30	30	30	30
	ESTR	Correlation Coefficient	,073	-,283	-,156	-,138
		Sig. (2-tailed)	,701	,130	,409	,468
		N	30	30	30	30
	PRESEX	Correlation Coefficient	,087	-,004	,245	-,012
		Sig. (2-tailed)	,646	,983	,192	,950
		N	30	30	30	30
	MORAL	Correlation Coefficient	,078	,050	-,029	,162
		Sig. (2-tailed)	,684	,792	,878	,394
		N	30	30	30	30

Correlations

			GHR	Food	FT	TF
Spearman's rho	RELMA	Correlation Coefficient	,047	,066	,055	,351
		Sig. (2-tailed)	,805	,729	,774	,058
		N	30	30	30	30
	RELPA	Correlation Coefficient	-,372*	-,199	,283	,044
		Sig. (2-tailed)	,043	,292	,130	,819
		N	30	30	30	30
	REP	Correlation Coefficient	-,149	,372*	-,117	-,190
		Sig. (2-tailed)	,432	,043	,540	,314
		N	30	30	30	30
	Napro	Correlation Coefficient	,396*	-,109	,052	,105
		Sig. (2-tailed)	,030	,567	,783	,582
		N	30	30	30	30
	AGinstr	Correlation Coefficient	-,044	-,148	,199	-,073
		Sig. (2-tailed)	,819	,435	,293	,702
		N	30	30	30	30

Correlations

			T	H	ParaH	Hd
Spearman's rho	AGdom	Correlation Coefficient	-,159	,102	,256	,247
		Sig. (2-tailed)	,402	,593	,172	,187
		N	30	30	30	30
	AGor	Correlation Coefficient	-,159	,033	,223	,085
		Sig. (2-tailed)	,402	,864	,236	,655
		N	30	30	30	30
	Nor	Correlation Coefficient	,175	,234	,189	-,012
		Sig. (2-tailed)	,354	,213	,318	,951
		N	30	30	30	30
	AgA	Correlation Coefficient	,236	-,029	,109	,327
		Sig. (2-tailed)	,209	,878	,568	,077
		N	30	30	30	30
	AGven	Correlation Coefficient	-,235	,057	,145	-,207
		Sig. (2-tailed)	,210	,764	,445	,273
		N	30	30	30	30
	AGcel	Correlation Coefficient	-,159	,387*	,326	-,004
		Sig. (2-tailed)	,402	,035	,079	,983
		N	30	30	30	30
	Agdef	Correlation Coefficient	,006	,215	-,069	-,151
		Sig. (2-tailed)	,974	,254	,716	,427
		N	30	30	30	30
	Tag	Correlation Coefficient	-,119	,182	,150	,035
		Sig. (2-tailed)	,532	,336	,430	,852
		N	30	30	30	30
	Nafct	Correlation Coefficient	,006	,215	-,069	-,151
		Sig. (2-tailed)	,974	,254	,716	,427
		N	30	30	30	30
	Nafil	Correlation Coefficient	,017	-,071	,210	-,050
		Sig. (2-tailed)	,928	,708	,265	,793
		N	30	30	30	30
	Day	Correlation Coefficient	,547**	,211	,251	-,397*
		Sig. (2-tailed)	,002	,263	,181	,030
		N	30	30	30	30
	Npro	Correlation Coefficient	-,146	,303	,064	,204
		Sig. (2-tailed)	,441	,104	,738	,281
		N	30	30	30	30
	ANStot	Correlation Coefficient	,034	-,003	-,140	,018
		Sig. (2-tailed)	,858	,986	,460	,927
		N	30	30	30	30
	DEP	Correlation Coefficient	,157	,067	,188	,088
		Sig. (2-tailed)	,409	,725	,320	,644
		N	30	30	30	30
	ACC	Correlation Coefficient	-,374*	-,140	-,011	,025
		Sig. (2-tailed)	,042	,462	,956	,894
		N	30	30	30	30
	ESTR	Correlation Coefficient	,037	,116	-,042	,467**
		Sig. (2-tailed)	,845	,541	,827	,009
		N	30	30	30	30
	PRESEX	Correlation Coefficient	-,096	,087	,146	,217
		Sig. (2-tailed)	,613	,646	,440	,248
		N	30	30	30	30
	MORAL	Correlation Coefficient	,207	,076	,369*	-,503**
		Sig. (2-tailed)	,272	,691	,045	,005
		N	30	30	30	30

Correlations

			T	H	ParaH	Hd
Spearman's rho	PHR	Correlation Coefficient	-,335	-,105	-,042	,410*
		Sig. (2-tailed)	,071	,581	,827	,024
		N	30	30	30	30
	MOR	Correlation Coefficient	-,306	,072	,054	,164
		Sig. (2-tailed)	,100	,705	,777	,386
		N	30	30	30	30
	GHR	Correlation Coefficient	,142	,632**	,391*	-,054
		Sig. (2-tailed)	,454	,000	,033	,776
		N	30	30	30	30
	Food	Correlation Coefficient	,035	,016	,077	-,121
		Sig. (2-tailed)	,856	,935	,687	,524
		N	30	30	30	30
	FT	Correlation Coefficient	-,214	,296	,270	-,028
		Sig. (2-tailed)	,256	,113	,149	,882
		N	30	30	30	30
	TF	Correlation Coefficient	,301	-,157	,036	-,281
		Sig. (2-tailed)	,106	,407	,850	,132
		N	30	30	30	30
	T	Correlation Coefficient	1,000	,079	,213	-,304
		Sig. (2-tailed)	.	,679	,258	,103
		N	30	30	30	30
	H	Correlation Coefficient	,079	1,000	,524**	-,148
		Sig. (2-tailed)	,679	.	,003	,435
		N	30	30	30	30
	ParaH	Correlation Coefficient	,213	,524**	1,000	-,168
		Sig. (2-tailed)	,258	,003	.	,376
		N	30	30	30	30
	Hd	Correlation Coefficient	-,304	-,148	-,168	1,000
		Sig. (2-tailed)	,103	,435	,376	.
		N	30	30	30	30
	ParaHd	Correlation Coefficient	,044	,122	,100	,233
		Sig. (2-tailed)	,817	,521	,601	,215
		N	30	30	30	30
	HX	Correlation Coefficient	-,184	-,199	-,205	,094
		Sig. (2-tailed)	,329	,292	,277	,620
		N	30	30	30	30
	AMBtot	Correlation Coefficient	,125	,127	-,060	-,093
		Sig. (2-tailed)	,511	,503	,754	,624
		N	30	30	30	30
	DCM	Correlation Coefficient	,158	-,046	-,087	,177
		Sig. (2-tailed)	,405	,809	,648	,350
		N	30	30	30	30
	Dsup	Correlation Coefficient	-,146	,090	,161	,377*
		Sig. (2-tailed)	,442	,635	,394	,040
		N	30	30	30	30
	AE	Correlation Coefficient	-,428*	-,107	-,042	,202
		Sig. (2-tailed)	,018	,572	,827	,283
		N	30	30	30	30
	Spro	Correlation Coefficient	-,104	-,121	-,336	,119
		Sig. (2-tailed)	,583	,525	,069	,533
		N	30	30	30	30
	Spri	Correlation Coefficient	-,089	-,077	-,062	,172
		Sig. (2-tailed)	,640	,686	,743	,364
		N	30	30	30	30

Correlations

			T	H	ParaH	Hd
Spearman's rho	CDI	Correlation Coefficient	,107	-,137	,003	-,159
		Sig. (2-tailed)	,572	,469	,986	,401
		N	30	30	30	30
	act	Correlation Coefficient	-,318	-,108	-,229	-,258
		Sig. (2-tailed)	,087	,571	,224	,169
		N	30	30	30	30
	pas	Correlation Coefficient	-,095	,168	,183	,120
		Sig. (2-tailed)	,617	,374	,333	,527
		N	30	30	30	30
	Afr	Correlation Coefficient	-,062	-,010	-,053	-,057
		Sig. (2-tailed)	,744	,957	,780	,763
		N	30	30	30	30
	Ag2A	Correlation Coefficient	-,260	-,025	,114	,036
		Sig. (2-tailed)	,173	,896	,556	,854
		N	29	29	29	29
	Ag1V	Correlation Coefficient	.	.	.	.
		Sig. (2-tailed)	.	.	.	.
		N	30	30	30	30
	Ag2V	Correlation Coefficient	-,089	,151	,259	-,193
		Sig. (2-tailed)	,640	,427	,167	,308
		N	30	30	30	30
	Ag1R	Correlation Coefficient	-,119	-,110	,055	-,128
		Sig. (2-tailed)	,530	,562	,773	,499
		N	30	30	30	30
	Ag2R	Correlation Coefficient	-,251	,090	-,069	,159
		Sig. (2-tailed)	,180	,636	,716	,401
		N	30	30	30	30
	AgC	Correlation Coefficient	-,377*	-,027	-,341	-,036
		Sig. (2-tailed)	,040	,887	,065	,850
		N	30	30	30	30
	AgPast	Correlation Coefficient	-,159	,023	,107	-,276
		Sig. (2-tailed)	,401	,905	,575	,140
		N	30	30	30	30
	AgPot	Correlation Coefficient	,025	-,136	,027	,040
		Sig. (2-tailed)	,895	,474	,889	,834
		N	30	30	30	30
	Ag1O	Correlation Coefficient	-,104	-,180	,084	,471**
		Sig. (2-tailed)	,583	,342	,659	,009
		N	30	30	30	30
	Ag2O	Correlation Coefficient	-,164	,140	-,013	-,101
		Sig. (2-tailed)	,385	,461	,947	,597
		N	30	30	30	30
	Ag1A	Correlation Coefficient	-,119	,067	-,079	-,011
		Sig. (2-tailed)	,531	,725	,677	,955
		N	30	30	30	30
	PER	Correlation Coefficient	-,229	-,197	-,160	,466**
		Sig. (2-tailed)	,224	,298	,400	,009
		N	30	30	30	30
	COP	Correlation Coefficient	-,124	-,135	-,182	-,167
		Sig. (2-tailed)	,515	,475	,335	,377
		N	30	30	30	30
	AG	Correlation Coefficient	-,322	-,204	-,248	-,069
		Sig. (2-tailed)	,083	,279	,187	,718
		N	30	30	30	30

Correlations

			ParaHd	HX	AMBtot	DCM
Spearman's rho	CDI	Correlation Coefficient	,153	,037	-,010	,095
		Sig. (2-tailed)	,419	,847	,958	,619
		N	30	30	30	30
	act	Correlation Coefficient	-,347	,319	-,100	-,130
		Sig. (2-tailed)	,060	,085	,600	,494
		N	30	30	30	30
	pas	Correlation Coefficient	-,193	-,094	-,081	-,222
		Sig. (2-tailed)	,307	,622	,671	,239
		N	30	30	30	30
	Afr	Correlation Coefficient	-,267	,086	-,362*	,019
		Sig. (2-tailed)	,153	,653	,049	,919
		N	30	30	30	30
	Ag2A	Correlation Coefficient	,186	-,215	,135	,016
		Sig. (2-tailed)	,334	,262	,485	,935
		N	29	29	29	29
	Ag1V	Correlation Coefficient	.	.	.	.
		Sig. (2-tailed)	.	.	.	.
		N	30	30	30	30
	Ag2V	Correlation Coefficient	-,059	-,230	-,007	-,198
		Sig. (2-tailed)	,755	,221	,970	,294
		N	30	30	30	30
	Ag1R	Correlation Coefficient	-,359	,278	-,097	,159
		Sig. (2-tailed)	,052	,137	,609	,400
		N	30	30	30	30
	Ag2R	Correlation Coefficient	,045	-,151	,209	-,114
		Sig. (2-tailed)	,814	,426	,268	,547
		N	30	30	30	30
	AgC	Correlation Coefficient	-,031	-,161	-,167	,094
		Sig. (2-tailed)	,872	,396	,379	,621
		N	30	30	30	30
	AgPast	Correlation Coefficient	-,227	,243	,117	-,025
		Sig. (2-tailed)	,228	,195	,539	,894
		N	30	30	30	30
	AgPot	Correlation Coefficient	,055	,190	-,333	,374*
		Sig. (2-tailed)	,772	,314	,073	,042
		N	30	30	30	30
	Ag1O	Correlation Coefficient	-,131	,070	-,075	,047
		Sig. (2-tailed)	,491	,712	,693	,804
		N	30	30	30	30
	Ag2O	Correlation Coefficient	,153	-,085	-,255	-,064
		Sig. (2-tailed)	,421	,655	,175	,736
		N	30	30	30	30
	Ag1A	Correlation Coefficient	-,018	,329	,014	-,265
		Sig. (2-tailed)	,924	,076	,941	,158
		N	30	30	30	30
	PER	Correlation Coefficient	,063	,007	-,117	,237
		Sig. (2-tailed)	,739	,970	,538	,208
		N	30	30	30	30
	COP	Correlation Coefficient	-,418*	,308	-,042	-,371*
		Sig. (2-tailed)	,022	,097	,824	,044
		N	30	30	30	30
	AG	Correlation Coefficient	,097	,063	,051	,045
		Sig. (2-tailed)	,610	,740	,789	,812
		N	30	30	30	30

Correlations

			T	H	ParaH	Hd
Spearman's rho	RELMA	Correlation Coefficient	-,106	-,163	,001	-,026
		Sig. (2-tailed)	,576	,389	,996	,891
		N	30	30	30	30
	RELPA	Correlation Coefficient	,030	-,291	-,143	,025
		Sig. (2-tailed)	,876	,119	,451	,895
		N	30	30	30	30
	REP	Correlation Coefficient	-,291	-,111	-,070	,146
		Sig. (2-tailed)	,118	,560	,715	,441
		N	30	30	30	30
	Napro	Correlation Coefficient	-,119	,084	,098	,320
		Sig. (2-tailed)	,531	,658	,608	,084
		N	30	30	30	30
	AGinstr	Correlation Coefficient	-,050	,069	-,046	-,011
		Sig. (2-tailed)	,795	,718	,811	,954
		N	30	30	30	30

Correlations

			ParaHd	HX	AMBtot	DCM
Spearman's rho	AGdom	Correlation Coefficient	,070	-,164	-,278	-,193
		Sig. (2-tailed)	,712	,386	,136	,306
		N	30	30	30	30
	AGor	Correlation Coefficient	,117	,164	,283	-,186
		Sig. (2-tailed)	,540	,387	,130	,325
		N	30	30	30	30
	Nor	Correlation Coefficient	,414*	-,285	,084	-,022
		Sig. (2-tailed)	,023	,127	,660	,908
		N	30	30	30	30
	AgA	Correlation Coefficient	,095	,004	,048	-,054
		Sig. (2-tailed)	,616	,985	,799	,775
		N	30	30	30	30
	AGven	Correlation Coefficient	-,279	,224	-,078	-,016
		Sig. (2-tailed)	,136	,234	,682	,935
		N	30	30	30	30
	AGcel	Correlation Coefficient	,015	-,156	,054	-,054
		Sig. (2-tailed)	,939	,410	,777	,775
		N	30	30	30	30
	Agdef	Correlation Coefficient	-,182	-,193	-,238	,027
		Sig. (2-tailed)	,335	,307	,206	,889
		N	30	30	30	30
	Tag	Correlation Coefficient	-,018	-,165	-,200	-,079
		Sig. (2-tailed)	,924	,384	,289	,678
		N	30	30	30	30
	Nafct	Correlation Coefficient	-,182	-,193	-,238	,027
		Sig. (2-tailed)	,335	,307	,206	,889
		N	30	30	30	30
	Nafil	Correlation Coefficient	-,080	-,219	-,093	,191
		Sig. (2-tailed)	,673	,244	,626	,313
		N	30	30	30	30
	Day	Correlation Coefficient	,321	-,308	,140	-,061
		Sig. (2-tailed)	,084	,098	,460	,749
		N	30	30	30	30
	Npro	Correlation Coefficient	-,307	,084	-,306	-,173
		Sig. (2-tailed)	,099	,658	,100	,359
		N	30	30	30	30
	ANStot	Correlation Coefficient	-,084	,229	,076	,525**
		Sig. (2-tailed)	,659	,223	,688	,003
		N	30	30	30	30
	DEP	Correlation Coefficient	-,085	,011	,376*	,020
		Sig. (2-tailed)	,656	,955	,041	,916
		N	30	30	30	30
	ACC	Correlation Coefficient	,079	-,041	-,249	,047
		Sig. (2-tailed)	,678	,829	,184	,804
		N	30	30	30	30
	ESTR	Correlation Coefficient	-,002	,083	-,102	,255
		Sig. (2-tailed)	,991	,661	,592	,174
		N	30	30	30	30
	PRESEX	Correlation Coefficient	,075	-,210	,128	-,125
		Sig. (2-tailed)	,695	,265	,501	,511
		N	30	30	30	30
	MORAL	Correlation Coefficient	,089	-,146	,119	-,299
		Sig. (2-tailed)	,639	,442	,532	,108
		N	30	30	30	30

Correlations

			ParaHd	HX	AMBtot	DCM
Spearman's rho	PHR	Correlation Coefficient	-,092	,279	,033	,156
		Sig. (2-tailed)	,627	,135	,861	,409
		N	30	30	30	30
	MOR	Correlation Coefficient	-,275	,537**	-,200	,183
		Sig. (2-tailed)	,142	,002	,288	,333
		N	30	30	30	30
	GHR	Correlation Coefficient	,355	-,228	,018	,013
		Sig. (2-tailed)	,054	,226	,926	,947
		N	30	30	30	30
	Food	Correlation Coefficient	-,030	-,138	,031	-,154
		Sig. (2-tailed)	,874	,468	,871	,417
		N	30	30	30	30
	FT	Correlation Coefficient	-,176	,106	-,116	,012
		Sig. (2-tailed)	,352	,576	,541	,950
		N	30	30	30	30
	TF	Correlation Coefficient	-,131	,210	-,176	-,022
		Sig. (2-tailed)	,490	,266	,353	,909
		N	30	30	30	30
	T	Correlation Coefficient	,044	-,184	,125	,158
		Sig. (2-tailed)	,817	,329	,511	,405
		N	30	30	30	30
	H	Correlation Coefficient	,122	-,199	,127	-,046
		Sig. (2-tailed)	,521	,292	,503	,809
		N	30	30	30	30
	ParaH	Correlation Coefficient	,100	-,205	-,060	-,087
		Sig. (2-tailed)	,601	,277	,754	,648
		N	30	30	30	30
	Hd	Correlation Coefficient	,233	,094	-,093	,177
		Sig. (2-tailed)	,215	,620	,624	,350
		N	30	30	30	30
	ParaHd	Correlation Coefficient	1,000	-,253	,043	-,012
		Sig. (2-tailed)	.	,177	,820	,950
		N	30	30	30	30
	HX	Correlation Coefficient	-,253	1,000	-,173	,011
		Sig. (2-tailed)	,177	.	,362	,954
		N	30	30	30	30
	AMBtot	Correlation Coefficient	,043	-,173	1,000	,044
		Sig. (2-tailed)	,820	,362	.	,817
		N	30	30	30	30
	DCM	Correlation Coefficient	-,012	,011	,044	1,000
		Sig. (2-tailed)	,950	,954	,817	.
		N	30	30	30	30
	Dsup	Correlation Coefficient	,486**	-,095	-,024	-,168
		Sig. (2-tailed)	,006	,616	,899	,376
		N	30	30	30	30
	AE	Correlation Coefficient	,092	,232	-,121	-,210
		Sig. (2-tailed)	,627	,217	,525	,265
		N	30	30	30	30
	Spro	Correlation Coefficient	,380*	-,040	-,133	,181
		Sig. (2-tailed)	,038	,835	,485	,338
		N	30	30	30	30
	Spri	Correlation Coefficient	-,267	-,230	-,027	,013
		Sig. (2-tailed)	,154	,222	,887	,945
		N	30	30	30	30

Correlations

			ParaHd	HX	AMBtot	DCM
Spearman's rho	RELMA	Correlation Coefficient	-,027	-,064	-,232	-,357
		Sig. (2-tailed)	,886	,737	,217	,052
		N	30	30	30	30
	RELPA	Correlation Coefficient	,006	-,152	,092	,289
		Sig. (2-tailed)	,975	,422	,628	,122
		N	30	30	30	30
	REP	Correlation Coefficient	,120	-,136	-,199	-,397*
		Sig. (2-tailed)	,528	,472	,291	,030
		N	30	30	30	30
	Napro	Correlation Coefficient	,446*	-,084	-,370*	,063
		Sig. (2-tailed)	,014	,657	,044	,742
		N	30	30	30	30
	AGinstr	Correlation Coefficient	-,149	,282	-,154	-,110
		Sig. (2-tailed)	,432	,131	,415	,562
		N	30	30	30	30

Correlations

			Dsup	AE	Spro	Spri
Spearman's rho	CDI	Correlation Coefficient	,130	,086	,099	,018
		Sig. (2-tailed)	,495	,650	,603	,926
		N	30	30	30	30
	act	Correlation Coefficient	-,341	-,001	,034	,052
		Sig. (2-tailed)	,065	,997	,860	,783
		N	30	30	30	30
	pas	Correlation Coefficient	,023	-,120	-,136	-,048
		Sig. (2-tailed)	,905	,527	,473	,799
		N	30	30	30	30
	Afr	Correlation Coefficient	-,146	-,221	,236	-,177
		Sig. (2-tailed)	,442	,240	,209	,349
		N	30	30	30	30
	Ag2A	Correlation Coefficient	,145	,044	-,022	,107
		Sig. (2-tailed)	,454	,822	,908	,580
		N	29	29	29	29
	Ag1V	Correlation Coefficient	.	.	.	.
		Sig. (2-tailed)	.	.	.	.
		N	30	30	30	30
	Ag2V	Correlation Coefficient	-,182	-,226	-,130	-,111
		Sig. (2-tailed)	,336	,230	,492	,559
		N	30	30	30	30
	Ag1R	Correlation Coefficient	-,244	,153	-,175	-,149
		Sig. (2-tailed)	,194	,421	,355	,432
		N	30	30	30	30
	Ag2R	Correlation Coefficient	,173	,140	,016	-,152
		Sig. (2-tailed)	,362	,461	,935	,423
		N	30	30	30	30
	AgC	Correlation Coefficient	-,082	-,117	,168	-,062
		Sig. (2-tailed)	,666	,537	,376	,745
		N	30	30	30	30
	AgPast	Correlation Coefficient	-,179	,263	-,050	-,198
		Sig. (2-tailed)	,344	,160	,795	,293
		N	30	30	30	30
	AgPot	Correlation Coefficient	-,286	-,250	-,081	-,073
		Sig. (2-tailed)	,125	,182	,672	,701
		N	30	30	30	30
	Ag1O	Correlation Coefficient	-,030	-,036	-,153	-,130
		Sig. (2-tailed)	,873	,851	,420	,493
		N	30	30	30	30
	Ag2O	Correlation Coefficient	-,088	-,155	,114	-,117
		Sig. (2-tailed)	,645	,414	,549	,539
		N	30	30	30	30
	Ag1A	Correlation Coefficient	,178	,213	-,174	-,148
		Sig. (2-tailed)	,346	,260	,357	,434
		N	30	30	30	30
	PER	Correlation Coefficient	,252	,226	,104	,232
		Sig. (2-tailed)	,180	,229	,585	,216
		N	30	30	30	30
	COP	Correlation Coefficient	-,330	,100	-,173	,040
		Sig. (2-tailed)	,075	,597	,359	,833
		N	30	30	30	30
	AG	Correlation Coefficient	-,138	,112	,127	,019
		Sig. (2-tailed)	,468	,555	,503	,919
		N	30	30	30	30

Correlations

			Dsup	AE	Spro	Spri
Spearman's rho	PHR	Correlation Coefficient	,066	,019	-,267	-,065
		Sig. (2-tailed)	,730	,920	,153	,735
		N	30	30	30	30
	MOR	Correlation Coefficient	-,169	,114	-,102	-,252
		Sig. (2-tailed)	,371	,548	,591	,180
		N	30	30	30	30
	GHR	Correlation Coefficient	-,067	-,127	,314	-,092
		Sig. (2-tailed)	,727	,503	,091	,629
		N	30	30	30	30
	Food	Correlation Coefficient	-,094	,022	,039	,013
		Sig. (2-tailed)	,620	,907	,838	,948
		N	30	30	30	30
	FT	Correlation Coefficient	,010	,323	-,119	-,267
		Sig. (2-tailed)	,959	,082	,533	,154
		N	30	30	30	30
	TF	Correlation Coefficient	-,214	-,103	-,153	-,131
		Sig. (2-tailed)	,256	,588	,418	,492
		N	30	30	30	30
	T	Correlation Coefficient	-,146	-,428*	-,104	-,089
		Sig. (2-tailed)	,442	,018	,583	,640
		N	30	30	30	30
	H	Correlation Coefficient	,090	-,107	-,121	-,077
		Sig. (2-tailed)	,635	,572	,525	,686
		N	30	30	30	30
	ParaH	Correlation Coefficient	,161	-,042	-,336	-,062
		Sig. (2-tailed)	,394	,827	,069	,743
		N	30	30	30	30
	Hd	Correlation Coefficient	,377*	,202	,119	,172
		Sig. (2-tailed)	,040	,283	,533	,364
		N	30	30	30	30
	ParaHd	Correlation Coefficient	,486**	,092	,380*	-,267
		Sig. (2-tailed)	,006	,627	,038	,154
		N	30	30	30	30
	HX	Correlation Coefficient	-,095	,232	-,040	-,230
		Sig. (2-tailed)	,616	,217	,835	,222
		N	30	30	30	30
	AMBtot	Correlation Coefficient	-,024	-,121	-,133	-,027
		Sig. (2-tailed)	,899	,525	,485	,887
		N	30	30	30	30
	DCM	Correlation Coefficient	-,168	-,210	,181	,013
		Sig. (2-tailed)	,376	,265	,338	,945
		N	30	30	30	30
	Dsup	Correlation Coefficient	1,000	,449*	,014	-,182
		Sig. (2-tailed)	.	,013	,940	,337
		N	30	30	30	30
	AE	Correlation Coefficient	,449*	1,000	,113	-,238
		Sig. (2-tailed)	,013	.	,552	,206
		N	30	30	30	30
	Spro	Correlation Coefficient	,014	,113	1,000	-,130
		Sig. (2-tailed)	,940	,552	.	,493
		N	30	30	30	30
	Spri	Correlation Coefficient	-,182	-,238	-,130	1,000
		Sig. (2-tailed)	,337	,206	,493	.
		N	30	30	30	30

Correlations

			Dsup	AE	Spro	Spri
Spearman's rho	AGdom	Correlation Coefficient	,395*	,124	-,233	,336
		Sig. (2-tailed)	,031	,514	,216	,069
		N	30	30	30	30
	AGor	Correlation Coefficient	,019	,300	-,233	-,198
		Sig. (2-tailed)	,919	,107	,216	,294
		N	30	30	30	30
	Nor	Correlation Coefficient	,066	-,153	-,060	-,046
		Sig. (2-tailed)	,728	,418	,751	,810
		N	30	30	30	30
	AgA	Correlation Coefficient	,273	-,004	-,019	,200
		Sig. (2-tailed)	,145	,982	,922	,289
		N	30	30	30	30
	AGven	Correlation Coefficient	-,348	,078	-,039	-,023
		Sig. (2-tailed)	,059	,682	,836	,903
		N	30	30	30	30
	AGcel	Correlation Coefficient	-,022	,074	-,233	-,198
		Sig. (2-tailed)	,910	,697	,216	,294
		N	30	30	30	30
	Agdef	Correlation Coefficient	-,208	-,311	-,165	-,142
		Sig. (2-tailed)	,270	,095	,382	,455
		N	30	30	30	30
	Tag	Correlation Coefficient	,502**	,035	-,174	,100
		Sig. (2-tailed)	,005	,854	,358	,599
		N	30	30	30	30
	Nafct	Correlation Coefficient	-,208	-,311	-,165	-,142
		Sig. (2-tailed)	,270	,095	,382	,455
		N	30	30	30	30
	Nafil	Correlation Coefficient	-,048	,208	,192	-,003
		Sig. (2-tailed)	,802	,270	,310	,986
		N	30	30	30	30
	Day	Correlation Coefficient	,291	-,286	-,174	-,148
		Sig. (2-tailed)	,118	,126	,357	,434
		N	30	30	30	30
	Npro	Correlation Coefficient	-,298	-,145	-,214	,270
		Sig. (2-tailed)	,109	,443	,256	,148
		N	30	30	30	30
	ANStot	Correlation Coefficient	-,244	-,352	,051	-,010
		Sig. (2-tailed)	,194	,056	,788	,958
		N	30	30	30	30
	DEP	Correlation Coefficient	-,151	-,469**	-,280	,263
		Sig. (2-tailed)	,426	,009	,134	,161
		N	30	30	30	30
	ACC	Correlation Coefficient	,197	,319	-,110	-,269
		Sig. (2-tailed)	,297	,086	,562	,150
		N	30	30	30	30
	ESTR	Correlation Coefficient	-,176	-,293	,085	,273
		Sig. (2-tailed)	,351	,117	,656	,145
		N	30	30	30	30
	PRESEX	Correlation Coefficient	,362*	,217	,039	,218
		Sig. (2-tailed)	,049	,250	,840	,248
		N	30	30	30	30
	MORAL	Correlation Coefficient	-,180	-,310	-,278	-,057
		Sig. (2-tailed)	,342	,096	,137	,763
		N	30	30	30	30

Correlations

			Dsup	AE	Spro	Spri
Spearman's rho	RELMA	Correlation Coefficient	-,071	,164	,002	-,053
		Sig. (2-tailed)	,711	,386	,992	,779
		N	30	30	30	30
	RELPA	Correlation Coefficient	,061	-,073	-,281	-,320
		Sig. (2-tailed)	,751	,702	,133	,085
		N	30	30	30	30
	REP	Correlation Coefficient	,406*	,279	,114	-,012
		Sig. (2-tailed)	,026	,135	,550	,949
		N	30	30	30	30
	Napro	Correlation Coefficient	,159	-,032	,369*	-,148
		Sig. (2-tailed)	,402	,867	,045	,434
		N	30	30	30	30
	AGinstr	Correlation Coefficient	-,101	,122	-,073	-,062
		Sig. (2-tailed)	,594	,521	,703	,746
		N	30	30	30	30

Correlations

			AGdom	AGor	Nor	AgA
Spearman's rho	CDI	Correlation Coefficient	-,069	,061	,111	,206
		Sig. (2-tailed)	,715	,749	,561	,276
		N	30	30	30	30
	act	Correlation Coefficient	-,185	-,015	-,051	-,032
		Sig. (2-tailed)	,328	,936	,787	,865
		N	30	30	30	30
	pas	Correlation Coefficient	,173	-,161	,107	-,191
		Sig. (2-tailed)	,360	,396	,572	,312
		N	30	30	30	30
	Afr	Correlation Coefficient	-,152	-,214	-,151	,151
		Sig. (2-tailed)	,423	,256	,427	,427
		N	30	30	30	30
	Ag2A	Correlation Coefficient	,209	-,157	,312	-,072
		Sig. (2-tailed)	,277	,416	,100	,710
		N	29	29	29	29
	Ag1V	Correlation Coefficient	.	.	.	.
		Sig. (2-tailed)	.	.	.	.
		N	30	30	30	30
	Ag2V	Correlation Coefficient	,008	,364*	-,195	-,086
		Sig. (2-tailed)	,965	,048	,301	,652
		N	30	30	30	30
	Ag1R	Correlation Coefficient	-,100	,080	-,199	-,112
		Sig. (2-tailed)	,600	,675	,291	,557
		N	30	30	30	30
	Ag2R	Correlation Coefficient	,045	,136	,180	,248
		Sig. (2-tailed)	,814	,472	,341	,186
		N	30	30	30	30
	AgC	Correlation Coefficient	-,135	-,177	,013	-,227
		Sig. (2-tailed)	,476	,350	,947	,228
		N	30	30	30	30
	AgPast	Correlation Coefficient	-,080	,351	,033	,049
		Sig. (2-tailed)	,673	,057	,864	,796
		N	30	30	30	30
	AgPot	Correlation Coefficient	-,080	-,074	-,123	-,417*
		Sig. (2-tailed)	,674	,697	,519	,022
		N	30	30	30	30
	Ag1O	Correlation Coefficient	,149	,201	,085	,250
		Sig. (2-tailed)	,432	,288	,656	,183
		N	30	30	30	30
	Ag2O	Correlation Coefficient	-,039	-,276	,147	-,114
		Sig. (2-tailed)	,837	,140	,438	,550
		N	30	30	30	30
	Ag1A	Correlation Coefficient	-,046	,376*	-,283	-,016
		Sig. (2-tailed)	,808	,041	,130	,934
		N	30	30	30	30
	PER	Correlation Coefficient	,039	-,066	-,346	,091
		Sig. (2-tailed)	,837	,729	,061	,633
		N	30	30	30	30
	COP	Correlation Coefficient	-,209	,156	-,330	,009
		Sig. (2-tailed)	,268	,409	,075	,961
		N	30	30	30	30
	AG	Correlation Coefficient	-,166	,061	-,101	-,208
		Sig. (2-tailed)	,382	,750	,597	,271
		N	30	30	30	30

Correlations

			AGdom	AGor	Nor	AgA
Spearman's rho	PHR	Correlation Coefficient	,034	,225	-,075	,051
		Sig. (2-tailed)	,857	,231	,694	,788
		N	30	30	30	30
	MOR	Correlation Coefficient	,050	,249	-,230	-,219
		Sig. (2-tailed)	,793	,184	,222	,245
		N	30	30	30	30
	GHR	Correlation Coefficient	,121	-,139	,347	-,049
		Sig. (2-tailed)	,525	,464	,060	,795
		N	30	30	30	30
	Food	Correlation Coefficient	,027	,046	-,016	,307
		Sig. (2-tailed)	,889	,810	,932	,098
		N	30	30	30	30
	FT	Correlation Coefficient	,129	,177	,019	-,213
		Sig. (2-tailed)	,496	,350	,921	,259
		N	30	30	30	30
	TF	Correlation Coefficient	-,051	-,044	,006	-,006
		Sig. (2-tailed)	,789	,818	,976	,976
		N	30	30	30	30
	T	Correlation Coefficient	-,159	-,159	,175	,236
		Sig. (2-tailed)	,402	,402	,354	,209
		N	30	30	30	30
	H	Correlation Coefficient	,102	,033	,234	-,029
		Sig. (2-tailed)	,593	,864	,213	,878
		N	30	30	30	30
	ParaH	Correlation Coefficient	,256	,223	,189	,109
		Sig. (2-tailed)	,172	,236	,318	,568
		N	30	30	30	30
	Hd	Correlation Coefficient	,247	,085	-,012	,327
		Sig. (2-tailed)	,187	,655	,951	,077
		N	30	30	30	30
	ParaHd	Correlation Coefficient	,070	,117	,414*	,095
		Sig. (2-tailed)	,712	,540	,023	,616
		N	30	30	30	30
	HX	Correlation Coefficient	-,164	,164	-,285	,004
		Sig. (2-tailed)	,386	,387	,127	,985
		N	30	30	30	30
	AMBtot	Correlation Coefficient	-,278	,283	,084	,048
		Sig. (2-tailed)	,136	,130	,660	,799
		N	30	30	30	30
	DCM	Correlation Coefficient	-,193	-,186	-,022	-,054
		Sig. (2-tailed)	,306	,325	,908	,775
		N	30	30	30	30
	Dsup	Correlation Coefficient	,395*	,019	,066	,273
		Sig. (2-tailed)	,031	,919	,728	,145
		N	30	30	30	30
	AE	Correlation Coefficient	,124	,300	-,153	-,004
		Sig. (2-tailed)	,514	,107	,418	,982
		N	30	30	30	30
	Spro	Correlation Coefficient	-,233	-,233	-,060	-,019
		Sig. (2-tailed)	,216	,216	,751	,922
		N	30	30	30	30
	Spri	Correlation Coefficient	,336	-,198	-,046	,200
		Sig. (2-tailed)	,069	,294	,810	,289
		N	30	30	30	30

Correlations

			AGdom	AGor	Nor	AgA
Spearman's rho	AGdom	Correlation Coefficient	1,000	-,149	,283	,099
		Sig. (2-tailed)	.	,431	,130	,602
		N	30	30	30	30
	AGor	Correlation Coefficient	-,149	1,000	,039	,066
		Sig. (2-tailed)	,431	.	,839	,728
		N	30	30	30	30
	Nor	Correlation Coefficient	,283	,039	1,000	,226
		Sig. (2-tailed)	,130	,839	.	,231
		N	30	30	30	30
	AgA	Correlation Coefficient	,099	,066	,226	1,000
		Sig. (2-tailed)	,602	,728	,231	.
		N	30	30	30	30
	AGven	Correlation Coefficient	-,088	,217	-,387*	-,132
		Sig. (2-tailed)	,643	,249	,035	,488
		N	30	30	30	30
	AGcel	Correlation Coefficient	,122	,359	-,066	-,237
		Sig. (2-tailed)	,522	,051	,727	,206
		N	30	30	30	30
	Agdef	Correlation Coefficient	-,026	-,207	,063	-,393*
		Sig. (2-tailed)	,893	,273	,742	,031
		N	30	30	30	30
	Tag	Correlation Coefficient	,334	-,265	,180	,068
		Sig. (2-tailed)	,072	,158	,340	,719
		N	30	30	30	30
	Nafct	Correlation Coefficient	-,026	-,207	,063	-,393*
		Sig. (2-tailed)	,893	,273	,742	,031
		N	30	30	30	30
	Nafil	Correlation Coefficient	,006	-,035	,009	-,088
		Sig. (2-tailed)	,975	,854	,961	,643
		N	30	30	30	30
	Day	Correlation Coefficient	,155	-,055	,256	,192
		Sig. (2-tailed)	,414	,774	,172	,309
		N	30	30	30	30
	Npro	Correlation Coefficient	,394*	-,023	,332	,043
		Sig. (2-tailed)	,031	,903	,073	,823
		N	30	30	30	30
	ANStot	Correlation Coefficient	-,233	-,062	-,313	-,226
		Sig. (2-tailed)	,215	,743	,092	,231
		N	30	30	30	30
	DEP	Correlation Coefficient	,061	,202	,016	,145
		Sig. (2-tailed)	,748	,283	,932	,446
		N	30	30	30	30
	ACC	Correlation Coefficient	,203	,041	-,008	-,243
		Sig. (2-tailed)	,281	,828	,968	,195
		N	30	30	30	30
	ESTR	Correlation Coefficient	-,051	,160	,133	,282
		Sig. (2-tailed)	,790	,399	,484	,131
		N	30	30	30	30
	PRESEX	Correlation Coefficient	,443*	,071	-,202	,095
		Sig. (2-tailed)	,014	,708	,285	,617
		N	30	30	30	30
	MORAL	Correlation Coefficient	,040	,213	,304	-,032
		Sig. (2-tailed)	,835	,259	,103	,865
		N	30	30	30	30

Correlations

			AGdom	AGor	Nor	AgA
Spearman's rho	RELMA	Correlation Coefficient	,261	-,025	,237	-,046
		Sig. (2-tailed)	,164	,896	,208	,810
		N	30	30	30	30
	RELPA	Correlation Coefficient	,049	,066	,137	-,235
		Sig. (2-tailed)	,795	,729	,470	,211
		N	30	30	30	30
	REP	Correlation Coefficient	,189	,110	-,116	,134
		Sig. (2-tailed)	,317	,563	,541	,481
		N	30	30	30	30
	Napro	Correlation Coefficient	,097	-,265	-,033	-,124
		Sig. (2-tailed)	,610	,157	,864	,515
		N	30	30	30	30
	AGinstr	Correlation Coefficient	-,110	,249	,240	,320
		Sig. (2-tailed)	,561	,185	,202	,085
		N	30	30	30	30

Correlations

			AGven	AGcel	Agdef	Tag
Spearman's rho	CDI	Correlation Coefficient	-,028	-,342	-,182	,184
		Sig. (2-tailed)	,882	,064	,337	,331
		N	30	30	30	30
	act	Correlation Coefficient	,300	-,015	-,091	-,046
		Sig. (2-tailed)	,107	,938	,632	,808
		N	30	30	30	30
	pas	Correlation Coefficient	-,111	,180	,446*	,247
		Sig. (2-tailed)	,558	,342	,014	,188
		N	30	30	30	30
	Afr	Correlation Coefficient	,353	-,081	,303	,126
		Sig. (2-tailed)	,056	,669	,104	,506
		N	30	30	30	30
	Ag2A	Correlation Coefficient	-,127	,085	-,071	,060
		Sig. (2-tailed)	,510	,659	,715	,755
		N	29	29	29	29
	Ag1V	Correlation Coefficient	.	.	.	.
		Sig. (2-tailed)	.	.	.	.
		N	30	30	30	30
	Ag2V	Correlation Coefficient	,329	,603**	,195	-,148
		Sig. (2-tailed)	,076	,000	,303	,434
		N	30	30	30	30
	Ag1R	Correlation Coefficient	,208	,180	-,119	-,199
		Sig. (2-tailed)	,269	,343	,532	,292
		N	30	30	30	30
	Ag2R	Correlation Coefficient	,120	,159	-,111	,049
		Sig. (2-tailed)	,529	,403	,558	,798
		N	30	30	30	30
	AgC	Correlation Coefficient	,067	,004	,190	,069
		Sig. (2-tailed)	,724	,982	,315	,717
		N	30	30	30	30
	AgPast	Correlation Coefficient	,142	,400*	-,146	-,265
		Sig. (2-tailed)	,453	,029	,441	,157
		N	30	30	30	30
	AgPot	Correlation Coefficient	,331	-,023	,078	-,132
		Sig. (2-tailed)	,074	,905	,682	,485
		N	30	30	30	30
	Ag1O	Correlation Coefficient	,107	,003	-,044	-,174
		Sig. (2-tailed)	,573	,988	,819	,358
		N	30	30	30	30
	Ag2O	Correlation Coefficient	,026	-,002	-,012	,043
		Sig. (2-tailed)	,892	,991	,949	,821
		N	30	30	30	30
	Ag1A	Correlation Coefficient	,175	,115	,053	,053
		Sig. (2-tailed)	,356	,544	,782	,779
		N	30	30	30	30
	PER	Correlation Coefficient	-,174	,053	-,077	,281
		Sig. (2-tailed)	,357	,781	,686	,133
		N	30	30	30	30
	COP	Correlation Coefficient	,302	,155	-,068	-,362*
		Sig. (2-tailed)	,105	,415	,720	,049
		N	30	30	30	30
	AG	Correlation Coefficient	,092	,021	-,141	-,311
		Sig. (2-tailed)	,628	,913	,458	,095
		N	30	30	30	30

Correlations

			AGven	AGcel	Agdef	Tag
Spearman's rho	PHR	Correlation Coefficient	,156	,040	,032	-,185
		Sig. (2-tailed)	,410	,834	,866	,328
		N	30	30	30	30
	MOR	Correlation Coefficient	,403*	,317	,050	-,175
		Sig. (2-tailed)	,027	,088	,794	,354
		N	30	30	30	30
	GHR	Correlation Coefficient	-,132	,341	-,050	-,027
		Sig. (2-tailed)	,486	,065	,793	,888
		N	30	30	30	30
	Food	Correlation Coefficient	,278	,006	-,274	-,109
		Sig. (2-tailed)	,136	,975	,143	,567
		N	30	30	30	30
	FT	Correlation Coefficient	,045	,486**	,055	,034
		Sig. (2-tailed)	,814	,006	,771	,858
		N	30	30	30	30
	TF	Correlation Coefficient	,049	,029	,065	-,175
		Sig. (2-tailed)	,795	,878	,732	,356
		N	30	30	30	30
	T	Correlation Coefficient	-,235	-,159	,006	-,119
		Sig. (2-tailed)	,210	,402	,974	,532
		N	30	30	30	30
	H	Correlation Coefficient	,057	,387*	,215	,182
		Sig. (2-tailed)	,764	,035	,254	,336
		N	30	30	30	30
	ParaH	Correlation Coefficient	,145	,326	-,069	,150
		Sig. (2-tailed)	,445	,079	,716	,430
		N	30	30	30	30
	Hd	Correlation Coefficient	-,207	-,004	-,151	,035
		Sig. (2-tailed)	,273	,983	,427	,852
		N	30	30	30	30
	ParaHd	Correlation Coefficient	-,279	,015	-,182	-,018
		Sig. (2-tailed)	,136	,939	,335	,924
		N	30	30	30	30
	HX	Correlation Coefficient	,224	-,156	-,193	-,165
		Sig. (2-tailed)	,234	,410	,307	,384
		N	30	30	30	30
	AMBtot	Correlation Coefficient	-,078	,054	-,238	-,200
		Sig. (2-tailed)	,682	,777	,206	,289
		N	30	30	30	30
	DCM	Correlation Coefficient	-,016	-,054	,027	-,079
		Sig. (2-tailed)	,935	,775	,889	,678
		N	30	30	30	30
	Dsup	Correlation Coefficient	-,348	-,022	-,208	,502**
		Sig. (2-tailed)	,059	,910	,270	,005
		N	30	30	30	30
	AE	Correlation Coefficient	,078	,074	-,311	,035
		Sig. (2-tailed)	,682	,697	,095	,854
		N	30	30	30	30
	Spro	Correlation Coefficient	-,039	-,233	-,165	-,174
		Sig. (2-tailed)	,836	,216	,382	,358
		N	30	30	30	30
	Spri	Correlation Coefficient	-,023	-,198	-,142	,100
		Sig. (2-tailed)	,903	,294	,455	,599
		N	30	30	30	30

Correlations

			AGven	AGcel	Agdef	Tag
Spearman's rho	AGdom	Correlation Coefficient	-,088	,122	-,026	,334
		Sig. (2-tailed)	,643	,522	,893	,072
		N	30	30	30	30
	AGor	Correlation Coefficient	,217	,359	-,207	-,265
		Sig. (2-tailed)	,249	,051	,273	,158
		N	30	30	30	30
	Nor	Correlation Coefficient	-,387*	-,066	,063	,180
		Sig. (2-tailed)	,035	,727	,742	,340
		N	30	30	30	30
	AgA	Correlation Coefficient	-,132	-,237	-,393*	,068
		Sig. (2-tailed)	,488	,206	,031	,719
		N	30	30	30	30
	AGven	Correlation Coefficient	1,000	,047	,057	-,392*
		Sig. (2-tailed)	.	,804	,766	,032
		N	30	30	30	30
	AGcel	Correlation Coefficient	,047	1,000	,157	-,066
		Sig. (2-tailed)	,804	.	,408	,727
		N	30	30	30	30
	Agdef	Correlation Coefficient	,057	,157	1,000	,138
		Sig. (2-tailed)	,766	,408	.	,468
		N	30	30	30	30
	Tag	Correlation Coefficient	-,392*	-,066	,138	1,000
		Sig. (2-tailed)	,032	,727	,468	.
		N	30	30	30	30
	Nafct	Correlation Coefficient	,057	,157	1,000**	,138
		Sig. (2-tailed)	,766	,408	.	,468
		N	30	30	30	30
	Nafil	Correlation Coefficient	,022	-,072	-,201	-,126
		Sig. (2-tailed)	,910	,707	,287	,506
		N	30	30	30	30
	Day	Correlation Coefficient	-,183	-,110	-,128	,334
		Sig. (2-tailed)	,333	,562	,501	,071
		N	30	30	30	30
	Npro	Correlation Coefficient	-,040	,197	,285	,101
		Sig. (2-tailed)	,835	,296	,126	,596
		N	30	30	30	30
	ANStot	Correlation Coefficient	-,027	,056	-,108	-,162
		Sig. (2-tailed)	,886	,767	,569	,392
		N	30	30	30	30
	DEP	Correlation Coefficient	-,062	,086	-,285	-,300
		Sig. (2-tailed)	,745	,653	,127	,108
		N	30	30	30	30
	ACC	Correlation Coefficient	,058	,212	,014	,265
		Sig. (2-tailed)	,759	,261	,943	,156
		N	30	30	30	30
	ESTR	Correlation Coefficient	-,111	-,097	,204	,026
		Sig. (2-tailed)	,559	,611	,279	,890
		N	30	30	30	30
	PRESEX	Correlation Coefficient	-,110	,249	-,217	-,141
		Sig. (2-tailed)	,562	,185	,250	,458
		N	30	30	30	30
	MORAL	Correlation Coefficient	,045	-,001	,158	,120
		Sig. (2-tailed)	,812	,996	,403	,527
		N	30	30	30	30

Correlations

			AGven	AGcel	Agdef	Tag
Spearman's rho	RELMA	Correlation Coefficient	,035	,142	,116	-,204
		Sig. (2-tailed)	,853	,456	,541	,279
		N	30	30	30	30
	RELPA	Correlation Coefficient	-,182	,258	,333	,049
		Sig. (2-tailed)	,337	,168	,072	,796
		N	30	30	30	30
	REP	Correlation Coefficient	-,090	-,110	-,154	,442*
		Sig. (2-tailed)	,637	,562	,415	,014
		N	30	30	30	30
	Napro	Correlation Coefficient	-,114	,144	,103	-,198
		Sig. (2-tailed)	,547	,448	,590	,294
		N	30	30	30	30
	AGinstr	Correlation Coefficient	,070	-,110	-,034	-,083
		Sig. (2-tailed)	,713	,561	,860	,664
		N	30	30	30	30

Correlations

			Nafct	Nafil	Day	Npro
Spearman's rho	CDI	Correlation Coefficient	-,182	-,216	,259	-,337
		Sig. (2-tailed)	,337	,251	,168	,069
		N	30	30	30	30
	act	Correlation Coefficient	-,091	,070	-,235	,151
		Sig. (2-tailed)	,632	,712	,212	,426
		N	30	30	30	30
	pas	Correlation Coefficient	,446*	-,165	-,262	,349
		Sig. (2-tailed)	,014	,384	,162	,059
		N	30	30	30	30
	Afr	Correlation Coefficient	,303	,101	-,065	,071
		Sig. (2-tailed)	,104	,594	,733	,708
		N	30	30	30	30
	Ag2A	Correlation Coefficient	-,071	,094	-,145	,015
		Sig. (2-tailed)	,715	,628	,453	,938
		N	29	29	29	29
	Ag1V	Correlation Coefficient	.	.	.	.
		Sig. (2-tailed)	.	.	.	.
		N	30	30	30	30
	Ag2V	Correlation Coefficient	,195	,026	,129	,104
		Sig. (2-tailed)	,303	,891	,498	,584
		N	30	30	30	30
	Ag1R	Correlation Coefficient	-,119	,414*	-,199	-,014
		Sig. (2-tailed)	,532	,023	,291	,942
		N	30	30	30	30
	Ag2R	Correlation Coefficient	-,111	-,029	-,066	,056
		Sig. (2-tailed)	,558	,879	,729	,769
		N	30	30	30	30
	AgC	Correlation Coefficient	,190	,119	-,134	,013
		Sig. (2-tailed)	,315	,530	,480	,945
		N	30	30	30	30
	AgPast	Correlation Coefficient	-,146	,147	-,265	,020
		Sig. (2-tailed)	,441	,438	,156	,917
		N	30	30	30	30
	AgPot	Correlation Coefficient	,078	-,131	-,005	,021
		Sig. (2-tailed)	,682	,489	,978	,912
		N	30	30	30	30
	Ag1O	Correlation Coefficient	-,044	,220	-,174	,288
		Sig. (2-tailed)	,819	,243	,357	,123
		N	30	30	30	30
	Ag2O	Correlation Coefficient	-,012	,014	,022	,124
		Sig. (2-tailed)	,949	,941	,910	,514
		N	30	30	30	30
	Ag1A	Correlation Coefficient	,053	-,211	,009	-,243
		Sig. (2-tailed)	,782	,263	,962	,195
		N	30	30	30	30
	PER	Correlation Coefficient	-,077	-,145	-,195	-,209
		Sig. (2-tailed)	,686	,444	,301	,268
		N	30	30	30	30
	COP	Correlation Coefficient	-,068	,003	-,284	,266
		Sig. (2-tailed)	,720	,988	,129	,156
		N	30	30	30	30
	AG	Correlation Coefficient	-,141	,250	-,247	-,175
		Sig. (2-tailed)	,458	,182	,189	,354
		N	30	30	30	30

Correlations

			Nafct	Nafil	Day	Npro
Spearman's rho	PHR	Correlation Coefficient	,032	-,024	-,315	,148
		Sig. (2-tailed)	,866	,902	,090	,434
		N	30	30	30	30
	MOR	Correlation Coefficient	,050	-,178	-,344	,286
		Sig. (2-tailed)	,794	,347	,062	,125
		N	30	30	30	30
	GHR	Correlation Coefficient	-,050	,133	,100	,292
		Sig. (2-tailed)	,793	,484	,600	,117
		N	30	30	30	30
	Food	Correlation Coefficient	-,274	,111	,205	-,031
		Sig. (2-tailed)	,143	,559	,278	,870
		N	30	30	30	30
	FT	Correlation Coefficient	,055	,122	-,179	,271
		Sig. (2-tailed)	,771	,522	,343	,147
		N	30	30	30	30
	TF	Correlation Coefficient	,065	,069	,070	,038
		Sig. (2-tailed)	,732	,718	,714	,841
		N	30	30	30	30
	T	Correlation Coefficient	,006	,017	,547**	-,146
		Sig. (2-tailed)	,974	,928	,002	,441
		N	30	30	30	30
	H	Correlation Coefficient	,215	-,071	,211	,303
		Sig. (2-tailed)	,254	,708	,263	,104
		N	30	30	30	30
	ParaH	Correlation Coefficient	-,069	,210	,251	,064
		Sig. (2-tailed)	,716	,265	,181	,738
		N	30	30	30	30
	Hd	Correlation Coefficient	-,151	-,050	-,397*	,204
		Sig. (2-tailed)	,427	,793	,030	,281
		N	30	30	30	30
	ParaHd	Correlation Coefficient	-,182	-,080	,321	-,307
		Sig. (2-tailed)	,335	,673	,084	,099
		N	30	30	30	30
	HX	Correlation Coefficient	-,193	-,219	-,308	,084
		Sig. (2-tailed)	,307	,244	,098	,658
		N	30	30	30	30
	AMBtot	Correlation Coefficient	-,238	-,093	,140	-,306
		Sig. (2-tailed)	,206	,626	,460	,100
		N	30	30	30	30
	DCM	Correlation Coefficient	,027	,191	-,061	-,173
		Sig. (2-tailed)	,889	,313	,749	,359
		N	30	30	30	30
	Dsup	Correlation Coefficient	-,208	-,048	,291	-,298
		Sig. (2-tailed)	,270	,802	,118	,109
		N	30	30	30	30
	AE	Correlation Coefficient	-,311	,208	-,286	-,145
		Sig. (2-tailed)	,095	,270	,126	,443
		N	30	30	30	30
	Spro	Correlation Coefficient	-,165	,192	-,174	-,214
		Sig. (2-tailed)	,382	,310	,357	,256
		N	30	30	30	30
	Spri	Correlation Coefficient	-,142	-,003	-,148	,270
		Sig. (2-tailed)	,455	,986	,434	,148
		N	30	30	30	30

Correlations

			Nafct	Nafil	Day	Npro
Spearman's rho	AGdom	Correlation Coefficient	-,026	,006	,155	,394*
		Sig. (2-tailed)	,893	,975	,414	,031
		N	30	30	30	30
	AGor	Correlation Coefficient	-,207	-,035	-,055	-,023
		Sig. (2-tailed)	,273	,854	,774	,903
		N	30	30	30	30
	Nor	Correlation Coefficient	,063	,009	,256	,332
		Sig. (2-tailed)	,742	,961	,172	,073
		N	30	30	30	30
	AgA	Correlation Coefficient	-,393*	-,088	,192	,043
		Sig. (2-tailed)	,031	,643	,309	,823
		N	30	30	30	30
	AGven	Correlation Coefficient	,057	,022	-,183	-,040
		Sig. (2-tailed)	,766	,910	,333	,835
		N	30	30	30	30
	AGcel	Correlation Coefficient	,157	-,072	-,110	,197
		Sig. (2-tailed)	,408	,707	,562	,296
		N	30	30	30	30
	Agdef	Correlation Coefficient	1,000**	-,201	-,128	,285
		Sig. (2-tailed)	.	,287	,501	,126
		N	30	30	30	30
	Tag	Correlation Coefficient	,138	-,126	,334	,101
		Sig. (2-tailed)	,468	,506	,071	,596
		N	30	30	30	30
	Nafct	Correlation Coefficient	1,000	-,201	-,128	,285
		Sig. (2-tailed)	.	,287	,501	,126
		N	30	30	30	30
	Nafil	Correlation Coefficient	-,201	1,000	-,111	-,160
		Sig. (2-tailed)	,287	.	,560	,397
		N	30	30	30	30
	Day	Correlation Coefficient	-,128	-,111	1,000	-,243
		Sig. (2-tailed)	,501	,560	.	,195
		N	30	30	30	30
	Npro	Correlation Coefficient	,285	-,160	-,243	1,000
		Sig. (2-tailed)	,126	,397	,195	.
		N	30	30	30	30
	ANStot	Correlation Coefficient	-,108	,071	,024	-,209
		Sig. (2-tailed)	,569	,710	,898	,268
		N	30	30	30	30
	DEP	Correlation Coefficient	-,285	,022	,081	,017
		Sig. (2-tailed)	,127	,907	,670	,930
		N	30	30	30	30
	ACC	Correlation Coefficient	,014	,204	,074	-,076
		Sig. (2-tailed)	,943	,279	,699	,688
		N	30	30	30	30
	ESTR	Correlation Coefficient	,204	-,155	-,222	,347
		Sig. (2-tailed)	,279	,415	,239	,060
		N	30	30	30	30
	PRESEX	Correlation Coefficient	-,217	,108	-,008	,033
		Sig. (2-tailed)	,250	,572	,968	,862
		N	30	30	30	30
	MORAL	Correlation Coefficient	,158	-,003	,459*	,017
		Sig. (2-tailed)	,403	,989	,011	,928
		N	30	30	30	30

Correlations

			Nafct	Nafil	Day	Npro
Spearman's rho	RELMA	Correlation Coefficient	,116	,278	-,324	,243
		Sig. (2-tailed)	,541	,137	,080	,196
		N	30	30	30	30
	RELPA	Correlation Coefficient	,333	-,052	,049	-,173
		Sig. (2-tailed)	,072	,785	,795	,360
		N	30	30	30	30
	REP	Correlation Coefficient	-,154	,223	,261	-,063
		Sig. (2-tailed)	,415	,235	,163	,739
		N	30	30	30	30
	Napro	Correlation Coefficient	,103	,234	-,198	,001
		Sig. (2-tailed)	,590	,213	,293	,994
		N	30	30	30	30
	AGinstr	Correlation Coefficient	-,034	-,163	-,083	,377*
		Sig. (2-tailed)	,860	,389	,664	,040
		N	30	30	30	30

Correlations

			ANStot	DEP	ACC	ESTR
Spearman's rho	CDI	Correlation Coefficient	-,137	-,157	-,211	,027
		Sig. (2-tailed)	,471	,408	,264	,887
		N	30	30	30	30
	act	Correlation Coefficient	,134	,012	,011	-,177
		Sig. (2-tailed)	,481	,950	,955	,349
		N	30	30	30	30
	pas	Correlation Coefficient	-,407*	-,089	-,104	,087
		Sig. (2-tailed)	,026	,641	,583	,649
		N	30	30	30	30
	Afr	Correlation Coefficient	,087	-,070	-,011	,166
		Sig. (2-tailed)	,649	,712	,953	,380
		N	30	30	30	30
	Ag2A	Correlation Coefficient	-,080	,143	,218	-,311
		Sig. (2-tailed)	,680	,459	,256	,101
		N	29	29	29	29
	Ag1V	Correlation Coefficient	.	.	.	.
		Sig. (2-tailed)	.	.	.	.
		N	30	30	30	30
	Ag2V	Correlation Coefficient	,058	,110	,142	-,039
		Sig. (2-tailed)	,761	,562	,456	,838
		N	30	30	30	30
	Ag1R	Correlation Coefficient	,274	,235	,041	-,099
		Sig. (2-tailed)	,142	,212	,828	,601
		N	30	30	30	30
	Ag2R	Correlation Coefficient	-,084	,017	,106	-,062
		Sig. (2-tailed)	,660	,927	,576	,744
		N	30	30	30	30
	AgC	Correlation Coefficient	,270	-,062	,359	-,095
		Sig. (2-tailed)	,149	,745	,051	,617
		N	30	30	30	30
	AgPast	Correlation Coefficient	,034	,072	-,123	-,110
		Sig. (2-tailed)	,858	,707	,519	,562
		N	30	30	30	30
	AgPot	Correlation Coefficient	,385*	,058	,232	,030
		Sig. (2-tailed)	,036	,762	,218	,874
		N	30	30	30	30
	Ag1O	Correlation Coefficient	,028	,331	,230	,245
		Sig. (2-tailed)	,884	,074	,221	,191
		N	30	30	30	30
	Ag2O	Correlation Coefficient	,195	,033	,135	-,137
		Sig. (2-tailed)	,301	,862	,476	,471
		N	30	30	30	30
	Ag1A	Correlation Coefficient	,179	-,001	,022	,084
		Sig. (2-tailed)	,345	,996	,907	,661
		N	30	30	30	30
	PER	Correlation Coefficient	,107	-,276	,196	,266
		Sig. (2-tailed)	,573	,140	,299	,156
		N	30	30	30	30
	COP	Correlation Coefficient	-,102	,022	-,141	-,210
		Sig. (2-tailed)	,590	,908	,457	,265
		N	30	30	30	30
	AG	Correlation Coefficient	,331	,051	,180	-,199
		Sig. (2-tailed)	,074	,791	,342	,291
		N	30	30	30	30

Correlations

			ANStot	DEP	ACC	ESTR
Spearman's rho	PHR	Correlation Coefficient	,246	,348	,014	,171
		Sig. (2-tailed)	,190	,060	,942	,368
		N	30	30	30	30
	MOR	Correlation Coefficient	,339	,121	,015	,205
		Sig. (2-tailed)	,067	,523	,937	,277
		N	30	30	30	30
	GHR	Correlation Coefficient	,041	-,035	-,036	,073
		Sig. (2-tailed)	,831	,853	,852	,701
		N	30	30	30	30
	Food	Correlation Coefficient	-,101	,168	,080	-,283
		Sig. (2-tailed)	,597	,376	,674	,130
		N	30	30	30	30
	FT	Correlation Coefficient	-,162	-,098	,057	-,156
		Sig. (2-tailed)	,393	,606	,764	,409
		N	30	30	30	30
	TF	Correlation Coefficient	-,079	-,006	-,210	-,138
		Sig. (2-tailed)	,677	,976	,265	,468
		N	30	30	30	30
	T	Correlation Coefficient	,034	,157	-,374*	,037
		Sig. (2-tailed)	,858	,409	,042	,845
		N	30	30	30	30
	H	Correlation Coefficient	-,003	,067	-,140	,116
		Sig. (2-tailed)	,986	,725	,462	,541
		N	30	30	30	30
	ParaH	Correlation Coefficient	-,140	,188	-,011	-,042
		Sig. (2-tailed)	,460	,320	,956	,827
		N	30	30	30	30
	Hd	Correlation Coefficient	,018	,088	,025	,467**
		Sig. (2-tailed)	,927	,644	,894	,009
		N	30	30	30	30
	ParaHd	Correlation Coefficient	-,084	-,085	,079	-,002
		Sig. (2-tailed)	,659	,656	,678	,991
		N	30	30	30	30
	HX	Correlation Coefficient	,229	,011	-,041	,083
		Sig. (2-tailed)	,223	,955	,829	,661
		N	30	30	30	30
	AMBtot	Correlation Coefficient	,076	,376*	-,249	-,102
		Sig. (2-tailed)	,688	,041	,184	,592
		N	30	30	30	30
	DCM	Correlation Coefficient	,525**	,020	,047	,255
		Sig. (2-tailed)	,003	,916	,804	,174
		N	30	30	30	30
	Dsup	Correlation Coefficient	-,244	-,151	,197	-,176
		Sig. (2-tailed)	,194	,426	,297	,351
		N	30	30	30	30
	AE	Correlation Coefficient	-,352	-,469**	,319	-,293
		Sig. (2-tailed)	,056	,009	,086	,117
		N	30	30	30	30
	Spro	Correlation Coefficient	,051	-,280	-,110	,085
		Sig. (2-tailed)	,788	,134	,562	,656
		N	30	30	30	30
	Spri	Correlation Coefficient	-,010	,263	-,269	,273
		Sig. (2-tailed)	,958	,161	,150	,145
		N	30	30	30	30

Correlations

			ANStot	DEP	ACC	ESTR
Spearman's rho	AGdom	Correlation Coefficient	-,233	,061	,203	-,051
		Sig. (2-tailed)	,215	,748	,281	,790
		N	30	30	30	30
	AGor	Correlation Coefficient	-,062	,202	,041	,160
		Sig. (2-tailed)	,743	,283	,828	,399
		N	30	30	30	30
	Nor	Correlation Coefficient	-,313	,016	-,008	,133
		Sig. (2-tailed)	,092	,932	,968	,484
		N	30	30	30	30
	AgA	Correlation Coefficient	-,226	,145	-,243	,282
		Sig. (2-tailed)	,231	,446	,195	,131
		N	30	30	30	30
	AGven	Correlation Coefficient	-,027	-,062	,058	-,111
		Sig. (2-tailed)	,886	,745	,759	,559
		N	30	30	30	30
	AGcel	Correlation Coefficient	,056	,086	,212	-,097
		Sig. (2-tailed)	,767	,653	,261	,611
		N	30	30	30	30
	Agdef	Correlation Coefficient	-,108	-,285	,014	,204
		Sig. (2-tailed)	,569	,127	,943	,279
		N	30	30	30	30
	Tag	Correlation Coefficient	-,162	-,300	,265	,026
		Sig. (2-tailed)	,392	,108	,156	,890
		N	30	30	30	30
	Nafct	Correlation Coefficient	-,108	-,285	,014	,204
		Sig. (2-tailed)	,569	,127	,943	,279
		N	30	30	30	30
	Nafil	Correlation Coefficient	,071	,022	,204	-,155
		Sig. (2-tailed)	,710	,907	,279	,415
		N	30	30	30	30
	Day	Correlation Coefficient	,024	,081	,074	-,222
		Sig. (2-tailed)	,898	,670	,699	,239
		N	30	30	30	30
	Npro	Correlation Coefficient	-,209	,017	-,076	,347
		Sig. (2-tailed)	,268	,930	,688	,060
		N	30	30	30	30
	ANStot	Correlation Coefficient	1,000	,480**	,027	,281
		Sig. (2-tailed)	.	,007	,889	,132
		N	30	30	30	30
	DEP	Correlation Coefficient	,480**	1,000	-,331	,197
		Sig. (2-tailed)	,007	.	,074	,296
		N	30	30	30	30
	ACC	Correlation Coefficient	,027	-,331	1,000	-,347
		Sig. (2-tailed)	,889	,074	.	,060
		N	30	30	30	30
	ESTR	Correlation Coefficient	,281	,197	-,347	1,000
		Sig. (2-tailed)	,132	,296	,060	.
		N	30	30	30	30
	PRESEX	Correlation Coefficient	-,198	,125	-,019	-,184
		Sig. (2-tailed)	,295	,509	,920	,329
		N	30	30	30	30
	MORAL	Correlation Coefficient	-,142	,039	-,085	-,035
		Sig. (2-tailed)	,453	,837	,656	,852
		N	30	30	30	30

Correlations

			ANStot	DEP	ACC	ESTR
Spearman's rho	RELMA	Correlation Coefficient	-,361	-,168	,000	-,209
		Sig. (2-tailed)	,050	,375	,999	,267
		N	30	30	30	30
	RELPA	Correlation Coefficient	,016	-,081	,255	-,171
		Sig. (2-tailed)	,932	,672	,174	,367
		N	30	30	30	30
	REP	Correlation Coefficient	-,068	-,091	,409*	-,044
		Sig. (2-tailed)	,720	,631	,025	,819
		N	30	30	30	30
	Napro	Correlation Coefficient	,048	-,045	,005	-,003
		Sig. (2-tailed)	,802	,815	,980	,985
		N	30	30	30	30
	AGinstr	Correlation Coefficient	-,269	-,130	-,280	,130
		Sig. (2-tailed)	,151	,494	,135	,492
		N	30	30	30	30

Correlations

			PRESEX	MORAL	RELMA	RELPA
Spearman's rho	CDI	Correlation Coefficient	-,095	,206	-,259	,205
		Sig. (2-tailed)	,617	,275	,167	,277
		N	30	30	30	30
	act	Correlation Coefficient	-,447*	-,004	,315	-,263
		Sig. (2-tailed)	,013	,982	,090	,161
		N	30	30	30	30
	pas	Correlation Coefficient	,078	,036	,066	,276
		Sig. (2-tailed)	,683	,849	,728	,140
		N	30	30	30	30
	Afr	Correlation Coefficient	-,463**	,027	,110	-,047
		Sig. (2-tailed)	,010	,889	,564	,803
		N	30	30	30	30
	Ag2A	Correlation Coefficient	-,041	-,077	,214	-,030
		Sig. (2-tailed)	,833	,692	,265	,877
		N	29	29	29	29
	Ag1V	Correlation Coefficient	.	.	.	.
		Sig. (2-tailed)	.	.	.	.
		N	30	30	30	30
	Ag2V	Correlation Coefficient	,178	,339	,135	,037
		Sig. (2-tailed)	,347	,067	,477	,846
		N	30	30	30	30
	Ag1R	Correlation Coefficient	-,099	-,066	,134	,050
		Sig. (2-tailed)	,603	,731	,479	,795
		N	30	30	30	30
	Ag2R	Correlation Coefficient	-,134	-,259	,319	-,063
		Sig. (2-tailed)	,480	,167	,086	,742
		N	30	30	30	30
	AgC	Correlation Coefficient	-,259	-,322	,232	,014
		Sig. (2-tailed)	,167	,083	,217	,940
		N	30	30	30	30
	AgPast	Correlation Coefficient	,033	,051	,404*	,066
		Sig. (2-tailed)	,861	,787	,027	,729
		N	30	30	30	30
	AgPot	Correlation Coefficient	-,407*	-,152	-,182	,070
		Sig. (2-tailed)	,026	,422	,335	,713
		N	30	30	30	30
	Ag1O	Correlation Coefficient	,090	-,190	,057	,043
		Sig. (2-tailed)	,638	,314	,763	,820
		N	30	30	30	30
	Ag2O	Correlation Coefficient	-,316	-,146	,273	-,223
		Sig. (2-tailed)	,089	,442	,144	,237
		N	30	30	30	30
	Ag1A	Correlation Coefficient	-,096	,071	,068	,049
		Sig. (2-tailed)	,614	,708	,720	,795
		N	30	30	30	30
	PER	Correlation Coefficient	,125	-,277	-,416*	,095
		Sig. (2-tailed)	,511	,139	,022	,618
		N	30	30	30	30
	COP	Correlation Coefficient	,031	-,033	,462*	-,273
		Sig. (2-tailed)	,871	,864	,010	,145
		N	30	30	30	30
	AG	Correlation Coefficient	-,070	-,086	,386*	-,154
		Sig. (2-tailed)	,715	,651	,035	,418
		N	30	30	30	30

Correlations

			PRESEX	MORAL	RELMA	RELPA
Spearman's rho	PHR	Correlation Coefficient	,040	-,228	,172	,082
		Sig. (2-tailed)	,834	,226	,365	,667
		N	30	30	30	30
	MOR	Correlation Coefficient	-,109	-,291	-,002	-,007
		Sig. (2-tailed)	,568	,119	,991	,972
		N	30	30	30	30
	GHR	Correlation Coefficient	,087	,078	,047	-,372*
		Sig. (2-tailed)	,646	,684	,805	,043
		N	30	30	30	30
	Food	Correlation Coefficient	-,004	,050	,066	-,199
		Sig. (2-tailed)	,983	,792	,729	,292
		N	30	30	30	30
	FT	Correlation Coefficient	,245	-,029	,055	,283
		Sig. (2-tailed)	,192	,878	,774	,130
		N	30	30	30	30
	TF	Correlation Coefficient	-,012	,162	,351	,044
		Sig. (2-tailed)	,950	,394	,058	,819
		N	30	30	30	30
	T	Correlation Coefficient	-,096	,207	-,106	,030
		Sig. (2-tailed)	,613	,272	,576	,876
		N	30	30	30	30
	H	Correlation Coefficient	,087	,076	-,163	-,291
		Sig. (2-tailed)	,646	,691	,389	,119
		N	30	30	30	30
	ParaH	Correlation Coefficient	,146	,369*	,001	-,143
		Sig. (2-tailed)	,440	,045	,996	,451
		N	30	30	30	30
	Hd	Correlation Coefficient	,217	-,503**	-,026	,025
		Sig. (2-tailed)	,248	,005	,891	,895
		N	30	30	30	30
	ParaHd	Correlation Coefficient	,075	,089	-,027	,006
		Sig. (2-tailed)	,695	,639	,886	,975
		N	30	30	30	30
	HX	Correlation Coefficient	-,210	-,146	-,064	-,152
		Sig. (2-tailed)	,265	,442	,737	,422
		N	30	30	30	30
	AMBtot	Correlation Coefficient	,128	,119	-,232	,092
		Sig. (2-tailed)	,501	,532	,217	,628
		N	30	30	30	30
	DCM	Correlation Coefficient	-,125	-,299	-,357	,289
		Sig. (2-tailed)	,511	,108	,052	,122
		N	30	30	30	30
	Dsup	Correlation Coefficient	,362*	-,180	-,071	,061
		Sig. (2-tailed)	,049	,342	,711	,751
		N	30	30	30	30
	AE	Correlation Coefficient	,217	-,310	,164	-,073
		Sig. (2-tailed)	,250	,096	,386	,702
		N	30	30	30	30
	Spro	Correlation Coefficient	,039	-,278	,002	-,281
		Sig. (2-tailed)	,840	,137	,992	,133
		N	30	30	30	30
	Spri	Correlation Coefficient	,218	-,057	-,053	-,320
		Sig. (2-tailed)	,248	,763	,779	,085
		N	30	30	30	30

Correlations

			PRESEX	MORAL	RELMA	RELPA
Spearman's rho	AGdom	Correlation Coefficient	,443*	,040	,261	,049
		Sig. (2-tailed)	,014	,835	,164	,795
		N	30	30	30	30
	AGor	Correlation Coefficient	,071	,213	-,025	,066
		Sig. (2-tailed)	,708	,259	,896	,729
		N	30	30	30	30
	Nor	Correlation Coefficient	-,202	,304	,237	,137
		Sig. (2-tailed)	,285	,103	,208	,470
		N	30	30	30	30
	AgA	Correlation Coefficient	,095	-,032	-,046	-,235
		Sig. (2-tailed)	,617	,865	,810	,211
		N	30	30	30	30
	AGven	Correlation Coefficient	-,110	,045	,035	-,182
		Sig. (2-tailed)	,562	,812	,853	,337
		N	30	30	30	30
	AGcel	Correlation Coefficient	,249	-,001	,142	,258
		Sig. (2-tailed)	,185	,996	,456	,168
		N	30	30	30	30
	Agdef	Correlation Coefficient	-,217	,158	,116	,333
		Sig. (2-tailed)	,250	,403	,541	,072
		N	30	30	30	30
	Tag	Correlation Coefficient	-,141	,120	-,204	,049
		Sig. (2-tailed)	,458	,527	,279	,796
		N	30	30	30	30
	Nafct	Correlation Coefficient	-,217	,158	,116	,333
		Sig. (2-tailed)	,250	,403	,541	,072
		N	30	30	30	30
	Nafil	Correlation Coefficient	,108	-,003	,278	-,052
		Sig. (2-tailed)	,572	,989	,137	,785
		N	30	30	30	30
	Day	Correlation Coefficient	-,008	,459*	-,324	,049
		Sig. (2-tailed)	,968	,011	,080	,795
		N	30	30	30	30
	Npro	Correlation Coefficient	,033	,017	,243	-,173
		Sig. (2-tailed)	,862	,928	,196	,360
		N	30	30	30	30
	ANStot	Correlation Coefficient	-,198	-,142	-,361	,016
		Sig. (2-tailed)	,295	,453	,050	,932
		N	30	30	30	30
	DEP	Correlation Coefficient	,125	,039	-,168	-,081
		Sig. (2-tailed)	,509	,837	,375	,672
		N	30	30	30	30
	ACC	Correlation Coefficient	-,019	-,085	,000	,255
		Sig. (2-tailed)	,920	,656	,999	,174
		N	30	30	30	30
	ESTR	Correlation Coefficient	-,184	-,035	-,209	-,171
		Sig. (2-tailed)	,329	,852	,267	,367
		N	30	30	30	30
	PRESEX	Correlation Coefficient	1,000	-,194	,066	-,052
		Sig. (2-tailed)	.	,304	,730	,784
		N	30	30	30	30
	MORAL	Correlation Coefficient	-,194	1,000	,076	,115
		Sig. (2-tailed)	,304	.	,688	,545
		N	30	30	30	30

Correlations

			PRESEX	MORAL	RELMA	RELPA
Spearman's rho	RELMA	Correlation Coefficient	,066	,076	1,000	,137
		Sig. (2-tailed)	,730	,688	.	,471
		N	30	30	30	30
	RELPA	Correlation Coefficient	-,052	,115	,137	1,000
		Sig. (2-tailed)	,784	,545	,471	.
		N	30	30	30	30
	REP	Correlation Coefficient	,019	,126	-,073	-,227
		Sig. (2-tailed)	,919	,508	,702	,228
		N	30	30	30	30
	Napro	Correlation Coefficient	,226	-,146	,185	-,006
		Sig. (2-tailed)	,230	,441	,329	,975
		N	30	30	30	30
	AGinstr	Correlation Coefficient	-,183	,068	,093	,021
		Sig. (2-tailed)	,334	,721	,625	,914
		N	30	30	30	30

Correlations

			REP	Napro	AGinstr
Spearman's rho	CDI	Correlation Coefficient	-,049	-,250	,189
		Sig. (2-tailed)	,798	,183	,318
		N	30	30	30
	act	Correlation Coefficient	,113	-,188	,206
		Sig. (2-tailed)	,552	,319	,274
		N	30	30	30
	pas	Correlation Coefficient	-,212	,150	,110
		Sig. (2-tailed)	,260	,429	,562
		N	30	30	30
	Afr	Correlation Coefficient	,273	,013	,150
		Sig. (2-tailed)	,144	,944	,428
		N	30	30	30
	Ag2A	Correlation Coefficient	-,045	,062	-,181
		Sig. (2-tailed)	,816	,750	,348
		N	29	29	29
	Ag1V	Correlation Coefficient	.	.	.
		Sig. (2-tailed)	.	.	.
		N	30	30	30
	Ag2V	Correlation Coefficient	,182	,168	-,062
		Sig. (2-tailed)	,337	,374	,745
		N	30	30	30
	Ag1R	Correlation Coefficient	,022	,056	-,083
		Sig. (2-tailed)	,910	,770	,663
		N	30	30	30
	Ag2R	Correlation Coefficient	,147	-,079	,105
		Sig. (2-tailed)	,439	,677	,581
		N	30	30	30
	AgC	Correlation Coefficient	,212	,063	-,087
		Sig. (2-tailed)	,262	,740	,648
		N	30	30	30
	AgPast	Correlation Coefficient	-,253	-,074	,263
		Sig. (2-tailed)	,178	,696	,161
		N	30	30	30
	AgPot	Correlation Coefficient	-,210	,129	-,137
		Sig. (2-tailed)	,265	,497	,469
		N	30	30	30
	Ag1O	Correlation Coefficient	,221	,077	-,073
		Sig. (2-tailed)	,239	,687	,703
		N	30	30	30
	Ag2O	Correlation Coefficient	,091	,295	-,044
		Sig. (2-tailed)	,634	,113	,819
		N	30	30	30
	Ag1A	Correlation Coefficient	,245	-,198	-,083
		Sig. (2-tailed)	,192	,293	,664
		N	30	30	30
	PER	Correlation Coefficient	,095	,183	-,159
		Sig. (2-tailed)	,617	,334	,401
		N	30	30	30
	COP	Correlation Coefficient	-,009	-,104	,247
		Sig. (2-tailed)	,963	,584	,188
		N	30	30	30
	AG	Correlation Coefficient	,087	,115	-,224
		Sig. (2-tailed)	,648	,545	,235
		N	30	30	30

Correlations

			REP	Napro	AGinstr
Spearman's rho	PHR	Correlation Coefficient	,015	,003	-,065
		Sig. (2-tailed)	,939	,985	,732
		N	30	30	30
	MOR	Correlation Coefficient	-,212	,047	,157
		Sig. (2-tailed)	,261	,806	,409
		N	30	30	30
	GHR	Correlation Coefficient	-,149	,396*	-,044
		Sig. (2-tailed)	,432	,030	,819
		N	30	30	30
	Food	Correlation Coefficient	,372*	-,109	-,148
		Sig. (2-tailed)	,043	,567	,435
		N	30	30	30
	FT	Correlation Coefficient	-,117	,052	,199
		Sig. (2-tailed)	,540	,783	,293
		N	30	30	30
	TF	Correlation Coefficient	-,190	,105	-,073
		Sig. (2-tailed)	,314	,582	,702
		N	30	30	30
	T	Correlation Coefficient	-,291	-,119	-,050
		Sig. (2-tailed)	,118	,531	,795
		N	30	30	30
	H	Correlation Coefficient	-,111	,084	,069
		Sig. (2-tailed)	,560	,658	,718
		N	30	30	30
	ParaH	Correlation Coefficient	-,070	,098	-,046
		Sig. (2-tailed)	,715	,608	,811
		N	30	30	30
	Hd	Correlation Coefficient	,146	,320	-,011
		Sig. (2-tailed)	,441	,084	,954
		N	30	30	30
	ParaHd	Correlation Coefficient	,120	,446*	-,149
		Sig. (2-tailed)	,528	,014	,432
		N	30	30	30
	HX	Correlation Coefficient	-,136	-,084	,282
		Sig. (2-tailed)	,472	,657	,131
		N	30	30	30
	AMBtot	Correlation Coefficient	-,199	-,370*	-,154
		Sig. (2-tailed)	,291	,044	,415
		N	30	30	30
	DCM	Correlation Coefficient	-,397*	,063	-,110
		Sig. (2-tailed)	,030	,742	,562
		N	30	30	30
	Dsup	Correlation Coefficient	,406*	,159	-,101
		Sig. (2-tailed)	,026	,402	,594
		N	30	30	30
	AE	Correlation Coefficient	,279	-,032	,122
		Sig. (2-tailed)	,135	,867	,521
		N	30	30	30
	Spro	Correlation Coefficient	,114	,369*	-,073
		Sig. (2-tailed)	,550	,045	,703
		N	30	30	30
	Spri	Correlation Coefficient	-,012	-,148	-,062
		Sig. (2-tailed)	,949	,434	,746
		N	30	30	30

Correlations

			REP	Napro	AGinstr
Spearman's rho	AGdom	Correlation Coefficient	,189	,097	-,110
		Sig. (2-tailed)	,317	,610	,561
		N	30	30	30
	AGor	Correlation Coefficient	,110	-,265	,249
		Sig. (2-tailed)	,563	,157	,185
		N	30	30	30
	Nor	Correlation Coefficient	-,116	-,033	,240
		Sig. (2-tailed)	,541	,864	,202
		N	30	30	30
	AgA	Correlation Coefficient	,134	-,124	,320
		Sig. (2-tailed)	,481	,515	,085
		N	30	30	30
	AGven	Correlation Coefficient	-,090	-,114	,070
		Sig. (2-tailed)	,637	,547	,713
		N	30	30	30
	AGcel	Correlation Coefficient	-,110	,144	-,110
		Sig. (2-tailed)	,562	,448	,561
		N	30	30	30
	Agdef	Correlation Coefficient	-,154	,103	-,034
		Sig. (2-tailed)	,415	,590	,860
		N	30	30	30
	Tag	Correlation Coefficient	,442*	-,198	-,083
		Sig. (2-tailed)	,014	,294	,664
		N	30	30	30
	Nafct	Correlation Coefficient	-,154	,103	-,034
		Sig. (2-tailed)	,415	,590	,860
		N	30	30	30
	Nafil	Correlation Coefficient	,223	,234	-,163
		Sig. (2-tailed)	,235	,213	,389
		N	30	30	30
	Day	Correlation Coefficient	,261	-,198	-,083
		Sig. (2-tailed)	,163	,293	,664
		N	30	30	30
	Npro	Correlation Coefficient	-,063	,001	,377*
		Sig. (2-tailed)	,739	,994	,040
		N	30	30	30
	ANStot	Correlation Coefficient	-,068	,048	-,269
		Sig. (2-tailed)	,720	,802	,151
		N	30	30	30
	DEP	Correlation Coefficient	-,091	-,045	-,130
		Sig. (2-tailed)	,631	,815	,494
		N	30	30	30
	ACC	Correlation Coefficient	,409*	,005	-,280
		Sig. (2-tailed)	,025	,980	,135
		N	30	30	30
	ESTR	Correlation Coefficient	-,044	-,003	,130
		Sig. (2-tailed)	,819	,985	,492
		N	30	30	30
	PRESEX	Correlation Coefficient	,019	,226	-,183
		Sig. (2-tailed)	,919	,230	,334
		N	30	30	30
	MORAL	Correlation Coefficient	,126	-,146	,068
		Sig. (2-tailed)	,508	,441	,721
		N	30	30	30

Correlations

			REP	Napro	AGinstr
Spearman's rho	RELMA	Correlation Coefficient	-,073	,185	,093
		Sig. (2-tailed)	,702	,329	,625
		N	30	30	30
	RELPA	Correlation Coefficient	-,227	-,006	,021
		Sig. (2-tailed)	,228	,975	,914
		N	30	30	30
	REP	Correlation Coefficient	1,000	-,062	-,202
		Sig. (2-tailed)	.	,745	,283
		N	30	30	30
	Napro	Correlation Coefficient	-,062	1,000	-,083
		Sig. (2-tailed)	,745	.	,664
		N	30	30	30
	AGinstr	Correlation Coefficient	-,202	-,083	1,000
		Sig. (2-tailed)	,283	,664	.
		N	30	30	30

*. Correlation is significant at the 0.05 level (2-tailed).

**. Correlation is significant at the 0.01 level (2-tailed).